

**POLITECHNIKA GDAŃSKA**

**WYDZIAŁ CHEMICZNY**

**KATEDRA INŻYNIERII PROCESOWEJ I TECHNOLOGII CHEMICZNEJ**



**POLITECHNIKA  
GDAŃSKA**

**ROZPRAWA DOKTORSKA**

**MGR INŻ. IZABELA MALINOWSKA**

**NANOMATERIAŁY O WŁAŚCIWOŚCIACH MAGNETYCZNYCH,  
FOTOKATALITYCZNYCH, BIOBÓJCZYCH**

**PROMOTOR:**

**DR HAB. INŻ. ANNA ZIELIŃSKA - JUREK, PROF. PG**



Imię i nazwisko autora rozprawy: mgr inż. Izabela Malinowska  
Dyscyplina naukowa: nauki chemiczne

**ROZPRAWA DOKTORSKA**

Tytuł rozprawy w języku polskim: NANOMATERIAŁY O WŁAŚCIWOŚCIACH MAGNETYCZNYCH, FOTOKATALITYCZNYCH, BIOBÓJCZYCH.

Tytuł rozprawy w języku angielskim: NANOMATERIALS WITH MAGNETIC, PHOTOCATALYTIC BIOCIDAL PROPERTIES

Promotor   <i>podpis</i>	Drugi promotor  <i>podpis</i>
dr hab. inż. Anna Zielińska – Jurek, prof. PG	-
Promotor pomocniczy  <i>podpis</i>	Kopromotor  <i>podpis</i>
-	-

Gdańsk, rok 2023



## OŚWIADCZENIE

Autor rozprawy doktorskiej: mgr inż. Izabela Malinowska

Ja, niżej podpisany(a), oświadczam, iż jestem świadomy(a), że zgodnie z przepisem art. 27 ust. 1 i 2 ustawy z dnia 4 lutego 1994 r. o prawie autorskim i prawach pokrewnych (t.j. Dz.U. z 2021 poz. 1062), uczelnia może korzystać z mojej rozprawy doktorskiej zatytułowanej:

**NANOMATERIAŁY O WŁAŚCIWOŚCIACH MAGNETYCZNYCH, FOTOKATALITYCZNYCH,  
BIOBÓJCZYCH.**

do prowadzenia badań naukowych lub w celach dydaktycznych.<sup>1</sup>

Świadomym(a) odpowiedzialności karnej z tytułu naruszenia przepisów ustawy z dnia 4 lutego 1994 r. o prawie autorskim i prawach pokrewnych i konsekwencji dyscyplinarnych określonych w ustawie Prawo o szkolnictwie wyższym i nauce (Dz.U.2021.478 t.j.), a także odpowiedzialności cywilno-prawnej oświadczam, że przedkładana rozprawa doktorska została napisana przeze mnie samodzielnie.

Oświadczam, że treść rozprawy opracowana została na podstawie wyników badań prowadzonych pod kierunkiem i w ścisłej współpracy z promotorem dr hab. inż. Anną Zielińską – Jurek.

Niniejsza rozprawa doktorska nie była wcześniej podstawą żadnej innej urzędowej procedury związanego z nadaniem stopnia doktora.

Wszystkie informacje umieszczone w ww. rozprawie uzyskane ze źródeł pisanych i elektronicznych, zostały udokumentowane w wykazie literatury odpowiednimi odnośnikami, zgodnie z przepisem art. 34 ustawy o prawie autorskim i prawach pokrewnych.

Potwierdzam zgodność niniejszej wersji pracy doktorskiej z załączoną wersją elektroniczną.

Gdańsk, dnia 31.10.2023

*Izabela Malinowska*  
podpis doktoranta

Ja, niżej podpisany(a), wyrażam zgodę/nie wyrażam zgody\* na umieszczenie ww. rozprawy doktorskiej w wersji elektronicznej w otwartym, cyfrowym repozytorium instytucjonalnym Politechniki Gdańskiej.

Gdańsk, dnia 31.10.2023

*Izabela Malinowska*  
podpis doktoranta

<sup>1</sup> Art. 27. 1. Instytucje oświatowe oraz podmioty, o których mowa w art. 7 ust. 1 pkt 1, 2 i 4–8 ustawy z dnia 20 lipca 2018 r. – Prawo o szkolnictwie wyższym i nauce, mogą na potrzeby zilustrowania treści przekazywanych w celach dydaktycznych lub w celu prowadzenia działalności naukowej korzystać z rozpowszechnionych utworów w oryginale i w tłumaczeniu oraz 2. W przypadku publicznego udostępniania utworów w taki sposób, aby każdy mógł mieć do nich dostęp w miejscu i czasie przez siebie wybranym korzystanie, o którym mowa w ust. 1, jest dozwolone wyłącznie dla ograniczonego kręgu osób uczących się, nauczających lub prowadzących badania naukowe, zidentyfikowanych przez podmioty wymienione w ust. 1.



## OPIS ROZPRAWY DOKTORSKIEJ

**Autor rozprawy doktorskiej:** mgr inż. Izabela Malinowska

**Tytuł rozprawy doktorskiej w języku polskim:** NANOMATERIAŁY O WŁAŚCIWOŚCIACH MAGNETYCZNYCH, FOTOKATALITYCZNYCH, BIOBÓJCZYCH.

**Tytuł rozprawy w języku angielskim:** NANOMATERIALS WITH MAGNETIC, PHOTOCATALYTIC BIOCIDAL PROPERTIES

**Język rozprawy doktorskiej:** POLSKI

**Promotor rozprawy doktorskiej:** dr hab. inż. Anna Zielińska - Jurek

**Data obrony:**

**Słowa kluczowe rozprawy doktorskiej w języku polskim:** nanomateriały, degradacja farmaceutyków, biobójcość, powierzchnie samoczyszczące

**Słowa kluczowe rozprawy doktorskiej w języku angielskim:** nanomaterials, degradation of pharmaceuticals, biocide, self-cleaning surfaces

**Streszczenie rozprawy w języku polskim:**

Tematyka badawcza pracy doktorskiej obejmuje preparatykę i charakterystykę nanomateriałów o właściwościach magnetycznych, fotokatalitycznych, biobójczych. Celem pracy była preparatyka nanomateriałów na bazie  $TiO_2$  oraz  $ZnFe_2O_4$  oraz zastosowanie nanokompozytów w fotokatalizie heterogenicznej do degradacji ksenobiotyków niepodatnych na rozkład biologiczny i otrzymywania funkcjonalnych materiałów budowlanych. Otrzymane nanokompozyty scharakteryzowano za pomocą analizy powierzchni właściwej BET wraz z objętością porów, analizy rentgenograficznej XRD, analizy pętli histerezy magnetycznej oraz analizy mikroskopii elektronowej STEM. Otrzymane nanomateriały charakteryzują się właściwościami magnetycznymi, fotokatalitycznymi, biobójczymi. Taka hybrydowość właściwości pozwala na zastosowanie opisywanych materiałów jako fotokatalizatorów oraz dodatków do powszechnie znanych powłok ochronno-dekoracyjnych w celu nadania im nowych hybrydowych właściwości.

**Streszczenie rozprawy w języku angielskim:**

The main aim of the doctoral dissertation was the preparation and characterization of nanomaterials with magnetic, photocatalytic and biocidal properties, with particular emphasis on  $TiO_2$  and  $ZnFe_2O_4$  compounds, which can be applied in heterogeneous photocatalysis for the degradation of xenobiotics not susceptible to biodegradation. The obtained nanocomposites were characterized by specific surface area and pore volume analyses, X-ray diffraction analysis, magnetic hysteresis loop analysis, and STEM microscopy analyses. The obtained nanomaterials were characterized by magnetic, photocatalytic and biocidal properties. This hybridity of properties allows the described materials to be used as photocatalysts for the degradation of persistent organic pollutants and as modifiers of commonly known protective and decorative coatings with self-cleaning, biocidal and magnetic properties.

Serdecznie dziękuję dr hab. inż. Annie Zielińskiej-Jurek, prof. PG za możliwość naukowego rozwoju oraz wszystkie cenne rady w trakcie wspólnej naukowej podróży.

Moją rozprawę doktorską dedykuję moim Córeczkom.

Dziewczynki Moje, jesteście najpiękniejszą częścią mnie. Nauczyłyście mnie na nowo odkrywać świat. Jesteście spełnieniem moich marzeń, moją siłą, moją największą inspiracją. Basiu i Michasiu jesteście w stanie osiągnąć wszystko co tylko sobie wymarzycie, nigdy się nie poddawajcie.

Kocham Was, Mama.

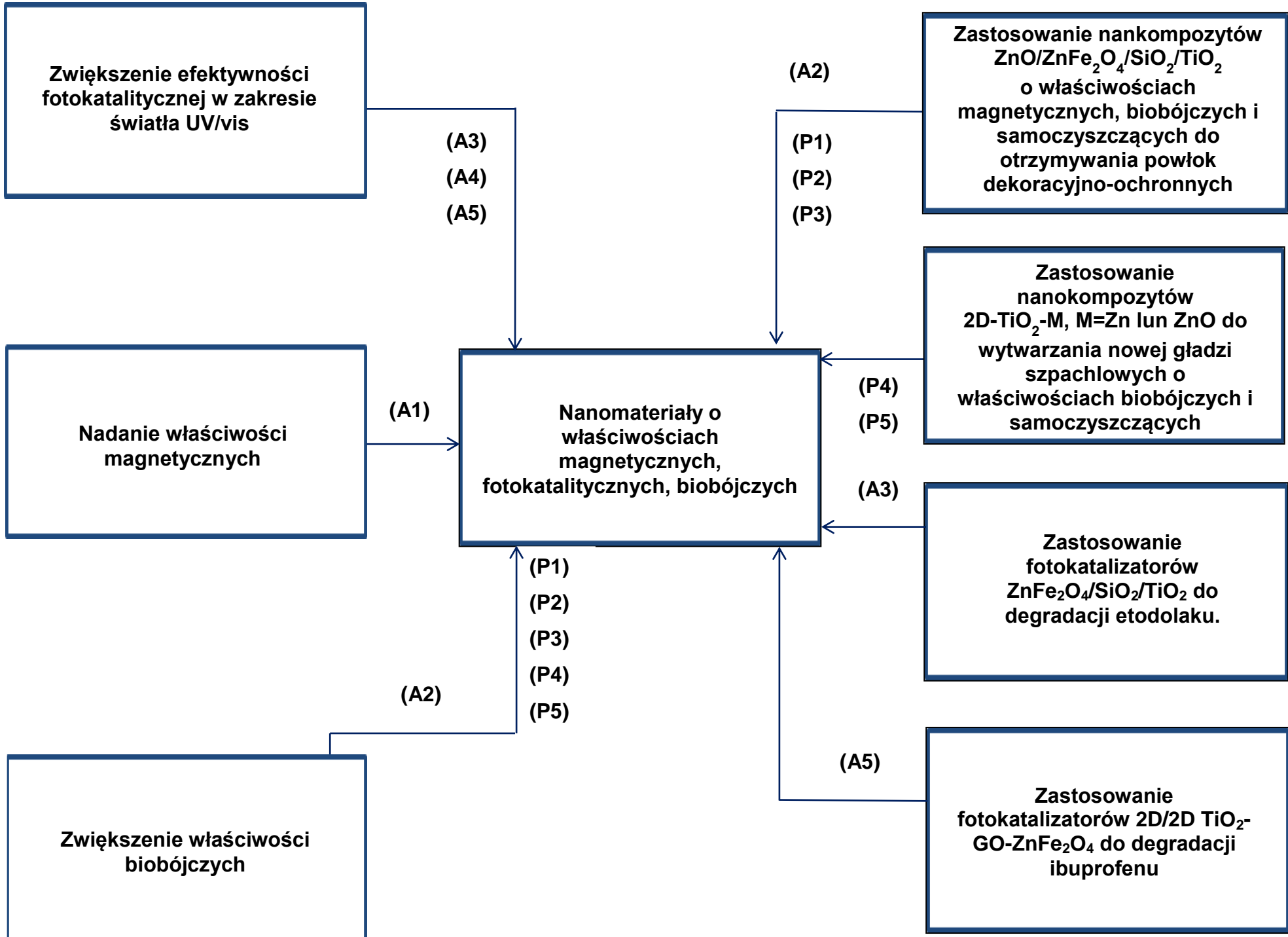
Chciałabym również podziękować mojemu Mężowi za nieustanne wsparcie i zrozumienie. To była długa i trudna podróż, ale razem daliśmy radę.

Mamo, dziękuję za to, że przez cały okres mojego studium doktoranckiego pomagałaś mi w opiece nad dziewczynkami, zawsze mogłam liczyć na Twoją pomoc. Dzięki Tobie mogłam realizować się na płaszczyźnie zawodowej i prywatnej jednocześnie.

Dziękuję, że jesteś, gdyby nie Ty, nie dałabym rady.

Dysertacja doktorska stanowi cykl pięciu powiązanych tematycznie oryginalnych prac twórczych w zakresie syntezy, charakterystyki i zastosowania nowych hybrydowych nanomateriałów na bazie TiO<sub>2</sub>, które charakteryzują się właściwościami magnetycznymi, biobójczymi oraz fotokatalitycznymi, opublikowanych w czterech czasopismach z listy JCR o sumarycznym IF= 21.67 oraz jednym rozdziale monografii naukowej. Ponadto, osiągnięcie naukowe udokumentowano rozwiązaniami technicznymi stanowiącymi treść pięciu krajowych zgłoszeń patentowych.

Cykl trzech zgłoszeń patentowych dotyczących sposobu otrzymywania i zastosowania kompozytów trzyfunkcyjnych bio-foto-magnetycznych do wytwarzania powłok ochronnych i dekoracyjnych o właściwościach biobójczych, magnetycznych i samooczyszczających został wyróżniony nagrodą specjalną Marszałka Województwa Świętokrzyskiego w konkursie Student Wynalazca. Kompozycja została także nagrodzona srebrnym medalem na Międzynarodowej Warszawskiej Wystawie Wynalazków. Za całokształt pracy naukowej otrzymałam w konkursie EKOinnovator 2022 nagrodę główną, w kategorii Doktorant-Innowator.



## **Spis treści**

Wykaz skrótów i symboli .....	11
I. Wprowadzenie.....	12
II. Cel i zakres pracy.....	17
III. Tezy pracy .....	18
IV. Materiały i metody badawcze .....	19
IV.1. Preparatyka nanomateriałów.....	19
IV.2. Charakterystyka właściwości fizykochemicznych .....	20
V. Omówienie wyników badań .....	24
Podsumowanie i wnioski .....	31
Spis literatury.....	32
Załącznik 1 - Publikacja naukowa [A1] nt. <i>Synthesis of CoFe<sub>2</sub>O<sub>4</sub> nanoparticles. The effect of ionic strength, concentration and precursor type on morphology and magnetic properties</i> .....	36
Załącznik 2 - Publikacja naukowa [A2] nt. <i>New trifunctional acrylic water-based paint with self-cleaning, biocidal and magnetic properties</i> .....	48
Załącznik 3 - Publikacja naukowa [A3] nt. <i>Improved degradation of etodolac in the presence of core-shell ZnFe<sub>2</sub>O<sub>4</sub>/SiO<sub>2</sub>/TiO<sub>2</sub> magnetic photocatalyst</i> .....	58
Załącznik 4 - Publikacja naukowa [A4] nt. <i>Synteza i charakterystyka nanokompozytów TiO<sub>2</sub> o właściwościach magnetycznych do degradacji zanieczyszczeń organicznych w fazie wodnej</i> .....	70
Załącznik 5 - Publikacja naukowa [A5] nt. <i>Synthesis, characterisation and application of 2D/2D TiO<sub>2</sub>-GO-ZnFe<sub>2</sub>O<sub>4</sub> obtained by the fluorine-free lyophilisation method for solar light-driven photocatalytic degradation of ibuprofen</i> .....	86

## DOROBEK STANOWIĄCY ROZPRAWĘ DOKTORSKĄ

„Nanomateriały o właściwościach magnetycznych, fotokatalitycznych, biobójczych”

Lp.	Tytuł publikacji	MNiSW Pkt.	IF <sub>5</sub>
A1	<b>Malinowska I.</b> , Ryżyńska Z., Mrotek E., Klimczuk T., Zielińska-Jurek A.: Synthesis of CoFe <sub>2</sub> O <sub>4</sub> Nanoparticles: The Effect of Ionic Strength, Concentration, and Precursor Type on Morphology and Magnetic Properties. <i>Journal of Nanomaterials</i> (2020), s.1-12 DOI: 10.1155/2020/9046219	70	<b>2.986</b>
A2	<b>Malinowska, I.</b> , Paszkiewicz O., Markowska-Szczupak A., Zielińska-Jurek A.: New trifunctional acrylic water-based paint with self-cleaning, biocidal and magnetic properties. <i>Ceramics International</i> (2023) DOI:10.1016/j.ceramint.2023.10.166	100	<b>5.532</b>
A3	Mrotek E., Dudziak S., <b>Malinowska I.</b> , Pelczarski D., Ryżyńska Z., Zielińska-Jurek A.: Improved degradation of etodolac in the presence of core-shell ZnFe <sub>2</sub> O <sub>4</sub> /SiO <sub>2</sub> /TiO <sub>2</sub> magnetic photocatalyst. <i>Science of the Total Environmental</i> 724 (2020), s.1-12 DOI:10.1016/j.scitotenv.2020.138167	200	<b>7.963</b>
A4	<b>Malinowska I.</b> , Mrotek, E., Zielińska-Jurek, A. (2019). Synteza i charakterystyka nanokompozytów TiO <sub>2</sub> o właściwościach magnetycznych do degradacji zanieczyszczeń organicznych w fazie wodnej. <i>Problematyka Z Zakresu Nauk O Środowisku – przegląd i Badania</i> , Wydawnictwo Naukowe TYGIEL, Lublin (2019) ISBN 978-83-65932-93-8, 124-136.	80	<b>brak</b>
A5	<b>Malinowska I.</b> , Madajski P., Ostrowski A., Gómez-Polo C., Carvera L., Bednarski W., Kubica P., Zielińska-Jurek A.: Synthesis, characterization, and application of 2D/2D TiO <sub>2</sub> -GO-ZnFe <sub>2</sub> O <sub>4</sub> obtained by the fluorine-free lyophilization method for solar light-driven photocatalytic degradation of ibuprofen. <i>Environmental Science and Pollution Research</i> 30 (2023), s.35929-35944 DOI:10.1007/s11356-022-24587-0	100	<b>5.19</b>
	<b>SUMARYCZNIE</b>	550	<b>21.67</b>

### ZGŁOSZENIA PATENTOWE:

- I. **Malinowska, A. Zielińska-Jurek**, Kompozycja trzyfunkcyjna o właściwościach fotokatalitycznych, magnetycznych oraz biobójczych modyfikowana cząstками kompozytu o niestechiometrycznej zawartości Fe:Zn do wytwarzania powłok ochronnych, sposób wytwarzania tej kompozycji trzyfunkcyjnej o właściwościach fotokatalitycznych, magnetycznych oraz biobójczych, (2021) P.437962

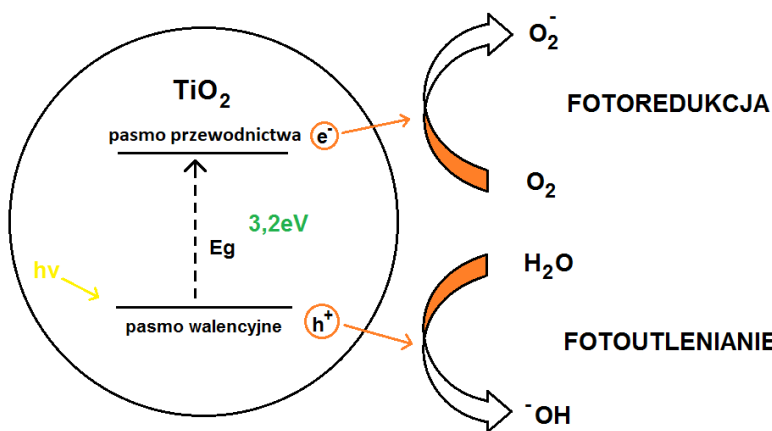
2. **I. Malinowska, A. Zielińska-Jurek**, Kompozycja trzyfunkcyjna o właściwościach fotokatalitycznych, magnetycznych oraz biobójczych modyfikowana częstotliwością kompozytu aktywnego zawierającego  $TiO_2$  oraz  $ZnFe_2O_4$  o niestochiometrycznej zawartości Fe:Zn do wytwarzania powłok ochronnych, sposób wytwarzania tej kompozycji trzyfunkcyjnej o właściwościach fotokatalitycznych, magnetycznych oraz biobójczych, (2021) P.437963
3. **I. Malinowska, A. Zielińska-Jurek**, Kompozycja trzyfunkcyjna o właściwościach fotokatalitycznych, magnetycznych oraz biobójczych modyfikowana kompozytem zawierającym  $ZnFe_2O_4$  do wytwarzania powłok ochronnych, sposób wytwarzania tej kompozycji trzyfunkcyjnej o właściwościach fotokatalitycznych, magnetycznych oraz biobójczych, (2021) P.437964
4. **I. Malinowska, A. Zielińska-Jurek**, Zewnętrzna warstwa powłokotwórcza oraz dwa sposoby wytwarzania zewnętrznej warstwy powłokotwórczej, (2022) P.442761
5. **I. Malinowska, A. Zielińska-Jurek** Zewnętrzna warstwa powłokotwórcza oraz sposób wytwarzania zewnętrznej warstwy powłokotwórczej, (2022) P.442762

## WYKAZ SKRÓTÓW I SYMBOLI

- BET - powierzchnia właściwa wyznaczona z równania Brunauer'a, Emmett'a i Tellera [ $m^2/g$ ]  
P25 -  $TiO_2$  komercyjny, Evonik  
UV - promieniowanie ultrafioletowe (zakres 10-400 nm)  
VIS - promieniowanie widzialne (zakres 400-800 nm)  
XRD - rentgenografia strukturalna  
 $a_m$  - pojemność monowarstwy adsorpcyjnej  
 $B$  - indukcja magnetyczna [T]  
 $E$  - energia [eV]  
 $E_g$  - energia pasma wzbronionego [eV]  
 $H$  - natężenie zewnętrznego pola magnetycznego [A/m]  
 $h\nu$  - długość fali świetlnej [nm]  
 $K$  - stała równowagi adsorpcji  
 $M$  - moment magnetyczny [emu/g]  
 $R$  - współczynnik proporcji stężenia wody do surfaktantu w układzie mikroemulsyjnym [-]  
 $\lambda$  - długość fali [nm]  
 $x$  - ciśnienie względne w zakresie 0,04-0,05

## I. WPROWADZENIE

Fotokataliza to proces, który zachodzi przy udziale promieniowania elektromagnetycznego. Związki, które pochłaniają kwant promieniowania, ulegają aktywacji i tym samym inicują reakcje chemiczne, jednocześnie nie zużywając się w trakcie procesu nazywane są fotokatalizatorami. Są to materiały półprzewodnikowe, takie jak:  $ZnO$ ,  $CeO_2$ ,  $SnO_2$ ,  $ZrO_2$ ,  $\alpha-Fe_2O_3$ ,  $WO_3$  oraz  $TiO_2$  [1]. Pasmowa budowa półprzewodników decyduje o ich zdolności do fotoaktywacji. Niskoenergetyczne pasmo walencyjne oraz wysokoenergetyczne pasmo przewodnictwa oddzielone są od siebie pasmem wzbronionym. Półprzewodniki charakteryzują się najczęściej szerokością pasma wzbronionego w zakresie od 1 do 3 eV. Absorpcja fotonu powoduje, że z całkowicie zapełnionego pasma walencyjnego zostaje wybitny elektron do nieobsadzonego pasma przewodnictwa. W miejscu wzbudzonego elektronu w paśmie walencyjnym powstaje luka elektronowa (tzw. dziura elektronowa), czyli nieobsadzony poziom energetyczny, zachowujący się jak dodatni nośnik ładunku elektrycznego. Jednocześnie zachodzi dyfuzja regentów z fazy ciągłe do powierzchni fotokatalizatora, co powoduje adsorcję minimum jednego reagenta na powierzchni fotokatalizatora. Powstałe nośniki ładunku mogą migrować na powierzchnię fotokatalizatora i brać udział w reakcjach utleniania i redukcji związków chemicznych zaadsorbowanych na powierzchni półprzewodnika [1,2]. Ostatnim etapem jest desorpcaja produktów oraz ich usunięcie z przestrzeni reakcyjnej [3]. Na Rysunku 1 przedstawiono schemat procesu fotokatalizy zachodzącego na powierzchni najczęściej stosowanego w procesie fotokatalizy heterogenicznej półprzewodnika.



Rys. 1. Schemat procesu fotokatalizy zachodzącego na powierzchni  $TiO_2$  [opracowanie własne]

Jednym z najczęściej stosowanych półprzewodników w reakcji degradacji zanieczyszczeń organicznych, zarówno w fazie wodnej, jak i gazowej jest tlenek tytanu(IV). Charakteryzuje się on wysokim potencjałem utleniającym zanieczyszczeń organicznych oraz wykazuje stabilność w szerokim zakresie pH.

W fotokatalizie heterogenicznej na granicy faz powietrze/woda/ciało stałe transport masy uzależniony jest od powierzchni kontaktu międzyfazowego. Kiedy fotokatalizator jest zdyspergowany w postaci zawiesiny, odpowiednią powierzchnię kontaktu międzyfazowego można osiągnąć poprzez rozdrobnienie cząstek do rozmiarów nanometrycznych, napowietrzanie oraz mieszanie układu [4]. Istotnym parametrem decydującym o efektywności reakcji fotokatalitycznej i adsorpcji reagentów na

powierzchni półprzewodnika jest stopień rozwinięcia powierzchni właściwej fotokatalizatora, która wpływa wzrost efektywności adsorpcji zanieczyszczeń i może przyczyniać się do wzrostu aktywności fotokatalitycznej. Jednocześnie zbyt duże rozwinięcie powierzchni właściwej fotokatalizatora może wpływać na liczbę defektów krystalicznych sprzyjających rekombinacji elektronów i dziur [4].

Wymiarowość, a zatem struktura przestrzenna związku chemicznego jest jednym z kluczowych parametrów determinujących jego właściwości fizykochemiczne. Ten sam związek chemiczny może wykazywać inne właściwości w zależności od struktury krystalicznej 0D (zerowywmiarowej), 1D (jedno-wymiarowej), 2D (dwu-wymiarowej) lub 3D (trój-wymiarowej) [5-8]. Warstwowe struktury od dawna próbowały rozdzielić na pojedyncze warstwy atomowe. Do tej pory większość badań koncentrowała się na chemicznej eksfoliacji silnie warstwowych materiałów, a zwłaszcza interkalowanego grafitu [9]. Struktury quasi-0D, quasi-1D oraz 3D są dobrze poznane, natomiast w ostatnich latach szczególnie zainteresowanie budzą struktury 2D, ze względu na wysokie rozwinięcie powierzchni [6,8], unikalne właściwości optyczne [10-11], elektroniczne [12], katalityczne [13] oraz mechaniczne [14].

Tlenek grafenu należy do materiałów dwuwymiarowych, który w ostatnim czasie cieszy się ogromnym zainteresowaniem z uwagi na wysoką zdolność adsorpcji związków organicznych poprzez silne oddziaływanie  $\pi$ - $\pi$  oraz w połączeniu z półprzewodnikiem obserwowaną obniżoną rekombinację par elektron-dziura [15]. Wytworzenie nanokompozytu typu  $\text{TiO}_2$ -GO wpływa na wzmacnianie aktywności fotokatalitycznej tlenku tytanu(IV). Największy wzrost aktywności fotokatalitycznej dla  $\text{TiO}_2$  zaobserwowano dla układów hybrydowych, w których zawartość GO stanowiła maksymalnie 2% wag. w stosunku do całego układu [16].

Fotokataliza to jedna z najbardziej nowoczesnych metod oczyszczania środowiska wodnego, jak i powietrza z zanieczyszczeń zarówno organicznych, jak i nieorganicznych.

Zastosowanie  $\text{TiO}_2$  w skali technologicznej wiąże się jednak z pewnymi ograniczeniami związanymi z aktywnością fotokatalizatora w zakresie promieniowania UV. Z uwagi na szerokość przerwy energetycznej, wynoszącej w zakresie 3,1 eV - 3,2 eV, do wzbudzenia cząstki  $\text{TiO}_2$  i zainicjowania szeregu przemian fotochemicznych stosowane jest promieniowanie UV, które z punktu widzenia ekonomicznego generuje wysokie koszty związane ze stopniem konwersji energii świetlnej w energię cieplną. Ponadto nie można wykorzystać promieniowania słonecznego, gdyż zaledwie 3-5% promieniowania słonecznego stanowi promieniowanie UV. Aby zwiększyć fotoaktywność  $\text{TiO}_2$  w szerszym zakresie spektrum promieniowania słonecznego, stosuje się domieszkowanie oraz modyfikację powierzchni fotokatalizatora. W literaturze opisywane jest domieszkowanie półprzewodnika jonami metali przejściowych, takich jak: żelazo, chrom, nikiel, wanad, mangan [4,17]; domieszkowanie niemetalami: jodem, azotem, borem, siarką węglem, fosforem, fluorem [18-20], modyfikację powierzchni metalami szlachetnymi: złotem, srebrem, platyną, palladem [21-24], modyfikację innymi półprzewodnikami, których szerokość pasma wzbronionego jest mniejsza niż 3,2 eV [25] oraz sensibilizację barwnikami [26].

Kolejnym wyzwaniem technologicznym do prowadzenia procesu fotokatalizy w powiększonej skali jest separacja fotokatalizatora po procesie oczyszczania. Do separacji fotokatalizatora stosowane są obecnie metody ultrafiltracji, koagulacji z flokulacją cząstek, sedimentacja, separacja w

polu sił odśrodkowych oraz separacja membranowa. Wymienione wyżej metody są zarówno energochłonne, jak i kosztowne. Rozwiązaniem problemu separacji może być zastosowanie  $TiO_2$  immobilizowanego na nośniku stałym. Tlenek tytanu(IV) w formie nanocząstek osadzono na stałym podłożu m.in. stosując węgiel aktywowany, szkło, piasek, włókna optyczne, ceramikę, zeolity za pomocą metody zanurzeniowo-wynurzeniowej [27]. Metoda ta opiera się na kontrolowanym zanurzeniu podłoża w zawiesinie fotokatalizatora. Takie osadzenie tlenku tytanu(IV) na stałym podłożu prowadzi jednak do obniżenia aktywności fotokatalitycznej, która wynika ze zmniejszenia powierzchni kontaktu fotokatalizator - zanieczyszczenie. Dodatkowo, na powierzchni immobilizowanego fotokatalizatora mogą osadzać się inne produkty uboczne, które obniżają aktywność fotokatalityczną. Podczas procesu fotokatalizy, przy zastosowaniu takich nośników dochodzi również do ścierania warstwy fotokatalizatora (abrazji), co również wpływa na mniejszą wydajność procesu technologicznego. Rozwiązaniem problemu związanego z separacją fotokatalizatora jest modyfikacja struktury fotokatalizatora materiałem magnetycznym, co pozwoli na sepeację fotokatalizatora w zewnętrznym polu magnetycznym. Nanocząstki magnetyczne w połączeniu z fotokatalizatorami są separowane za pomocą zewnętrznego pola magnetycznego oraz poddawane recyklingowi. W tym celu najczęściej stosowane są ferryty spinelowe, które charakteryzują się wysoką saturacją magnetyzacji  $M_s$  i niską wartością koercji [28].

Ferryty spinelowe opisywane są ogólnym wzorem  $AB_2O_4$ . W podstawowym spinelu  $AB_2O_4$ , A stanowi dwuwartościowy kation zajmujący miejsca czworościenne, podczas gdy B jest trójwartościowym kationem zajmującym miejsca oktaedryczne. W spinach odwrotnych połowa kationów B zajmuje miejsca czworościenne, a wzór jest przepisywany jako  $B [AB] O_4$  [29]. Ferryty spinelowe są interesującymi materiałami dielektrycznymi ze względu na właściwości magnetyczne, w połączeniu z wysoką stabilnością chemiczną i termiczną. Ferryty spinelowe stosowane są w wielu gałęziach przemysłu. Produkcja ferrytów spinelowych rośnie z roku na rok, a ich zastosowania są coraz szersze [30]. Już w latach 70 ubiegłego wieku związki te stanowiły elementy anten radiowych, filtrów szumów czy modułów transformatorów. W ostatnich latach ferryty spinelowe o rozmiarach nanometrycznych cieszą się ogromnym zainteresowaniem z uwagi na nowe, unikalne właściwości części w porównaniu z materiałem makroskopowym [31]. Nanocząstki ferrytów spinelowych wykazują właściwości superparamagnetyczne. W superparamagnetykach nie występuje zjawisko remanencji. Po odjęciu zewnętrznego pola magnetycznego tracą magnetyzację, wynika to z uśrednienia momentów magnetycznych pojedynczych krystalitów. Zjawisko to jest warunkowane anizotropią magnetyczną, zależną od składu chemicznego, struktury krystalicznej oraz morfologii materiału [32].

Nanometryczne ferryty spinelowe znalazły zastosowanie w branży elektronicznej do produkcji słuchawek bezprzewodowych, twardych dysków, komputerów, termozłączyczy czy części samochodowych. Jednym z nowych zastosowań ferrytów spinelowych jest produkcja magnetycznych części silnika prądu stałego z napędem elektrycznym. Zastosowanie magnesów ferrytowych w samochodach napędzanych elektrycznie są wysoce oczekiwane, chociaż istnieje wiele wyzwań technologicznych związanych z tą aplikacją.

Obecnie prowadzone są również badania nad zastosowaniem ferrytów do takich procesów jak transformacja energii słonecznej na energię z wodoru za pomocą ferrytów spinelowych jako katalizatorów oraz rozkład termiczny  $\text{NO}_x$ . Ferryty spinelowe cieszą się również zainteresowaniem w bioinżynierii do produkcji ultrasonograficznych środków kontrastowych [30]. W ostatnich latach coraz częściej proponowane jest zastosowanie kompozytów o właściwościach magnetycznych jako fotokatalizatorów, które łatwo można poddać separacji z zawiesiny reakcyjnej po procesie fotodegradacji [28].

Do głównych zastosowań procesu fotokatalizy należą: syntezy związków organicznych (kataliza fotoredoksowa), ochrona środowiska (procesy oczyszczanie wody i powietrza), chemia medyczna (synteza związków farmaceutycznych), sztuczna fotosynteza (redukcja  $\text{CO}_2$ ), generowanie  $\text{H}_2$  oraz do przeprowadzania reakcji stereoselektywnych.

Wraz z rozwojem współczesnego świata stale rośnie zapotrzebowanie na różnego rodzaju farmaceutyki, które pozwalają człowiekowi na walkę z infekcjami układu immunologicznego. Produkcja powszechnie używanych farmaceutyków wzrasta, każdego roku używa się tysiące ton substancji aktywnych, aby sprostać zapotrzebowaniu rynku farmaceutycznego. Ogromnym problemem środowiskowym jest degradacja substancji aktywnych do prostych związków podatnych na biodegradację. W niezmienionych formach substancje aktywne przedostają się do środowiska kumulując się w wodach. Jest to nie tylko problem lokalnych środowisk, w których występują zakłady produkujące ksenobiotyki, lecz problem globalny, ponieważ niewłaściwe utylizowanie przeterminowanych farmaceutyków również przyczynia się do ich kumulacji w środowisku.

Niektóre z powszechnie stosowanych farmaceutyków, w tym leków z grupy przeciwbólowych i przeciwigorączkowych (paracetamol, ibuprofen, diklofenak, ketoprofen, etodolak, naproksen) oraz przeciwpadaczkowych (karbamazepina) nie są podatne na degradację biologiczną. Rozkład tych związków jest obecnie znaczącym problemem środowiskowym, ponieważ farmaceutyki te przechodzą przez cykl biologicznego oczyszczania w niezmienionej postaci i są wykrywane w szerokim zakresie stężeń od 5 do 3500 ng/dm<sup>3</sup> w jeziorach, rzekach, wodach powierzchniowych oraz oczyszczalniach ścieków. W związku z tym, degradacja farmaceutyków niepodatnych na rozkład biologiczny jest ważnym wyzwaniem środowiskowym.

W tym odniesieniu, pożądane są modyfikacje dobrze znanych i zbadanych półprzewodników, takich jak  $\text{TiO}_2$  czy  $\text{ZnO}$ , tak aby uzyskać nowe hybrydowe fotokatalizatory o zwiększonej szybkości przemiany chemicznej związanej z efektywną separacją nośników ładunku i wytwarzaniem reaktywnych form tlenu w środowisku reakcji. Modyfikacje mają stawić czoła wyzwaniom technologicznym związanym z separacją oraz odzyskiem fotokatalizatora po procesie oczyszczania, zapewnić większą aktywność fotokatalityczną w zakresie promieniowania w świetle widzialnym oraz determinować dodatkowe unikalne właściwości fizykochemiczne. Otrzymanie nowych hybrydowych, zielonych fotokatalizatorów o właściwościach zarówno magnetycznych, biobójczych, jak i wysokiej aktywności fotokatalitycznej, pozwalających na efektywną degradację zanieczyszczeń organicznych niepodatnych na rozkład biologiczny stanowi istotny cel środowiskowy.

W dobie pandemii Covid-19 świat zatrzymał się, przestały pracować fabryki, zamknięto wiele zakładów przemysłowych i instytucji użytku publicznego. Ekspansja wirusa Sars-CoV-2 wywróciła

gospodarkę światową, wpływając na otaczającą nas rzeczywistość, ale przede wszystkim uświadamiając, że wszyscy jesteśmy narażeni na zakażenie i rozprzestrzenianie się mikroorganizmów chorobotwórczych. Nie tylko powietrze jakim oddychamy wpływa na nasze zdrowie, ale również powierzchnie np. ściany, urządzenia, meble, których nieświadomie dotykami kilka razy na godzinę. Szczególnie na powierzchniach w obrębie miejsc publicznych, które są często załoczne, takie jak szpitale, szkoły, biura, galerie handlowe czy komunikacja miejska są miejscem najszybszego rozwoju mikroorganizmów chorobotwórczych [33]. Częste dezynfekcje takiego rodzaju powierzchni nie są możliwe, dlatego rozwiązaniem tego problemu jest opracowanie nowych warstw ochronnych, które niszą lub blokują rozwój wirusów, bakterii i grzybów. W tym odniesieniu, tlenek cynku (II) stanowi tani i obiecujący związek o właściwościach biobójczych oraz fotokatalitycznych, bezpieczny dla ludzi i zwierząt, szeroko stosowany w farmacji [34] oraz kosmetologii [35].

Zastosowanie hybrydowych powłok ochronno-dekoracyjnych w budynkach użyteczności publicznej wpłynie na zahamowanie rozpowszechnianie się patogenów chorobotwórczych i pozwoli na efektywne oczyszczanie powierzchni.

Odpowiedni dobór związków chemicznych, z uwzględnieniem ich struktury przestrzennej oraz modyfikacji związkami cynku, tytanu oraz węgla pozwoli na uzyskanie nowych nanomateriałów o właściwościach fotokatalitycznych, biobójczych, magnetycznych, które można stosować jako fotokatalizatory do degradacji uporczywych zanieczyszczeń organicznych oraz otrzymywania powłok ochronnych i materiałów budowlanych. Obecnie na rynku budowlanym brakuje produktów o takiej potrójnej funkcjonalności.

## **II. CEL I ZAKRES PRACY**

Celem pracy doktorskiej jest opracowanie sposobu otrzymywania i charakterystyka nanomateriałów o właściwości biobójczych, magnetycznych, fotokatalitycznych.

Zakres rozprawy doktorskiej obejmuje analizę właściwości fizykochemicznych oraz aktywności fotokatalitycznej otrzymanych fotokatalizatorów hybrydowych do degradacji zanieczyszczeń organicznych, w tym substancji farmaceutycznych – ibuprofenu oraz etodolaku, niepodatnych na rozkład biologiczny pod wpływem promieniowania UV i vis. Zbadano mechanizm degradacji oraz zidentyfikowano najważniejsze produkty pośrednie degradacji oraz określono wpływ reaktywnych form tlenu na efektywność degradacji zanieczyszczeń farmaceutycznych.

Zakres rozprawy doktorskiej obejmuje również zastosowanie nanokompozytów typu  $TiO_2-SiO_2-ZnFe_2O_4$  o stochiometrycznej i niestochiometrycznej zawartości atomów Fe do Zn do modyfikacji farby akrylowej, co pozwala na otrzymanie nowych hybrydowych powłok ochronno-dekoracyjnych o właściwościach samoczyszczących, biobójczych oraz magnetycznych.

Ponadto, otrzymane nanokompozyty typu  $2DTiO_2-GO-M$  oraz  $2DTiO_2-M$ , gdzie M= Zn lub ZnO zastosowano do modyfikacji gładzi szpachlowej, co pozwala na otrzymanie nowych hybrydowych materiałów budowlanych o właściwościach samoczyszczących oraz biobójczych.

### **III. TEZY PRACY**

Na podstawie omówienia literatury przedmiotu oraz wstępnych badań własnych zostały sformułowane następujące tezy pracy:

1. Modyfikacja syntezy ferrytu spinelowego, z niestechiometryczną zawartością atomów żelaza do cynku, wpłynie na wzrost właściwości biobójczych  $ZnFe_2O_4$ ;
2. Syntza struktury 2D  $TiO_2$  oraz modyfikacja struktury  $TiO_2$  tlenkiem grafenu i związkami cynku pozwoli na uzyskanie hybrydowych nanokompozytów o zwiększonej aktywności fotokatalitycznej oraz wysokiej aktywności biobójczej;
3. Zastosowanie nanokompozytów na bazie  $TiO_2$ , 2D  $TiO_2$ , GO,  $ZnO$  do modyfikacji materiałów budowlanych, pozwala na uzyskanie nowych produktów o właściwościach samoczyszczących, magnetycznych i biobójczych;
4. Modyfikacja kompozytu na bazie  $TiO_2$  za pomocą ferrytu cynkowego umożliwia separację magnetyczną fotokatalizatora po procesie fotokatalitycznej degradacji w fazie wodnej.

## IV. MATERIAŁY I METODY BADAWCZE

### IV.1. Preparatyka nanomateriałów

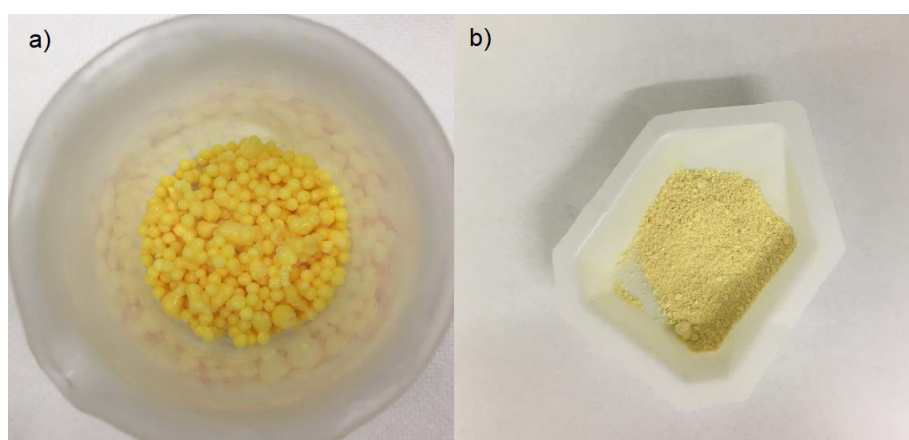
Wszystkie metody syntezy są szczegółowo opisane w załączonych publikacjach naukowych [A1] - [A5], które wchodzą w skład dysertacji doktorskiej.

#### Preparatyka ferrytu cynkowego o niestechiometrycznej zawartości Fe:Zn

W celu otrzymania niestechiometrycznego ferrytu cynkowego, rozpuszczono sole metali  $\text{FeSO}_4 \cdot 7\text{H}_2\text{O}$  i  $\text{ZnCl}_2$  w niestechiometrycznej proporcji molowej 1:2 (Fe:Zn) i 1:1,5 (Fe:Zn). Następnie metale wytrącono z jednorodnego roztworu przez dodanie 5 M NaOH w temperaturze pokojowej, korygując wartość pH do 10. Mieszaninę reakcyjną poddano reakcji hydrotermalnej w autoklawie w temperaturze 200°C przez 5 godzin. Następnie stały produkt odseparowano w polu magnetycznym, kilkukrotnie przemywając wodą dejonizowaną i wysuszeno do stałej masy. Proponowana metoda syntezy pozwala na otrzymanie nanokompozytów hybrydowych o rozmiarach nanometrycznych, zawierających w strukturze  $\text{ZnFe}_2\text{O}_4$  oraz ZnO.

#### Preparatyka nanokompozytów magnetycznych 2D $\text{TiO}_2$ -GO-ZnFe<sub>2</sub>O<sub>4</sub>

Siaczcan tytanu  $\text{TiOSO}_4$  (Sigma Aldrich) rozpuszczono w wodzie dejonizowanej (DI-H<sub>2</sub>O), jednocześnie ogrzewając roztwór do temperatury 35°C. Następnie całość ochłodzono do temperatury 0°C przy użyciu łaźni lodowej. W celu wtrącenia osadu dodano roztwór wody amoniakalnej do pH 8. Otrzymany osad przemyto kilkukrotnie wodą dejonizowaną, odwirowano i ponownie zdyspergowano w DI-H<sub>2</sub>O. Następnie do zawiesiny dodano roztwór nadtlenku wodoru. Po dodaniu 30 cm<sup>3</sup> H<sub>2</sub>O<sub>2</sub> doszło do obniżenie pH z 8 do 2 i zmiany koloru zawiesiny z białej na żółtą.



Rysunek 2. Na rysunku przedstawiono a) zamrożony peroksytytanowy żel, b) zliofilizowany prekursor 2D  $\text{TiO}_2$ .

Zawiesinę mieszano przez 30 minut w temperaturze pokojowej do powstania klarownego roztworu, który poddano starzeniu przez 48 godzin w temperaturze 3°C w celu utworzenia żółtego żelu, który następnie zamrożono przez wkroplenie go do ciekłego azotu i przeniesiono do liofilizatora.

Proces liofilizacji prowadzono w temperaturze - 74°C pod ciśnieniem 0,003 mbar. Liofilizowany materiał kalcynowano w 700 °C przez 1 godzinę, gotowy produkt to arkusze 2D TiO<sub>2</sub>.

Następnie, tlenek grafenu (Sigma Aldrich), zdyspergowano w mieszaninie alkoholu etylowego (EtOH) i wody dejonizowanej (DI-H<sub>2</sub>O). Tak przygotowany roztwór poddano działaniu ultradźwięków przez 30 minut w celu izolacji warstw grafitu. Następnie dodano 2D TiO<sub>2</sub> (przygotowany zgodnie z powyższą procedurą). Całość mieszana i umieszczono w autoklawie ze stali nierdzewnej wyłożonej teflonem, poddając reakcji hydrotermalnej w 130°C przez 6 h. Końcowy produkt 2D TiO<sub>2</sub>-GO odseparowano oraz kilkukrotnie przemyto mieszaniną EtOH/DI-H<sub>2</sub>O. Suszono do stałej masy w temperaturze 70°C.

Nanocząstki ZnFe<sub>2</sub>O<sub>4</sub> zdyspergowano w wodzie dejonizowanej i poddano działaniu ultradźwięków przez 10 minut. Kationowy środek powierzchniowo czynny (CTAB) rozpuszczono w mieszaninie wody dejonizowanej i roztworu wody amoniakalnej, a następnie dodano ferryt cynkowy. Po czasie 1 h dodano 2D TiO<sub>2</sub>-GO. Całość mieszana za pomocą mieszadła mechanicznego przez 24 godziny. Mieszaninę reakcyjną poddano reakcji hydrotermalnej w autoklawie w 30°C przez 24 godziny. Otrzymany produkt odseparowano magnetycznie i oczyszczono kilkukrotnie wodą dejonizowaną w celu usunięcia środka powierzchniowo czynnego przed suszeniem w 70°C. Otrzymany materiał kompozytowy kalcynowano w 550°C przez 3 h.

## **IV.2. Charakterystyka właściwości fizykochemicznych**

### **IV.2.1. Analiza aktywności fotokatalitycznej**

W celu analizy aktywności fotokatalitycznej w reaktorze kwarcowym umieszczono 0,1 g fotokatalizatora, oraz 50 cm<sup>3</sup> roztworu badanego zanieczyszczenia organicznego. Reaktor kwarcowy zaopatrzony był w mieszadło i umieszczony w ciemnej przestrzeni ograniczającej dopływ światła zewnętrznego do układu. Mieszanina reakcyjna była cały czas napowietrzana V<sub>pow.</sub>=5dm<sup>3</sup>/h. Po upływie 30 minut, kiedy ustalił się już stan równowagi reakcji bez dostępu światła, pobierano próbki „0”. Następnie naświetlano próbki promieniowaniem z zakresu UV/vis. Całociowy proces naświetlania prowadzono 60 minut, przy czym co 20 minut za pomocą strzykawki pobierano 1,5 cm<sup>3</sup> próbki. Fotokatalizator separowano z zawesiny przed oznaczeniem stężenia degradowanego związku organicznego.

### **IV.2.2. Analiza powierzchni właściwej metodą Brunauera-Emmetta-Tellera (BET)**

Powierzchnię właściwą wyznaczono metodą izotermy BET (Brunauer'a, Emmett'a i Teller'a) wykorzystując aparat Micromeritics Gemini V (model 2365, Norcross, GA, USA). Analizowane próbki o masie około 0,3 g poddawano odgazowywaniu przez 2 godziny w temperaturze 200°C w aparacie Micromeritics FlowPrep 060. Następnie wyznaczono ilość zaadsorbowanego azotu na powierzchni fotokatalizatorów. Adsorpcja zachodziła w temperaturze 77K. Gazem nośnym w układzie był hel. Zmiany przewodności cieplnej gazowej mieszaniny odzwierciedlają zmiany procesu adsorpcji oraz desorpcji. Z wyznaczonej izotermy adsorpcji wykorzystującej równanie Brunauer'a, Emmett'a i Teller'a obliczono powierzchnię właściwą badanych nanomateriałów.

$$\frac{x}{a(1-x)} = \frac{1}{a_m K} + \frac{K-1}{a_m K} \chi$$

gdzie:

$x$  - ciśnienie względne w zakresie 0,04-0,05;

$a_m$  - pojemność monowarstwy absorpcyjnej,

$K$  - stała równowagi adsorpcji.

#### IV.2.3. Analiza dyfrakcji rentgenowskiej (XRD)

Analizy dyfrakcji rentgenowskiej otrzymanych nanokompozytów zostały wykonane za pomocą aparatu MiniFlex 600 firmy Rigaku. Parametry analizy:

- zakres kątów odbicia 2 Theta: 5-80°,
- prędkość skanowania: 1,00°/min,
- krok skanowania: 0,008°.

Wielkość krystalitów cząstek w kierunku pionowym do odpowiedniej płaszczyzny sieci określono za pomocą równania Scherrera w oparciu o skorygowaną pełną szerokość w połowie maksimum (FWHM) piku XRD i kąta dyfrakcji. Jako metodę korekcji zastosowano odejmowanie FWHM standardu. Zawartość fazy krystalicznej i amorficznej analizowano przy użyciu wewnętrznego standardu (NiO, Aldrich, Niemcy).

#### IV.2.4. Spektroskopia rozproszonego odbicia w zakresie UV-vis (DR/UV-vis)

W celu analizy właściwości absorpcji promieniowania elektromagnetycznego otrzymanych nanocząstek zarejestrowano widma odbicia rozproszonego (DR) przy użyciu spektrofotometru Jasco V-670 wyposażonego w kulę integrującą PIN-757. Jako odniesienie użyto BaSO<sub>4</sub>. Energie pasma wzbronionego obliczono z odpowiedniej funkcji Kubelka – Munka, F(R), która jest proporcjonalna do absorpcji promieniowania, poprzez wykreślenie  $F(R)0,5E_{ph}0,5$  względem  $E_{ph}$ , gdzie  $E_{ph}$  to energia fotonu.

#### IV.2.5. Analiza ruchliwości elektroforetycznej w funkcji pH (pomiar potencjału dzeta)

Badania przeprowadzono za pomocą dynamicznego rozpraszania światła Nano-ZS Zetasizer (Malvern Instruments, Wielka Brytania) wyposażonego w wewnętrzny laser o mocy 4,0 mW.

#### IV.2.6. Spektroskopia w podczerwieni z transformatą Fouriera (FTIR)

Badania w podczerwieni (IR) cząstek przeprowadzono w zakresie 500–5000 cm<sup>-1</sup> za pomocą spektrometru podczerwieni z transformatą Fouriera (FTIR) Nicolet 8700 (Thermo) wyposażonego w kryształ diamentu o pojedynczym odbiciu.

#### IV.2.7. Analiza pętli histerezy magnetycznej

Zbadano właściwości magnetyczne otrzymanych ferrytów spinelowych oraz nanokompozytów. Magnetyczne pętle histerezy zostały wykonane przy użyciu systemu pomiaru właściwości fizycznych (PPMS, Quantum Design, San Diego, CA, USA). Pomiary przeprowadzono w temperaturze 293K w zakresie 0-3T.

#### **IV.2.8. Separacja magnetyczna**

Otrzymane nanokompozyty odseparowano magnetycznie. W celu obliczenia procentowego odzysku fotokatalizatora, 1g MFe<sub>2</sub>O<sub>4</sub> zdyspergowano w 12 cm<sup>3</sup> wody destylowanej. Następnie za pomocą zewnętrznego pola magnetycznego odseparowano nanocząstki. Czas separacji wynosił 5 minut. Odseparowane cząstki suszono do stałej masy.

#### **IV.2.9. Skaningowa mikroskopia elektronowa (SEM)**

Morfologię powierzchni fotokatalizatorów analizowano za pomocą skaningowego mikroskopu elektronowego SEM z korelacją Cs (High Angle Annular Dark Field, HAADF) wraz z mapowaniem EDXS powierzchni (JEOL200F, Zaventem, Belgia).

#### **IV.2.10. Analiza wysokorozdzielczej transmisyjnej mikroskopii elektronowej (HR-TEM)**

Morfologię przygotowanych fotokatalizatorów zbadano za pomocą wysokorozdzielczej analizy przy użyciu transmisyjnego mikroskopu elektronowego (HR-TEM, FEI Europe, Tencai F20 X-Twin). Do analizy TEM cząstki 2D TiO<sub>2</sub>-GO-ZnFe<sub>2</sub>O<sub>4</sub> zostały zdyspergowane w alkoholu etylowym i umieszczone w łaźni ultradźwiękowej na 1 minutę, a następnie kilka kropli zawiesiny osadzono na mikrosiatce Lacey Carbon.

#### **IV.2.11. Analiza elektrochemicznej spektroskopii impedancyjnej (EIS)**

Analizę elektrochemiczną spektroskopii impedancyjnej (EIS) przeprowadzono przy użyciu potencjostatu-galwanostatu (system AutoLab PGStat 302N, Utrecht, Holandia) pod kontrolą oprogramowania GPS / FRA. Jako elektrodę odniesienia zastosowano Ag / AgCl (3M KCl), natomiast jako przeciwelektrodę zastosowano siatkę platynową. Widma mierzono w zakresie częstotliwości od 20 kHz do 1 Hz przy amplitudzie 50 mV prądu przemiennego. Widma elektronowego rezonansu spinowego (ESR/EPR) rejestrowano w temperaturze pokojowej przy użyciu spektrometru BRUKER ELEX-SYS (pasmo X) wyposażonego w bardzo czuły rezonator ER4122 SHQE-W1.

#### **IV.2.12. Analiza chromatografii cieczowej LC-TOFMS**

Szybkość degradacji ibuprofenu mierzono jako spadek stężenia badanego związku organicznego za pomocą chromatografii cieczowej - kwadrupolowej spektrometrii mas z czasem przelotu (LC-TOFMS). Pomiary wykonano przy użyciu systemu LC 1200 Infinity (Agilent, USA) z DAD (detektorem diodowym) i QTOF 6540 (Agilent, USA). Wszystkie moduły kontrolowane były przez MassHunter v B9.0 i B7.0 i to oprogramowanie służyło do gromadzenia i przetwarzania danych. W ostatecznej zoptymalizowanej metodzie oddzielania możliwych produktów ubocznych wykorzystano kolumnę Zorbax XDB-C8 (150 x 4,6 mm, 3 µm). Warunki chromatograficzne były następujące: natężenie przepływu 0,8 cm<sup>3</sup>·min<sup>-1</sup> w trybie izokratycznym, składającym się z 60% H<sub>2</sub>O i 40% acetonitrylu v/v, temperatura rozdzielania utrzymywana była na poziomie 35°C, a objętość nastrzyku wynosiła 0,005 cm<sup>3</sup>. Parametry detekcji i jonizacji były następujące: zbieranie danych w trybie SCAN MS w zakresie 50-300 m/z, temperatura gazu 300°C, przepływ gazu suszącego 8 dm<sup>3</sup>·min<sup>-1</sup>, przepływ gazu nebulizatora 35 psig, napięcie kapilary, fragmentatora i odpieniacza utrzymywano odpowiednio 3500, 60 i 60 V.

#### **IV.2.13. Analiza toksyczności**

Toksyczność początkową roztworu ibuprofenu i jego produktów degradacji określono na podstawie hamowania bioluminescencji bakterii *Vibrio fischeri* (Microtox Acute Reagent, Modern Water, Wielka Brytania). Testy toksyczności przeprowadzono przy użyciu standardowego protokołu Microtox Acute Toxicity Test Screening 81,9%, a luminescencję określono przy użyciu Microtox Model 500 (Modern Water, Wielka Brytania).

#### **IV.2.14. Analiza spektroskopii fluorescencyjnej**

Widma fluorescencji fotokatalizatorów mierzono za pomocą spektrofotometru fluorescencyjnego (Perkin Elmer LS55).

#### **IV.2.15. Analiza właściwości antybakterijnych**

Właściwości przeciwdrobnoustrojowe określono przy użyciu bakterii Gram-ujemnych *Escherichia coli* K12 (ATCC 29425) i bakterii Gram-dodatnich *Staphylococcus epidermidis* (ATCC 49461). Badane mikroorganizmy hodowano w dwóch rodzajach płynnych pożywek – bulionie odżywczym (NB) dla *E. coli* i infuzji mózgowo-sercowej (BHI) dla *Staphylococcus epidermidis* i inkubowano przez 24 h w temperaturze 37°C. Następnie hodowlę testową rozcieńczono 0,85% sterylnym roztworem buforu solankowego do końcowego stężenia w standardzie McFarlanda do końcowego stężenia ok.  $1,5 \times 10^6$  CFU/ml. Badania przeprowadzono zgodnie z normą ASTM E2149-01.

## V. OMÓWIENIE WYNIKÓW BADAŃ

W niniejszej części pracy zaprezentowano wyniki prowadzonych badań ujętych w dysertacji doktorskiej w postaci cyklu 5 oryginalnych prac twórczych w zakresie przedstawionych zagadnień badawczych, opublikowanych w 4 czasopismach z listy JCR o sumarycznym IF= 21.67, jednym rozdziale w monografii naukowej. Ponadto, wyniki badań są przedmiotem 5 zgłoszeń patentowych. Krótki opis prac został przedstawiony poniżej.

W pierwszym etapie prowadzonych badań omówionych w pracy [A1] skoncentrowano się na syntezie ferrytu spinelowego charakteryzującego się najwyższą wartością saturacji magnetyzacji, niską remanencją, które pozwalają na efektywną separację cząstek po procesie oczyszczania w zewnętrznym polu magnetycznym. Na podstawie przeprowadzonych badań zaobserwowano najwyższą wartość  $M_s$  dla spinelowego ferrytu kobaltu. Dla serii otrzymanych cząstek  $\text{CoFe}_2\text{O}_4$  zbadano wpływ siły jonowej, stężenia metali, temperatury kalcynacji oraz rodzaju prekursora na właściwości magnetyczne.

W ostatnich latach nanomateriały w postaci ferrytu kobaltu cieszą się dużym zainteresowaniem ze względu na ich unikalne właściwości elektryczne, katalityczne, magnetyczne, optyczne i medyczne [31,36], które determinują ich potencjalne zastosowania w katalizie, czujnikach gazów, systemach przechowywania informacji, diagnostyce i terapii medycznej [30,37-40]. Obecnie badania skoncentrowane są także na zastosowaniu ferrytów kobaltu do separacji fotokatalizatorów magnetycznych po procesach oczyszczania wody [28] i separacji bakterii [30]. Zaletą nanocząstek  $\text{CoFe}_2\text{O}_4$  jest większa anizotropia krystaliczna o jeden rząd w porównaniu do magnetytu o tej samej wartości saturacji magnetyzacji. Dlatego moment magnetyczny ferrytu kobaltu relaksuje się znacznie wolniej niż w przypadku magnetytu lub maghemitu o podobnej wielkości cząstek [41].

W tym odniesieniu, w niniejszych badaniach skoncentrowano się na właściwościach magnetycznych ferrytu kobaltu otrzymywanego w procesie hydrotermalnym w temperaturach kalcynacji w zakresie 400-800°C, przy użyciu różnych prekursorów soli metali. Po raz pierwszy zbadano wpływ prekursorów metali z grupy siarczanów, chlorków i azotanów oraz ich stężenia stosowanych do syntezy nanocząstek ferrytu kobaltu, wpływ siły jonowej, środowiska reakcji i temperatury kalcynacji na wielkość, właściwości strukturalne i magnetyczne nanocząstek  $\text{CoFe}_2\text{O}_4$ .

Wpływ prekursorów był bezpośrednio skorelowany z właściwościami magnetycznymi. Cząstki  $\text{CoFe}_2\text{O}_4$  z prekursorów siarczanów metali wykazywały najwyższe namagnesowanie nasycenia ( $M_s$ ) wynoszące  $60 \text{ emu}\cdot\text{g}^{-1}$ , najwyższe namagnesowanie remanentne ( $M_r$ ) wynoszące  $9 \text{ emu}\cdot\text{g}^{-1}$  oraz koercję ( $H_c$ ) równą  $0,007 \text{ T}$ . W związku z tym, prekursory siarczanów metali wykorzystano do dalszych badań wpływu stężenia metali, siły jonowej roztworu oraz temperatury kalcynacji na właściwości fizykochemiczne cząstek  $\text{CoFe}_2\text{O}_4$ .

Wpływ siły jonowej badano w zakresie stężeń 1,25–5 M roztworów siarczanów metali. Średni rozmiar hydrodynamiczny  $\text{CoFe}_2\text{O}_4$  wzrastał od 46 nm do 54 nm wraz ze wzrostem stężenia metali i siły jonowej. Ponadto, zaobserwowano, że koercja była mniejsza dla cząstek otrzymanych w roztworach o największej sile jonowej, natomiast stężenie metali i temperatura kalcynacji wpływala na namagnesowanie nasycenia i morfologię otrzymanych cząstek ferrytu kobaltu.

Podsumowując, zaobserwowano istotny wpływ rodzaju prekursora, jego stężenia oraz siły jonowej roztworu na morfologię i właściwości magnetyczne cząstek ferrytu kobaltu otrzymanych metodą hydrotermalną. Stwierdzono, że skład chemiczny prekursorów metali jest skorelowany z właściwościami magnetycznymi. Siła jonowa roztworu metali wpływa na koercję, natomiast stężenie metali silnie wpływa na namagnesowanie nasycenia i morfologię otrzymanych cząstek ferrytu kobaltu. W związku z tym, zmianę stężenia metali, siły jonowej i temperatury kalcynacji można uznać za prostą metodę optymalizacji morfologii, a w konsekwencji właściwości magnetycznych cząstek ferrytu spinelowego kobaltu.

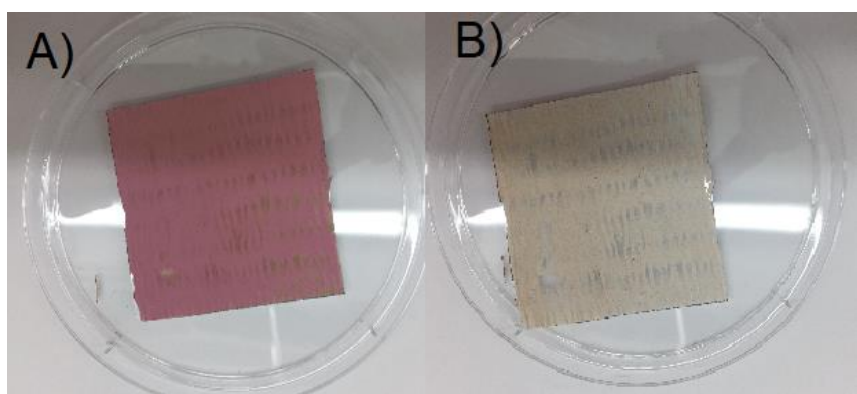
Jednocześnie, poszukując zastosowań dla otrzymanych nanomateriałów o właściwościach magnetycznych, zwróciłem uwagę na spinelowy ferryt cynku, który ze względu na obecność Zn w strukturze wykazuje dodatkowo właściwości biobójcze. Otrzymane ferryty spinelowe kobaltu nie wykazywały właściwości antybakteryjnych, które zbadano na szczepach bakterii *Escherichia coli* oraz *Staphylococcus aureus*. Natomiast ferryt spinelowy cynku wykazywał strefy zahamowania wzrostu bakterii *Escherichia coli* oraz *Staphylococcus aureus* wynoszące odpowiednio 18,9 mm oraz 11,2 mm. W związku z tym, w dalszym etapie prowadzonych badań do otrzymywania materiałów fotokatalitycznych o właściwościach magnetycznych zastosowano ferryt spinelowy cynku.

$ZnFe_2O_4$  jest jednym z szeregu spineli sześciennych na bazie żelaza. Ferryt cynkowy jest podstawową strukturą spinelu z jonami Zn w miejscach tetraedrycznych (A) i jonami Fe w miejscach oktaedrycznych [B]. Ze względu na superaktywne oddziaływanie antyferromagnetyczne pomiędzy jonami B-B, spinelowy ferryt cynku jest antyferromagnetyczny. Ponadto, spinelowy ferryt cynku wykazuje właściwości biobójcze. Mandal i in. [42] potwierdzili, że nanocząstki ferrytu spinelowego cynku wykazały podobne właściwości biobójcze do znanych antybiotyków. Natomiast García-Cruz i in. [43] wykazali działanie nanocząstek ferrytu cynku przeciwko bakteriom fitopatogennym.

$ZnFe_2O_4$  charakteryzuje się magnetyczną strukturą materiału polegającą na antyrównoległym uporządkowaniu elementarnych momentów magnetycznych w podsieciach sieci krystalicznej. Jednakże, gdy jest on otrzymywany w nanoskali, energia związana z niskim rozmiarem cząstek sprzyja rozkładowi mieszanego kationu, w którym jony  $Zn^{2+}$  i  $Fe^{3+}$  są rozmieszczone wzdłuż miejsc A i B, co powoduje powstanie mieszanej struktury spinelu [44]. Spinelowy ferryt cynkowy jest paramagnetykiem w temperaturze pokojowej, wynika to z zajęcia przez niemagnetyczne atomy cynku tetraedrycznych miejsc w strukturze krystalograficznej [45].

W pracy naukowej [A2] scharakteryzowano po raz pierwszy hybrydowe farby o właściwościach biobójczych, magnetycznych oraz samoczyszczących. Nowe materiały kompozytowe na bazie ferrytu spinelowego o niestechiometrycznej zawartości Fe do Zn, będące również przedmiotem trzech zgłoszeń patentowych (UPRP) zostały wykorzystane do otrzymywania trójfunkcyjnej farby nowej generacji o właściwościach magnetycznych, antybakteryjnych i samoczyszczących. Ponadto niestechiometryczny ferryt spinelowy cynku w połączeniu z  $TiO_2$  pozwolił na otrzymanie powierzchni o silnych właściwościach biobójczych. Właściwości samoczyszczące zbadano w reakcji degradacji barwnika – czerwieni obojętnej. Właściwości samoczyszczące farby modyfikowanej  $ZnO/ZnFe_2O_4/SiO_2/TiO_2$  (próbka S4) przedstawiono na Rysunku 3. Po procesie barwienia próbka charakteryzowała się jednolicie czerwonym kolorem (Rysunek 3a). Ponadto proces

fotodegradacji doprowadził do skutecznej degradacji barwnika, a próbka powróciła do pierwotnego koloru (Rys. 3b). Dostępna w handlu biała farba nie była aktywna fotokatalitycznie. Dla próbki referencyjnej S0, stanowiącej niemodyfikowaną komercyjną farbę, nie zaobserwowano fotodegradacji. Dla próbek S1 i S2 farby modyfikowanej nanocząstkami ferrytu spinelowego cynku o niestechiometrycznej zawartości Fe:Zn, skuteczność degradacji barwnika wyniosła odpowiednio 47,5% i 56,6%. Największą efektywność fotodegradacji wynoszącą 93% zaobserwowano dla próbki S4, zawierającej kompozyt ZnO/ZnFe<sub>2</sub>O<sub>4</sub>/SiO<sub>2</sub>/TiO<sub>2</sub> o stosunku Fe:Zn wynoszącym 1:2. Dla próbki S3 obserwowane właściwości samoczyszczące były niewiele niższe, a efektywność procesu degradacji barwnika wynosiła około 86,2%. Różnica wynika ze zwiększonej zawartości ZnO w strukturze kompozytu ZnFe<sub>2</sub>O<sub>4</sub>/SiO<sub>2</sub>/TiO<sub>2</sub> (próbka S4, Fe:Zn równa 1:2), co jest związane z metodą syntezy fotokatalizatora.



Rysunek 3. Zdjęcia próbki S4 przed procesem fotodegradacji barwnika (czerwień obojętna) (a) i po procesie fotodegradacji (b).

Podsumowując, w przedstawionej pracy [A2] po raz pierwszy opisano materiały budowlane zawierające jako substancję czynną – kompozyt na bazie TiO<sub>2</sub>, ZnO i ZnFe<sub>2</sub>O<sub>4</sub> o niestechiometrycznej zawartości Fe:Zn oraz sposób wytwarzania trójfunkcyjnej farby. Nowością w produktach budownictwa są trójfunkcyjne nanomateriały o właściwościach fotokatalitycznych, magnetycznych i biobójczych. Proponowany produkt – farba trójfunkcyjna, wzbogaca ofertę rynkową w szeroko rozumianej branży wyrobów budowlanych. Scharakteryzowane nanokompozyty o właściwościach biobójczych, magnetycznych i samoczyszczących, potwierdzają skuteczność produktu w postaci farby trójfunkcyjnej pod względem właściwości magnetycznych (analiza nasycenia namagnesowania), właściwości biobójczych (analiza właściwości biobójczych przeprowadzone na szczepach bakterii Gram-dodatnich *Staphylococcus epidermidis* i Gram-ujemnych *Escherichia coli* oraz właściwości samoczyszczących w reakcji degradacji barwnika. Farby zawierające cząsteczki ZnO/ZnFe<sub>2</sub>O<sub>4</sub>/SiO<sub>2</sub>/TiO<sub>2</sub> wykazały wysoką aktywność przeciwdrobnoustrojową w warunkach światła widzialnego. Obecnie na rynku nie ma nanomateriałów do otrzymywania powłok ochronnych w postaci farb, które jednocześnie wykazują właściwości biobójcze, magnetyczne i samoczyszczące – fotokatalityczne.

W kolejnym etapie przeprowadzonych badań, które są przedmiotem kolejnych dwóch zgłoszeń patentowych otrzymano nowe hybrydowe gładzie szpachlowe modyfikowane nanocząstkami

2D-TiO<sub>2</sub>-M, M=Zn lub ZnO, charakteryzujące się właściwościami biobójczymi oraz samoczyszczącymi. Sposób otrzymywania hybrydowych gładzi szpachlowych jest przedmiotem dwóch zgłoszeń patentowych [P4] oraz [P5].

W kolejnym etapie badań otrzymane fotokatalizatory magnetyczne zastosowano do degradacji zanieczyszczeń z grupy aktywnych substancji farmaceutycznych niepodatnych na rozkład biologiczny **[A3-A5]**.

Etodolak, kwas 1,8-dietylo-1,3,4,9 – tetrahydropiran - [3,4-b]indolo-1-octowy jest stosowany na całym świecie jako lek przeciwzapalny, przeciwbólowy i przeciwigorączkowy w leczeniu reumatoidalnego zapalenia stawów, przewlekłego zapalenia tkanek miękkich (naczyń, ścięgien), zapalenie nerwów oraz osteoporozy [46-47]. Ten środek farmaceutyczny jest metabolizowany w wątrobie. Choć jedynie 1% etodolaku wydalane jest z organizmu człowieka w postaci niezmienionej przez nerki z moczem, a 16% z kałem, etodolak często jest wykrywany w środowisku wodnym, np. rzekach, jeziorach czy wodach morskich [48-50]. W 2011 roku w próbkach wody rzecznej w Hyogo w Japonii wykryto etodolak (ETD) w stężeniu 0,3 ng·dm<sup>-3</sup> [60]. W 2019 roku Guzel i in. stwierdzili jego obecność w stężeniu 47,35 ng·dm<sup>-3</sup> w rzece Ceyhan w południowej Turcji [51]. ETD ma negatywny wpływ na organizmy wodne, takie jak algi, rozwielitki i ryby, powodując zaburzenia w prawidłowym rozwoju lub upośledzając już ukształtowane narządy organizmów żywych [52]. Jednak, co szczególnie istotne, etodolak i jego pochodne są podatne na bioakumulację [53].

W pracy naukowej **[A3]** po raz pierwszy zbadano podatność na fotokatalityczną degradację etodolaku. Jako fotokatalizator zastosowano syntezowany nanokompozyt na bazie TiO<sub>2</sub> sprzężony z nanocząstkami ferrytu spinelowego cynku w celu efektywnej separacji i odzysku fotokatalizatora po procesie oczyszczania.

W pracy wykazano, że zastosowanie procesu fotokatalizy w obecności fotokatalizatora ZnFe<sub>2</sub>O<sub>4</sub>/SiO<sub>2</sub>/TiO<sub>2</sub> zawierającego w strukturze anataz oraz ferryt spinelowy cynku wpływa na wzrost efektywności degradacji i mineralizacji etodolaku w porównaniu z procesem fotolizy. Zbadano wpływ długości fali promieniowania elektromagnetycznego w zakresie UV i vis oraz pH układu reakcyjnego na fotokatalityczny rozkład etodolaku. Najbardziej wydajną degradację etodolaku zaobserwowano w warunkach naświetlania promieniowaniem w zakresie UV-vis przy użyciu fotokatalizatora magnetycznego rdzeń-otoczka ZnFe<sub>2</sub>O<sub>4</sub>/SiO<sub>2</sub>/TiO<sub>2</sub>, w środowisku o pH wynoszącym powyżej 4 (pKa=4,7) i poniżej 7. W reakcji fotokatalitycznej w obecności ZnFe<sub>2</sub>O<sub>4</sub>/SiO<sub>2</sub>/TiO<sub>2</sub>\_650-II około 100% etodolaku uległo degradacji w czasie 20 min naświetlania promieniowaniem UV i UV-vis. Ponadto, na podstawie analizy HPLC/DAD i HPLC/MS określono sześć związków pośrednich zarówno w reakcji fotolizy, jak i w reakcji fotokatalitycznej degradacji oraz zaproponowano ścieżkę fotodegradacji etodolaku w obecności otrzymanego fotokatalizatora. W zakresie UV-vis po 40 min fotolizy degradacja etodolaku wynosiła 100%, jako jedyną pochodną zaobserwowano formowanie laktamu niepodatnego na dalszą degradację. Z kolei zastosowanie fotokatalizy w obecności ZnFe<sub>2</sub>O<sub>4</sub>/SiO<sub>2</sub>/TiO<sub>2</sub> prowadzi do utleniania etodolaku do spiro-pochodnej, która ulega dalszej degradacji do prostych związków alifatycznych.

Podsumowując, po raz pierwszy zastosowano proces fotokatalizy w obecności nanokompozytu magnetycznego do efektywnej fotodegradacji etodolaku. Wykazano wpływ

parametrów procesu fotodegradacji (pH, źródła światła) na efektywność degradacji i mineralizacji etodolaku. Wykazano możliwość zastosowania procesu fotokatalizy w obecności zaprojektowanego fotokatalizatora magnetycznych o strukturze rdzeń-otoczka do degradacji substancji aktywnych leków.

Jedną z metod aktywacji  $\text{TiO}_2$  w szerszym zakresie spektrum promieniowania elektromagnetycznego oraz zwiększenia stopnia separacji nośników ładunku jest modyfikacja powierzchni fotokatalizatora za pomocą nanocząstek metali, w szczególności nanocząstek metali szlachetnych, wykazujących zdolność do absorbowania promieniowania z zakresu widzialnego, związaną z występowaniem zlokalizowanego rezonansu plazmonu powierzchniowego (ang. Localized Surface Plasmon Resonance, LSPR), czyli drgań oscylacyjnych gęstości swobodnych elektronów. LSPR występuje, jeżeli na elektryny z pasma przewodnictwa metalu oddziałuje pole elektromagnetyczne, które wprawia elektryny w drgania. Po jednej stronie nanocząstki tworzy się ładunek ujemny (chmura elektronowa), natomiast po drugiej stronie – ładunek dodatni. Wielkość i zawartość cząstek metali szlachetnych na powierzchni  $\text{TiO}_2$  są istotnymi czynnikami, które mogą wpływać na separację nośników ładunku w kontakcie z powierzchnią półprzewodnika.

W pracy [A4] omówiono wyniki badań dla nanokompozytów na bazie  $\text{TiO}_2$  modyfikowanych nanocząstkami metali szlachetnych Pt lub Pd. Otrzymane nanokompozyty  $\text{ZnFe}_2\text{O}_4/\text{SiO}_2/\text{TiO}_2/\text{Pt}$  oraz  $\text{ZnFe}_2\text{O}_4/\text{SiO}_2/\text{TiO}_2/\text{Pd}$  charakteryzowały się znacznym rozwojem powierzchni właściwej BET wynoszącym  $180\text{-}190 \text{ m}^2\cdot\text{g}^{-1}$ . Wielkość krystalitów ferrytu cynkowego określona na podstawie analizy dyfrakcji rentgenowskiej wynosiła około 9-10 nm, wielkość ta determinuje zjawisko superparamagnetyzmu, co świadczy o tym, że nanokompozyt posiada również właściwości umożliwiające separację w zewnętrznym polu magnetycznym po procesie oczyszczania wody. Aktywność fotokatalityczną zbadano w reakcji degradacji fenolu jako modelowego zanieczyszczenia organicznego pod wpływem promieniowania UV/vis i vis. Zaobserwowano wzrost aktywności fotokatalitycznej dla próbek fotokatalizatora magnetycznego modyfikowanego platyną pod wpływem światła UV/vis i vis. Dodatkowo, wprowadzenie na etapie syntezy do środowiska reakcji  $\text{HIO}_3$  wpłynęło korzystnie na aktywację  $\text{TiO}_2$  w zakresie światła widzialnego (próbka  $\text{ZnFe}_2\text{O}_4/\text{SiO}_2/\text{TiO}_2\text{-I-Pt}$ ) w porównaniu do fotokatalizatora  $\text{ZnFe}_2\text{O}_4/\text{SiO}_2/\text{TiO}_2\text{-Pt}$ .

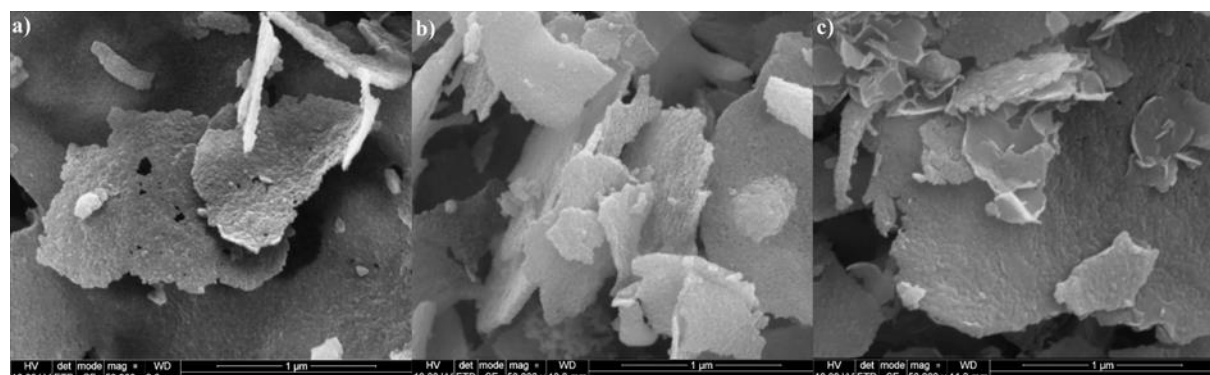
Podsumowując, w wyniku przeprowadzonych badań otrzymano fotokatalizatory magnetyczne  $\text{ZnFe}_2\text{O}_4/\text{SiO}_2/\text{TiO}_2$  o strukturze rdzeń-otoczka, które zastosowano do degradacji fenolu w wodzie. Wykazano wpływu modyfikacji nanocząstkami metali (Pt, Pd) oraz dodatku  $\text{HIO}_3$  na aktywność fotokatalityczną otrzymanych fotokatalizatorów w zakresie światła UV-vis i vis.

W pracy [A5] przedstawiono wyniki badań dotyczących zastosowania hybrydowych fotokatalizatorów 2D/2D  $\text{TiO}_2\text{-GO-ZnFe}_2\text{O}_4$  otrzymanych techniką liofilizacji bezfluorowej do degradacji ibuprofenu pod wpływem promieniowania UV-vis. Ibuprofen (Ibu), kwas izobutylofenylopropionowy, to niesteroidowy lek przeciwzapalny, wydawany bez recepty. Stosowany w łagodzeniu bólu, leczeniu stanów zapalnych i obniżaniu gorączki. Światowa produkcja farmaceutyku wynosi kilka kiloton rocznie, jest to trzeci najpopularniejszy lek na świecie [54-55]. Związek ten stanowi ogromny problem środowiskowy, ponieważ występuje w wodach powierzchniowych i gruntowych.

W 2007 r. ibuprofen wykryto w ściekach w północnej Szkocji w stężeniu  $405 \text{ ng}\cdot\text{dm}^{-3}$  [56]. Ternes [57] i inni wykryli ibuprofen w szerokim zakresie stężeń od  $0,07\text{-}0,37 \text{ }\mu\text{g}\cdot\text{dm}^{-3}$  w rzekach

i ściekach w Niemczech. Farmaceutyk wykryto także w rzekach Katalonii (Hiszpania) [58]. Próbki wody pobrane z jeziora Greifen reduced zawierały również zanieczyszczenia farmaceutyczne, w tym ibuprofen [59]. W 2003 r. Andreozzi [59] wraz z współpracownikami oznaczył ibuprofen oraz inne farmaceutyki w rzekach europejskich miast. W badaniu wzięto pod uwagę: Francję, Włochy, Szwecję i Grecję. Z przedstawionych danych wynika że niesteroidowy lek przeciwzapalny jest trudny do usunięcia, a skala problemu jest nie tylko lokalna, ale także globalna. Ponadto ibuprofen ulega bioakumulacji w organizmach żywych [60]. Prezentowane badania pokazują, że ibuprofen stanowi zagrożenie dla żywych organizmów, dlatego ważne jest poszukiwanie zaawansowanych procesów oczyszczania wód do efektywnej degradacji zanieczyszczeń organicznych niepodatnych na rozkład biologiczny.

Do fotodegradacji ibuprofenu zastosowano dwuwymiarowe arkusze  $\text{TiO}_2$  otrzymane metodą liofilizacji bezfluorowej, co pozwala na otrzymywanie struktur dwuwymiarowych zgodnych z zasadami zielonej chemii. Nanoarkusze  $\text{TiO}_2$  modyfikowano GO, a następnie za pomocą  $\text{ZnFe}_2\text{O}_4$ , który dodatkowo zapewnia właściwości superparamagnetyczne i umożliwia separację fotokatalizatora po procesie fotodegradacji. Morfologię otrzymanego 2D  $\text{TiO}_2$  przedstawiono na Rysunku 4. Ponadto, analizy mikroskopowe za pomocą transmisyjnego mikroskopu elektronowego potwierdziły powstanie struktury nanokompozytu 2D/2D  $\text{TiO}_2$ -GO- $\text{ZnFe}_2\text{O}_4$  o całkowej wielkości cząstek kompozytu wynoszącej 30-40 nm. Za pomocą analizy spektroskopowej EDS potwierdzono obecność Zn, Fe, C, O i Ti w strukturze materiału fotokatalitycznego. Sygnały dla Zn i Fe występowały w tym samym obszarze wewnętrz struktury, a sygnały dla C, O i Ti poza strukturą cząstki magnetycznej. W kompozycie tlenek grafenu składa się z kilku warstw.



Rysunek 4. Obrazy skaningowej mikroskopii elektronowej nanoarkuszy  $\text{TiO}_2$  otrzymanych metodą liofilizacji

Otrzymany nanokompozyt 2D/2D  $\text{TiO}_2$ -GO- $\text{ZnFe}_2\text{O}_4$  charakteryzował się prawie anhisteretyczną odpowiedzią magnetyczną wraz z wysoką początkową podatnością magnetyczną, umożliwiając efektywną separację fotokatalizatora w zewnętrznym polu magnetycznym. Zastosowanie ferrytu spinelowego cynku jako materiału magnetycznego pozwoliło na separację fotokatalizatora z zawiesiny z wydajnością ponad 96%, w czasie krótszym niż 5 minut. Świadczy to o możliwości efektywnego odzyskiwania fotokatalizatora i ponownego jego zastosowania w kolejnych cyklach fotodegradacji. Wykazano, że w procesie fotolizy ibuprofen uległ przekształceniu do bardziej toksycznych produktów pośrednich, podczas gdy w procesie fotokatalizy, w obecności otrzymanego

fotokatalizatora 2D/2D  $\text{TiO}_2$ -GO-Zn $\text{Fe}_2\text{O}_4$  zaobserwowano wysoką efektywność degradacji ibuprofenu w czasie krótszym niż 20 minut, prowadzącą do powstania nietoksycznych i bardziej podatnych na biodegradację półproduktów. Na podstawie analiz właściwości fotokatalitycznych w obecności zmieniający ładunku oraz analizy widm elektronowego rezonansu spinowego (ESR) stwierdzono, że anionorodniki ponadtlenkowe  $\cdot\text{O}_2^-$  oraz tlen singletowy  $^1\text{O}_2$  odgrywają kluczową rolę w fotodegradacji ibuprofenu.

Podsumowując, przeprowadzone badania potwierdzają, że dwuwymiarowy kompozyt magnetyczny jest obiecującym fotokatalizatorem do degradacji aktywnych substancji farmaceutycznych pod wpływem światła słonecznego. Wykazano znaczenia anionorodników ponadtlenkowych oraz tlenu singletowego w mechanizmie degradacji ibuprofenu.

## PODSUMOWANIE I WNIOSKI

W niniejszej dysertacji doktorskiej wykazano istotny wpływ rodzaju prekursora, jego stężenia oraz siły jonowej roztworu na morfologię i właściwości magnetyczne cząstek ferrytu spinelowego kobaltu otrzymanych metodą hydrotermalną. Wykazano korelację właściwości magnetycznych ze składem chemicznym prekursora metalu. Zaobserwowano wpływ stężenia jonów metali, siły jonowej i temperatury kalcynacji na właściwości magnetyczne cząstek ferrytu.

W kolejnym etapie badań po raz pierwszy otrzymano i scharakteryzowano  $ZnFe_2O_4$  o niestechiometrycznej zawartości Fe:Zn charakteryzujący się silnymi właściwościami antybakterijnymi. Otrzymane kompozyty na bazie  $TiO_2$  oraz niestechiometrycznego  $ZnFe_2O_4$  zastosowano jako modyfikatory farby komercyjnej, co pozwoliło na uzyskanie trójfunkcyjnych materiałów o właściwościach fotokatalitycznych, magnetycznych i biobójczych. Otrzymany materiał budowlany w postaci farby trójfunkcyjnej, wzbogaca ofertę rynkową w szeroko rozumianej branży wyrobów powłok ochronno-dekoracyjnych. Obecnie na rynku nie ma materiałów do otrzymywania powłok ochronnych w postaci farb, które jednocześnie wykazują właściwości biobójcze, magnetyczne i samoczyszczące – fotokatalityczne.

W pracy po raz pierwszy przedstawiono zastosowanie nanokompozytu magnetycznego  $ZnFe_2O_4/SiO_2/TiO_2$  o strukturze rdzeń-otoczka w procesie fotodegradacji etodolaku pod wpływem światła UV oraz UV-vis. Zaobserwowano wpływ długości fali światła i pH na kinetykę procesu fotodegradacji. Dodatkowo modyfikacja powierzchni  $ZnFe_2O_4/SiO_2/TiO_2$  za pomocą Pt i domieszkowanie jodem wpłynęły na wzrost aktywności fotokatalitycznej pod wpływem światła UV-vis i vis.

W kolejnym etapie badań, otrzymane fotokatalizatory w postaci nanoarkuszy  $TiO_2$  w połączeniu z tlenkiem grafenu i ferrytem spinelowym cynku zastosowano do efektywnej degradacji ibuprofenu w czasie krótszym niż 30 min pod wpływem promieniowania UV-vis. Otrzymane hybrydowe fotokatalizatory 2D/2D  $TiO_2$ -GO- $ZnFe_2O_4$  o właściwościach fotokatalitycznych oraz superparamagnetycznych były stabilne w kolejnych cyklach degradacji ibuprofenu i wykazywały podatność na separację w zewnętrznym polu magnetycznym.

Wyniki badań przeprowadzonych w ramach pracy doktorskiej mają znaczący wpływ na rozwój badań w zakresie preparatyki nowych fotokatalizatorów na bazie Fe i Zn, w tym fotokatalitycznej degradacji farmaceutyków niepodatnych na rozkład biologiczny oraz otrzymywania materiałów budowlanych o właściwościach samoczyszczących, magnetycznych i biobójczych.

## SPIS LITERATURY

1. Paszyc S., Podstawy fotochemii. Wydawnictwo Naukowe PWN, 1992.
2. Grabowska E., Reszczyńska J., Zaleska A., Mechanism of phenol photodegradation in the presence of pure and modified-TiO<sub>2</sub>. A review: Water research (2012) 5453-5471.
3. Grzybowska-Świerkosz B., Elementy katalizy heterogenicznej. Wydawnictwo Naukowe PAN, 1993.
4. Zalas M., Synthesis of N-doped template-free mesoporous titania for visible light irradiation. Catalysis Today 230 (2014) 91-96.
5. Kroto H. W., Fischer J. E., Cox D. E., Order and disorder in fullerene and fulleride solids. The Fullerenes(Pergamon,Oxford) 2 (1993).
6. Iijima S., Helical microtubules of graphitic carbon. Nature 354 (1991) 56–58.
7. Chopra N. G., Luyken R. J., Cherrey K., Crespi V. H., Cohen M. L., Louie S. G., Zettl A., Boron nitride nanotubes. Science 269 (1995) 966–967.
8. Tenne R., Margulis L., Genut M., Hodes G., Polyhedral and cylindrical structures of tungsten disulphide. Nature 360 (1992) 444–446.
9. Dresselhaus M. S., Dresselhaus G., Intercalation compounds of graphite. Advances in Physics 51 (2002) 1–186.
10. Ithurria S., Tessier M. D., Mahler B., Lobo R. P. S. M., Dubertret B., Efros A. L., Colloidal nanoplatelets with two-dimensional electronic structure. Nature Materials 10 (2011) 936-941.
11. Zeng H., Dai J., Yao W., Xiao D., Cui X., Valley polarization in MoS<sub>2</sub> monolayers by optical pumping. Nature Nanotechnology 7 (2012) 490-493.
12. Radisavljevic B., Radenovic A., Brivio J., Giacometti V., Kis A., Single-layer MoS<sub>2</sub> transistors. Nature Nanotechnology 6 (2011) 147-150.
13. Jaramillo T. F., Jørgensen K. P., Bonde J., Nielsen J. H., Horch S., Chorkendorff I., Identification of Active Edge Sites for Electrochemical H<sub>2</sub> Evolution from MoS<sub>2</sub> Nanocatalysts. Science 317 (2007) 100-102.
14. Rapoport L., Bilik Y., Feldman Y., Homyonfer M., Cohen S. R., Tenne R., Hollow nanoparticles of WS<sub>2</sub> as potential solid-state lubricants. Nature 387 (1997) 791-793.
15. Nguyen-Phan TD, Pham VH, Shin EW, Pham HD, Kim S, Chung JS, Kim EJ, Hur SH., The role of graphene oxide content on the adsorption-enhanced photocatalysis of titanium dioxide/graphene oxide composites. Chemical Engineering Journal 170 (2011) 226-232.
16. Shah S. A. S., Park R., Zhang K., Park J. H., Yoo P. J., Green Synthesis of Biphasic TiO<sub>2</sub>-Reduced Graphene Oxide Nanocomposites with Highly Enhanced Photocatalytic Activity. ACS Applied Materials and Interfaces 4 (2012) 3893-3901.
17. Araña J., Doña-Rodríguez J. M., González-Díaz O., Tello Rendón E., Herrera Melián J. A., Colón G., Navío J. A., Pérez Peña J., Gas-phase ethanol photocatalytic degradation study with TiO<sub>2</sub> doped with Fe, Pd and Cu. Journal of Molecular Catalysis A: Chemical 215(1–2) (2004) 153-160.
18. Irie H., Watanabe Y., Hashimoto K., Nitrogen-concentration dependence on photocatalytic activity of TiO<sub>2-x</sub>N<sub>x</sub> powders. Journal of Physical Chemistry B. 107 (2003) 543-546.
19. Li Y., Hwang D.S., Lee N.H., Kim S.J., Synthesis and characterization of carbon-doped titania as an artificial solar light sensitive photocatalyst. Chemical Physics Letters 404 (2005) 25-29.
20. Rahimi N., Pax R.A., Gray E.M., Review of functional titanium oxides. I:TiO<sub>2</sub> and its modifications. Progress in Solid State Chemistry (2016) 1-20.
21. Nakamura I., Negishi N., Kutsuna S., Ihara T., Sugihara S., Takeuchi K., Role of oxygen vacancy in the plasma-treated TiO<sub>2</sub> photocatalyst with visible light activity for NO removal. Journal of Molecular Catalysis A: Chemical 161 (2000) 205-212.

22. Zielińska-Jurek A., Wei Z., Wysocka I., Szweda P., Kowalska E., The effect of nanoparticles size on photocatalytic and antimicrobial properties of Ag-Pt/TiO<sub>2</sub> photocatalysts. *Applied Surface Science* 353 (2015) 317-325.
23. Kanakaraju D., Diwya anak Kutiang F., Lim Y. C., Goh P. S., Recent progress of Ag/TiO<sub>2</sub> photocatalyst for wastewater treatment: Doping, co-doping, and green materials functionalization. *Applied Materials Today* 27 (2022).
24. Ayati A., Ahmadpour A., Bamoharram F. F., Tanhaei B., Mänttäri M., Sillanpää M., A review on catalytic applications of Au/TiO<sub>2</sub> nanoparticles in the removal of water pollutant. *Chemosphere* 107 (2014) 163-174.
25. Mioduska J., Zielińska-Jurek A., Janczarek M., Hupka J., The Effect of Calcination Temperature on Structure and Photocatalytic Properties of WO<sub>3</sub>/TiO<sub>2</sub> Nanocomposites. *Journal of Nanomaterials* (2016).
26. Fernández J. A., Suan A., Ramírez J. C., Robles J., Salcedo J. C., Pedroza A. M., Daza C. E., Treatment of real wastewater with TiO<sub>2</sub> - films sensitized by a natural-dye obtained from Picramnia sellowii. *Journal of Environmental Chemical Engineering* 4 (2016) 2848-2856.
27. Fan Y., Ma C., Li W., Yin Y., Synthesis and properties of Fe<sub>3</sub>O<sub>4</sub>/SiO<sub>2</sub>/TiO<sub>2</sub> nanocomposites by hydrothermal synthetic method; *Materials Science in Semiconductor Processing* 15 (2012) 582-585.
28. Zielinska-Jurek A., Bielan Z., Dudziak S., Malinowska I., Sobczak Z., Klimczuk T., Nowaczyk G., Hupka J., Design and Application of Magnetic Photocatalysts for Water Treatment . The Effect of Particle Charge on Surface Functionality. *Catalysts* 7 (2017) 2013–2017.
29. Xue X., Fu J., Zhu W., Guo X., Separation of ultrafine TiO<sub>2</sub> from aqueous suspension and its reuse using cross-flow ultrafiltration ( CFU ). *Desalination* 225 (2008) 29–40.
30. Sugimoto M., The Past, Present, and Future of Ferrites. *Journal of the American Ceramic Society* 82 (1999) 269–280.
31. Murugesan C., Okrasa L., Chandrasekaran G., Structural, AC conductivity, impedance and dielectric study of nanocrystalline MFe<sub>2</sub>O<sub>4</sub> (M = Mg, Co or Cu) spinel ferrites. *Journal of Materials Science: Materials in Electronics* 28 (2017) 13165-78.
32. Runowski M.; Nanotechnologia – nanomateriały, nanocząstki i wielofunkcyjne nanostruktury typu rdzeń / powłoka,” *Chemik* 68 (2014) 766–770.
33. Nghiem N. D., Morgan B., Donner E., Short M. D., The COVID-19 pandemic: Considerations for the waste and wastewater services sector. *Case Studies in Chemical and Environmental Engineering* 1 (2020).
34. Kamal H. B., Antonious M. S., Mekewi M. A., Badawi A. M., Gabr A. M., Baghdady K., Nano ZnO / amine composites antimicrobial additives to acrylic paints. *Egyptian Journal of Petroleum* 24(4) (2015) 397-404.
35. Talebian N., Matin Amininezhad S., Doudi M., Controllable synthesis of ZnO nanoparticles and their morphology-dependent antibacterial and optical properties, *Journal of Photochemistry and Photobiology B: Biology* 120 (2013) 66-73.
36. Mathew D. S., Juang R. S., An overview of the structure and magnetism of spinel ferrite nanoparticles and their synthesis in microemulsions, *Chemical Engineering Journal* 129 (2007) 51–65.
37. Valenzuela R., Novel Applications of Ferrites, *Physics Research International* 2012 (2012) 1-9.
38. Kumbhar V. S., Jagadale A. D., Shinde N. M., Lokhande C. D., Chemical synthesis of spinel cobalt ferrite (CoFe<sub>2</sub>O<sub>4</sub>) nano-flakes for supercapacitor application, *Applied Surface Science* 259 (2012) 39–43.
39. Sivakumar N., Narayanasamy A., Jeyadevan B., Joseyphus R. J., Dielectric relaxation behaviour of nanostructured Mn – Zn ferrite, *Journal of Physics D: Applied Physics* 41 (2008) 1–6.
40. Rondinone A. J., Liu C., Zhang Z. J., Determination of magnetic anisotropy distribution and anisotropy constant of manganese spinel ferrite nanoparticles, *Journal of Physical Chemistry B* 105 (2001) 7967–7971.

41. Néel L., Antiferromagnetism and ferrimagnetism, *Proceedings of the Physical Society Section A* 65 (1952) 869–885.
42. Mandal S., Natarajan S., Tamilselvi A., Mayadevi S., Photocatalytic and antimicrobial activities of zinc ferrite nanoparticles synthesized through soft chemical route: A magnetically recyclable catalyst for water/wastewater treatment, *Journal of Environmental Chemical Engineering* 4(3) (2016) 2706-2712.
43. Garcia-Cruz A., Rincon-Enriquez G., Ilyina A., Guizar-Gonzalez C., Mtz-Enriquez Al., Diaz-Jimenez L., Quinones-Aguilar E.E., Enriquez-Vara J., Ramos-Gonzalez R., Aguilar-Gonzalez CN., Bactericidal In-Vitro Effect of Zinc Ferrite Nanoparticles and the Orange Wax Extracts on Three Phytopathogen Microorganisms, *IEEE Trans Nanobioscience* 18(4) (2018) 528-534.
44. Maalam K. El., Lahcen F., Mahhouti Z., Mounkachi O., Ait Ali M., Hamedoun M., Benyoussef A., The effects of synthesis conditions on the magnetic properties of zinc ferrite spinel nanoparticles. *Journal of Physics Conference Series* 758 (2016).
45. Makovec D., Kodre A., Arčon I., Drofenik M., The structure of compositionally constrained zinc-ferrite spinel nanoparticles. *Journal of Nanoparticle Research* 13(2011) 1781–1790.
46. Gadade D., Pekamwar S., Lahotl S.R., Patni S. D., Sarode M. C., Cocrystallization of Etodolac: Prediction of Cocrystallization, Synthesis, Solid State Characterization And In Vitro Drug Release. *Marmara Pharmaceutical Journal* 21 (2017) 78-88
47. Brocks D. R., Jamali F., Etodolac Clinical Pharmacokinetics, *Clinical Pharmacokinetics* 26 (1994) 259-274.
48. Hoshina K., Horiyama S., Matsunaga H., Hagiwara J., Simultaneous determination of non-steroidal anti-inflammatory drugs in river water samples by liquid chromatography–tandem mass spectrometry using molecularly imprinted polymers as a pretreatment column. *Journal of Pharmaceutical and Biomedical Analysis* 55 (2011) 916–922
49. Temussi F., Cermola F., DellaGreca M., Lesce M. R., Passananti P., Previtera L., Zarrelli A., Determination of photostability and photodegradation products of indomethacin in aqueous media. *Journal of Pharmaceutical and Biomedical Analysis* 56 (2011) 678–683
50. Saxena D., Damale S., Datar A., Investigation of forced degradation products of etodolac by LC and LC-MS/MS. *International Journal of Pharmacy and Pharmaceutical Sciences* 8 (2016) 127-135
51. Guzela E. Y., Cevika F., Daglioglu N., Human and Ecological Risk Assessment: An International Journal 25 (2019) 1980-1995
52. Watanabe H., Tamura I., Abe R., Takanobu H., Nakamura A., Suzuki T., Hirose A., Nishimura T., Tatarazako N., The Toxic Effects of Antibiotics on Freshwater and Marine Photosynthetic Microorganisms: State of the Art. *Environmental Toxicology and Chemistry*, 35 (2016) 996–1006
53. Howard P. H., Muir D. C. G., Identifying New Persistent and Bioaccumulative Organics Among Chemicals in Commerce. *Environmental Science & Technology* 45 (2011) 6938-6946
54. Lee HB, Sarafin K, Peart TE, Svoboda ML., Acidic Pharmaceuticals in Sewage—Methodology, Stability Test, Occurrence, and Removal from Ontario Samples. *Water Quality Research Journal of Canada* 38(4) (2003) 667-682.
55. Stumpf M., Ternes T., Haberer K., Baumann W., Isolierung von Ibuprofen-Metaboliten und deren Bedeutung als Kontaminanten der aquatischen Umwelt. *Vom Wasser* 91 (1998) 291–303.
56. Nebot C, Gibb SW, Boyed KG., Quantification of human pharmaceuticals in water samples by high performance liquid chromatography–tandem mass spectrometry. *Analytica Chimica Acta* 598(1) (2007) 87-94.
57. Ternes T. A., Occurrence of drugs in German sewage treatment plants and rivers. *Water Research* 32(11) (1998) 3245-3260.
58. Öllers S., Singer H. P., Fässler P., Müller S. R., Simultaneous quantification of neutral and acidic pharmaceuticals and pesticides at the low- $\text{ng/l}$  level in surface and waste water. *Journal of Chromatogr. A* 911 (2001) 225-234.

59. Andreozzi R, Raffaele M, Nicklas P., Pharmaceuticals in STP effluents and their solar photodegradation in aquatic environment. *Chemosphere* 50 (2003) 1319-1330.
60. Contard-Jara V., Lorenz C., Pflugmacher S., Nützmann G., Kloas W., Wiegand C., Exposure to human pharmaceuticals Carbamazepine, Ibuprofen and Bezafibrate causes molecular effects in *Dreissena polymorpha*. *Aquatic Toxicology* 105 (2011) 428–437

## Research Article

# Synthesis of $\text{CoFe}_2\text{O}_4$ Nanoparticles: The Effect of Ionic Strength, Concentration, and Precursor Type on Morphology and Magnetic Properties

Izabela Malinowska,<sup>1</sup> Zuzanna Ryżyńska,<sup>2</sup> Eryka Mrotek,<sup>1</sup> Tomasz Klimczuk,<sup>2</sup> and Anna Zielińska-Jurek<sup>1</sup> 

<sup>1</sup>Department of Process Engineering and Chemical Technology, Gdańsk University of Technology, 80-233 Gdańsk, Poland

<sup>2</sup>Department of Solid State Physics, Faculty of Applied Physics and Mathematics, Gdańsk University of Technology, 80-233 Gdańsk, Poland

Correspondence should be addressed to Anna Zielińska-Jurek; annjurek@pg.edu.pl

Received 9 December 2019; Accepted 7 April 2020; Published 5 May 2020

Academic Editor: Leander Tapfer

Copyright © 2020 Izabela Malinowska et al. This is an open access article distributed under the Creative Commons Attribution License, which permits unrestricted use, distribution, and reproduction in any medium, provided the original work is properly cited.

The present study highlights the effect of metal precursor types ( $\text{SO}_4^{2-}$ ,  $\text{Cl}^-$ , and  $\text{NO}_3^-$ ), their concentration, and the influence of ionic strength of reaction environment on the morphology, surface, and magnetic properties of  $\text{CoFe}_2\text{O}_4$  particles. The magnetic nanoparticles were obtained by chemical coprecipitation in alkaline medium at increasing metal concentration in the range of  $0.0425 \text{ mol}\cdot\text{dm}^{-3}$  to  $0.17 \text{ mol}\cdot\text{dm}^{-3}$  and calcination temperature from  $400^\circ\text{C}$  to  $800^\circ\text{C}$ . It was found that the chemistry of precursors can be directly correlated with magnetic properties. The  $\text{CoFe}_2\text{O}_4$  particles from metal sulphate precursors showed the highest saturation magnetization and the lowest coercivity. The adjustment of ionic strength in the range of  $1.25\text{--}5 \text{ M}$  was achieved by adding an appropriate quantity of metal sulphates into aqueous solutions at a constant pH or by adding an appropriate quantity of  $\text{NaClO}_5$  under similar conditions. The average hydrodynamic size of  $\text{CoFe}_2\text{O}_4$  increased from  $46 \text{ nm}$  to  $54 \text{ nm}$  with increasing metal concentration and ionic strength. An explanation of magnetic properties, caused by ionic strength and metal concentration, is given based mainly on the reduction in repulsive forces at the particle interface and compensation of the double electric layer in the presence of anions. The observed coercivity was lower for the particles obtained in solutions with the highest ionic strength, whereas the concentration of metals and calcination temperature affected the saturation magnetization and morphology of the obtained cobalt ferrite particles.

## 1. Introduction

Spinel ferrites are interesting dielectric materials due to their magnetic properties and high chemical and thermal stability. In recent years cobalt ferrite nanomaterials have gained considerable attention due to their unique electric, catalytic, magnetic, optical, and medical properties [1, 2], which determine their potential applications in catalysis, gas sensors, information storage systems, medical diagnostics, and therapy [3–7]. Currently, research is also focused on the use of cobalt ferrites for the separation of magnetic photocatalysts after water treatment processes [8] and separation of bacteria [7]. The advantage of  $\text{CoFe}_2\text{O}_4$  nanoparticles is one order

larger of crystalline anisotropy compared to magnetite with the same saturation magnetization. Therefore, the magnetic moment of cobalt ferrite relaxes much slower than of magnetite or maghemite with similar particle size [9, 10].

Nanoparticles of  $\text{CoFe}_2\text{O}_4$  were prepared by a great number of methods: sol-gel [11, 12], hydrothermal [13], microemulsion [14], aqueous precipitation [15], polyol [16], and combustion [17]. The characterization of the physicochemical properties was mainly focused on the correlation between particle size and magnetic properties. However, no systematic study on the effect of cobalt and iron ion precursor types, the concentration of metal ions in the reaction environment, and the ionic strength on the magnetic properties of cobalt

ferrite nanoparticles has been reported. The understanding of such relationships is an important requirement to attain the capability of tailoring the properties of the cobalt ferrite-based magnetic materials.

In this regard, the present study focuses on the magnetic properties of cobalt ferrite obtained in the hydrothermal process at calcination temperatures in the range of 400–800°C using varying salt type precursors. For the first time, the effect of metal precursors (sulphates, chlorides, and nitrates) and their concentration used for the synthesis of cobalt ferrite NPs, the influence of ionic strength of reaction environment, and the calcination temperature on size, structural, and magnetic properties of  $\text{CoFe}_2\text{O}_4$  particles were studied.

## 2. Experimental

**2.1. Preparation of  $\text{CoFe}_2\text{O}_4$  Particles.** All the reagents used in the experiments were of analytical grade and used without further purification. Cobalt(II) nitrate hexahydrate, iron(III) nitrate nonahydrate, iron(III) chloride hexahydrate, cobalt(II) chloride hexahydrate, iron(III) sulphate heptahydrate, cobalt(II) sulphate heptahydrate, and sodium hydroxide were purchased from Aldrich, Germany. Cobalt ferrite particles were obtained using a precipitation method combined with hydrothermal reaction at a constant pH of 12. In this regard, 20 cm<sup>3</sup> of cobalt salt solution and 40 cm<sup>3</sup> of iron salt solution were mixed in a stoichiometric 2:1 (Fe:Co) molar ratio under stirring (250 rpm) for 30 minutes. Then, 110 cm<sup>3</sup> of 5 M NaOH was prepared and dropwise added at room temperature into obtained brown metal salt solution during mixing, while the pH was constantly monitored. The reactants were stirred for 30 minutes using a magnetic stirrer (250 rpm) until the pH was 12. Then, the resulting colloid was transferred into a 200 cm<sup>3</sup> Teflon lined stainless steel autoclave. The hydrothermal reaction was performed at 200°C for 5 h, and the obtained suspension was washed with water several times and separated by magnetic decantation. Finally, the obtained  $\text{CoFe}_2\text{O}_4$  particles were dried at 120°C to dry mass and calcined at 400–800°C for 2 h. The adjustment of ionic strength in the range of 1.25–5 M was achieved by adding the appropriate quantity of metal sulphates into aqueous solutions with a constant Fe:Co molar ratio of 2:1 or by adding the appropriate quantity of  $\text{NaClO}_5$  under similar conditions.

**2.2. Characterization of  $\text{CoFe}_2\text{O}_4$  Particles.** Magnetic measurements (magnetization, remanence, and coercivity) were performed using Physical Property Measurement System (PPMS) (Quantum Design, San Diego, CA, USA) at the temperature of 293 K and in the range of 0–3 T.

XRD analysis was performed to characterize the crystallinity of the as-obtained cobalt ferrite nanoparticles. In this regard, a Rigaku MiniFlex 600 X-ray diffraction system equipped with a sealed tube X-ray generator was used. Data acquisition conditions were as follows:  $2\theta$  range 5–80°, scan speed 1°·min<sup>-1</sup>, and scan step 0.01°. The crystallite size of the ferrite particles in the direction vertical to the corresponding lattice plane was determined using Scherrer's equation based on the corrected full width at half maximum

(FWHM) of the XRD peak and angle of diffraction. The subtraction of the FWHM of the standard was employed as a correction method. The crystalline and amorphous phase content was analyzed using an internal standard (NiO, Aldrich, Germany).

To evaluate the light absorption properties of the obtained  $\text{CoFe}_2\text{O}_4$  particles, the diffuse reflectance (DR) spectra were recorded using a Jasco V-670 spectrophotometer equipped with a PIN-757 integrating sphere.  $\text{BaSO}_4$  was used as a reference. The band gap energies were calculated from the corresponding Kubelka-Munk function,  $F(R)$ , which is proportional to the absorption of radiation, by plotting  $F(R)^{0.5} E_{\text{ph}}^{0.5}$  against  $E_{\text{ph}}$ , where  $E_{\text{ph}}$  is the photon energy.

Nitrogen adsorption-desorption isotherms were recorded at liquid nitrogen temperature (77 K) using the Micromeritics Gemini V (model 2365) instrument, and the specific surface areas were determined using the Brunauer–Emmett–Teller (BET) method. Surface charges (zeta potential) and particles size were measured using a Nano-ZS Zetasizer dynamic light scattering detector (Malvern Instruments, UK) equipped with a 4.0 mW internal laser. Infrared (IR) reflection spectra of cobalt ferrites were measured within a 500–5000 cm<sup>-1</sup> range by employing a Fourier transform infrared (FTIR) spectrometer Nicolet 8700 (Thermo) equipped with a single reflection diamond crystal.

## 3. Results and Discussion

**3.1. The Effect of Metal Precursor Types.** While the effect of surfactants and reaction conditions has been widely investigated, there is no information on the effect of metal precursor types and their concentration on the formation of  $\text{CoFe}_2\text{O}_4$  nanoparticles. Therefore, in this study, the effect of metal precursors (sulphates, chlorides, and nitrates) used for the synthesis of cobalt ferrite NPs was investigated.

The BET surface area for samples S1, S2, and S3 varied from 31 m<sup>2</sup>·g<sup>-1</sup> to 50 m<sup>2</sup>·g<sup>-1</sup>. The sample from metal nitrate precursors (S2) revealed the smallest surface area, while sample S3 from chloride metal precursors showed the highest BET surface area (see Table 1). The calculated BET equivalent primary particle diameter for the samples S1, S2, and S3, which differ in precursor types (S1-sulphates, S2-nitrates, and S3-chlorides) was 25 nm, 37 nm, and 23 nm, respectively. The phase and structural analyses were performed by employing X-ray diffraction (XRD) measurements and are presented in Figure 1.

The presence of (220), (311), (400), (422), (511), and (440) in XRD patterns is in accordance with inverse cubic spinel structure with space group fd-3m, which is in agreement with JCPDS standard card no. 01-077-0426. In  $\text{CoFe}_2\text{O}_4$ , the divalent cation of  $\text{Co}^{2+}$  occupied the octahedral position, while the  $\text{Fe}^{3+}$  ions are located at the tetrahedral and octahedral sites. The lattice parameter obtained from Rietveld analysis was found to be 8.39 Å. The samples S1–S3 obtained without heat treatment contained 80% (S1), 90% (S2), and 85% (S3) amorphous phase content; hence, the highest crystallinity of 20% was observed for cobalt ferrite obtained from sulphates (sample S1). Previously, Zhao et al.

TABLE 1: The effect of precursor types on physicochemical and magnetic properties of  $\text{CoFe}_2\text{O}_4$ .

Sample labeling	Precursors	$M_s$ (emu·g <sup>-1</sup> )	$H_c$ (T)	$M_r$ (emu·g <sup>-1</sup> )	$A_{BET}$ (m <sup>2</sup> ·g <sup>-1</sup> )	$V_p$ (cm <sup>3</sup> /g)	$D_{XRD}$ (nm)	$D_{BET}$ (nm)	$D_{DLS}$ (nm)	$E_g$
Sulphates										
S1	$\text{CoSO}_4 \cdot 7\text{H}_2\text{O}$ $\text{Fe}_2(\text{SO}_4)_3 \cdot 7\text{H}_2\text{O}$	60	0.007	9.0	45	0.024	15	25	40	1.80
Nitrates										
S2	$\text{Co}(\text{NO}_3)_2 \cdot 6\text{H}_2\text{O}$ $\text{Fe}(\text{NO}_3)_3 \cdot 9\text{H}_2\text{O}$	50	0.027	11.6	31	0.015	20	37	47	1.72
Chlorides										
S3	$\text{CoCl}_2 \cdot 6\text{H}_2\text{O}$ $\text{FeCl}_3 \cdot 6\text{H}_2\text{O}$	50	0.028	9.8	50	0.025	14	23	37	1.80

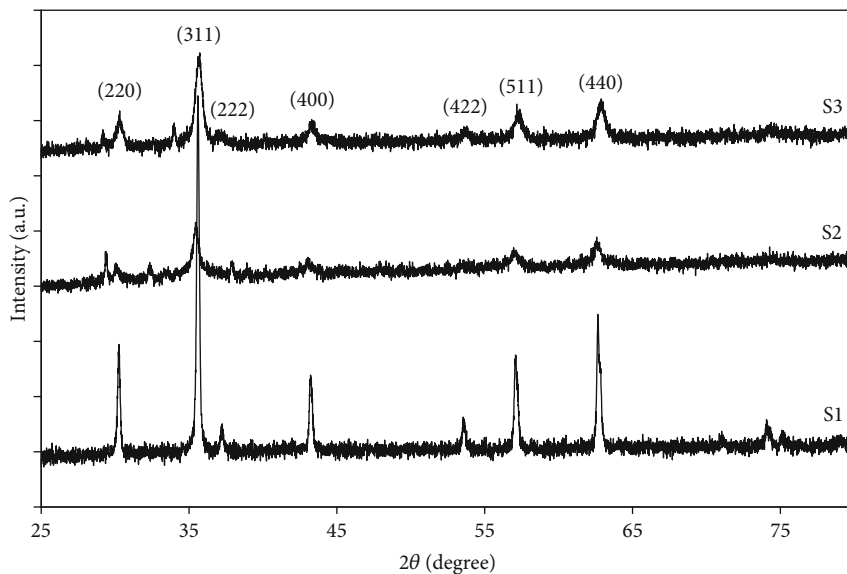


FIGURE 1: X-ray diffraction patterns of the as-prepared cobalt ferrite particles. The effect of precursor types: S1-sulphates, S2-nitrates, and S3-chlorides.

found that low-crystalline mesoporous cobalt ferrite particles possess improved electrochemical properties [18]. The average size of crystallites calculated from XRD by employing the Debye-Scherrer formula for S1, S2, and S3 samples was about 15 nm, 20 nm, and 14 nm, respectively. Based on dynamic light scattering (DLS) analysis, hydrodynamic particle size was determined. It was found that larger particles were produced using nitrates as metal precursors than from sulphates and chlorides, as shown in Table 1.

The observed difference in particle size between samples S1, S2, and S3 may derive from the structural properties and lattice strain as a result of the clustering of the nanoparticles. The particle sizes determined from DLS analysis are larger than calculated based on XRD measurements and the equivalent diameter calculated from the BET surface area. It can be explained that based on DLS analyses, hydrodynamic size of particles and their surrounding diffuse layer is determined, whereas XRD calculation gives the crystallite size of  $\text{CoFe}_2\text{O}_4$  [19]. However, the particle may contain one or more grains. Therefore, the particle size is expected in between crystallite size and hydrodynamic diameter. That

was confirmed by SEM microscopy analysis (see Figure 2). The average particle size calculated from the statistical average size distribution of 100  $\text{CoFe}_2\text{O}_4$  NPs was about 32 nm, 37 nm, and 29 nm for S1, S2, and S3, respectively. The particle size from the microscopy analyses corresponded well with the BET equivalent diameter calculated according to the  $d = 6/(A_{BET} \cdot \rho)$  equation.

The zeta potential values of cobalt ferrite suspensions are shown in Figure 3. As presented, their magnitudes strongly depended on the pH of the aqueous phase. At low pH values,  $\text{H}^+$  ions are adsorbed on the particle surface, and therefore, it is positively charged, while at pH values above the isoelectric point (IEP), a surface is negatively charged as a consequence of  $\text{OH}^-$  ion adsorption on the particle surface. Under acidic conditions, the highest electrostatic stability was observed for sample S3 with a zeta potential value of +42.6 mV at pH = 4. On the other hand, in alkaline conditions, the highest value of zeta potential was -50.9 mV, -48.0 mV, and -47.0 mV observed at pH = 12 for S1, S2, and S3, respectively. That means all obtained cobalt ferrite particles are stable at pH above 9, and only

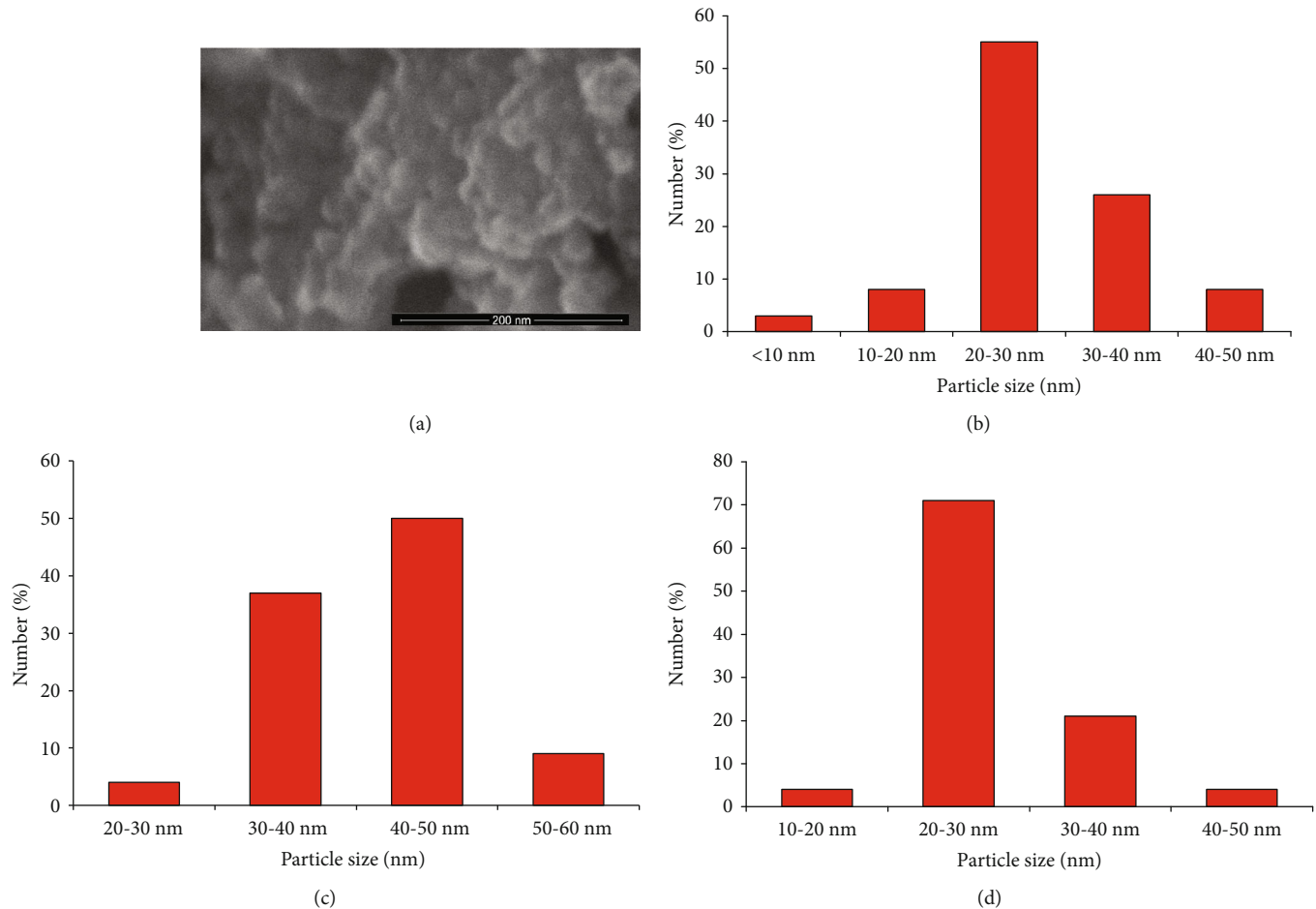


FIGURE 2: SEM image of CoFe<sub>2</sub>O<sub>4</sub> particles (a) and size distribution for samples S1, S2, and S3 synthesized using metal precursors: sulphates (b), nitrates (c), and chlorides (d).

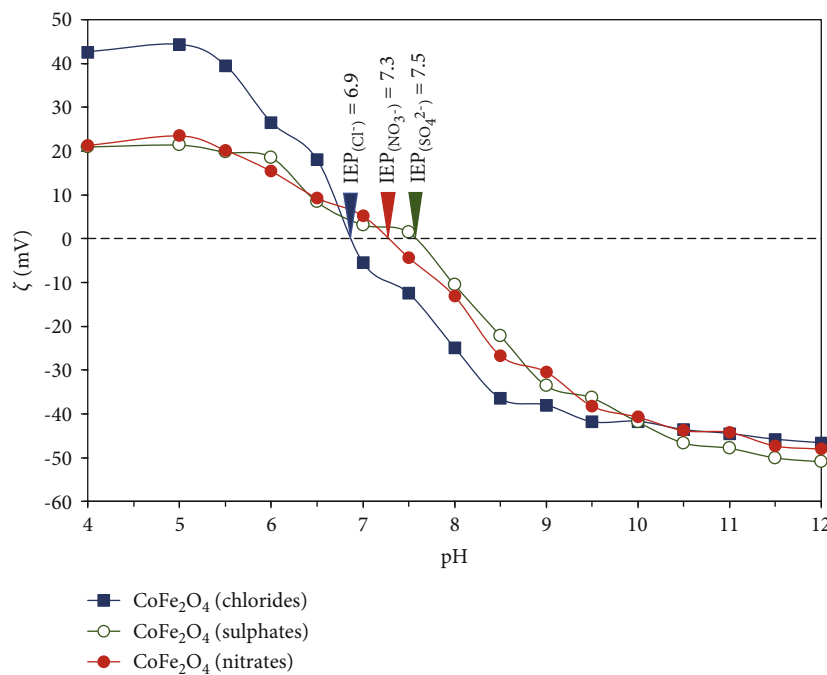


FIGURE 3: Electrophoretic mobility of CoFe<sub>2</sub>O<sub>4</sub> suspensions ( $0.1 \text{ g dm}^{-3}$ ) vs. pH ( $I = 1 \cdot 10^{-2}$ ).

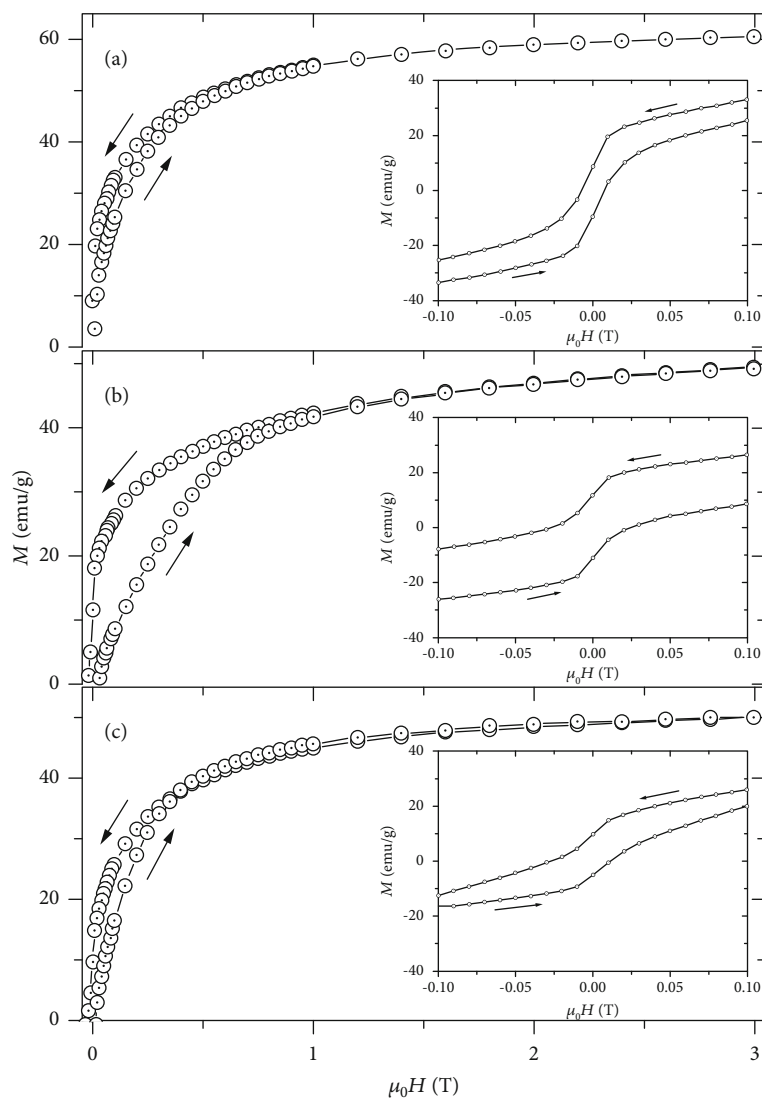


FIGURE 4: Hysteresis loops of nanoparticles of  $\text{CoFe}_2\text{O}_4$  synthesized using metal precursors: (a) sulphates, (b) nitrates, and (c) chlorides.

the one obtained from chlorides can be stable under acidic conditions ( $\text{pH} < 6.5$ ). However, in order to enhance the separation capability of colloidal particles from the aqueous phase, the process should proceed near the isoelectric point (IEP). Minor differences in values of the isoelectric point were observed among the samples. For  $\text{CoFe}_2\text{O}_4$  from sulphates, IEP occurred at  $\text{pH} = 7.5$ , while for  $\text{CoFe}_2\text{O}_4$  obtained from chloride precursors, it was found at  $\text{pH} = 6.9$ .

The Tauc transformation of DR/UV-Vis spectra allows determining the optical band gap energies of  $\text{CoFe}_2\text{O}_4$  nanoparticles. The particles from metal nitrate precursors exhibited lower  $E_g = 1.72 \text{ eV}$  than cobalt ferrite particles ( $E_g = 1.8 \text{ eV}$ ) synthesized from sulphate or chloride metal precursors (see Table 1).

All three samples exhibited room temperature ferrimagnetism with different saturation, remanent, and coercive values. The hysteresis loops obtained from VSM measurements for  $\text{CoFe}_2\text{O}_4$  particles are presented in Figure 4. All the hysteresis loops are typical for soft magnetic materials,

and an "S" shape of the curves together with low coercivity ( $H_c = 0.007 \text{ T}$  for S1 and  $0.028 \text{ T}$  for S2 and S3) indicates the presence of small magnetic particles. The saturation magnetization ( $M_s$ ) and coercivity ( $H_c$ ) values of the ferrite particles are listed in Table 1.

The chemistry of precursors was directly correlated with magnetic properties. The  $\text{CoFe}_2\text{O}_4$  particles from metal sulphate precursors showed the highest saturation magnetization ( $M_s$ ) of  $60 \text{ emu}\cdot\text{g}^{-1}$ , the lowest remanent magnetization ( $M_r$ ) of  $9 \text{ emu}\cdot\text{g}^{-1}$ , and the coercivity ( $H_c$ ) at  $0.007 \text{ T}$ . In view of this, the metal sulphate precursors were used for further studies of the effect of preparation parameters, e.g., concentration of metals, ionic strength of a solution, and calcination temperature on physicochemical properties of  $\text{CoFe}_2\text{O}_4$  particles.

**3.2. The Effect of Concentration, Ionic Strength, and Calcination Temperature.** Sample labeling and physicochemical characteristic of cobalt ferrite particles differing in metal

concentration, ionic strength, and calcination temperatures are summarized in Table 2. The XRD diffraction patterns of the cobalt ferrite samples that correspond to crystallographic planes of (220), (311), (222), (400), (422), (511), and (440) are shown in Figures 5(a)–5(d). All the diffractograms are indexed regarding the standard JCPDS no. 01-077-0426 to the characteristic reflections of the cubic spinel phase. The relative intensity observed for the most prominent plane (311) increased as the ionic strength of the solution used for the preparation of cobalt ferrite particles decreased (Figure 5(b)) or as the annealing temperature increased up to 800°C (Figure 5(c)). The crystallinity of the cobalt ferrite particles calcined at 400°C increased to 35% compared to the sample without annealing. Further increase in calcination temperature resulted in a decrease in the amorphous phase content from 65% to 47%, as shown in Table 2. Under identical annealing conditions, the crystallite size slightly increased with increasing ionic strength and metal concentration. The smallest crystallite size was observed for sample S4 with  $I = 1.25\text{ M}$  annealed at 400°C, as shown in Table 2 and Figure 5(b). For sample S6 obtained at ionic strength  $I = 5\text{ M}$ , the larger crystallite size was observed than for sample S4 with  $I = 1.25\text{ M}$ . The determined crystallite size is consistent with the particle size measured by DLS. The average hydrodynamic size of  $\text{CoFe}_2\text{O}_4$  increased with increasing metal concentration and ionic strength from 46 nm for sample S4 to 50 nm for sample S6. It probably results from simultaneous nucleation of new particles at lower concentration and ionic strength, preventing further crystal growth. The higher ionic strength of the solution causes a reduction of zeta potential at a constant pH, resulting in lower electrostatic stability and an increase of the hydrodynamic diameter of the particles. At the highest values of ionic strength and concentration, further crystallite growth was observed, while the hydrodynamic diameter of ferrite particles decreased, as a result of compensation of the double electric layer. At constant metal concentration and ionic strength, the particle size increased with increasing calcination temperature. The growth of  $\text{CoFe}_2\text{O}_4$  particles with an increase in calcination temperature was confirmed by the crystallite size obtained by the Scherrer formula (Table 2).

For samples annealed at 400°C, an additional peak at  $2\theta = 31.7^\circ$  appeared due to the presence of a trace amount of  $\alpha\text{-Fe}_2\text{O}_3$  phase. The impurity phase formation is not consistent with substituent concentration. Therefore, it can be mainly attributed to the synthesis or postsynthesis conditions of the samples. The presence of  $\alpha\text{-Fe}_2\text{O}_3$  was previously reported in the literature for samples obtained by the chemical coprecipitation method [20]. Moreover, the trace presence of hematite was not observed for samples calcined at 800°C. The lattice parameter was calculated for the (311) plane of the samples and was estimated as 8.37 Å for the samples S4–S9 calcined at 400°C and 600°C. The calculated lattice constant is comparable to the reported values [21, 22]. The distribution of cations in the tetrahedral and octahedral sites depends on the thermal treatment and the synthesis conditions. A further decrease of the lattice constant to 8.35 Å was observed for the samples S10–S12, which may suggest

that  $\text{Fe}^{3+}$  ions in tetrahedral sites move to octahedral sites while  $\text{Co}^{2+}$  ions at octahedral sites move to tetrahedral sites during cation migration upon annealing at 800°C [23, 24].

The influence of the synthesis parameters, e.g., calcination temperature, metal concentration, and ionic strength on the specific surface area and the pore volume of the obtained nanocrystallites, was also investigated. It can be noticed that the calcination temperature and the concentration of the metals during synthesis affected the BET specific surface area of the spinel ferrites. The surface area increased with a decrease in metal concentration and calcination temperature. The highest BET surface area of  $23\text{ m}^2\cdot\text{g}^{-1}$  revealed that sample S4 calcined at 400°C, which also exhibited the largest pore volume of  $0.012\text{ cm}^3\cdot\text{g}^{-1}$  and the smallest crystallite size of 15 nm.

Diffuse reflectance spectra for  $\text{CoFe}_2\text{O}_4$  particles were transformed into the Kubelka-Munk function and are presented in Figure 6. All samples absorb in the range from 300 nm to 1000 nm. At constant annealing temperature, an increase in metal concentration and ionic strength resulted in the preparation of particles with a more substantial absorbance within the UV-Vis range. The optical band gap value estimated from Tauc plots was found to slightly decrease from 1.80 for sample S4 obtained at 400°C with  $I = 1.25\text{ M}$  to 1.60 eV for sample S12 with higher metal concentration and calcined at 800°C, as presented in Table 2.

The Fourier transform infrared (FTIR) spectra for the obtained samples showed the characteristic features of spinel ferrite particles (see Figure 7). The absorption band observed in the range from  $542\text{ cm}^{-1}$  to  $551\text{ cm}^{-1}$  is assigned to the stretching vibrations of the tetrahedral metal-oxygen bond [23]. The peak at  $875\text{ cm}^{-1}$  corresponds to the deformations of Fe-OH groups and is manifested for all the obtained samples. The sharp peak at  $1124\text{ cm}^{-1}$ , which appeared for all cobalt ferrite particles calcined at 400–800°C and synthesized from metal sulphate precursors, corresponds to the symmetric stretching mode of sulphate anion ( $1130\text{--}1080\text{ cm}^{-1}$ ) chemisorbed by the metal's surface during the preparation procedure [25].

The absorption peak at  $1435\text{ cm}^{-1}$  corresponds to bending vibrations of the O-H bond. The appearance of bands around  $2100\text{--}2370\text{ cm}^{-1}$  is due to the atmospheric  $\text{CO}_2$ , which is adsorbed on the surface of NPs during the FTIR measurements [25]. The broad branch at  $3450\text{--}3200\text{ cm}^{-1}$  corresponds to the O-H stretching vibrations ascribed to water [26].

Figure 8 shows the hysteresis loops obtained from VSM measurements for the prepared  $\text{CoFe}_2\text{O}_4$  particles differing in ionic strength, concentration of metals, and calcination temperature during the ferrite synthesis. The saturation magnetization ( $M_s$ ), remanent magnetization ( $M_r$ ), and coercivity ( $H_c$ ) of cobalt ferrite nanoparticles calcined at 400°C, 600°C, and 800°C are presented in Table 2. The observed magnetic properties depend on pretreatment conditions. With an increase of calcination temperature to 800°C, the saturation magnetization for the samples with  $I = 1.25\text{ M}$  decreased from  $51\text{ emu}\cdot\text{g}^{-1}$  to  $45\text{ emu}\cdot\text{g}^{-1}$  (see samples S4, S7, and S10). For samples obtained in solutions with higher ionic strength  $I = 2.5\text{ M}$  and  $I = 5\text{ M}$ , the effect of calcination

TABLE 2: Characteristics of the cobalt ferrite particles differing in metal concentration, ionic strength, and calcination temperature.

Sample labeling	Ionic strength (M)	Concentration of cobalt precursor ( $\text{mol}\cdot\text{dm}^{-3}$ )	Concentration of iron precursor ( $\text{mol}\cdot\text{dm}^{-3}$ )	Calcination temperature (°C)	Amorphous phase (%)	$M_s$ ( $\text{emu}\cdot\text{g}^{-1}$ )	$H_c$ (T)	$M_r$ ( $\text{emu}\cdot\text{g}^{-1}$ )	$A_{\text{BET}}$ ( $\text{m}^2\cdot\text{g}^{-1}$ )	$V_p$ ( $\text{cm}^3\cdot\text{g}$ )	$D_{\text{XRD}}$ (nm)	$D_{\text{DLS}}$ (nm)	$E_g$
S4	1.25	0.0425	0.0695	400	65	51	0.041	8.7	23	0.012	15	46	1.80
S5	2.5	0.085	0.1392	400	67	48	0.007	4.4	17	0.009	15	54	1.78
S6	5.0	0.17	0.2783	400	65	40	0.018	5.4	14	0.007	16	50	1.78
S7	1.25	0.0425	0.0695	600	53	50	0.021	7.9	15	0.008	16	44	1.75
S8	2.5	0.085	0.1392	600	56	51	0.024	8.7	11	0.006	15	47	1.75
S9	5.0	0.17	0.2783	600	53	40	0.009	4.6	8	0.004	17	47	1.75
S10	1.25	0.0425	0.0695	800	47	45	0.045	10.5	2	0.003	28	36	1.75
S11	2.5	0.085	0.1392	800	51	47	0.019	9.9	0.6	0.001	28	35	1.75
S12	5.0	0.17	0.2783	800	47	44	0.015	7.6	0.6	0.001	28	46	1.60
S13	5.0	0.0425	0.0695	400	n.m.	50	0.018	7.0	18	0.0089	15	55	1.78
S14	5.0	0.0425	0.0695	600	n.m.	51	0.008	6.7	15	0.0025	15	59	1.75
S15	5.0	0.0425	0.0695	800	n.m.	40	0.003	3.6	0.3	0.001	24	131	1.63

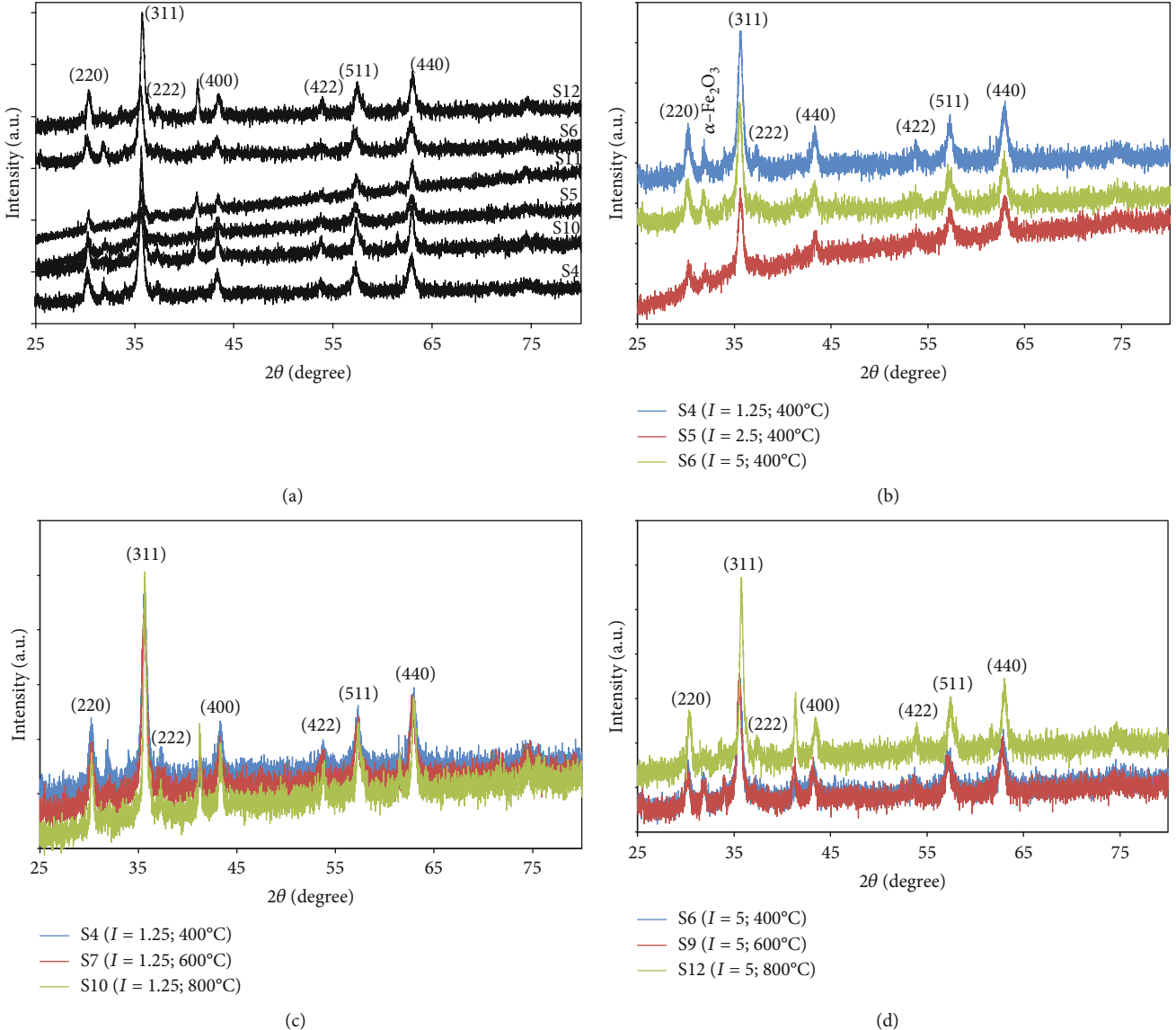


FIGURE 5: X-ray diffraction patterns of the as-prepared  $\text{CoFe}_2\text{O}_4$  particles (a), calcined at  $400^\circ\text{C}$  with different ionic strength (b), with ionic strength  $I = 1.25$  M and different annealing temperatures (c), and with ionic strength  $I = 5$  M and different annealing temperatures (d).

temperature on saturation magnetization was not unambiguously confirmed despite the observed increase in crystallite size with increased annealing temperature. The ionic strength and concentration of metals in the solution during the synthesis of  $\text{CoFe}_2\text{O}_4$  particles have a significant influence on  $M_s$  and coercivity values.

The highest saturation magnetization revealed samples S4, S7, and S8 with ionic strength  $I = 1.25$  M and  $I = 2.5$  M calcined at  $400^\circ\text{C}$  and  $600^\circ\text{C}$ , respectively. For samples calcined in  $400^\circ\text{C}$  and  $600^\circ\text{C}$ , an increase of ionic strength resulted in a 20% lower  $M_s$  value. The resulting values of  $M_s$  for  $800^\circ\text{C}$  are not significantly different between samples with different  $I$ . The coercivity and remanent magnetization also decreased for samples obtained in solutions with the highest ionic strength, as shown in Table 2. The values of  $H_c$  and  $M_r$  were significantly different between

samples calcined in the same temperature for all three series, in contrast to the values of  $M_s$  for  $T_{\text{calc}} = 800^\circ\text{C}$ . In the group of samples calcined in the same temperatures,  $H_c$  and  $M_r$  values were always correlated and were the lowest for the samples with the highest ionic strength and concentration of metal precursors.

To confirm the effect of concentration and ionic strength of metal salt solution, additional samples S13-S15 with different ionic strengths controlled by adding the appropriate quantity of  $\text{NaClO}_5$  with the same concentration of metal precursor salts as for sample S4 were obtained. The ionic strength during precipitation of metals had a significant impact on coercivity, whereas the concentration of metals influenced saturation magnetization and morphology of the obtained cobalt ferrite particles. For samples S13-S14 calcined at  $400^\circ\text{C}$  and  $600^\circ\text{C}$ , high ionic strength of the solution

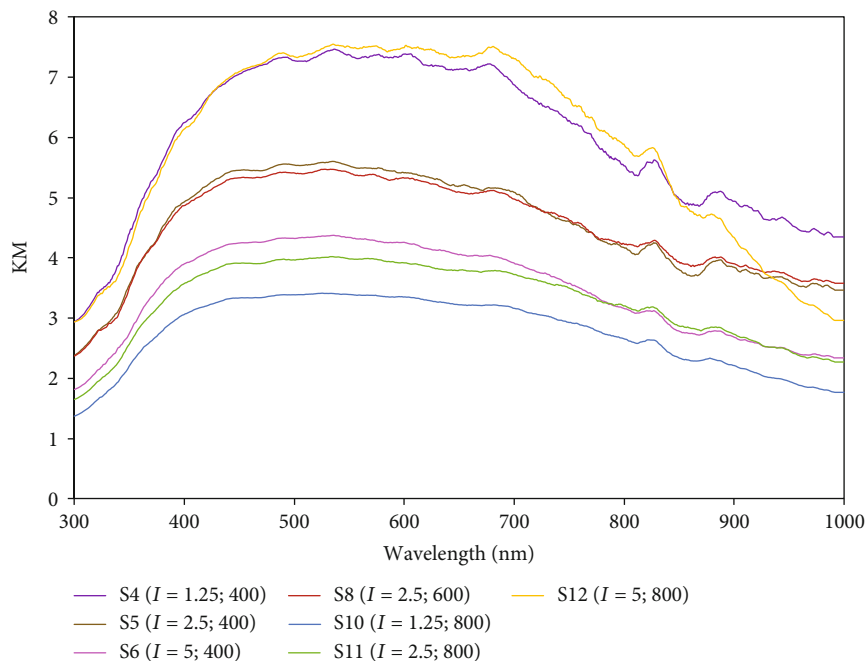


FIGURE 6: DR/UV-Vis spectra presented as the Kubelka-Munk function for  $\text{CoFe}_2\text{O}_4$  particles calcined at 400–800°C with ionic strength  $I = 1.25 \div 5.0 \text{ M}$ .

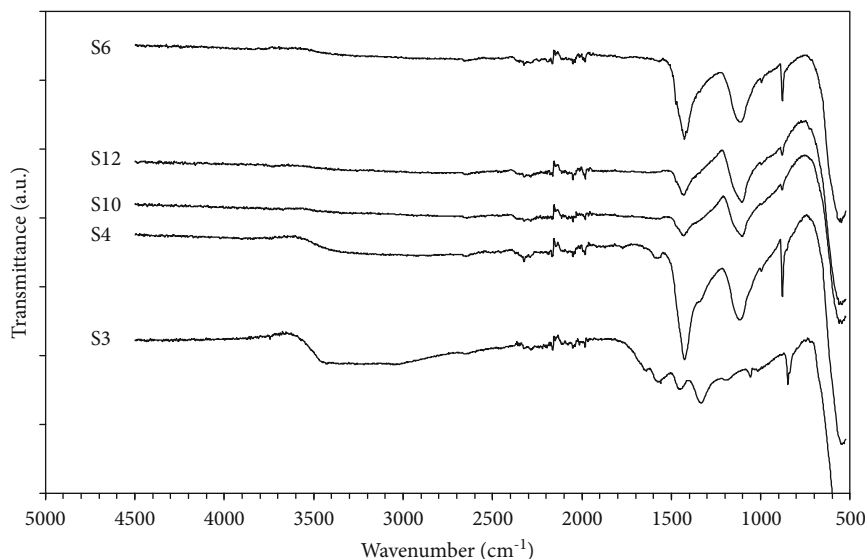


FIGURE 7: Fourier transform infrared (FTIR) spectra for the  $\text{CoFe}_2\text{O}_4$  particles.

and lower concentration of metals limited the particle growth by Ostwald ripening. The average crystallite size and the average hydrodynamic size of  $\text{CoFe}_2\text{O}_4$  particles were about 15 nm and 50 nm, respectively.

In this regard, changing the concentration of metals may be regarded as a simple method to optimize the morphology of cobalt ferrite particles. At the same ionic strength  $I = 5 \text{ M}$ , lower concentration of metal salts resulted in a higher BET surface area and smaller crystallite size of cobalt ferrites, as shown in Table 2 for samples S13 and S6 as well as S14 and S9. Moreover, the concentration of metals affected the saturation magnetization value, whereas the ionic strength determined the coercivity of obtained  $\text{CoFe}_2\text{O}_4$  particles. At the same ionic strength and lower concentration, the  $M_s$  value was markedly higher for S13 and S14 compared to S6 and S9 samples. The coercivity and remanent magnetization increased for samples S4 and S7 with lower ionic strength  $I = 1.25 \text{ M}$  compared to S13 and S14 samples with  $I = 5 \text{ M}$ . The highest annealing temperature of 800°C also greatly affected the morphology of  $\text{CoFe}_2\text{O}_4$  particles and, as a result, changes in magnetic properties. Therefore, the resulting values of  $M_s$  and  $M_r$  are not significantly different between

samples S4 and S7 with lower ionic strength  $I = 1.25 \text{ M}$  compared to S13 and S14 samples with  $I = 5 \text{ M}$ . The highest annealing temperature of 800°C also greatly affected the morphology of  $\text{CoFe}_2\text{O}_4$  particles and, as a result, changes in magnetic properties. Therefore, the resulting values of  $M_s$  and  $M_r$  are not significantly different between

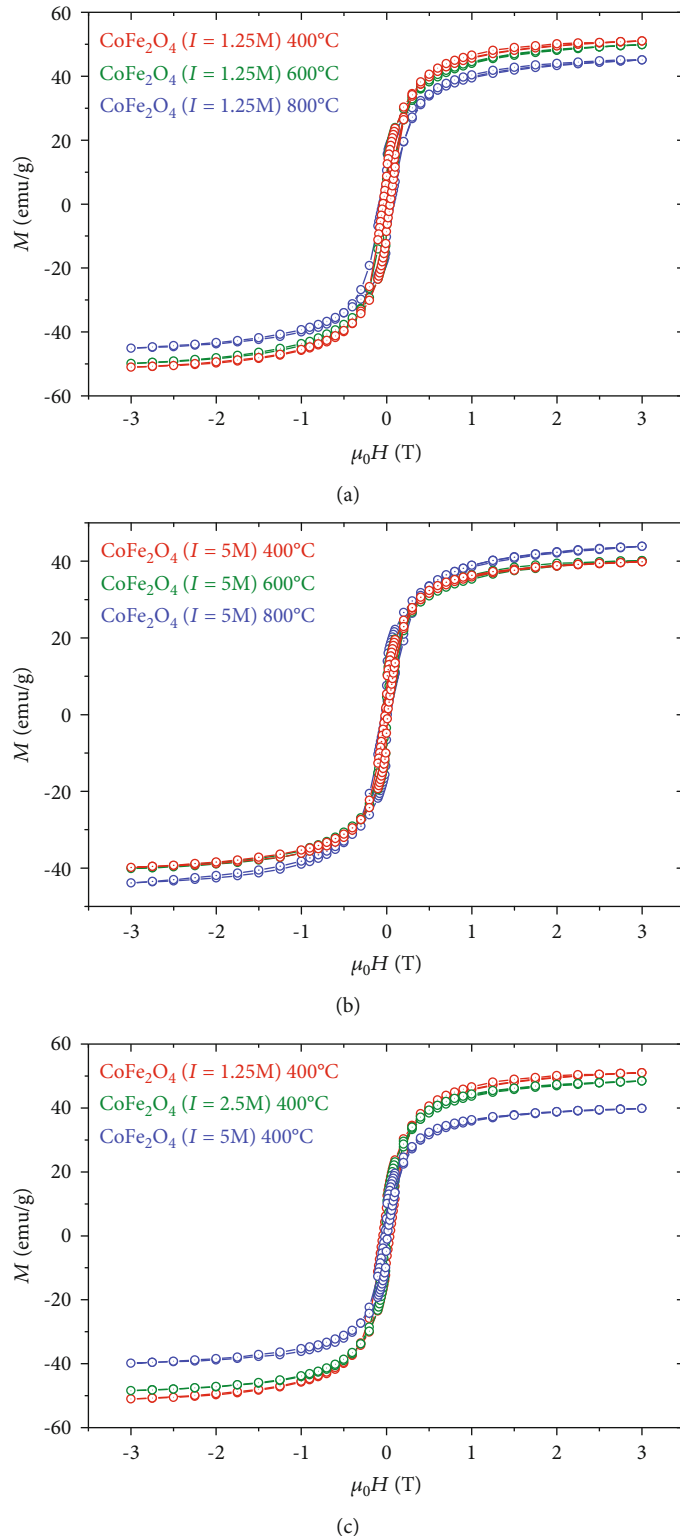


FIGURE 8: Continued.

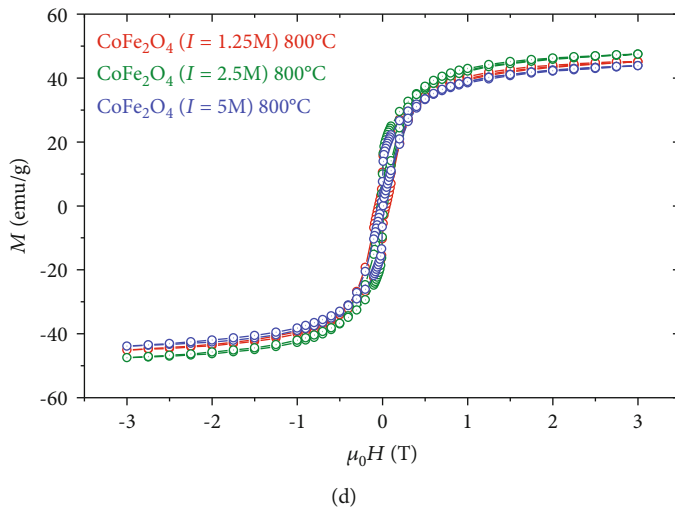


FIGURE 8: Magnetic hysteresis loops of  $\text{CoFe}_2\text{O}_4$  calcined at 400–800°C with ionic strength  $I = 1.25 \text{ M}$  (a), calcined at 400–800°C with ionic strength  $I = 5 \text{ M}$  (b), calcined at 400°C with different ionic strength (c), and calcined at 800°C with different ionic strength  $I = 1.25 \div 5 \text{ M}$  (d).

the samples calcined in 800°C due to similar particle size, specific surface area, and lattice constant parameters. Meanwhile, the  $H_c$  value depended on the ionic strength of the precursor's solution.

#### 4. Conclusions

The obtained results indicate a significant influence of a precursor type, its concentration, and ionic strength of the solution on the morphology and magnetic properties of cobalt ferrite particles prepared by the hydrothermal method. It was found that the chemistry of metal precursors is correlated with magnetic properties. The  $\text{CoFe}_2\text{O}_4$  particles from metal sulphate precursors showed the highest saturation magnetization, the lowest remanent magnetization, and the lowest coercive values.

The ionic strength of the metal solution controls the coercivity, whereas the concentration of metals strongly affects the saturation magnetization and morphology of the obtained metal ferrite particles. At the same ionic strength  $I = 5 \text{ M}$ , the lower concentration of metal salts resulted in a higher BET surface area and smaller crystallite size of cobalt ferrite particles. The concentration of metals and, as a result, the morphology of the cobalt ferrite NPs influenced the saturation magnetization, which was enhanced for the samples ( $I = \text{const}$ ,  $T = \text{const}$ ) obtained from diluted metal precursor solution. The ionic strength determined the coercivity of the  $\text{CoFe}_2\text{O}_4$  particles, which increased for the samples with the lowest ionic strength  $I = 1.25 \text{ M}$ . The highest annealing temperature of 800°C greatly affected the morphology of  $\text{CoFe}_2\text{O}_4$  particles and, as a result, changes in magnetic properties. The increase of calcination temperature resulted in a larger particle size and decreased BET specific surface area of the spinel ferrites. Despite higher crystallinity of the  $\text{CoFe}_2\text{O}_4$  particles annealed at 800°C, the saturation magnetization value decreased. Furthermore, it can be affected by the distribution of cations between the interstitial sites.

The particle size of cobalt ferrite can be adjusted and stabilized against ripening by control of ionic strength, annealing temperature, and concentration of metal salts in a precipitation medium. The  $\text{CoFe}_2\text{O}_4$  sample obtained from diluted metal precursor solution with the lowest ionic strength and calcined in temperatures of 400°C–600°C possessed a small particle size of 15 nm and higher specific surface area and revealed the highest magnetic properties ( $M_s$  and  $H_c$  values). In this regard, changing the metal concentration, ionic strength, and annealing temperature may be regarded as a simple method to optimize the morphology and, as a result, magnetic properties of the ferrite particles, which may otherwise be difficult.

#### Data Availability

All the results and data used to support the findings of this study are included within the article.

#### Conflicts of Interest

The authors declare that they have no conflict of interest.

#### Authors' Contributions

The contributions of the authors involved in this study are as follows: conceptualization, Anna Zielińska-Jurek; synthesis, Izabela Malinowska; formal analysis, Izabela Malinowska, Zuzanna Sobczak, and Eryka Mrotek; funding acquisition, Anna Zielińska-Jurek; investigation, Izabela Malinowska; methodology, Anna Zielińska-Jurek and Tomasz Klimczuk; project administration, Anna Zielińska-Jurek; writing—original draft, Anna Zielińska-Jurek; and writing—review and editing, Anna Zielińska-Jurek and Tomasz Klimczuk.

## Acknowledgments

This research was financially supported by the Polish National Science Centre (Grant No. NCN2016/23/D/ST5/01021).

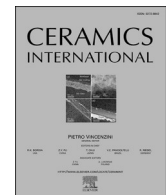
## References

- [1] D. S. Mathew and R. S. Juang, "An overview of the structure and magnetism of spinel ferrite nanoparticles and their synthesis in microemulsions," *Chemical Engineering Journal*, vol. 129, no. 1-3, pp. 51–65, 2007.
- [2] C. Murugesan, L. Okrasa, and G. Chandrasekaran, "Structural AC conductivity impedance and dielectric study of nanocrystalline MFe<sub>2</sub>O<sub>4</sub> (M=Mg, Co or Cu) spinel ferrites," *Journal of Materials Science: Materials in Electronics*, vol. 28, no. 17, pp. 13168–13175, 2017.
- [3] R. Valenzuela, "Novel applications of ferrites," *Physics Research International*, vol. 2012, Article ID 591839, 9 pages, 2012.
- [4] V. S. Kumbhar, A. D. Jagadale, N. M. Shinde, and C. D. Lokhande, "Chemical synthesis of spinel cobalt ferrite (CoFe<sub>2</sub>O<sub>4</sub>) nano-flakes for supercapacitor application," *Applied Surface Science*, vol. 259, pp. 39–43, 2012.
- [5] N. Sivakumar, A. Narayanasamy, B. Jayadevan, R. J. Joseyphus, and C. Venkateswaran, "Dielectric relaxation behaviour of nanostructured Mn – Zn ferrite," *Journal of Physics D: Applied Physics*, vol. 41, no. 24, p. 245001, 2008.
- [6] A. J. Rondinone, C. Liu, and Z. J. Zhang, "Determination of magnetic anisotropy distribution and anisotropy constant of manganese spinel ferrite nanoparticles," *Journal of Physical Chemistry B*, vol. 105, no. 33, pp. 7967–7971, 2001.
- [7] M. Sugimoto, "The past, present, and future of ferrites," *Journal of the American Ceramic Society*, vol. 82, no. 2, pp. 269–280, 1999.
- [8] A. Zielinska-Jurek, Z. Bielan, S. Dudziak et al., "Design and application of magnetic photocatalysts for water treatment. The effect of particle charge on surface functionality," *Catalysts*, vol. 7, no. 12, p. 360, 2017.
- [9] L. Néel, "Antiferromagnetism and ferrimagnetism," *Proceedings of the Physical Society Section A*, vol. 65, no. 11, pp. 869–885, 1952.
- [10] L. Ai and J. Jiang, "Influence of annealing temperature on the formation, microstructure and magnetic properties of spinel nanocrystalline cobalt ferrites," *Current Applied Physics*, vol. 10, no. 1, pp. 284–288, 2010.
- [11] M. Houshiar, F. Zebhi, Z. J. Razi, A. Alidoust, and Z. Askari, "Synthesis of cobalt ferrite (CoFe<sub>2</sub>O<sub>4</sub>) nanoparticles using combustion, coprecipitation, and precipitation methods: A comparison study of size, structural, and magnetic properties," *Journal of Magnetism and Magnetic Materials*, vol. 371, pp. 43–48, 2014.
- [12] A. Pradeep, P. Priyadharsini, and G. Chandrasekaran, "Sol-gel route of synthesis of nanoparticles of MgFe<sub>2</sub>O<sub>4</sub> and XRD, FTIR and VSM study," *Journal of Magnetism and Magnetic Materials*, vol. 320, no. 21, pp. 2774–2779, 2008.
- [13] L. Wang, J. Li, Y. Wang, L. Zhao, and Q. Jiang, "Adsorption capability for Congo red on nanocrystalline MFe<sub>2</sub>O<sub>4</sub> (M = Mn, Fe, Co, Ni) spinel ferrites," *Chemical Engineering Journal*, vol. 181–182, pp. 72–79, 2012.
- [14] V. Pillai and D. O. Shah, "Synthesis of high-coercivity cobalt ferrite particles using water-in-oil microemulsions," *Journal of Magnetism and Magnetic Materials*, vol. 163, no. 1-2, pp. 243–248, 1996.
- [15] J. Wagner, T. Autenrieth, and R. Hempelmann, "Core shell particles consisting of cobalt ferrite and silica as model ferrofluids [CoFe<sub>2</sub>O<sub>4</sub>-SiO<sub>2</sub> core shell particles]," *Journal of Magnetism and Magnetic Materials*, vol. 252, pp. 4–6, 2002.
- [16] S. Ammar, A. Helfen, N. Jouini et al., "Magnetic properties of ultrafine cobalt ferrite particles synthesized by hydrolysis in a polyol medium," *Journal of Materials Chemistry*, vol. 11, no. 1, pp. 186–192, 2001.
- [17] R. Ianoš, M. Bosca, and R. Lazău, "Fine tuning of CoFe<sub>2</sub>O<sub>4</sub> properties prepared by solution combustion synthesis," *Ceramics International*, vol. 40, no. 7, pp. 10223–10229, 2014.
- [18] Y. Zhao, Y. Xu, J. Zeng et al., "Low-crystalline mesoporous CoFe<sub>2</sub>O<sub>4</sub>/C composite with oxygen vacancies for high energy density asymmetric supercapacitors," *RSC Advances*, vol. 7, no. 87, pp. 55513–55522, 2017.
- [19] B. J. Rani, M. Ravina, B. Saravanakumar et al., "Ferrimagnetism in cobalt ferrite (CoFe<sub>2</sub>O<sub>4</sub>) nanoparticles," *Nano-Structures & Nano-Objects*, vol. 14, pp. 84–91, 2018.
- [20] M. G. Naseri, E. B. Saion, H. A. Ahangar, A. H. Shaari, and M. Hashim, "Simple synthesis and characterization of cobalt ferrite nanoparticles by a thermal treatment method," *Journal of Nanomaterials*, vol. 2010, Article ID 907686, 8 pages, 2010.
- [21] R. Ianoš, "Highly sinterable cobalt ferrite particles prepared by a modified solution combustion synthesis," *Materials Letters*, vol. 135, pp. 24–26, 2014.
- [22] B. Babić-Stojić, V. Jokanović, D. Milivojević et al., "Magnetic and structural studies of CoFe<sub>2</sub>O<sub>4</sub> nanoparticles suspended in an organic liquid," *Journal of Nanomaterials*, vol. 2013, Article ID 741036, 9 pages, 2013.
- [23] L. Kumar, P. Kumar, A. Narayan, and M. Kar, "Rietveld analysis of XRD patterns of different sizes of nanocrystalline cobalt ferrite," *International Nano Letters*, vol. 3, no. 1, 2013.
- [24] V. Bartúněk, D. Sedmidubský, Š. Huber, M. Švecová, P. Ulbrich, and O. Jankovský, "Synthesis and properties of nanosized stoichiometric cobalt ferrite spinel," *Materials*, vol. 11, no. 7, p. 1241, 2018.
- [25] G. Lefevre, "In situ Fourier-transform infrared spectroscopy studies of inorganic ions adsorption on metal oxides and hydroxides," *Advances in Colloid and Interface Science*, vol. 107, no. 2-3, pp. 109–123, 2004.
- [26] L. Frolova, A. Derimova, and T. Butyrina, "Structural and magnetic properties of cobalt ferrite nanopowders synthesis using contact non-equilibrium plasma," *Acta Physica Polonica A*, vol. 133, no. 4, pp. 1021–1023, 2018.



Contents lists available at ScienceDirect

Ceramics International

journal homepage: [www.elsevier.com/locate/ceramint](http://www.elsevier.com/locate/ceramint)

## New trifunctional acrylic water-based paint with self-cleaning, biocidal and magnetic properties

Izabela Malinowska<sup>a</sup>, Oliwia Paszkiewicz<sup>b</sup>, Agata Markowska-Szczupak<sup>b</sup>,  
Anna Zielińska-Jurek<sup>a,\*</sup>

<sup>a</sup> Department of Process Engineering and Chemical Technology, Faculty of Chemistry, Gdańsk University of Technology, Narutowicza 11/12, 80-233, Gdańsk, Poland

<sup>b</sup> Department of Chemical and Process Engineering, West Pomeranian University of Technology in Szczecin, Al. Piastów 42, 71-065, Szczecin, Poland

### ARTICLE INFO

Handling Editor: Dr P. Vincenzini

**Keywords:**

Self-cleaning paint  
Magnetic paint  
Biocidal paint  
Photocatalytic paint  
Magnetic photocatalyst  
Zinc ferrite

### ABSTRACT

In the present study, we report the synthesis and application of  $ZnFe_2O_4/SiO_2-TiO_2$  nanocomposites with non-stoichiometric content of Fe to Zn used for the first time for the preparation of new generation trifunctional paints with self-cleaning, biocidal and magnetic properties. Currently, there are no compositions on the market for obtaining protective coatings in the form of paint, which simultaneously exhibit biocidal, magnetic and self-cleaning - photocatalytic properties. The effect of Zn:Fe content on the antimicrobial, magnetic and self-cleaning properties of obtained modified paints was investigated. Furthermore, the non-stoichiometric zinc ferrite in combination with  $TiO_2$  allowed to create of a surface that inhibits microorganisms' growth. Self-cleaning properties were studied in the reaction of dye - neutral red degradation. The commercial white paint was not photocatalytic active. Paint modification with nanocomposites based on  $ZnO/ZnFe_2O_4$  and  $TiO_2$  resulted in the effective degradation of natural red dye. The highest dye removal efficiency was observed for the sample containing  $ZnFe_2O_4/SiO_2-TiO_2$  particles with a non-stoichiometric 1:2 (Fe: Zn) molar ratio. Trifunctional paints with photocatalytic, magnetic and biocidal properties are a novelty in building products. The composition can be applied to protective and decorative layers, giving magnetic, biocidal and self-cleaning properties.

### 1. Introduction

In the last few decades, indoor air quality IAQ (Indoor Air Quality) has become one of the most important factors determining health, comfort and well-being because people spend most of their daily time indoors, where they are routinely exposed to indoor pollutants.

According to World Health Organization (WHO), around a third of the global population is exposed to dangerous levels of household air pollution while using inefficient stoves fuelled by kerosene, biomass and coal [1]. The indoor air quality is influenced by outdoor pollutants associated with vehicular traffic and industrial activities, which can enter by infiltrations and ventilation systems. Moreover, indoor pollutants originate inside the building from cleaning products, furnishings, central heating, electronic equipment, and kinds of activities undertaken by users, such as cooking, frying, using candles and incense, smoking tobacco, and burnings fuels [2,3]. Making buildings more energy efficient will contribute to the sealing of windows and doors and result in the accumulation of indoor pollutants and air stagnation; as a

consequence increase in IAQ is observed.

The most abundant groups of indoor air pollutants are chemical compounds (e.g., nitrogen oxides, carbon oxides, volatile organic compounds, formaldehyde, phthalates, nitrosamines, polycyclic aromatic hydrocarbons, particulate matter) or biological agents, including viruses, bacteria, fungi in particular filamentous fungi (mould), parasites or parts of a plant, which can induce adverse human health impacts [4, 5]. Some toxicogenic moulds growing in damp indoor spaces also produced mycotoxins – secondary metabolites with diverse structures. All of them pose a health hazard to humans and animals [6]. The chemical and biological contaminants contribute to sick building syndrome (SBS), defined as a condition in which occupants in a building suffer from symptoms such as irritation of the eyes, nose, and throat, headache, dizziness, and fatigue [7]. Prolonged exposure to indoor air pollutants can trigger symptoms of asthma or allergies. Moreover, air pollution is the cause and aggravating factor of many respiratory diseases like chronic obstructive pulmonary disease (COPD), lung, laryngeal or nasopharyngeal cancer and skin diseases, e.g. mycoses. A higher

\* Corresponding author. Narutowicza 11/12, 80-233, Gdańsk, Poland.

E-mail address: [annjurek@pg.edu.pl](mailto:annjurek@pg.edu.pl) (A. Zielińska-Jurek).

<https://doi.org/10.1016/j.ceramint.2023.10.166>

Received 20 June 2023; Received in revised form 12 October 2023; Accepted 16 October 2023

Available online 18 October 2023

0272-8842/© 2023 The Authors. Published by Elsevier Ltd. This is an open access article under the CC BY license (<http://creativecommons.org/licenses/by/4.0/>).

proportion of individuals presenting mentioned symptoms are infants, the elderly, a person with chronic disease, and most urban dwellers of any age [8]. Therefore, the removal of indoor air pollutants is crucial to prevent health issues.

Furthermore, microorganisms growing on building materials cause physical and chemical damage referred to as biodeterioration. The highly susceptible to microbial growth are organic building materials containing cellulose, e.g., paints, varnish coatings, and plasters [9,10]. The best biocides are chemical compounds with a broad spectrum of activity on various species of microorganisms, such as bacteria, fungi or other microorganisms [11]. The nanotechnology, and more specifically, nanocomposite formulations with strictly defined sizes and shapes of nanoparticles, resulted in the preparation of nanomaterials with antimicrobial properties [12–15]. The first reports on nanoparticles application in paint to prevent the settlement and growth of different biofouling organisms with a reduced negative effect on the environment appeared in 2006 when Nyden et al. received a patent on a method for application of Cu, ZnO, TiO<sub>2</sub>, CuO nanoparticles as biocides in paints [16]. The paint consists of a composition based on imidazoles bound to metallic nanoparticles with a developed surface area for the adsorption of pathogenic microorganisms.

Heterogeneous photocatalysis is one of the most promising methods of air pollutants degradation and surface disinfection [17,18]. At present, titanium (IV) oxide is the most extensively studied and widely applied material with photocatalytic properties because it is relatively inexpensive and has a high oxidation potential [14]. It is also worth mentioning the excellent photostability, photoactivity and superhydrophilicity compared to other materials [19]. Photocatalytic TiO<sub>2</sub>-based products, such as plasters, coatings, paints, concretes, floors, and tiles, have wide applications in many construction market segments [14]. The materials mentioned above possess the properties of air pollution removal and self-cleaning [15,17,20–22].

However, TiO<sub>2</sub> exhibits one fundamental disadvantage - it can be activated only by UV light due to its absorption edge below 400 nm. Therefore, over the past few decades, many modifications like dye sensitisation and doping with metal and metal oxide or non-metal anions have been proposed to improve TiO<sub>2</sub> activity and sensitivity under visible light [23–25]. Overcoming the limitations of titanium (IV) oxide has led to broadening the scope of offered products. Jiang et al. [25] obtained nano-TiO<sub>2</sub> coated glasses modified by doping with N, F, and Fe ions. The slides prepared were used for the degradation of air pollutants in visible light. The TiO<sub>2</sub>-modified glass exhibited superhydrophilic properties for self-cleaning applications. New generation of photocatalytic paints for indoor applications could help improve air quality and allow the creation of surfaces that kill or inhibit the growth of microorganisms. Analysing the construction market, one can notice a gap in which hybrid paints are missing, with the property of simultaneously removing indoor air pollutants, magnetic and biocidal properties.

In this regard, the aim of the present study was the synthesis and application of ZnO/ZnFe<sub>2</sub>O<sub>4</sub>/SiO<sub>2</sub>-TiO<sub>2</sub> nanocomposites used for the first time for the preparation of trifunctional paints with self-cleaning, biocidal and magnetic properties. The photoactivity and biocidal properties of two new TiO<sub>2</sub>-based paints and one commercial under natural indoor light were investigated. The method of preparation of magnetic photocatalytic composites with a controlled core-interlayer-coating structure allows the functionality of a magnetic core with a silica interlayer and a TiO<sub>2</sub> photocatalytic layer. The ferrite particle may interact with silica, while TiO<sub>2</sub> nanoparticles may interact with silica particles embedded in the ferrite core [26]. The application of zinc compounds, which are safe for humans and animals and widely used in pharmacy [27] and cosmetology [28], provided the composite with biocidal (ZnO) and magnetic (ZnFe<sub>2</sub>O<sub>4</sub>) properties. Furthermore, ZnFe<sub>2</sub>O<sub>4</sub> as a zinc spinel ferrite at the nanoscale reveals superparamagnetic properties, providing the coating magnetic properties [29]. Introducing a silica layer in the ZnO/ZnFe<sub>2</sub>O<sub>4</sub>/SiO<sub>2</sub>-TiO<sub>2</sub> composite structure enhanced paint dispersion and increased the adhesion of

pollutant particles on the surface of the self-cleaning layer, enabling photodegradation of the organic pollutants and microorganisms. The effect of Zn: Fe content on the antimicrobial, magnetic and self-cleaning properties of obtained modified paints was investigated.

## 2. Materials and methods

### 2.1. Materials

Commercial TiO<sub>2</sub> P25 (mixture of the crystalline phases: anatase and rutile, S<sub>BET</sub> = 50 m<sup>2</sup>g<sup>-1</sup>, particle size: 20 nm) was provided by Evonik (Germany). Zinc (II) chloride, iron (II) sulfate heptahydrate, and sodium hydroxide were purchased from Aldrich.

### 2.2. Synthesis of ZnFe<sub>2</sub>O<sub>4</sub>

Firstly, to obtain zinc ferrite particles, FeSO<sub>4</sub>•7H<sub>2</sub>O and ZnCl<sub>2</sub> were dissolved in non-stoichiometric 1:2 (Fe: Zn) and 1:1.5 (Fe: Zn) molar ratio in deionised water under stirring (500 rpm) for 30 min. Afterwards, the metals were precipitated from the homogenous solution by adding 5 M NaOH at room temperature to a pH of 10. The reaction mixture was hydrothermally treated in an autoclave at 200 °C for 5 h. Subsequently, the solid product of the reaction was magnetically separated and purified with deionised water several times. The final product was dried to dry mass. The proposed method of synthesis allows to obtain hybrid nanocomposites of nanometric sizes.

### 2.3. Synthesis of ZnFe<sub>2</sub>O<sub>4</sub>/SiO<sub>2</sub>-TiO<sub>2</sub> nanocomposite

In the next synthesis step, the nanoparticles were re-dispersed in a mixture of 0.1 M Triton X-100, cyclohexane, isopropanol and water. Then, tetraethyl orthosilicate (TEOS) was added to the suspension to obtain a silica layer and ammonia water as a precipitating agent. The molar ratios of TEOS to ZnFe<sub>2</sub>O<sub>4</sub> and NH<sub>4</sub>OH to TEOS were equal to 8:1 and 16:1, respectively. The pH of the mixture was reduced below 5, and TiO<sub>2</sub> P25 was added. The content of zinc spinel ferrite to TiO<sub>2</sub>/SiO<sub>2</sub> was 20 % by weight. Then, the obtained suspension was magnetically separated, washed with acetone and deionised water, and dried at 70 °C to dry mass. The obtained ZnO/ZnFe<sub>2</sub>O<sub>4</sub>/SiO<sub>2</sub>-TiO<sub>2</sub> composite was calcined at 400 °C for 2 h.

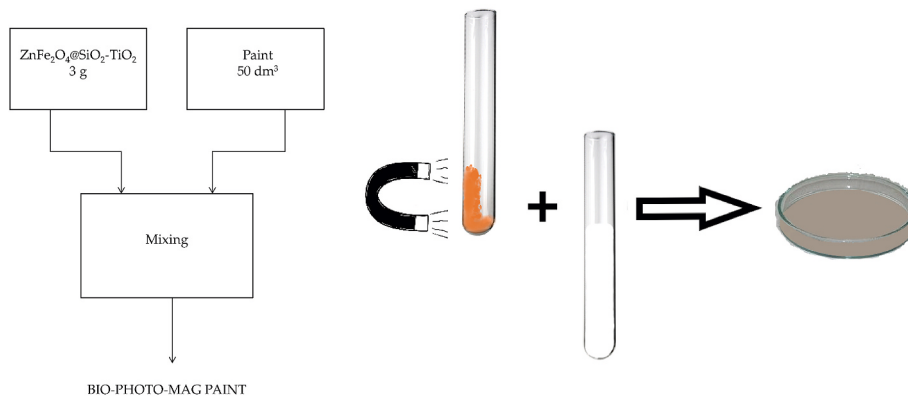
### 2.4. Preparation of bio-photo-magnetic paint

Bio-Photo-Magnetic paint was prepared according to the scheme presented in Fig. 1. The commercial white paint and powder composite of ZnO/ZnFe<sub>2</sub>O<sub>4</sub>/SiO<sub>2</sub>-TiO<sub>2</sub> were mixed with a mechanical stirrer in the proportion of 3 g of composite for 50 dm<sup>3</sup> of paint.

### 2.5. Characterisation of materials

Firstly, the phase structure of the ZnO/ZnFe<sub>2</sub>O<sub>4</sub>/SiO<sub>2</sub>-TiO<sub>2</sub> composites was analysed with the powder X-ray diffraction (XRD) method using Rigaku MiniFlex 600 X-ray diffractometer (Rigaku Corporation, Tokyo, Japan). The patterns were obtained in step-scanning mode ( $\Delta\theta = 0.01^\circ$ ) in the range from 10° to 80° 2θ. Nitrogen adsorption-desorption isotherms were analysed using the Micromeritics Gemini V instrument. Diffuse reflectance spectra (DR) in the 300–800 nm range were measured using ThermoScientific Evolution 220 Spectrophotometer (Waltham, MA, USA) equipped with PIN-757 integrating sphere. The composite surface morphology was examined by scanning electron microscopy (SEM) using SEM Microscope FEI Quanta FEG 250. The magnetic properties of coated ferrite nanocomposites were investigated using the Physical Properties Measurements System (Quantum Design, San Diego, CA, USA) at 293 K and in the range of 0–3 T.

The surface area was determined using the BET isotherm method (Brunauer, Emmett and Teller) using the Micromeritics Gemini V



**Fig. 1.** Schematic illustration of the preparation method of bio-photo-magnetic paint.

apparatus. The analysed samples, weighing 0.3 g, were degassed for 2 h at 200 °C in the Micromeritics FlowPrep 060. Then, the amount of adsorbed nitrogen on the surface of the photocatalysts was determined. Adsorption occurred at a temperature of 77K, the boiling point of liquid nitrogen. The carrier gas in the system was helium. Changes in the thermal conductivity of the gas mixture reflect changes in the adsorption and desorption processes. From the determined adsorption isotherm using the Brunauer, Emmett and Teller equation, the specific surface area of the tested nanocomposites was calculated according to the equation:

$$\frac{x}{a(1-x)} = \frac{1}{a_m K} + \frac{K-1}{a_m K} x$$

where: x - relative pressure in the range of 0.04–0.05; am - capacity of the absorption monolayer, K - adsorption equilibrium constant.

## 2.6. Self-cleaning properties of trifunctional paints

Transparent plastic foils, in the shape of squares with a side of 5 cm, were covered with zinc ferrite (sample S1 and S2), modified paints containing nanocomposite particles (samples S3 and S4), and a sample of white paint (sample S0, which served as a reference sample). The samples prepared in this way were placed in the dye solution for 45 min, dried at 40 °C and irradiated. Photocatalytic degradation of natural red dye was performed using a 300W Xenon lamp emitting UV-vis light. The degradation of the dye was calculated from the reduction in absorption intensity of natural red dye in the concentration  $c = 0.02 \frac{\text{mol}}{\text{dm}^3}$  at a fixed wavelength  $k_{\max} = 550 \text{ nm}$ . The degradation efficiency was then calculated as given in  $\text{PD} = \frac{C_0 - C}{C_0} * 100\%$ , where  $C_0$  is the initial concentration of the natural red and C is the concentration after irradiation at given time intervals. The total irradiation time was 120 min.

## 2.7. Antimicrobial properties of trifunctional paints

The antimicrobial properties of paints were determined using Gram-negative bacteria *Escherichia coli* K12 (ATCC 29425) and Gram-positive bacteria *Staphylococcus epidermidis* (ATCC 49461). The test microorganisms were cultivated in two types of liquid media – nutrient broth (NB) for *E. coli* and Brain-Heart Infusion (BHI) for *Staphylococcus epidermidis* and incubated for 24 h at 37 °C. Then test culture was diluted using 0.85 % sterile sodium saline buffer to the final concentration 0.5 in McFarland standard to a final concentration approx.  $1.5 \times 10^6 \text{ CFU/ml}$ . The experiments were carried out according to ASTM E2149-01: Standard test method for determining the antimicrobial activity of antimicrobial agents under dynamic contact conditions with some modifications [30]. For the antibacterial performance examination, the sheets of paper covered by paints or sheet paper (as negative control) were cut into small pieces and  $1.0 \pm 0.1 \text{ g}$  were transferred into a sterile

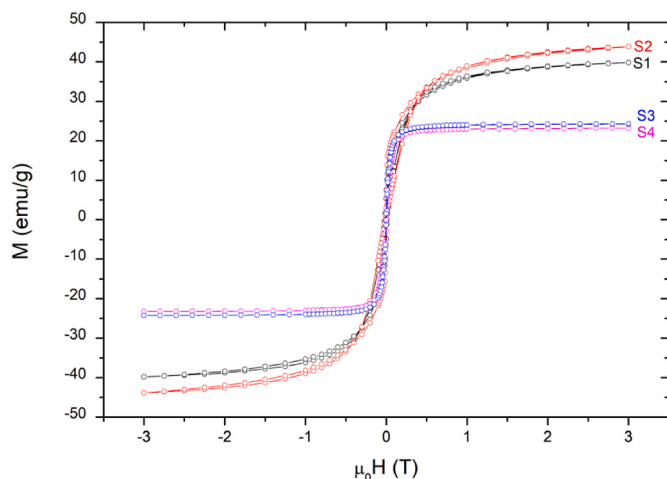
250 mL screw-cap Erlenmeyer flask for each treated (paper covered by paints) and untreated specimen (uncovered by paints). Then,  $50 \pm 0.5 \text{ mL}$  of working dilution of bacterial inoculum prepared flask. The flasks were placed on the wrist-action shaker and were shaken for  $1.0 \text{ h} \pm 5 \text{ min}$ . The experiments were carried out under visible (one bulb 300 W, OSRAM Ultra Vitalux, Poland) irradiation placed about 15 cm from the flask and under dark conditions. The radiant flux was monitored with a radiation intensity meter LB901 (Lab-EL, Poland) equipped with CM3 and PD204AB Cos sensors. Immediately serial dilute and plate each sample out in triplicate, as was done for the "0" contact time subgroup. The samples were collected after 0.5 and 1.5 h. Serial tenfold dilutions using 0.85 % sodium saline solution were made, and 0.25 ml were plated on appropriate solid media: Standard Plate Count Agar (PCA) for *E. coli* and Brain-Heart Infusion Agar (BHI) for *S. epidermidis*. The inculcated plates were incubated at a temperature of 37 °C for 24 h. Then the visible colonies were counted and shown as log CFU/mL. The antimicrobial activity was expressed as bacterial survival rate after contact with the painted paper and control sample.

The trifunctional paints were coated on paper using a K-paint coater at a speed of 1 cm/min and 2 μm. The samples were dried for at least 48 h before antimicrobial analyses. The coated papers were cut to 1.5 cm × 1.5 cm squares. The agar plate method was used for the evaluation of antimicrobial effect of the coatings. Gram-positive *Staphylococcus aureus* (ATCC 6538) and gram-negative *Escherichia coli* (ATCC 10536) were used to test the antibacterial activity of modified paints. For disc diffusion sensitivity tests, the semi-liquid medium was inoculated with  $10^5 \text{ cells/ml}$  of an overnight culture of microbial cells, poured into Petri plates and left for solidification. The paint samples were placed on the agar medium surface. Plates were incubated for 24 h at 37 °C. The zones of inhibition were measured.

## 3. Results

### 3.1. Characterisation of ZnO/ZnFe<sub>2</sub>O<sub>4</sub>/SiO<sub>2</sub>-TiO<sub>2</sub> composites

The magnetic properties depend on the preparation method, grain size, cation distribution and calcination temperature. Bulk ZnFe<sub>2</sub>O<sub>4</sub> is a normal spinel, where Fe<sup>3+</sup> cations antiferromagnetically coupled occupy octahedral (B) sites, and Zn<sup>2+</sup> cations (non-magnetic) are preferentially located at the tetrahedral A positions [31]. However, at the nanoscale, zinc ferrite nanoparticles exhibit cationic inversion between octahedral and tetrahedral sites and the occurrence of mixed states (i.e., Fe<sup>3+</sup> cations in both B and A sites) is noticed [29]. The M-H curves of ZnFe<sub>2</sub>O<sub>4</sub> NPs and composites are presented in Fig. 2. The hysteresis loop can be used to read the magnetic parameters such as saturation magnetisation (Ms), coercivity (Hc), and remanent magnetisation (Mr). The values are presented in Table 1. At RT, these values for S1 were 44 emu/g, 0.02 kOe, and 7.6 emu/g, respectively. The saturation



**Fig. 2.** Magnetic hysteresis loops of magnetic core  $\text{ZnFe}_2\text{O}_4$  and nanocomposites of  $\text{ZnO}/\text{ZnFe}_2\text{O}_4/\text{SiO}_2\text{-TiO}_2$ .

magnetisation for sample S2 was slightly lower and equalled  $40 \text{ emu}\cdot\text{g}^{-1}$ . The decrease in the magnetisation of S2 could be related to different cation distribution or the occurrence of some amount of the sample non-ferrimagnetic ( $\text{ZnO}$ ). At 300 K, the coercivity was close to zero, which shows that samples S1 and S2 are superparamagnetic. This is well expected, as for a superparamagnetic system, the coercivity is zero [32, 33]. In addition, besides the cation distribution, the magnetic properties of nanostructured ferrites depend on microstructures such as crystallinity and crystallite size. For magnetic spinel ferrites, the critical size is around 30–40 nm [34, 35]. When the particle size is reduced below the critical size, it becomes superparamagnetic, with zero coercivity. Due to a crystallite size of about 8–9 nm, the obtained ferrimagnetic zinc ferrite particles can behave superparamagnetically at RT. After coating with  $\text{TiO}_2$  and silica layer, the magnetisation of the nanocomposite decreased from  $44$  to  $40 \text{ emu}\cdot\text{g}^{-1}$  to  $23$ – $24 \text{ emu}\cdot\text{g}^{-1}$ . The decrease in magnetisation should be related to the mass contribution of the  $\text{SiO}_2$  and  $\text{TiO}_2$  coating. It was expected since  $\text{ZnFe}_2\text{O}_4$  is a small fraction of the final material (calculated to 5 wt %). As revealed by the XRD analysis,  $\text{TiO}_2$  and  $\text{SiO}_2$  are predominant in both S3 and S4 samples, and therefore the magnetisation decrease should be proportional to their content.

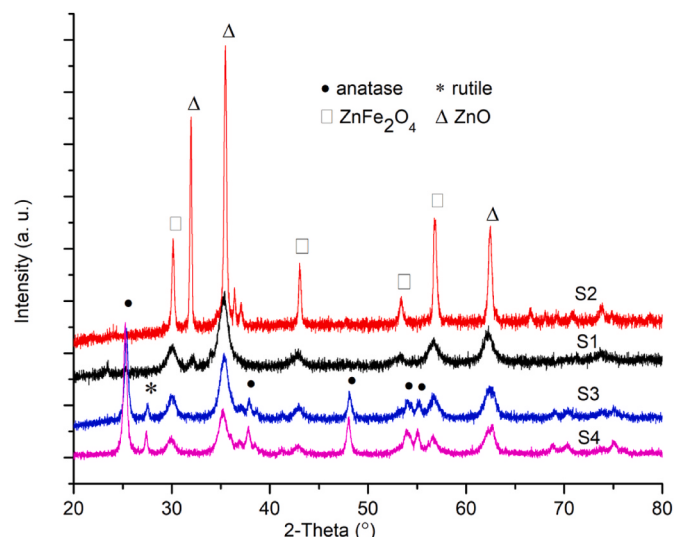
The physicochemical characteristics of the composites, e.g., crystallite sizes, indirect band gap values, BET surface areas, are presented in Table 1. The BET surface area of both zinc ferrite samples (S1 and S2) was about  $20 \text{ m}^2\text{ g}^{-1}$ . The specific surface area of nanocomposites coated with  $\text{SiO}_2\text{-TiO}_2$  was about  $52 \text{ m}^2\text{ g}^{-1}$ , similar to that of  $\text{TiO}_2$  P25 ( $50 \text{ m}^2\text{ g}^{-1}$ ).

The XRD patterns of zinc ferrite particles (samples S1 and S2) and  $\text{ZnO}/\text{ZnFe}_2\text{O}_4/\text{SiO}_2\text{-TiO}_2$  composites (samples S3 and S4) are presented in Fig. 3. The formation of  $\text{ZnFe}_2\text{O}_4$  was confirmed by the presence of signals at  $2\theta = 29.8^\circ$ ,  $35.2^\circ$ ,  $42.8^\circ$ ,  $53.1^\circ$ ,  $56.5^\circ$  and  $62.1^\circ$ , according to JCPDS No. 82–1042. Moreover, due to the non-stoichiometric content of Fe:Zn during the synthesis, the characteristic diffraction peaks for produced in situ hexagonal wurtzite structure of  $\text{ZnO}$  at  $2\theta = 32.6^\circ$ ,  $36.0^\circ$  and  $62.8^\circ$  can be noticed (JCPDS card no. 36–1541). The diffraction peaks at

$2\theta = 25.3^\circ$ ,  $36.9^\circ$ ,  $48.0^\circ$  and  $53.9^\circ$  corresponds to the of anatase  $\text{TiO}_2$  (JCPDS No. 89–4203). Deposition of both  $\text{SiO}_2$  and  $\text{TiO}_2$  layers resulted in visible weakening of  $\text{ZnFe}_2\text{O}_4$  signals at  $2\theta = 35.2^\circ$  for samples S3-S4. Crystallite sizes of zinc ferrite and  $\text{TiO}_2$  (anatase) particles were determined using the Scherrer equation and equalled 8–8.5 nm and 20 nm, respectively.

The optical absorption properties of the nanomaterials are presented in Fig. 4. The analysed samples absorb UV light due to the sp-d interaction between valence band electrons of O and d electrons of Ti or Zn/Fe atoms in  $\text{TiO}_2$  and  $\text{ZnFe}_2\text{O}_4$  structures, respectively. The higher absorption properties of S2 than S1 resulted from the presence of a higher amount of  $\text{ZnO}$  in the heterostructure. Obtained spectra were transformed into the Kubelka-Munk function, and the Tauc transformation was used to determine the band gap values. The band gap for the two samples S1 and S2 was in the range of 1.75–1.85 eV. Different synthesis methods and different parameters of zinc ferrite synthesis result in the various energy band values of zinc ferrite nanoparticles. Lemine al [36] reported the band gap of  $\text{ZnFe}_2\text{O}_4$  of about 2.23 eV. Gao et al. [37] reported a band gap energy of 1.9 eV for nanocrystalline  $\text{ZnFe}_2\text{O}_4$  synthesised with a polymer complex.

The morphology of the samples was examined by scanning electron microscopy and transmission microscopy analyses, and the results are presented in Fig. 5. The zinc ferrite particles grow in situ on the surface of  $\text{ZnO}$ , forming a special 3D flower-like structure [38, 39]. For magnetic photocatalysts of  $\text{ZnO}/\text{ZnFe}_2\text{O}_4/\text{SiO}_2\text{-TiO}_2$  the spherical morphology of the particles can be noticed due to the coating of zinc ferrite with a protective  $\text{SiO}_2$  and  $\text{TiO}_2$  layer. Based on TEM analysis, the particle size for sample S4 was about 50 nm. The different values of particle size of TEM and crystal size of XRD analysis result from the structural properties and lattice strain as a result of clustering of the nanoparticles. The average particle size of the samples is larger than the crystallite size calculated based on the Scherrer equation. However, the obtained results suggest that the zinc ferrite core (~8 nm) is coated with a  $\text{SiO}_2\text{-TiO}_2$

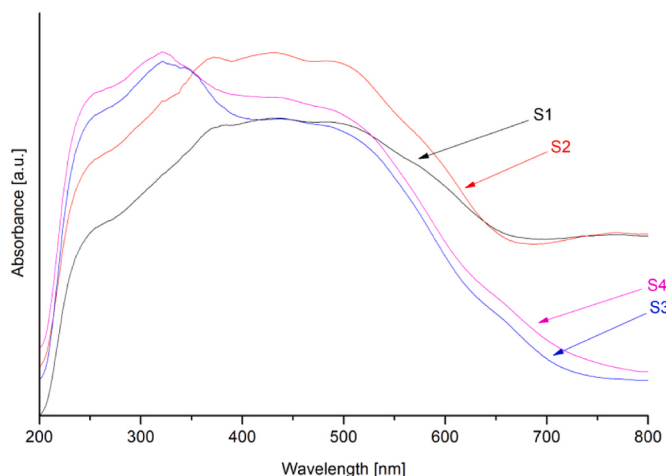


**Fig. 3.** XRD patterns of samples S1-S4.

**Table 1**

The physicochemical characteristics of  $\text{ZnFe}_2\text{O}_4$  and  $\text{ZnFe}_2\text{O}_4/\text{SiO}_2\text{-TiO}_2$ .

Sample	Molar ratio	$M_s$ (emu·g <sup>-1</sup> )	$H_c$ (T)	$M_r$ (emu·g <sup>-1</sup> )	BET (m <sup>2</sup> ·g <sup>-1</sup> )	Pore volume (cm <sup>3</sup> /g)	$E_g$	Crystallite Size (nm)		
								Anatase	Rutile	Zinc Ferrite
S1 $\text{ZnFe}_2\text{O}_4$	Fe:Zn 1:1.5	44	0.002	7.6	20	0.0021	1.75	—	—	8.0
S2 $\text{ZnFe}_2\text{O}_4$	Fe:Zn 1:2	40	0.018	5.4	21.5	0.0103	1.85	—	—	8.5
S3 $\text{ZnFe}_2\text{O}_4/\text{SiO}_2\text{-TiO}_2$	Fe:Zn 1:1.5	24	0.002	1.43	49	0.0017	1.9	20	32.5	8.0
S4 $\text{ZnFe}_2\text{O}_4/\text{SiO}_2\text{-TiO}_2$	Fe:Zn 1:2	23	0.010	2.9	52	0.0011	2.1	20	31.0	8.5



**Fig. 4.** Diffuse reflectance spectra of sample S1-S4.

shell ( $\sim 30$  nm).

Furthermore, the SEM images of white commercial paint,  $ZnFe_2O_4$  modified paints and  $ZnO/ZnFe_2O_4/SiO_2-TiO_2$  modified paints are presented in Fig. 6. The powder modifier is located on the upper surface, which allows for full activation of the composite components responsible for the trifunctional properties of the paint.

### 3.2. Photocatalytic properties of trifunctional paints

The images of paint coatings are presented in Fig. 7. The paint samples, after modification with  $ZnFe_2O_4$  and  $ZnO/ZnFe_2O_4/SiO_2-TiO_2$  were different shades of beige (S1-S4). The S0 sample is a reference sample coated with commercial white paint.

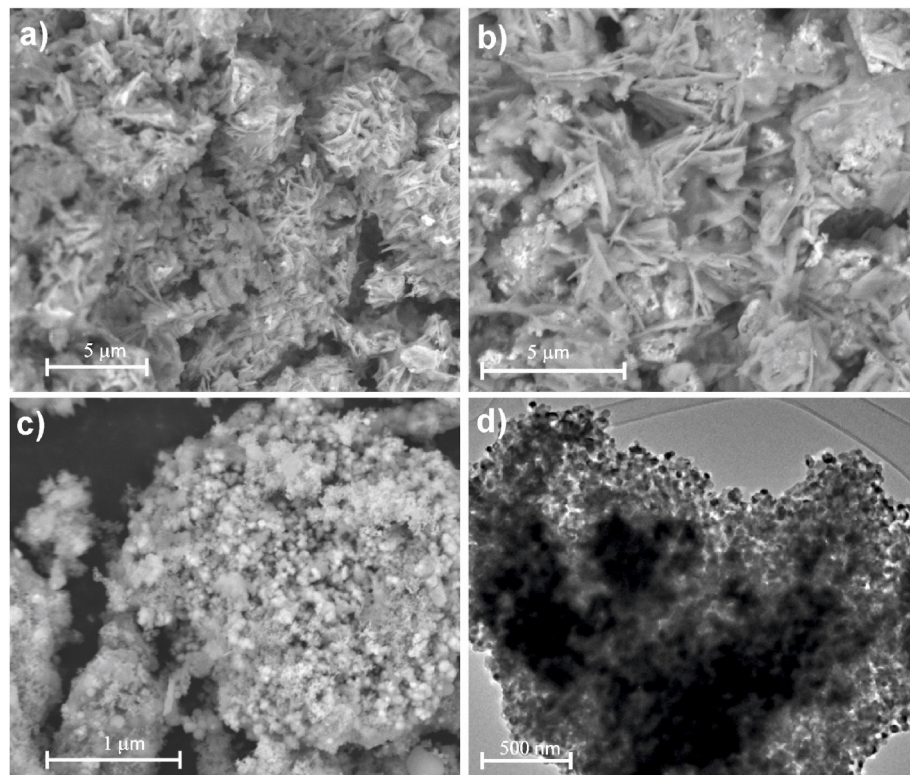
The self-cleaning properties of  $ZnO/ZnFe_2O_4/SiO_2-TiO_2$  – modified paint (sample S4) are presented in Fig. 8. After the dyeing process, the

sample was uniformly red colour (Fig. 8a). Furthermore, the photodegradation process led to efficient dye degradation and the sample returned to its original colour (Fig. 8b). The photocatalytic activity of paint layers (self-cleaning properties), including the un-modified commercial paint (sample S0), are presented in Fig. 9. For the reference sample S0, the photodegradation was not observed, which is a natural phenomenon for unmodified paint. For samples S1 and S2 of paint modified with zinc ferrite nanoparticles with a non-stoichiometric Fe:Zn content, the dye degradation efficiency was about 47.5% and 56.6%, respectively. Paint modification with nanocomposites based on  $ZnFe_2O_4$  and  $TiO_2$  resulted in the effective degradation of natural red dye. The highest photodegradation efficiency of about 93% was observed for sample S4 containing  $ZnO/ZnFe_2O_4/SiO_2-TiO_2$  composite with Fe:Zn ratio of 1:2. For sample S3 the observed self-cleaning properties were slightly lower, and the efficiency of decolourisation of the surface reached about 86.2%. The difference results from the increased content of  $ZnO$  in  $ZnFe_2O_4/SiO_2-TiO_2$  (sample S4, Fe:Zn equalled to 1:2) composite structure, which is a consequence of the photocatalyst synthesis method.

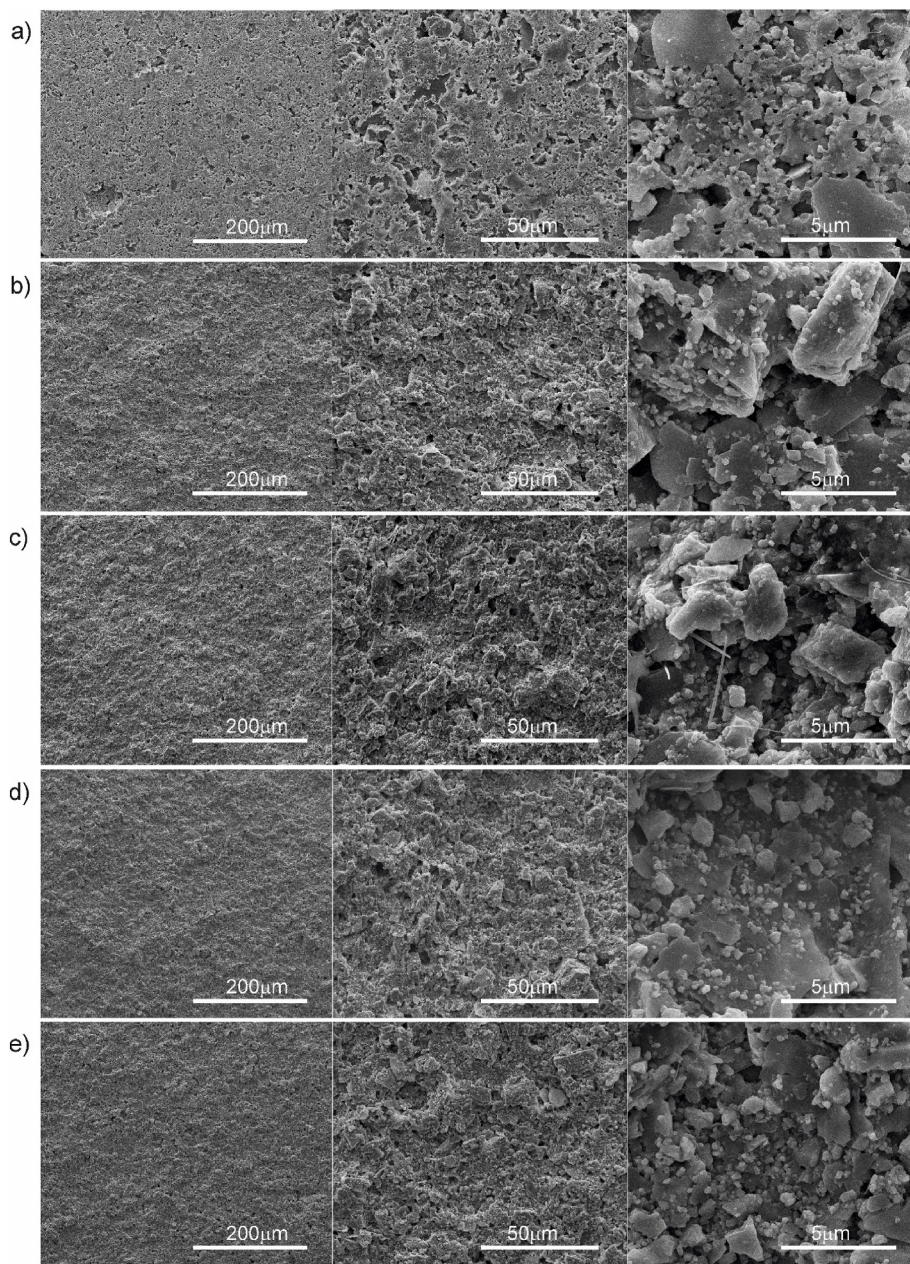
### 3.3. Antimicrobial properties of trifunctional paints

Photocatalytic inactivation of *Escherichia coli* and *Staphylococcus epidermidis* was analysed on paper sheets covered by commercial and modified with  $ZnO/ZnFe_2O_4/SiO_2-TiO_2$  composites paints according to ASTM E2149-01 recommended for testing antimicrobial additives. All tests were conducted in dark conditions or under visible light. Fig. 10 a-b shows the photocatalytic inactivation of *E. coli* and *S. epidermidis* bacteria. The inactivation of bacteria on control paper sheets was significantly lower (almost 100% of survival bacteria), independently from lighting conditions.

These study showed that for activation of  $ZnO/ZnFe_2O_4/SiO_2-TiO_2$  also, visible light (indoor light) can be used. The paints containing  $ZnO/ZnFe_2O_4/SiO_2-TiO_2$  particles showed good antimicrobial activity against both tested bacteria under visible light conditions. After 1 h of



**Fig. 5.** Microscopy SEM images of samples S1 (a), S2 (b), S4 (c), and TEM image of  $ZnO/ZnFe_2O_4/SiO_2-TiO_2$  composite (sample S4).

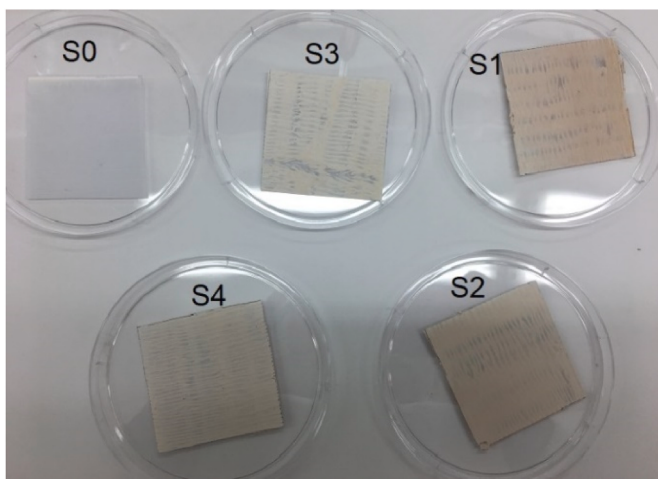


**Fig. 6.** The morphology (SEM images) of white commercial paint S0 without additives (a), modified paints with  $\text{ZnFe}_2\text{O}_4$  (S1-S2) (b,c) and  $\text{ZnO}/\text{ZnFe}_2\text{O}_4/\text{SiO}_2\text{-TiO}_2$  (S3-S4) samples (d,e).

exposition, almost half of the bacteria were inactivated (Fig. 10 a-b). The experiment indicated a synergy between the molar ratio of Fe: Zn and antibacterial properties. The higher concentration of zinc effectively inhibited the growth of bacteria Gram negative *E. coli* and Gram positive *S. epidermidis* due to in situ formation of  $\text{ZnO}/\text{ZnFe}_2\text{O}_4$  particles. Gram negative bacteria were more sensitive than Gram positive. *E. coli* showed a higher  $\log_{10}$  reduction in colony-forming units (CFU/mL) than the *S. epidermidis* after 1 h. The efficiency of both bacteria inactivation for  $\text{ZnFe}_2\text{O}_4/\text{SiO}_2\text{-TiO}_2$  (Fe:Zn 1:2) paint under visible light activation was comparable to commercial paint. As presented in Fig. 11, based on XRD analysis, the presence of Zn was confirmed in the commercial paint structure.

However, due to the paint composition being only known to the producer, it was impossible to specify inhibition or stimulation agents. The maximum reduction of *E. coli* bacteria under vis irradiation was: 3.26 log for  $\text{ZnFe}_2\text{O}_4/\text{SiO}_2\text{-TiO}_2$  (Fe:Zn 1:2) paint, 3.2 log for

commercial paint and 1.16 for  $\text{ZnFe}_2\text{O}_4/\text{SiO}_2\text{-TiO}_2$  (Fe:Zn 1:1.5). In the same conditions for *S. epidermidis* the reduction rate was 2.62, 2.82 and 0.92 respectively. As reported by Zuccheri et al. the photocatalytic agent in commercial paints is used at a very high concentration in the range of 15 vol % – 80 vol % [40]. Moreover a significant bacterial inactivation of about 90 % (investigated only against *E. coli*) was reached only after 48 h of irradiation with UV lamp. It is well known that the antibacterial activity of photocatalytic products such as paints is related to efficiency in generating ROS under light irradiation [40–42]. Both tested in this study bacteria are facultative anaerobic organism that causes higher sensitivity to oxygen exposure and have weaker mechanisms of ROS neutralisation (in contrast to aerobic organisms) [43]. Another possible explanation was demonstrated by Hochmannova and Vytrasova [44]. The authors concluded that zinc-containing formulations (paints) exhibit a few times higher antimicrobial efficiencies than nano  $\text{TiO}_2$  paints. In an aqueous solution,  $\text{Zn}^{2+}$  ions can damage the cytoplasmic



**Fig. 7.** Paint samples modified with  $\text{ZnFe}_2\text{O}_4$  (S1–S2),  $\text{ZnFe}_2\text{O}_4/\text{SiO}_2\text{-TiO}_2$  (S3–S4) and S0—white paint before the dying process.

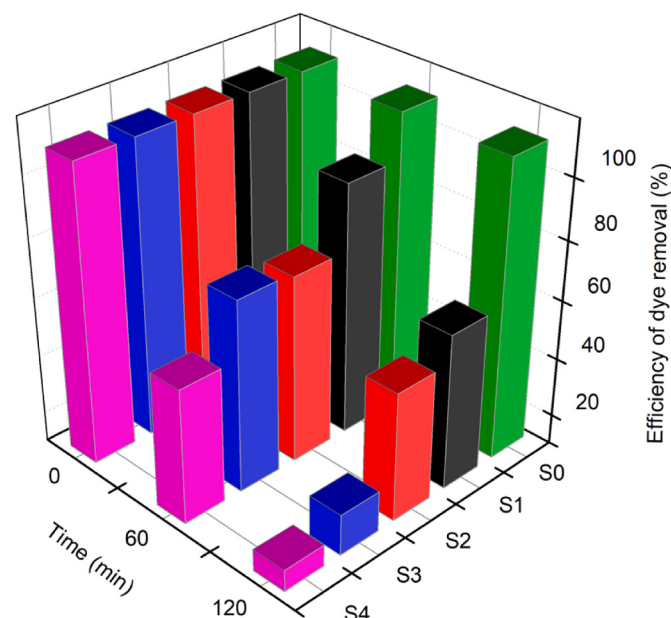
membrane and act as an inhibitor of the glycolytic enzyme through the thiol group oxidation [45]. It is noteworthy that  $\text{ZnO}/\text{ZnFe}_2\text{O}_4/\text{SiO}_2\text{-TiO}_2$  modified paints also revealed excellent antimicrobial properties in darkness (Fig. 10).

Furthermore, it is also possible that electrostatic interactions of nanoparticles play a crucial role in this process. Metal nanoparticles of Cu, Ag and Zn are positively charged and can bind to the negatively charged bacterial cell via electrostatic repulsion. It can cause direct disruption of electron transport chain or even mechanical damage of cell walls. Both these abnormalities can lead to bacteria death [46]. As summarised Kirthika et al., metal and metal oxide nanoparticles (e.g.  $\text{ZnO}$ ,  $\text{MgO}$   $\text{CuO}$ ,  $\text{TiO}_2$  etc.) are classified as active antimicrobial agents (AAA), which means that they eradicate microbes completely by varied mechanisms of action. In contrast, passive antimicrobial agents (PAA) only prevent the growth of microbes [47]. Many of the listed above NPs exhibit a biocidal activity against Gram-positive and Gram-negative bacteria or microscopic fungi isolated from varied environments (human body, water, air etc.), which was described in a wide range of review papers [17,46–50]. Nevertheless, the mechanism of their antimicrobial action is not fully known. On the one hand, it is due a variation and evolution in microorganisms, but on the other, it is caused by rapid progress in the method of synthesis of nanoparticles characterised by their different size, shapes, composition or physical properties. Additionally, in the case of self-cleaning and self-disinfecting building materials such as paints or coatings, the synergistic effect of NPs in combination with polymers and chemicals used as a component of the

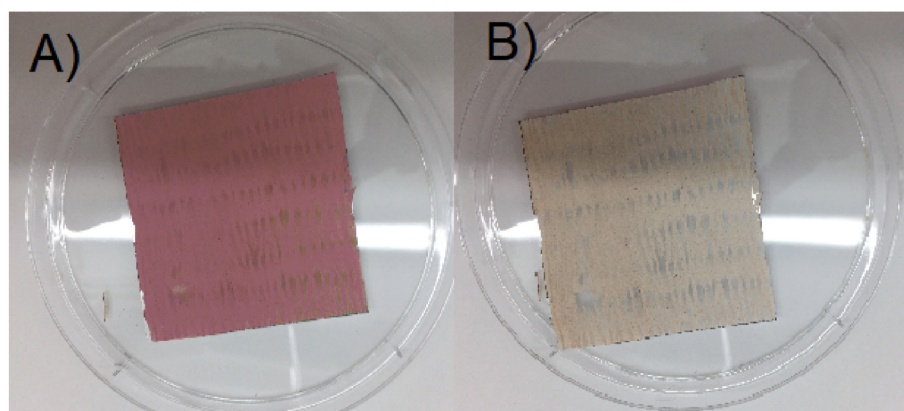
final product determines the antibacterial efficacy of a surface [51].

Finally, the inhibition zones against microorganisms for zinc ferrite modified paints with a non-stoichiometric Fe:Zn content were analysed and compared with the inhibition zones of stoichiometric zinc ferrite ( $\text{ZnFe}_2\text{O}_4$ ) modified paint and white paint without additives as reference. In Table 2, the diameters of zones of inhibition for modified paints are presented. The labels in the first column are the same as in Figs. 7–11, and are related to zinc ferrite modified paints and  $\text{ZnO}/\text{ZnFe}_2\text{O}_4/\text{SiO}_2\text{-TiO}_2$  modified paints. The best antimicrobial activity was observed for samples S1 and S3 prepared using non-stoichiometric  $\text{ZnFe}_2\text{O}_4$ .

The zones of inhibition against *St. aureus* and *E. coli* were observed for samples of paints S1, S3 and S5. Our results are in good agreement with others. Mandal et al. reported that zinc ferrite nanoparticles revealed similar biocidal properties to known antibiotics on many bacterial colonies [52]. García-Cruz et al. demonstrated the activity of zinc ferrite nanoparticles against phytopathogenic bacteria [53]. The highest antibacterial activity was observed for S3 and S1. However, broad inhibition zones of the growth of both bacterial colonies for S1 and S3 samples are clearly visible. The observed inhibition zones are twice as



**Fig. 9.** The results of photocatalytic degradation of dyes for paint samples S1–S4 and control sample S0 (white paint without modification).



**Fig. 8.** The images of sample S4 before the dye (natural red) photodegradation process (a) and after the photodegradation process (b). (For interpretation of the references to colour in this figure legend, the reader is referred to the Web version of this article.)

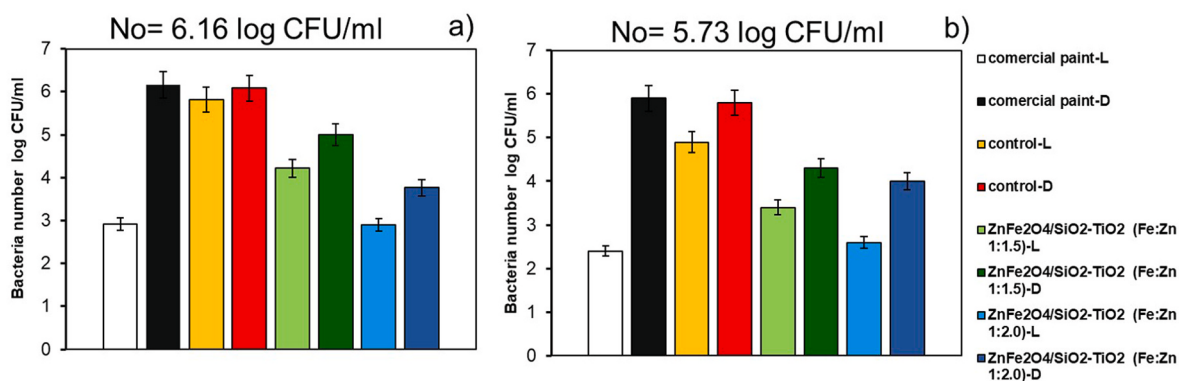


Fig. 10. Effect of photocatalytic paints on inactivation of bacteria a) *E. coli* b) *S. epidermidis* after 1.0 h exposure to L – light or D – dark conditions; control – uncovered paper (negative control), No – initial number of bacteria (time 0 h).

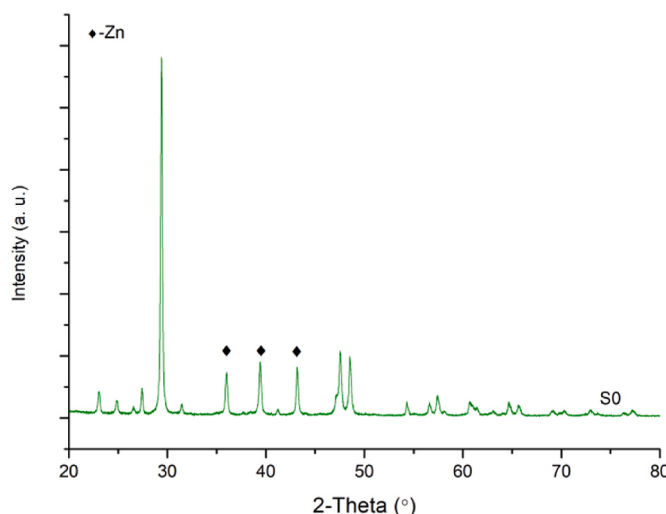


Fig. 11. XRD pattern of commercial white paint.

Table 2

The inhibition zones against microorganisms for trifunctional paints and commercial paint.

Trifunctional paint		Zone of inhibition (mm)	
Sample label	Description	<i>Staphylococcus aureus</i> ATCC 6538	<i>Escherichia coli</i> ATCC 10536
S0	white paint without additives	0	0
S1	non-stoichiometric ZnFe <sub>2</sub> O <sub>4</sub> (Fe:Zn 1:1.5) modified paint	21.3	32.9
S3	non-stoichiometric ZnFe <sub>2</sub> O <sub>4</sub> /SiO <sub>2</sub> -TiO <sub>2</sub> (Fe:Zn 1:1.5) modified paint	19.6	33.8
S5	stoichiometric ZnFe <sub>2</sub> O <sub>4</sub> modified paint	11.2	18.9

wide compared to stoichiometric ZnFe<sub>2</sub>O<sub>4</sub>. The in situ generation of zinc oxide into the structure of zinc ferrite markedly improved the original biocidal properties of pure stoichiometric zinc ferrite.

#### 4. Conclusions and discussion

In the present study, a composition containing an active agent - a composite based on TiO<sub>2</sub>, ZnO and ZnFe<sub>2</sub>O<sub>4</sub> with a non-stoichiometric Fe:Zn content and the method of producing this trifunctional paint was for the first time reported.

Nanocomposites with biocidal, magnetic and self-cleaning properties were characterised to confirm the effectiveness of the product in the form of trifunctional paint concerning magnetic properties (analysis of magnetisation saturation), biocidal properties (analyses concerning Gram-positive *Staphylococcus epidermidis* and Gram-negative *Escherichia coli*, and self-cleaning properties in the neutral red dye degradation reaction.

The obtained ferrimagnetic zinc ferrite particles revealed superparamagnetic properties at room temperature. The formation of ZnFe<sub>2</sub>O<sub>4</sub> was confirmed by XRD analysis. Moreover, due to the non-stoichiometric content of Fe:Zn during the synthesis, the characteristic diffraction peaks for hexagonal wurtzite structure of ZnO were noticed. The composite with a surface area of about 50 m<sup>2</sup>·g<sup>-1</sup>, particles size 50 nm and UV-Vis light absorption properties possessed saturation magnetisation of 24 emu·g<sup>-1</sup>, magnetic coercivity of 0.010 T and remanent magnetisation of 2.9 emu·g<sup>-1</sup>. Furthermore, the self-cleaning properties of ZnO/ZnFe<sub>2</sub>O<sub>4</sub>/SiO<sub>2</sub>-TiO<sub>2</sub> were confirmed. Paint modification with nanocomposites based on ZnFe<sub>2</sub>O<sub>4</sub> and TiO<sub>2</sub> resulted in the effective degradation of natural red dye. The paints containing ZnO/ZnFe<sub>2</sub>O<sub>4</sub>/SiO<sub>2</sub>-TiO<sub>2</sub> particles showed high antimicrobial activity under visible light conditions.

Currently, there are no compositions on the market for obtaining protective coatings in the form of paint, which simultaneously exhibits biocidal, magnetic and self-cleaning - photocatalytic properties. The synthesised and characterised trifunctional compositions with photocatalytic, magnetic and biocidal properties are a novelty in building industry products. The composite can be added at different stages of paint formulation, confirming the high efficiency in the elimination of pathogenic microorganisms, self-cleaning properties and the magnetic effect that can be applied to different surfaces. The proposed product – trifunctional paint, enriches the market offer in the broader building products industry. One of the interesting and promising directions of the practical application of obtained paints can be the ability for self-decontamination to finishing materials, for instance, for medical establishments and premises of public buildings, where mass public gatherings are observed.

#### Funding

This research was financially supported by the Polish National Science Centre, grant no. 2018/30/E/ST5/00845.

#### Declaration of competing interest

The authors declare that they have no known competing financial interests or personal relationships that could have appeared to influence the work reported in this paper.

## References

- [1] L. Morawska, W. Huang, WHO health guidelines for indoor air quality and national recommendations/standards, in: Y. Zhang, P.K. Hopke, C. Mandin (Eds.), *Handbook of Indoor Air Quality*, Springer, Singapore, 2022, pp. 1491–1510.
- [2] A. Cincinelli, T. Martellini, Indoor air quality and health, *Int. J. Environ. Res. Publ. Health* 14 (11) (2017) 1–5, <https://doi.org/10.3390/ijerph14111286>.
- [3] S. Sadrizadeh, R. Yao, F. Yuan, H. Awbi, W. Bahnfleth, Y. Bi, G. Cao, C. Croitoru, R. de Dear, F. Haghghat, P. Kumar, M. Malayeri, F. Nasiri, M. Ruud, P. Sadeghian, P. Wargocki, J. Xiong, W. Yu, B. Li, Indoor air quality and health in schools: a critical review for developing the roadmap for the future school environment, *J. Build. Eng.* 57 (2022) 1–23, <https://doi.org/10.1016/j.jobe.2022.104908>.
- [4] S. Vardoulakis, E. Giagloglou, S. Steinle, A. Davis, A. Sleeuwenhoek, KS. Galea K. Dixon, J.O. Crawford, Indoor exposure to selected air pollutants in the home environment: a systematic review, *Int. J. Environ. Res. Publ. Health* 17 (23) (2020) 1–24, <https://doi.org/10.3390/ijerph17238972>.
- [5] R.E. Dodson, E.A. Houseman, J. Levy, J. Spengler, J. Shine, Measured and modeled personal exposures to and risks from volatile organic compounds, *Environ. Sci. Technol.* 41 (2007) 8498–8505, <https://doi.org/10.1021/es071127s>.
- [6] K. Vaali, M. Tuomela, M. Mannerström, T. Heinonen, T. Tuuminen, Toxic indoor air is a potential risk of causing immuno suppression and morbidity—a pilot study, *J. Fungi* 8 (2) (2022) 1–18, <https://doi.org/10.3390/jof8020104>.
- [7] M. Wang, L. Li, C. Hou, X. Guo, H. Fu, Building and health: mapping the knowledge development of Sick Building Syndrome, *Buildings* 12 (3) (2022) 1–17, <https://doi.org/10.3390/buildings12030287>.
- [8] O. Stoner, J. Lewis, I.L. Martínez, S. Gumy, T. Economou, H. Adair-Rohani, Household cooking fuel estimates at global and country level for 1990 to 2030, *Nat. Commun.* 12 (1) (2021) 1–8, <https://doi.org/10.1038/s41467-021-26036-x>.
- [9] B. Gutarowska, Moulds in biodeterioration of technical materials, *Folia Biol. Oecol.* 10 (2014) 27–39, <https://doi.org/10.2478/fobio-2014-0012>.
- [10] E. Gámez-Espínosa, N. Bellotti, C. Deyá, M. Cabello, Mycological studies as a tool to improve the control of building materials biodeterioration, *J. Build. Eng.* 32 (2020) 1–11, <https://doi.org/10.1016/j.jobe.2020.101738>.
- [11] F. Reiβ, N. Kiefer, M. Noll, S. Kalkhof, Application, release, ecotoxicological assessment of biocide in building materials and its soil microbial response, *Ecotoxicol. Environ. Saf.* 224 (2021) 1–14, <https://doi.org/10.1016/j.ecoenv.2021.112707>.
- [12] N. Jones, B. Ray, K.T. Ranjit, A.C. Manna, Antibacterial activity of ZnO nanoparticle suspensions on a broad spectrum of microorganisms, *FEMS Microbiol. Lett.* 279 (1) (2008) 71–76, <https://doi.org/10.1111/j.1574-6968.2007.01012.x>.
- [13] K.H. Leong, J.Q. Lee, A.A. Kumar, L.C. Sim, S. Pichiah, Facile technique for the immobilisation of oil on glass substrates for applications the photocatalytic self-cleaning of indoor air pollutants, *Malaysian J. Anal. Sci.* 23 (1) (2019) 90–99, <https://doi.org/10.1757/mjas-2019-2301-11>.
- [14] D. Enea, M. Bellardita, P. Scalisi, G. Alaimo, L. Palmisano, Effects of weathering on the performance of self-cleaning photocatalytic paints, *Cem. Concr. Compos.* 96 (2019) 77–86, <https://doi.org/10.1016/j.cemconcomp.2018.11.013>.
- [15] W. Shen, C. Zhang, Q. Li, W. Zhang, L. Cao, J. Ye, Preparation of titanium dioxide nano particle modified photocatalytic self-cleaning concrete, *J. Clean. Prod.* 87 (2015) 762–765, <https://doi.org/10.1016/j.jclepro.2014.10.014>.
- [16] M. Nyden, C. Fant, Method and Use of Nanoparticles to Bind Biocides in Paints (U.S. Patent No. US 7,311,766 B2, 2007).
- [17] C. Byrne, G. Subramanian, S.C. Pillai, Recent advances in photocatalysis for environmental applications, *J. Environ. Chem. Eng.* 6 (3) (2018) 3531–3555, <https://doi.org/10.1016/j.jece.2017.07.080>.
- [18] J.P. Kaiser, S. Zuin, P. Wick, Is nanotechnology revolutionising the paint and lacquer industry? A critical opinion, *Sci. Total Environ.* 442 (2013) 282–289, <https://doi.org/10.1016/j.scitotenv.2012.10.009>.
- [19] R. Thiruvenkatachari, S. Vigneswaran, I.S. Moon, I.S. A review on UV/TiO<sub>2</sub> photocatalytic oxidation process (Journal Review), *Kor. J. Chem. Eng.* 25 (2008) 64–72, <https://doi.org/10.1007/s11814-008-0011-8>.
- [20] R.A.R. Monteiro, F.V.S. Lopes, A.M.T. Silva, J. Ángelo, G.V. Silva, A.M. Mendes, R. A.R. Boaventura, V.J.P. Vilar, Are TiO<sub>2</sub>-based exterior paints useful catalysts for gas-phase photooxidation processes? A case study on n-decane abatement for air detoxification, *Appl. Catal. B Environ.* 147 (2014) 988–999, <https://doi.org/10.1016/j.apcatb.2013.09.031>.
- [21] F. Salvadóres, M. Reli, O.M. Alfano, K. Kocić, M.L.M. Ballari, Efficiencies evaluation of photocatalytic paints under indoor and outdoor air conditions, *Front. Chem.* 23 (2020) 1–13, <https://doi.org/10.3389/fchem.2020.551710>.
- [22] M. Janus, E. Kusiak-Nejman, P. Rokicka-Konieczna, A. Markowska-Szczupak, K. Zajac, A.W. Morawski, Bacterial inactivation on concrete plates loaded with modified TiO<sub>2</sub> Photocatalysts under visible light irradiation, *Molecules* 24 (17) (2019) 1–14, <https://doi.org/10.3390/molecules24173026>.
- [23] C. George, A. Beeldens, F. Barmpas, J.-F. Doussin, G. Manganelli, H. Herrmann, J. Kleffmann, A. Mellouki, Impact of photocatalytic remediation of pollutants on urban air quality, *Front. Environ. Sci. Eng.* 10 (5) (2016) 1–11, <https://doi.org/10.1007/s11783-016-0834-1>.
- [24] H. Dong, G. Zeng, L. Tang, C. Fan, C. Zhang, X. He, Y. He, An overview on limitations of TiO<sub>2</sub>-based particles for photocatalytic degradation of organic pollutants and the corresponding countermeasures, *Water Res.* 1 (79) (2015) 128–146, <https://doi.org/10.1016/j.watres.2015.04.038>.
- [25] Q. Jiang, C. Dingg, Y. Liu, A type of novel glass for indoor air cleaning under visible-light, *Build. Environ.* 137 (2018) 226–234, <https://doi.org/10.1016/j.buildenv.2018.04.013>.
- [26] A. Zielińska-Jurek, I. Malinowska, Trifunctional Compound with Photocatalytic, Magnetic and Biocidal Properties Modified with Composite Particles with Non-stoichiometric Fe:Zn Content for the Production of Protective Coatings, Method of Producing This Trifunctional Composition with Photocatalytic, Magnetic and Biocidal Properties, 2021.
- [27] H.B. Kamal, M.S. Antonious, M.A. Mekewi, A.M. Badawi, A.M. Gabr, K. El Baghdady, Nano ZnO/amine composites antimicrobial additives to acrylic paints, *Egypt. J. Petrol.* 24 (4) (2015) 397–404, <https://doi.org/10.1016/j.ejpe.2015.10.005>.
- [28] N. Talebian, S. Matin Amininezhad, M. Doudi, Controllable synthesis of ZnO nanoparticles and their morphology-dependent antibacterial and optical properties, *J. Photochem. Photobiol. B Biol.* 120 (2013) 66–73, <https://doi.org/10.1016/j.jphotobiol.2013.01.004>.
- [29] I. Malinowska, P. Madajski, A. Ostrowski, C. Gómez-Polo, L. Carvera, W. Bednarski, P. Kubica, A. Zielińska-Jurek, Synthesis, characterisation, and application of 2D/2D TiO<sub>2</sub>-GO-ZnFe<sub>2</sub>O<sub>4</sub> obtained by the fluorine-free lyophilisation method for solar light-driven photocatalytic degradation of ibuprofen, *Environ. Sci. Pollut. Res.* 30 (2023) 35929–35944, <https://doi.org/10.1007/s11365-022-24587-0>.
- [30] ASTM E2149-01, Standard Test Method for Determining the Antimicrobial Activity of Immobilised Antimicrobial Agents under Dynamic Contact Conditions, ASTM International, West Conshohocken, PA, 2001.
- [31] E.M. Mohammed, K.A. Malini, P. Kurian, M.R. Anantharaman, Modification of dielectric and mechanical properties of rubber ferrite composites containing manganese zinc ferrite, *Mater. Res. Bull.* 37 (2002) 753–768, [https://doi.org/10.1016/S0025-5408\(02\)00690-6](https://doi.org/10.1016/S0025-5408(02)00690-6).
- [32] Y. Xu, Y. Liang, L. Jiang, H. Wu, H. Zhao, D. Xue, Preparation and magnetic properties of ZnFe<sub>2</sub>O<sub>4</sub> nanotubes, *J. Nanomat.* (2011) 1–5, <https://doi.org/10.1155/2011/525967>.
- [33] M. Cobos, P. de la Presa, I. Puenté-Orench, I. Llorente, I. Morales, A. García-Escorial, A. Hernando, J.A. Jiménez, Coexistence of antiferro- and ferrimagnetism in the spinel ZnFe<sub>2</sub>O<sub>4</sub> with an inversion degree 8 lower than 0.3, *Ceram. Int.* 48 (9) (2022) 12048–12055, <https://doi.org/10.1016/j.ceramint.2022.01.063>.
- [34] G.M. Alzoubi, The effect of Co-doping on the structural and magnetic properties of single-domain crystalline copper ferrite nanoparticles, *Magnetochemistry* 8 (164) (2022), <https://doi.org/10.3390/magnetochemistry8120164>.
- [35] D.S. Mathew, R.-S. Juang, An overview of the structure and magnetism of spinel ferrite nanoparticles and their synthesis in microemulsions, *J. Chem. Eng.* 129 (2007) 51–65, <https://doi.org/10.1016/j.cj.2006.11.001>.
- [36] O.M. Lemine, M. Bououdina, M. Sajieddine, A.M. Al-Saie, M. Shafi, A. Khatab, M. Al-hilali, M. Henini, Synthesis, structural, magnetic and optical properties of nanocrystalline ZnFe<sub>2</sub>O<sub>4</sub>, *Phys. B. Condens. Matter.* 406 (2011) 1989–1994, <https://doi.org/10.1016/j.physb.2011.02.072>.
- [37] D. Gao, Z. Shi, Y. Xu, J. Zhang, G. Yang, J. Zhang, X. Wang, D. Xue, Synthesis, magnetic anisotropy and optical properties of preferred oriented zinc ferrite nanowire arrays, *Nanoscale Res. Lett.* 5 (2010) 1289–1294, <https://doi.org/10.1007/s11671-010-9640-z>.
- [38] J. Zhou, B. Wei, M. Wang, Z. Yao, P. Chen, C. Zhou, Z. Li, Three dimensional flower like ZnFe<sub>2</sub>O<sub>4</sub> ferrite loaded graphene: enhancing microwave absorption performance by constructing microcircuits, *J. Alloys Compd.* 889 (2021), <https://doi.org/10.1016/j.jallcom.2021.161734>.
- [39] S. Latif, A. Liqat, M. Imran, A. Javaid, N. Hussain, T. Jesionowski, M. Bilal, Development of zinc ferrite nanoparticles with enhanced photocatalytic performance for remediation of environmentally toxic pharmaceutical waste diclofenac sodium from wastewater, *Environ. Res.* 216 (2) (2023), <https://doi.org/10.1016/j.envrres.2022.114500>.
- [40] T. Zuccheri, M. Colonna, I. Stefanini, C. Santini, D.D. Gioia, Bactericidal activity of aqueous acrylic paint dispersion for wooden substrates based on TiO<sub>2</sub> nanoparticles activated by fluorescent light, *Materials* 6 (2013) 3270–3283, <https://doi.org/10.3390/ma0603270>.
- [41] N. Mediouni, F. Dappozze, L. Khrouz, S. Parola, A.B.H. Amara, H.B. Rhaiem, N. Jaffrezic-Renault, P. Namour, C. Guillard, Correlation between photocatalytic properties of ZnO and generation of hydrogen peroxide-impact of composite ZnO/TiO<sub>2</sub> rutile and anatase, *Catalysts* 12 (11) (2022), <https://doi.org/10.3390/catal12111445>.
- [42] A. Keziban, G. Nuray, Ö. Mahmut, Recent advances in photocatalytic coatings for antimicrobial surfaces, *Curr. Opin. Chem. Eng.* 36 (2022), <https://doi.org/10.1016/j.coche.2021.100777>.
- [43] Y. Yan, C. Soraru, V. Keller, L. Ploux, Antibacterial and biofilm-preventive photocatalytic activity and mechanisms on P/F-Modified TiO<sub>2</sub> coatings, *ACS Appl. Bio Mater.* 3 (2020) 5687–5698, <https://doi.org/10.1021/acsabm.0c00467>.
- [44] L. Hochmannova, J. Vytrasova, Photocatalytic and antimicrobial effects of interior paints, *Prog. Org. Coating* 67 (2010) 1–5, <https://doi.org/10.1016/j.porgcoat.2009.09.016>.
- [45] C.R. Mendes, G. Dilarri, C.F. Forsan, Antibacterial action and target mechanisms of zinc oxide nanoparticles against bacterial pathogens, *Sci. Rep.* 12 (2022), <https://doi.org/10.1038/s41598-022-06657-y>.
- [46] S. Cheeseman, A.J. Christofferson, R. Kuriuki, D. Cozzolino, T. Daeneke, R. j. Crawford, V.K. Truong, J. Chapman, A. Elbourne, Antimicrobial metal nanomaterials: from passive to stimuli-activated applications, *Adv. Sci.* 7 (2020) 1–35, <https://doi.org/10.1002/advs.201902913>.
- [47] S.K. Kirthika, G. Goel, A. Matthews, S. Goel, Review of the untapped potentials of antimicrobial materials in the construction sector, *Prog. Mater. Sci.* 133 (2023), <https://doi.org/10.1016/j.pmatsci.2022.101065>.
- [48] E.O. Ogunsola, R. Muthuraj, E. Ojogbo, O. Valerio, T.H. Mekonnen, Engineered nanomaterials for antimicrobial applications: a review, *Appl. Mater. Today* 18 (2020), <https://doi.org/10.1016/j.apmt.2019.10047>.

- [49] G.E. Yılmaz, I. Göktürk, M. Ovezova, F. Yılmaz, S. Kılıç, A. Denizli, Antimicrobial nanomaterials: a review, *Hygie* 3 (2023) 269–290, <https://doi.org/10.3390/hygiene3030020>.
- [50] B.E. Sadog, M. Britel, A. Bouajaj, R. Maalej, A. Touhami, M. Abid, H. Douiri, F. Touhami, A. Maurady, A review on antibacterial activity of nanoparticles, *Biointerface Res. Appl. Chem.* 13 (5) (2023) 1–19, <https://doi.org/10.33263/BRIAC135.405>.
- [51] T. Wei, Q. Yu, H. Chen, Responsive and synergistic antibacterial coatings: fighting against bacteria in a smart and effective way, *Adv. Healthcare Mater.* 8 (2019) 1–24, <https://doi.org/10.1002/adhm.201801381>.
- [52] S. Mandal, S. Natarajan, A. Tamilselvi, S. Mayadevi, Photocatalytic and antimicrobial activities of zinc ferrite nanoparticles synthesized through soft chemical route: a magnetically recyclable catalyst for water/wastewater treatment, *J. Environ. Chem. Eng.* 4 (3) (2016) 2706–2712, <https://doi.org/10.1016/j.jece.2016.05.020>.
- [53] A. Garcia-Cruz, G. Rincon-Enriquez, A. Ilyina, C. Guizar-Gonzalez, Al Mtz-Enriquez, L. Diaz-Jimenez, E.E. Quinones-Aguilar, J. Enriquez-Vara, R. Ramos-Gonzalez, C.N. Aguilar-Gonzalez, Bactericidal in-vitro effect of zinc ferrite nanoparticles and the orange wax extracts on three phytopathogen microorganisms, *IEEE Trans. NanoBioscience* 18 (4) (2018) 528–534, <https://doi.org/10.1109/TNB.2019.2937840>.



## Improved degradation of etodolac in the presence of core-shell ZnFe<sub>2</sub>O<sub>4</sub>/SiO<sub>2</sub>/TiO<sub>2</sub> magnetic photocatalyst

Eryka Mrotek<sup>a</sup>, Szymon Dudziak<sup>a</sup>, Izabela Malinowska<sup>a</sup>, Daniel Pelczarski<sup>c</sup>,  
Zuzanna Ryżyńska<sup>b</sup>, Anna Zielińska-Jurek<sup>a,\*</sup>

<sup>a</sup> Department of Process Engineering and Chemical Technology, Gdańsk University of Technology, Narutowicza 11/12, 80-233 Gdańsk, Poland

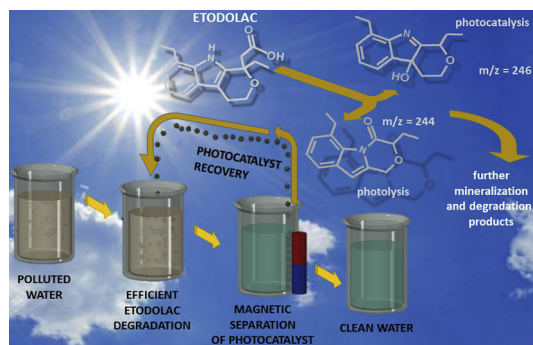
<sup>b</sup> Department of Solid State Physics, Gdańsk University of Technology, Poland

<sup>c</sup> Department of Physics of Electronic Phenomena, Gdańsk University of Technology, Poland

### HIGHLIGHTS

- Degradation of etodolac in the presence of ZnFe<sub>2</sub>O<sub>4</sub>/SiO<sub>2</sub>/TiO<sub>2</sub> was significantly improved under UV-Vis
- After 20 min of irradiation in the presence of ZnFe<sub>2</sub>O<sub>4</sub>/SiO<sub>2</sub>/TiO<sub>2</sub> almost 100% of etodolac was degraded
- The reactive oxygen species •O<sub>2</sub> and h+ plays an important role in the photodegradation of etodolac
- The obtained p-type TiO<sub>2</sub>-based photocatalyst coupled with zinc ferrite in a core-shell structure improves the separation and recovery of nanosized TiO<sub>2</sub>
- The Mott-Schottky analysis confirmed that the magnetic photocatalyst can efficiently oxidize H<sub>2</sub>O to produce superoxide radicals

### GRAPHICAL ABSTRACT



### ARTICLE INFO

#### Article history:

Received 19 January 2020

Received in revised form 6 March 2020

Accepted 22 March 2020

Available online 28 March 2020

Editor: Yifeng Zhang

#### Keywords:

Photocatalytic degradation

Etodolac

Indoles

Magnetic photocatalyst

Pharmaceutical removal

### ABSTRACT

In the present study, susceptibility to photocatalytic degradation of etodolac, 1,8-diethyl-1,3,4,9-tetrahydro pyran - [3,4-b] indole-1-acetic acid, which is a non-steroidal anti-inflammatory drug frequently detected in an aqueous environment, was for the first time investigated. The obtained p-type TiO<sub>2</sub>-based photocatalyst coupled with zinc ferrite nanoparticles in a core-shell structure improves the separation and recovery of nanosized TiO<sub>2</sub> photocatalyst. The characterization of ZnFe<sub>2</sub>O<sub>4</sub>/SiO<sub>2</sub>/TiO<sub>2</sub>, including XRD, XPS, TEM, BET, DR/UV-Vis, impedance spectroscopy and photocatalytic analysis, showed that magnetic photocatalyst containing anatase phase revealed markedly improved etodolac decomposition and mineralization measured as TOC removal compared to photolysis reaction. The effect of irradiation and pH range on photocatalytic decomposition of etodolac was studied. The most efficient degradation of etodolac was observed under simulated solar light for a core-shell ZnFe<sub>2</sub>O<sub>4</sub>/SiO<sub>2</sub>/TiO<sub>2</sub> magnetic photocatalyst at pH above 4 (pKa = 4.7) and below 7. The irradiation of etodolac solution in a broader light range revealed a synergistic effect on its photodegradation performance. After only 20 min of degradation, about 100% of etodolac was degraded. Based on the photocatalytic analysis in the presence of scavengers and HPLC analysis, the transformation intermediates and possible photodegradation pathways of etodolac were studied. It was found that •O<sub>2</sub> attack on C2-C3 bond inside pyrrole ring results mostly in the hydroxylation

\* Corresponding author.

E-mail address: [annjurek@pg.edu.pl](mailto:annjurek@pg.edu.pl) (A. Zielińska-Jurek).



of the molecule, which next undergoes -CH<sub>2</sub>COOH detachment to give 1,9-diethyl-3,4-dihydro-pyrano[3,4-*b*]indol-4a-ol. The obtained compound should further undergo subsequent hydropyan and pyrrole ring breaking to give a family of benzene derivatives.

© 2018 Published by Elsevier B.V.

## 1. Introduction

Etodolac, 1,8-diethyl-1,3,4,9-tetrahydro pyran-[3,4-*b*] indole-1-acetic acid is used worldwide as an anti-inflammatory, analgesic and antipyretic drug to treat rheumatoid arthritis, chronic soft tissue inflammation (vessels, tendons), nerve inflammation and osteoporosis (Gadade et al., 2017; Brocks and Jamali, 1994). This pharmaceutical agent is metabolized in the liver. Although only 1% of etodolac is excreted unchanged from the human body by the kidneys in the urine and 16% in the feces, etodolac is frequently detected in the aqueous environment, e.g., rivers, lakes or surface waters (Hoshina et al., 2011; Temussi et al., 2011; Saxena et al., 2016). In 2011, etodolac (ETD) was detected in river water samples in Hyogo in Japan at a concentration of 0.3 ng·dm<sup>-3</sup> (Hoshina et al., 2011). In 2019, Guzel et al. reported its presence in the concentration of 47.35 ng·dm<sup>-3</sup> in the Ceyhan River in south Turkey (Guzela et al., 2019). ETD has a negative effect on aquatic organisms such as alga, daphnid, and fish. Causing disorders in normal development or impairing already formed living organisms (Watanabe et al., 2016). Passananti et al. investigated the parent compound ETD and its derivatives for toxicity to aquatic organisms such as rotifers, algae, and crustaceans (Passananti et al., 2015). It was reported that the concentration of 25 mg·dm<sup>-3</sup> for crustaceans and 10 mg·dm<sup>-3</sup> in long-term exposure to algae does not lead to mortality but disturbs and even inhibits the reproduction of the aquatic individuals. The adequate concentration of etodolac in living organisms depends on the level of education of the living organism. However, what is particularly important, etodolac and its' derivatives, are susceptible to bioaccumulation (Howard and Muir, 2011).

The bicyclic indole system present in the structure of etodolac is found in many biological molecules (Passananti et al., 2015). Therefore, etodolac is resistant to biological degradation but undergoes photolysis. Saxena et al. studied the degradation of etodolac in acid and base hydrolysis, hydrogen peroxide oxidation, thermal degradation, and photolysis (Saxena et al., 2016) and observed complete degradation after 8 h in acidic conditions (5 M HCl) and a temperature of 60 °C. Passananti et al. focused on the photochemical properties of etodolac under UV-B, UV-A, and direct exposure to sunlight. Direct photolysis involves the transformation of xenobiotic molecules resulting from the direct absorption of radiation. The efficient degradation was observed by photolysis under UV-B irradiation, while negligible degradation of etodolac occurred using UV-A and solar radiation (Passananti et al., 2015). Moreover, the photochemical study proved the oxygen involvement in etodolac transformation mainly by oxygen attack to the C2-C3 bond of the pyrrolic ring (Passananti et al., 2015). In this regard, advanced oxidation processes (AOPs), where nonselective free radical species chemically oxidize pollutants, occurred to be a promising method for degradation of etodolac in the aqueous phase. Free radical species produced in-situ in AOP processes, e.g., hydroxyl radical (HO•), superoxide anion radical (•O<sub>2</sub><sup>-</sup>), hydroperoxyl radical (HO<sub>2</sub>•), alkoxyl radical (RO•) or single oxygen (<sup>1</sup>O<sub>2</sub>) can initiate AOPs to degrade active pharmaceutical ingredients (APIs) to simple and non-toxic molecules. Among the advanced oxidation processes, heterogeneous photocatalytic oxidation has resulted in the efficient degradation of different pharmaceuticals and their removal from water and wastewater (Kanakaraju et al., 2018). As far as we know, the photocatalytic decomposition of etodolac has not been studied yet.

Titanium(IV) oxide is the most commonly used photocatalyst for environmental applications due to its non-toxic nature, chemical stability, insolubility in the medium, low cost, and high photocatalytic activity (Ohtani, 2010). However, in a technological process, there are several problems with cyclic utilization of the powdered nano-TiO<sub>2</sub> particles suspended in the treated water. Owing to nanometric particle size, the TiO<sub>2</sub> could be recovered from the treated wastewater mostly by ultrafiltration (Lee et al., 2001). Another possibility is the immobilization of semiconductors' particles on a solid substrate, which can result in a significant decrease in a specific surface area and thus decrease the photocatalytic activity. Moreover, the TiO<sub>2</sub> layer is often unstable and undergoes abrasion during the photodegradation reaction (Folli et al., 2010).

Recently, magnetic photocatalysts, where semiconductor nanoparticles, usually TiO<sub>2</sub> and ZnO, are deposited on the surface of ferrite (Fe<sub>3</sub>O<sub>4</sub>, Fe<sub>2</sub>O<sub>4</sub>, CoFe<sub>2</sub>O<sub>4</sub>, ZnFe<sub>2</sub>O<sub>4</sub>, BaFe<sub>12</sub>O<sub>19</sub>) allowing easy separation of a photocatalyst from the system after the purification process, are considered as the most perspective (Zielinska-Jurek et al., 2017a; Mishra et al., 2019). Mostly, the described in literature activity of magnetic nanocomposites' is focused on the organic dyes' degradation (Meng et al., 2018). Previously, Zielinska-Jurek et al. studied the structural, photocatalytic, and magnetic properties of Fe<sub>3</sub>O<sub>4</sub>@SiO<sub>2</sub>/TiO<sub>2</sub> nanocomposites in organic compounds (pyridine, phenol, 4-heptanone) degradation as well as their mineralization in the flow back fluid after hydraulic fracturing process (Zielinska-Jurek et al., 2017b). Abdel-Wahab et al. (Abdel-Wahab et al., 2017) focused on the degradation of paracetamol over magnetic flower-like TiO<sub>2</sub>/Fe<sub>2</sub>O<sub>3</sub> core-shell nanostructures. Its complete mineralization was observed after 90 min of irradiation.

Similarly, the Fe<sub>3</sub>O<sub>4</sub>/TiO<sub>2</sub> core structure - Ni/Co doping - coating nanocomposites used in Amlodipine drug photodegradation allowed for pharmaceutical compound decomposition after 90 min of exposure in the UV-Vis range (Teimouri et al., 2019). However, to our knowledge, data on the photocatalytic degradation of etodolac using TiO<sub>2</sub>-based magnetic photocatalyst have not been reported in the literature.

In this regard, for the first time, the present work reports about photocatalytic degradation of etodolac in the presence of ZnFe<sub>2</sub>O<sub>4</sub>/SiO<sub>2</sub>/TiO<sub>2</sub> magnetic photocatalyst. ZnFe<sub>2</sub>O<sub>4</sub>-based hybrid photocatalysts possess magnetic properties that allow effective separation in the external magnetic field after degradation reaction (Lee et al., 2001). Zinc ferrite core was coated with silica layer to (i) increase the surface area of the composite material allowing better adsorption of degraded pollutants and (ii) prevent photodissolution of iron as well as phase transformation of ZnFe<sub>2</sub>O<sub>4</sub> during the photocatalytic reaction. The external photocatalytic layer based on TiO<sub>2</sub> is directly responsible for the oxidation of etodolac.

Etodolac direct photolytic decomposition and its photocatalytic degradation in the presence of magnetic photocatalyst under UV and Vis light at different pH values were studied. The reaction kinetics were interpreted with the molecular structures of the chemicals and the characteristics of the UV-Vis wavelengths. The reusability of ZnFe<sub>2</sub>O<sub>4</sub>/SiO<sub>2</sub>/TiO<sub>2</sub> magnetic photocatalyst was studied in the six subsequent cycles of etodolac degradation. Based on the obtained results, a possible mechanism for the photocatalytic decomposition of etodolac was proposed.

## 2. Experimental

### 2.1. Preparation of $ZnFe_2O_4/SiO_2/TiO_2$ magnetic photocatalysts

Titanium butoxide (pure p.a.) was purchased from Aldrich and used as a titanium(IV) oxide source. Zinc chloride, iron sulfate heptahydrate, sodium hydroxide were purchased from Aldrich. Firstly, to obtain zinc ferrite particles,  $FeSO_4 \cdot 7H_2O$  and  $ZnCl_2$  were dissolved in stoichiometric 2:1 (Fe: Zn) molar ratio in distilled water under stirring (500 rpm) for 30 min. Afterward, the metals were precipitated from the homogenous solution by adding 5 M NaOH at room temperature until a pH was 12. The reaction mixture was hydrothermally treated in an autoclave at 200 °C for 5 h. Subsequently, the solid product of the reaction was magnetically separated and purified with deionized water several times. The final product was dried at 100 °C to dry mass.

Furthermore, the magnetic particles were re-dispersed in ethanol, and tetraethyl orthosilicate (TEOS) was added to the suspension to obtain a silica layer. Afterward, ammonia water was added. The molar ratio of TEOS to  $ZnFe_2O_4$  and  $NH_4OH$  to TEOS was equal to 8:1 and 16:1, respectively. The  $ZnFe_2O_4/SiO_2$  particles were magnetically separated, washed with ethanol and deionized water, and dried at 60 °C to dry mass.

Following that,  $ZnFe_2O_4/SiO_2$  particles were dispersed in isopropanol ethanolic solution, and titanium(IV) butoxide (TBT) was added. The rate of TBT addition was kept at  $0.5\text{ cm}^3 \cdot \text{min}^{-1}$ . Finally, the obtained gel was treated in a Teflon-lined autoclave at 200 °C for 24 h, resulting in the preparation of the  $ZnFe_2O_4/SiO_2/TiO_2$ \_I photocatalyst. The obtained composite material was calcined at 400 °C (sample  $ZnFe_2O_4/SiO_2/TiO_2$ -400) as well as at 650 °C for 1 h (sample  $ZnFe_2O_4/SiO_2/TiO_2$ -650\_I).

Additional samples of magnetic photocatalysts  $ZnFe_2O_4/SiO_2/TiO_2$ \_II and  $ZnFe_2O_4/SiO_2/TiO_2$ -650\_II were prepared by adding cationic surfactant (CTAB) into the solution during the preparation of magnetic core - photocatalytic layer composite at alkaline conditions (pH of 8). In this regard,  $ZnFe_2O_4/SiO_2$  particles were dispersed in isopropanol, and CTAB ethanolic solution added dropwise into a mixture, with the molar ratio of  $TiO_2$  to CTAB equaled to 1:1. Then, titanium(IV) butoxide (TBT) was added with a rate kept at  $0.5\text{ cm}^3 \cdot \text{min}^{-1}$ . Finally, the suspension was treated in a Teflon-lined autoclave at 200 °C for 24 h resulting in the preparation of the core-interlayer-shell  $ZnFe_2O_4/SiO_2/TiO_2$  photocatalysts. The obtained product was separated and purified with deionized water several times to remove the surfactant before drying at 60 °C (sample  $ZnFe_2O_4/SiO_2/TiO_2$ \_II) and calcination at 650 °C for 1 h (sample  $ZnFe_2O_4/SiO_2/TiO_2$ -650\_II).

### 2.2. Characterization of $ZnFe_2O_4/SiO_2/TiO_2$ magnetic photocatalysts

X-ray powder diffraction (XRD) analysis was performed using Rigaku MiniFlex 600 X-ray diffractometer (Rigaku Corporation, Tokyo, Japan). The patterns were obtained in step-scanning mode ( $\Delta 2\theta = 0.01^\circ$ ) in the range from 20° to 80° 2θ. The crystalline and amorphous phase content was analyzed using an internal standard (NiO, Aldrich, Germany).

The magnetic properties of coated ferrite nanocomposites were investigated using the Physical Properties Measurements System (Quantum Design, San Diego, CA, USA) at the temperature of 293 K and in the range of 0–3 T. The diffuse reflectance (DR) spectra were analyzed using a Thermo Scientific Evolution 220 spectrophotometer (Waltham, MA, USA) with an integrating. Nitrogen adsorption-desorption isotherms were analyzed using the Micromeritics Gemini V instrument. Surface charges (zeta potential) and particle size were measured using Nano-ZS Zetasizer dynamic light scattering detector (Malvern Instruments, UK) equipped with a 4.0 mW internal laser. The fluorescence spectra of the  $ZnFe_2O_4/SiO_2/TiO_2$  photocatalysts were measured using a fluorescence spectrophotometer (Perkin Elmer LS55). The morphology of the prepared photocatalysts was determined by high-resolution

transmission electron microscopic analysis (HR-TEM) using an electron microscope (TEM, FEI Europe, Tencai F20 X-Twin. For TEM analysis,  $ZnFe_2O_4/SiO_2/TiO_2$  particles were dispersed in ethanol and placed in an ultrasound bath for 1 min. Subsequently, a few drops of suspension were deposited on Lacey Carbon microgrid. XPS spectrophotometer (Escalab 250Xi, Thermo Fisher Scientific) was used to determine the surface composition of the photocatalytic material. Electrochemical impedance spectroscopy (EIS) was studied using the potentiostat-galvanostat (AutoLab PGStat302N system, Utrecht, The Netherlands) under GPES/FRA software control. Electrochemical impedance spectroscopy (EIS) analysis was performed in a three-electrode cell in 0.2  $K_2SO_4$  solution using the potentiostat-galvanostat (AutoLab PGStat302N system, Utrecht, The Netherlands) under GPS/FRA software control. As a reference electrode Ag/AgCl in 0.1 M KCl was applied, while platinum mesh was used as a counter electrode. The spectra were run at the frequency range from 20 kHz to 0,1 Hz with a 50 mV amplitude of the alternating current.

### 2.3. Photocatalytic degradation of etodolac

The photocatalytic activity was studied as examining the rate of etodolac degradation. In this regard, 0.05 g of the photocatalysts' particles was added to a quartz reactor containing 25  $\text{cm}^3$  of etodolac (ETD) solution with an initial concentration of  $15\text{ mg} \cdot \text{dm}^{-3}$ . The suspension was stirred and aerated. During the photocatalytic process, the reactor was irradiated using a 300 W Xenon lamp (Photonics Hamamatsu, Japan), as ultraviolet-visible (UV-Vis) light source. To assess the degradation in visible light, a GG filter that transmitted light wavelength  $>400\text{ nm}$  was used. During the photocatalytic process, samples of 1  $\text{cm}^3$  of the suspension were collected at regular time intervals. The pharmaceuticals' degradation rate was measured as a pharmaceutical concentration decrease using HPLC chromatograph Shimadzu LC-6A (Kyoto, Japan) combined with (SPD-M20A) photodiode array detector. During the measurements, a mobile phase consisting of 1:1 (v/v) acetonitrile and 0.1 M  $KH_2PO_4$  solution mixture was used at  $1\text{ cm}^3 \cdot \text{min}^{-1}$  flow, together with Phenomenex Gemini 5 μm C18; 150 × 4,6 mm column working at 45 °C. Etodolac identification and further quantification were based on a standard compound and performed external calibration for a characteristic 273 nm signal.

## 3. Results

### 3.1. Characterization of $ZnFe_2O_4/SiO_2/TiO_2$ photocatalysts

The physicochemical characteristics of the magnetic photocatalysts e.g., crystallite sizes, indirect band gap values, BET surface areas are given in Table 1.

The composition of the crystalline phase was examined by XRD analysis for both as-obtained ferrite and its further modifications, and the results are shown in Fig. 1. Formation of pure  $ZnFe_2O_4$  was confirmed by the presence of the signals at 2θ of 18.16°; 29.8°; 35.2°; 42.8°; 53.1°; 56.5° and 62.1°, which corresponds to JCPDS card No. 82-1042. The broad reflections indicated the formation of fine ferrite crystallites with a size of about 10 nm (see in Table 1). The deposition of both  $SiO_2$  and  $TiO_2$  layers resulted in a visible weakening of  $ZnFe_2O_4$  signals. However, most of the composite material remained amorphous (~80%) before calcination.

Calcination of  $ZnFe_2O_4/SiO_2/TiO_2$ \_I sample at 400 °C resulted in both the appearance of more intense  $TiO_2$  signals and crystallites growth to approximately 11.5 nm. The reflections at 2θ of 25.3°; 36.9°; 37.7°; 48.0°; 53.9°; 62.7° corresponded to anatase crystal planes (101), (103), (004), (200), (105), (204), respectively (JCPDS card No. 89-4203). The sample  $ZnFe_2O_4/SiO_2/TiO_2$ -400 composed of anatase (39%) and amorphous phase of  $TiO_2$  and  $SiO_2$  (48.5%), without rutile. The formation of the rutile phase occurs above 600 °C (Mansour, 2019; Ohtani et al., 1997). In this regard, to enhance charge carrier separation, the

**Table 1**

Characteristics of the obtained ferrite particles and magnetic composite materials.

Sample label	TiO <sub>2</sub> Source	Preparation condition		Crystallite size [nm]		Phase content [%]				BET Surface Area [m <sup>2</sup> /g]	V <sub>por</sub> [cm <sup>2</sup> /g]	E <sub>g</sub> [eV]
		Surfactant	Calcination temperature [°C]	Anatase	Zinc ferrite	Anatase	Rutile	Zinc ferrite	Amorphous phase			
ZnFe <sub>2</sub> O <sub>4</sub>	–	–	–	–	10	–	–	58.5	41.5	25	0.012	1.68
ZnFe <sub>2</sub> O <sub>4</sub> /SiO <sub>2</sub>	–	–	–	–	10	–	–	34	66	62	0.030	1.88
ZnFe <sub>2</sub> O <sub>4</sub> /SiO <sub>2</sub> /TiO <sub>2</sub> _I	TBT	–	–	2	10	5	–	15	80	187	0.092	3.33
ZnFe <sub>2</sub> O <sub>4</sub> /SiO <sub>2</sub> /TiO <sub>2</sub> _II	TBT	CTAB	–	2	10.5	5	–	15	80	106	0.051	2.98
ZnFe <sub>2</sub> O <sub>4</sub> /SiO <sub>2</sub> /TiO <sub>2</sub> _400	TBT	–	400	11.5	11	39	–	12.5	48.5	75	0.037	3.13
ZnFe <sub>2</sub> O <sub>4</sub> /SiO <sub>2</sub> /TiO <sub>2</sub> _650_I	TBT	–	650	20	12	46	3	19	32	50	0.025	3.18
ZnFe <sub>2</sub> O <sub>4</sub> /SiO <sub>2</sub> /TiO <sub>2</sub> _650_II	TBT	CTAB	650	31.5	12	47	4.5	8.5	40	18	0.009	3.25

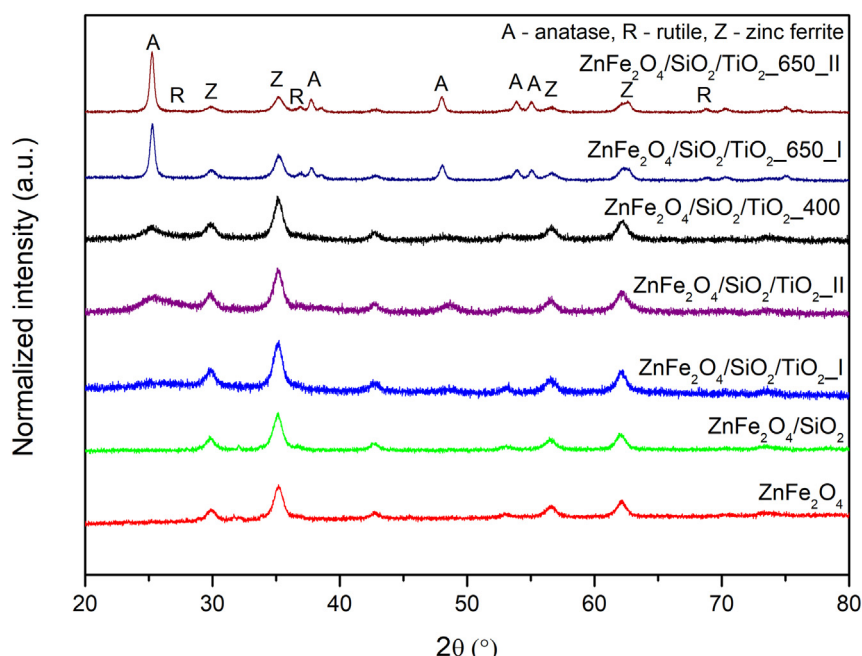
obtained magnetic photocatalyst particles were also calcined at 650 °C. Previously, for the most photocatalytic active TiO<sub>2</sub> powder (P25, Evonik), Ohno et al. proofed that the fairly high photoreactivity of this material results from the creation of heterojunction between anatase-rutile particles (Ohno et al., 2001). The fine rutile crystallites facilitate the e<sup>-</sup> transport to anatase trapping sites and thus forming photocatalytic hot spots at the rutile-anatase interface (Gambarotti et al., 2012). The diffraction peaks at 2θ of 35.2°; 53.9°; 56.7°; 62.2° demonstrates the possible presence of rutile clusters (JCPDS, No. 76-1940). For the samples ZnFe<sub>2</sub>O<sub>4</sub>/SiO<sub>2</sub>/TiO<sub>2</sub>\_650\_I and ZnFe<sub>2</sub>O<sub>4</sub>/SiO<sub>2</sub>/TiO<sub>2</sub>\_650\_II containing anatase phase (~46–47%) with a small amount of rutile (3–4.5%), higher crystallinity (60–68%) than for ZnFe<sub>2</sub>O<sub>4</sub>/SiO<sub>2</sub>/TiO<sub>2</sub>\_400 (~51.5%) was observed.

Moreover, no crystallites growth of ZnFe<sub>2</sub>O<sub>4</sub> was observed, suggesting that formed ferrite particles should be tightly covered with SiO<sub>2</sub>/TiO<sub>2</sub> layer, which prevents it from further growth (approx. crystallites size of 10 nm, and 11 nm for the as-obtained ZnFe<sub>2</sub>O<sub>4</sub> and after 400 °C calcination, respectively). Finally, no crystallization of silica was observed, suggesting that SiO<sub>2</sub> remains an amorphous layer. Crystallization of SiO<sub>2</sub> is kinetically difficult and starting above 600 °C (Tomita and Kawano, 1993).

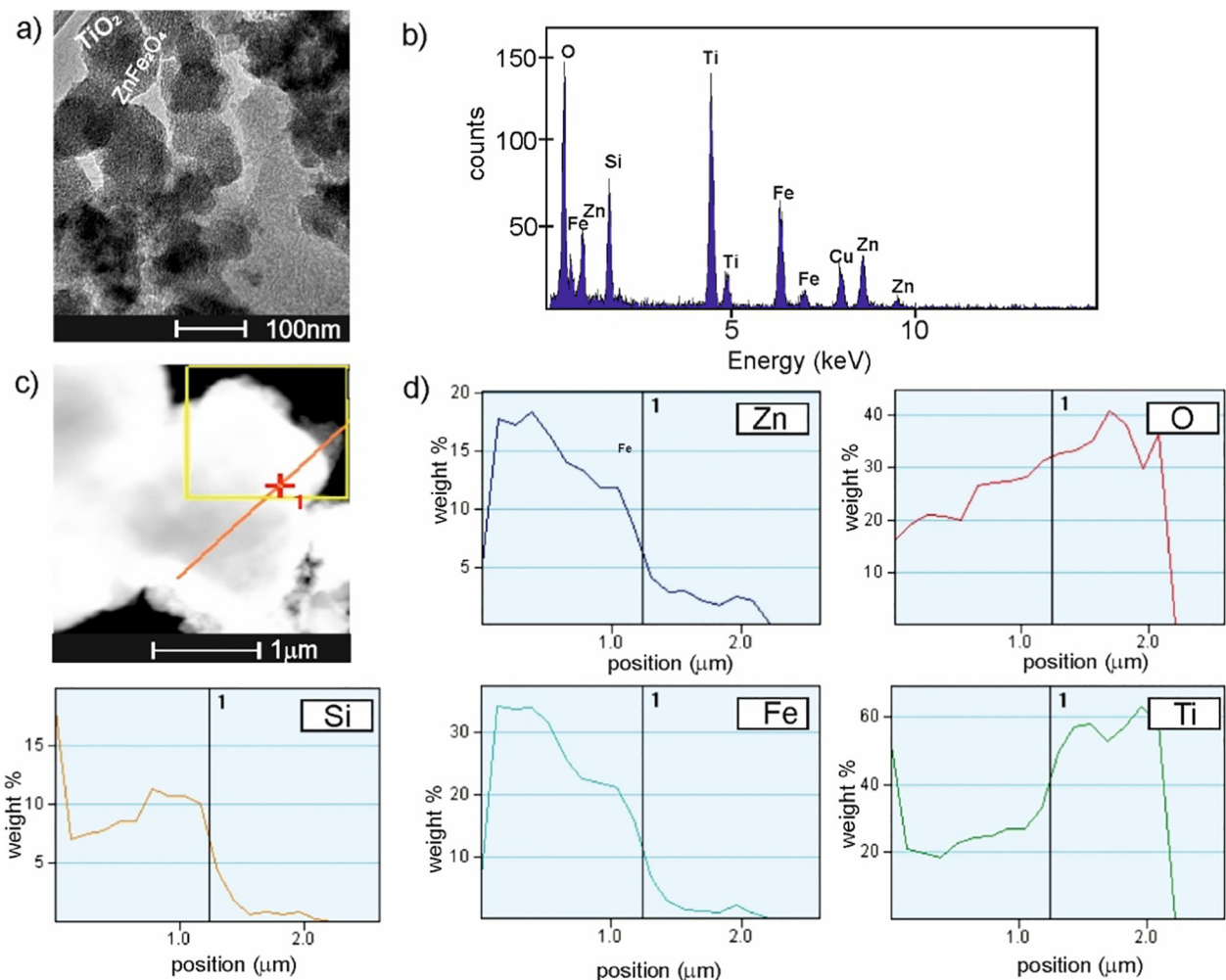
The specific surface area of bare zinc ferrite was 25 m<sup>2</sup>·g<sup>-1</sup> and increased after coating with SiO<sub>2</sub> layer to 62 m<sup>2</sup>·g<sup>-1</sup>. Further, for ZnFe<sub>2</sub>O<sub>4</sub>/SiO<sub>2</sub>/TiO<sub>2</sub>\_I and ZnFe<sub>2</sub>O<sub>4</sub>/SiO<sub>2</sub>/TiO<sub>2</sub>\_II samples coated with TiO<sub>2</sub> layer, the specific surface area increased to 187 m<sup>2</sup>·g<sup>-1</sup> and 106

m<sup>2</sup>·g<sup>-1</sup>, respectively, and finally decreased for samples calcined at 400 °C and 650 °C. The BET area of ZnFe<sub>2</sub>O<sub>4</sub>/SiO<sub>2</sub>/TiO<sub>2</sub>\_400 and ZnFe<sub>2</sub>O<sub>4</sub>/SiO<sub>2</sub>/TiO<sub>2</sub>\_650\_I decreased from 75 m<sup>2</sup>·g<sup>-1</sup> to 50 m<sup>2</sup>·g<sup>-1</sup> with increasing calcination temperature from 400 °C to 650 °C and anatase crystallite size increased from 11.5 nm to 20 nm, respectively. Increased crystallites size observed for the annealed samples results from the crystallization of the TiO<sub>2</sub> structure from amorphous precursor as well as from minimization of the surface energy as the grain/crystallites boundary is reduced through their growth. The amorphous phase is metastable, and the surface formation is always accompanied by the energy barrier, which should tend to minimize both factors (Porter et al., 1995; Zhang et al., 2000). At higher temperatures, the mobility/diffusion of atoms inside solids is facilitated by the temperature. In this regard, the observed behavior for the obtained samples is consistent with the basic mechanisms of crystallization. For ZnFe<sub>2</sub>O<sub>4</sub>/SiO<sub>2</sub>/TiO<sub>2</sub>\_650\_II core-shell photocatalyst obtained in the presence of cationic surfactant, which acts as a binder of ZnFe<sub>2</sub>O<sub>4</sub>/SiO<sub>2</sub> and TiO<sub>2</sub> layer, further reduction in specific surface area to 18 m<sup>2</sup>·g<sup>-1</sup> and increase of anatase crystallite size to 30 nm was noticed. Regarding the literature, the use in this study excess of cationic surfactant (2-times higher than CMC value) may lead to the formation of the second layer of surfactant and cylindrical micelles containing several core-shell nanoparticles in crystalline structure (Liu et al., 2013).

The TEM microscopy analysis, shown in Fig. 2, confirmed the formation of the core-shell structure of ZnFe<sub>2</sub>O<sub>4</sub>/SiO<sub>2</sub>/TiO<sub>2</sub> nanoparticles with



**Fig. 1.** XRD diffraction patterns of the as-prepared ZnFe<sub>2</sub>O<sub>4</sub>, ZnFe<sub>2</sub>O<sub>4</sub>/SiO<sub>2</sub>, and ZnFe<sub>2</sub>O<sub>4</sub>/SiO<sub>2</sub>/TiO<sub>2</sub> magnetic photocatalysts calcined in 400 °C and 650 °C.



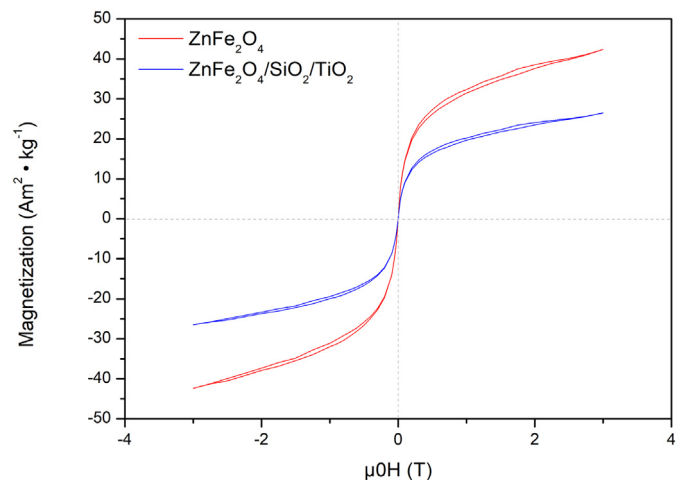
**Fig. 2.** Morphology (TEM images) (a), EDS and EDS-line measurements (b-c) of ZnFe<sub>2</sub>O<sub>4</sub>/SiO<sub>2</sub>/TiO<sub>2</sub>\_650\_II photocatalyst.

the total composite particle size of about 50–60 nm (Fig. 2a). The average particle size of the samples is larger than nanocrystals size calculated based on XRD measurements, which confirmed that the zinc ferrite core (~10 nm) is coated with a TiO<sub>2</sub> shell (~30 nm). The particles were spherical and uniformly distributed, and agglomeration of grains was caused by the magnetic attractions. Additional TEM images of the prepared magnetic photocatalyst are shown in the Supplementary materials (Fig. S1). The Energy Dispersive Spectroscopy (EDS) revealed the presence of Zn, Fe, Si, O, and Ti in the structure of the as-prepared photocatalytic material (Fig. 2b). Moreover, the EDS line scanning profiles (Fig. 2c-d) across the particle also showed that it consisting of zinc ferrite core and titania shell. The signals for Zn and Fe occurred in the same area inside the structure, while the signals for Si, O, and Ti outside the structure of the magnetic particle.

It can be concluded from EDX analysis that all basic elements of ZnFe<sub>2</sub>O<sub>4</sub>/SiO<sub>2</sub>/TiO<sub>2</sub> exist in the prepared composite nanomaterial, as confirmed by XRD characterization, as well.

The survey of XPS spectra of ZnFe<sub>2</sub>O<sub>4</sub>/SiO<sub>2</sub>/TiO<sub>2</sub>\_650\_II photocatalyst recorded in the binding energy (BE) range of 0 to 1300 eV is presented in Fig. S2 in the Supporting materials. Several peaks associated with Ti, O, and a trace amount of Si, Zn, Fe are detected, as well as a signal identified with the C 1s peak. Fig. S2b shows that binding energy of 458.5 eV corresponds to the peak of Ti 2p<sub>3/2</sub>, whereas binding energy of 464.3 eV is associated with Ti 2p<sub>1/2</sub>. The Ti 2p binding energies indicate the incorporation of Ti into the lattice of TiO<sub>2</sub> as Ti<sup>4+</sup>. Moreover, the Auger signals assigned to the Ti LMV transition were observed. As presented in Table S1 in the Supplementary materials, the titanium content was

about 27 at.%. Exhibited in Fig. S2c are the O 1s components with the binding energies at 529.7 eV, 531.8 eV, and 532.9 eV, which are associated with different types of oxygen bonds. Two of the most intense peaks corresponded to lattice oxygen (Ti—O groups) and oxygen in hydroxyl groups (Ti—OH), respectively. The peak at about 103 eV, shown in Fig. S2d, could be assigned to Si—O—Si from the O 1s spectrum. The oxygen content was 49.7 at.%. The iron content was on the verge of noise



**Fig. 3.** Magnetic hysteresis loop of ZnFe<sub>2</sub>O<sub>4</sub> and ZnFe<sub>2</sub>O<sub>4</sub>/SiO<sub>2</sub>/TiO<sub>2</sub> photocatalyst.

detection (see in Fig. S2e), while the Zn 2p<sub>3/2</sub> and Zn 2p<sub>1/2</sub> components characteristic of a low amount of Zn<sup>2+</sup> are located at 1021.2 eV and 1044.3 eV, respectively. The zinc content was 1.4 at.%. The origin of carbon presents (~13.9 at.%) is mainly attributed to atmospheric contaminants.

As shown in Fig. 3, as-obtained ZnFe<sub>2</sub>O<sub>4</sub> ferrite particles exhibited strong ferrimagnetic properties with a saturation magnetization (*Ms*) of 40 emu·g<sup>-1</sup> and can exhibit superparamagnetic behavior due to small coercivity (*Hc*) and remanent magnetization (*Mr*) values.

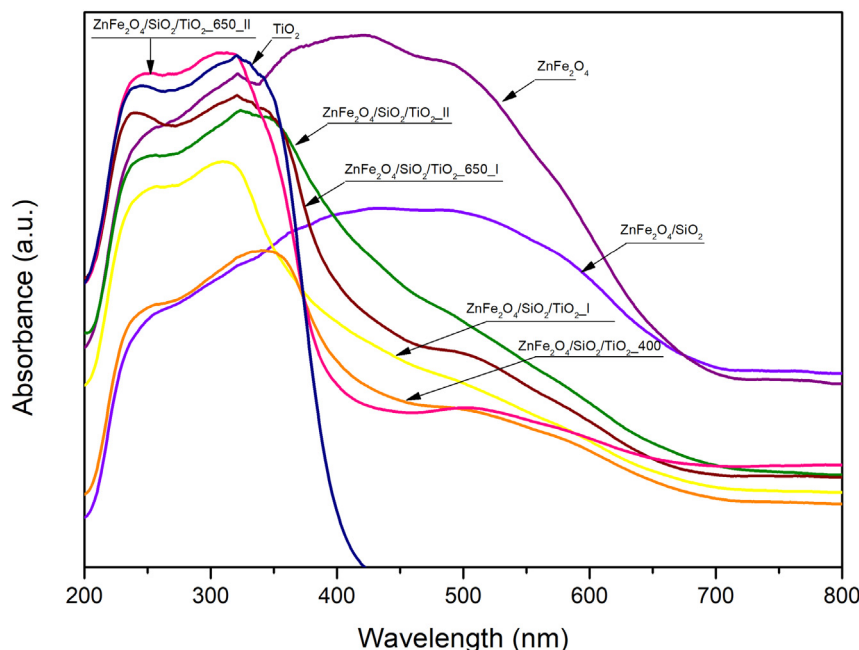
The obtained results are consistent with the reported for ZnFe<sub>2</sub>O<sub>4</sub>, revealing it as a soft ferromagnetic material with an extensive range of possible magnetization values (Yao et al., 2007). For an ideal magnetic particle, the *Ms* value should decrease together with the particle size due to the development of the surface area and possible defects, leading to the magnetic moments' misalignment. It was shown in detail for compounds like magnetite Fe<sub>3</sub>O<sub>4</sub> (Lee et al., 2015; Mascolo et al., 2013). However, ZnFe<sub>2</sub>O<sub>4</sub> behaves differently due to the preference to form a normal spinel structure in its bulk form, which was found to be antiferromagnetic (Yao et al., 2007; Lee et al., 2015; Mascolo et al., 2013; Mozaffari et al., 2010). Because of this, visible magnetic properties of zinc ferrite are mostly observed for its nanoparticles, for which cation distribution is usually at least partially inverted. The final magnetization of the ZnFe<sub>2</sub>O<sub>4</sub>, therefore, depends on both particle size and specific cation distribution, which was found to depend on particle shape, size, and specific preparation conditions e.g., pH (Mozaffari et al., 2010; Kurian and Mathew, 2018; Shanmugavani et al., 2014). After the formation of both SiO<sub>2</sub> and TiO<sub>2</sub> layers, the magnetization of the composite decreased to 25 emu·g<sup>-1</sup>, as shown in Fig. 3 for ZnFe<sub>2</sub>O<sub>4</sub>/SiO<sub>2</sub>/TiO<sub>2</sub> photocatalyst. It was expected since ZnFe<sub>2</sub>O<sub>4</sub> make up only a small fraction of the final material. As revealed by the XRD and XPS analysis, TiO<sub>2</sub> and SiO<sub>2</sub> are the predominant in both ZnFe<sub>2</sub>O<sub>4</sub>/SiO<sub>2</sub>/TiO<sub>2</sub>-650 samples, and therefore the magnetization decrease should be proportional to their content.

The DR-UV-Vis spectra were measured to study the optical absorption properties of the magnetic photocatalysts. As shown in Fig. 4, all samples absorb UV light due to the sp-d interaction between valence band electrons of O and d electrons of Ti or Zn/Fe atoms in TiO<sub>2</sub> and ZnFe<sub>2</sub>O<sub>4</sub> structures, respectively. The absorption properties decreased after the coating of ZnFe<sub>2</sub>O<sub>4</sub> with SiO<sub>2</sub>, indicating that the SiO<sub>2</sub> layer

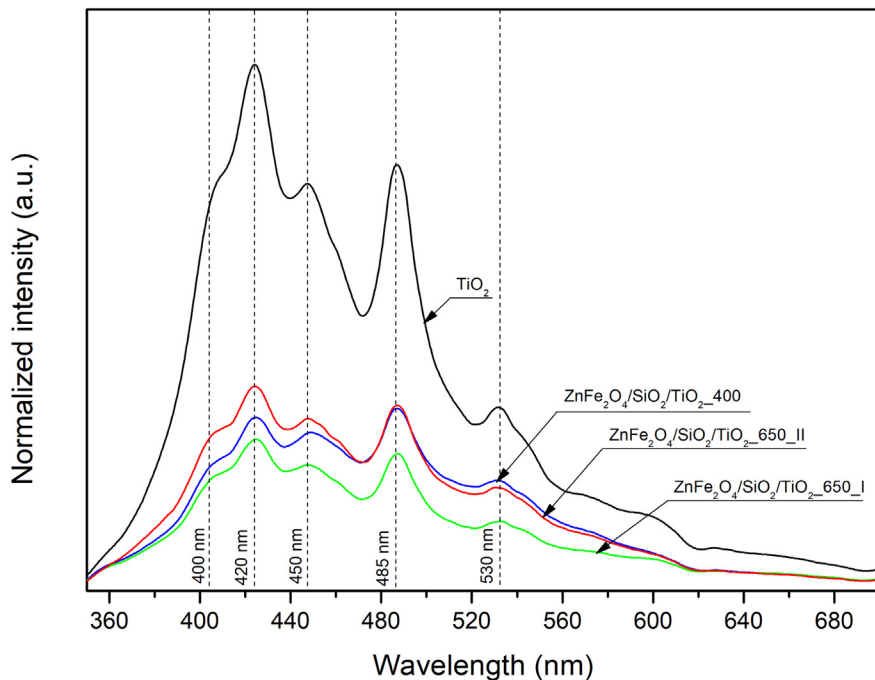
remarkably influenced the UV-Vis absorption ability of zinc ferrite particles, protecting them from photodissociation during the photocatalytic reaction. The light absorption edge in the ultraviolet region for nanocomposites was close to that of the pure titania particles. For all the ZnFe<sub>2</sub>O<sub>4</sub>/SiO<sub>2</sub>/TiO<sub>2</sub> composites, the absorption was markedly red-shifted after the coating of ZnFe<sub>2</sub>O<sub>4</sub> ferrite with SiO<sub>2</sub> and TiO<sub>2</sub> layer. Obtained spectra were transformed into the Kubelka-Munk function, and the Tauc transformation was used to determine the band gap energy. As expected, the ZnFe<sub>2</sub>O<sub>4</sub> ferrite sample exhibited low band gap energy of 1.68 eV, and it widened after coating with silica to 1.88 eV, see in Table 1. According to literature, the band gap of pure TiO<sub>2</sub> particles depends on the polymorphs and is reported at ~3.0 eV for rutile and 3.2–3.3 eV for anatase (Amtout and Leonelli, 1995; Tang et al., 1995). The band gap energies for ZnFe<sub>2</sub>O<sub>4</sub>/SiO<sub>2</sub> composite coated with TiO<sub>2</sub> particles after annealing process varied from 3.13 eV to 3.25 eV.

Widening of the bandgap region may lead to various defects and discrete energy states. Therefore, it is important to study the radiative recombination transitions occurring in the prepared nanomaterial. In this regard, the fluorescence spectroscopy analysis of the obtained photocatalysts was performed and shown in Fig. 5.

The photoluminescent emission of the photocatalyst is a result of photoinduced electron-hole pairs recombination. The lower PL intensity indicates (i) inhibition of charge carriers recombination, therefore, the higher photocatalytic activity of ZnFe<sub>2</sub>O<sub>4</sub>/SiO<sub>2</sub>/TiO<sub>2</sub>-650\_I and ZnFe<sub>2</sub>O<sub>4</sub>/SiO<sub>2</sub>/TiO<sub>2</sub>-650\_II photocatalysts can be attributed to enhancing charge carriers' separation (Zhu et al., 1998). The PL emission spectra of ZnFe<sub>2</sub>O<sub>4</sub>/SiO<sub>2</sub>/TiO<sub>2</sub> photocatalysts calcined at 400 °C and 650 °C has examined in the wavelength range of 350 to 700 nm. In the spectra, several emission regions can be distinguished. The emission band from 390 to 400 nm results from the photoexcited charge carriers recombination of TiO<sub>2</sub> (Mathew et al., 2012). The intensity of PL in this region is higher for pure TiO<sub>2</sub> and the sample ZnFe<sub>2</sub>O<sub>4</sub>/SiO<sub>2</sub>/TiO<sub>2</sub>-400 calcined at 400 °C than for sample ZnFe<sub>2</sub>O<sub>4</sub>/SiO<sub>2</sub>/TiO<sub>2</sub>-650\_I annealed at 650 °C. The emission peaks at 420; 440 and 455 nm can be ascribed to a shallow-trap state near the absorption band edge, which results from the presence of oxygen vacancies (Zhu et al., 1998). The emission peak at 530 nm can be assigned to deep-trap states related to the presence of oxygen vacancies in the TiO<sub>2</sub> structure (Tehrani et al., 2012).



**Fig. 4.** Diffuse reflectance spectra of ZnFe<sub>2</sub>O<sub>4</sub>, ZnFe<sub>2</sub>O<sub>4</sub>/SiO<sub>2</sub>, pure TiO<sub>2</sub> used as a reference, ZnFe<sub>2</sub>O<sub>4</sub>/SiO<sub>2</sub>/TiO<sub>2</sub> without thermal treatment and ZnFe<sub>2</sub>O<sub>4</sub>/SiO<sub>2</sub>/TiO<sub>2</sub> photocatalysts calcined at 400 °C and 650 °C.



**Fig. 5.** Photoluminescence spectra of  $\text{ZnFe}_2\text{O}_4/\text{SiO}_2/\text{TiO}_2$  photocatalysts at room temperature: (a)  $\text{ZnFe}_2\text{O}_4/\text{SiO}_2/\text{TiO}_2\text{-}650\text{-II}$ ; (b)  $\text{ZnFe}_2\text{O}_4/\text{SiO}_2/\text{TiO}_2\text{-}400$  and (c)  $\text{ZnFe}_2\text{O}_4/\text{SiO}_2/\text{TiO}_2\text{-}650\text{-I}$ .

### 3.2. Photolytic and photocatalytic degradation of etodolac in the presence of $\text{ZnFe}_2\text{O}_4/\text{SiO}_2/\text{TiO}_2$ nanocomposites

#### 3.2.1. The effect of radiation range

The effective utilization of solar energy (UV–Vis) plays an important role in photocatalysis. Therefore, photolysis reaction and photocatalytic degradation of etodolac were performed under simulated solar light by using a 300 W Xenon lamp. The cut-off filters were applied to measure the photoactivity under UV light (optical filter UG transmitted light in the range of 250–400 nm; max. 330 nm), and Vis light (optical filter transmitted light of wavelength >400 nm).

In order to study the effect of dark reaction of the magnetic photocatalyst, their components, and bare  $\text{TiO}_2$  as the reference sample, the photodegradation analyses under UV–Vis irradiation proceeded. The adsorption–desorption equilibrium was established for 30 min in the absence of light. As shown in Fig. S3 in the Supporting materials, the adsorption ratio for the  $\text{ZnFe}_2\text{O}_4/\text{SiO}_2/\text{TiO}_2\text{-II}$  photocatalyst was equal to 13% after 30 min. Similarly, the etodolac adsorption on the surface of the magnetic core  $\text{ZnFe}_2\text{O}_4$  amounted to 11%. For  $\text{ZnFe}_2\text{O}_4/\text{SiO}_2/\text{TiO}_2\text{-650-I}$  and  $\text{ZnFe}_2\text{O}_4/\text{SiO}_2/\text{TiO}_2\text{-650-II}$ , the adsorption ratio was 10% and 12%, respectively.

particles with a developed specific surface, the adsorption ratio exceeded 30%. The reference sample of  $\text{TiO}_2$  powder obtained an equivalent result.

As presented in Fig. 6, all the obtained photocatalysts promoted the effective photodegradation of etodolac.

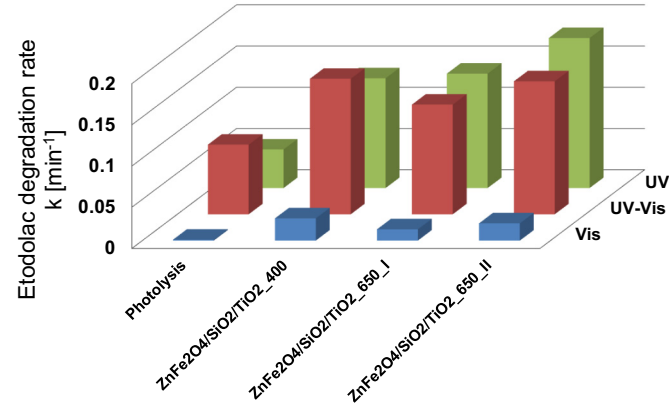
The ability of light in photolysis to reduce etodolac concentration depended on the range of the light spectrum. There was no progress observed in etodolac photolytic degradation under Vis light irradiation. As shown in Fig. S4 in the Supporting materials, the extension of the photocatalytic process up to 60 min does not make a positive contribution into etodolac degradation under Vis light irradiation.

The efficiency of etodolac photolytic degradation after 30 min under UV light exceeded 60%, however, the highest degradation rate was observed under UV–Vis irradiation. Thus, it can be assumed that irradiation under a wide light range may reveal a synergistic effect on etodolac degradation efficiency. Compared with photolysis, the degradation of etodolac in the presence of  $\text{ZnFe}_2\text{O}_4/\text{SiO}_2/\text{TiO}_2\text{-}400$  and  $\text{ZnFe}_2\text{O}_4/\text{SiO}_2/\text{TiO}_2\text{-}650\text{-II}$  photocatalysts was significantly improved under UV and visible light irradiation (>420 nm).

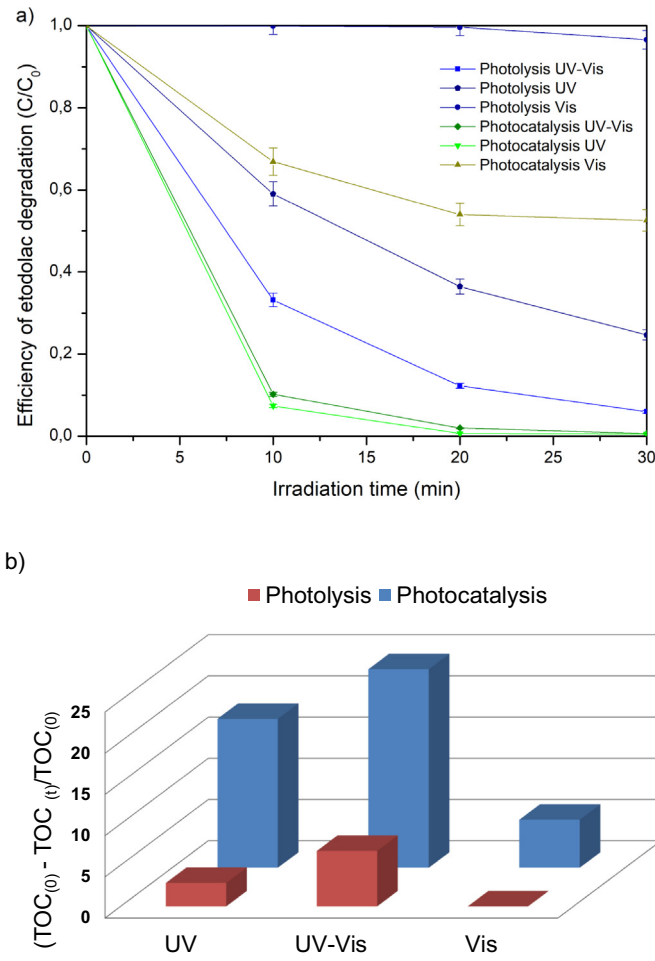
For the photocatalytic reaction in the presence of  $\text{ZnFe}_2\text{O}_4/\text{SiO}_2/\text{TiO}_2\text{-}650\text{-II}$  about 100% of etodolac was removed within 20 min of irradiation under UV and UV–Vis light (see in Fig. 7a). It is worth noting that the mineralization by  $\text{ZnFe}_2\text{O}_4/\text{SiO}_2/\text{TiO}_2$  photocatalyst was markedly higher compared to the photolytic reaction, as shown in Fig. 7b. The highest TOC removal was observed under UV–Vis light for photocatalytic degradation in the presence of  $\text{ZnFe}_2\text{O}_4/\text{SiO}_2/\text{TiO}_2\text{-}650\text{-II}$  photocatalyst containing anatase phase with a small amount of rutile (3–4.5%).

#### 3.2.2. The effect of initial pH on the photocatalytic performance

The initial pH of the aqueous phase is one of the most important parameters which affects photocatalytic activity. The UV–Vis spectroscopy was used to determine the pH effect on etodolac stability, as presented in Fig. 8. The UV–Vis spectrum of etodolac showed an absorption band with a maximum at the wavelength of about 220 nm and a shoulder of 270 nm. The results showed that there was no effect of pH on the absorption spectrum of etodolac.

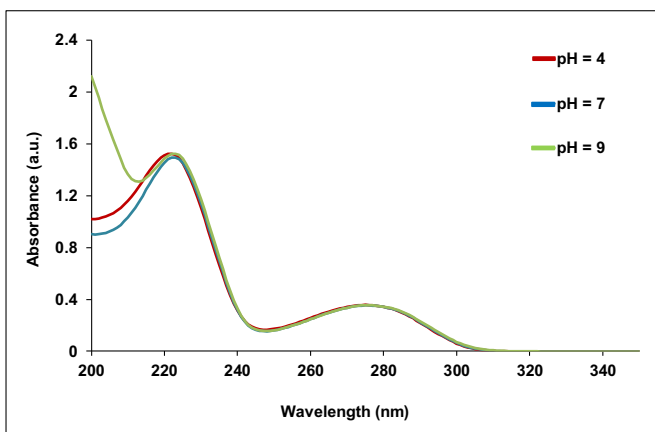


**Fig. 6.** The effect of irradiation range (Vis  $\lambda > 420$  nm; UV  $250 \text{ nm} < \lambda < 400$  nm; simulated solar light (UV–Vis) on photodegradation of etodolac.

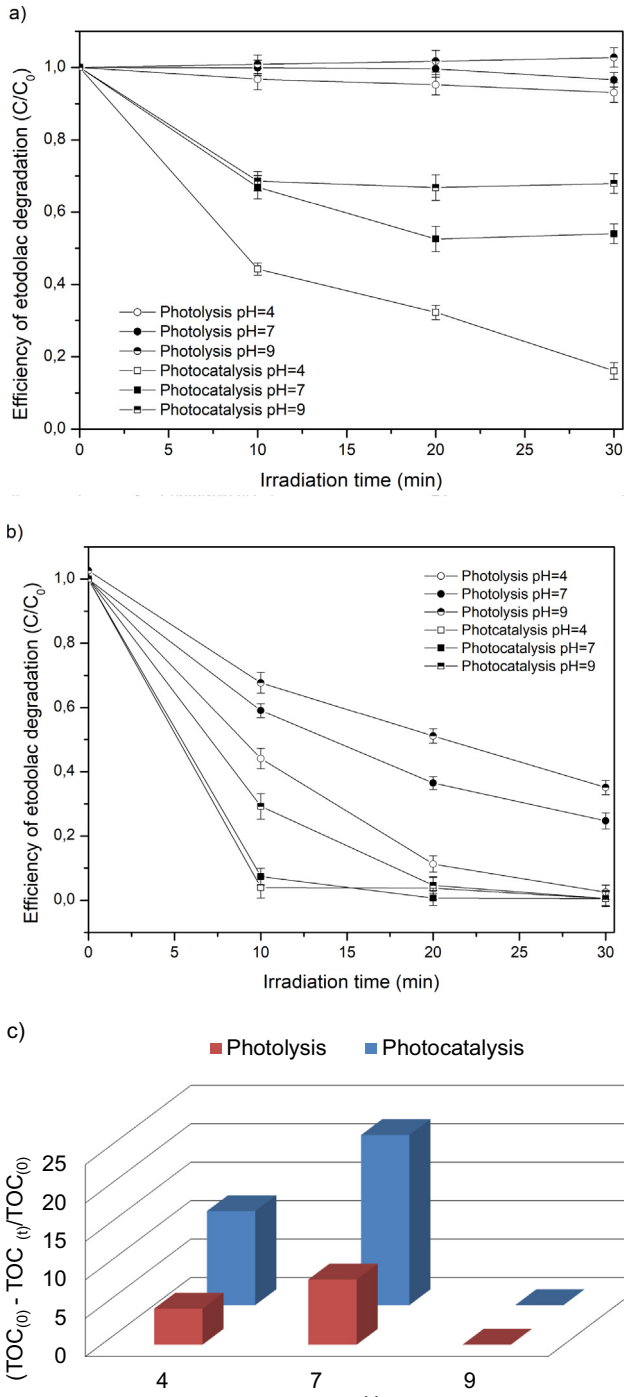


**Fig. 7.** The efficiency of etodolac degradation in photolysis and photocatalytic reaction under Vis, UV and UV-Vis light irradiation (a) and total organic carbon reduction (TOC) by photolysis and photocatalysis in the presence of Vis, UV and UV-Vis light (b). Experimental conditions: etodolac initial concentration  $C_0 = 0.5 \cdot 10^{-4}$  M, photocatalyst loading  $m = 0.05 \text{ g} \cdot \text{dm}^{-3}$ , 300 W xenon lamp.

The stability of etodolac in the dark reaction was analyzed at 20 °C at pH 4, 7, and 9. These pHs are usually considered environmentally relevant (Valenti et al., 2009). There was no degradation of etodolac observed after 1 h of mixing. The influence of initial pH in the range of 4 to 9 on the etodolac photocatalytic degradation was studied, and the results are presented in Fig. 9.



**Fig. 8.** UV-Vis spectra of etodolac at different pH values.



**Fig. 9.** The effect of initial pH on the etodolac removal under Vis light (a) under UV light (b) and the TOC removal fraction as a function of pH for  $\text{ZnFe}_2\text{O}_4/\text{SiO}_2/\text{TiO}_2-650\text{-II}$  under UV light irradiation (c).

It was observed that a pH above 4 and below 7 facilitated the etodolac removal. Under visible light, the highest efficiency of etodolac degradation was observed at pH = 4. After 30 min of irradiation, about 7% and 84% of etodolac were removed in photolytic and photocatalytic reactions, respectively (see in Fig. 9a).

The highest photodegradation of etodolac was noticed at a pH of 4 and 7 in the presence of UV light, as shown in Fig. 9b. The photolytic removal of etodolac was 58% at pH = 4 and 78% at a pH of 7 during 30 min of irradiation. At the same time, after 20 min of irradiation, the photocatalytic performance at pH = 4 was 97% and increased to 100% at

pH = 7. However, as the pH value further increased to 9, the photocatalytic activity decreased due to the quenching effect of carbonates under alkaline conditions. The presence of  $\text{CO}_3^{2-}$  and  $\text{HCO}_3^-$  presence results in adsorption and inorganic layer formation on the photocatalyst surface, and therefore hindering adsorption of other species (Farner Budarz et al., 2017; Guillard et al., 2005). Moreover, carbonate anions could act as a scavengers of the generated hydroxyl radicals, which reacts with the active species produced in the photocatalytic reaction and reduce the photocatalytic performance (Zhang et al., 2015). Scavenging of photogenerated hydroxyl radicals may especially explain almost full inhibition of TOC removal at alkaline conditions, as shown in Fig. 9c. Finally, at pH = 9 both etodolac and the surface of  $\text{ZnFe}_2\text{O}_4/\text{SiO}_2/\text{TiO}_2$ -650-II magnetic photocatalyst are expected to be negatively charged, which should promote their repulsion through electrostatic interactions.

Etodolac is a weakly acidic pharmaceutical agent having a  $\text{pK}_a$  of 4.65. Its solubility depends on the pH of the aqueous phase and increases significantly above the  $\text{pK}_a$  value. The pH of isoelectric point ( $\text{pH}_{\text{IEP}}$ ) for  $\text{ZnFe}_2\text{O}_4/\text{SiO}_2/\text{TiO}_2$ -650-II was about 4.7, as shown in Fig. S5 in the Supporting materials. The photocatalyst surface was positively charged at  $\text{pH} < \text{pH}_{\text{IEP}}$  and negatively charged at  $\text{pH} > \text{pH}_{\text{IEP}}$ . At acidic conditions below  $\text{pH}_{\text{IEP}}$ , the photocatalyst was positively charged and was facilitated for the attraction of electron-rich aromatic nucleus or the oxygens of the etodolac molecule. The higher stability of suspension was noticed at pH above 6 and below 4. In this regard, the highest efficiency of etodolac removal was observed at pH above  $\text{pK}_a$  value and below 7.

The most active in the reaction of etodolac degradation photocatalyst  $\text{ZnFe}_2\text{O}_4/\text{SiO}_2/\text{TiO}_2$ -650-II was selected for the reusability studies. In order to examine the photocatalytic effectiveness of the magnetic photocatalyst after its recovery, the six subsequent cycles were carried out, as can be seen in Fig. 10. At the end of each run of etodolac degradation,  $\text{ZnFe}_2\text{O}_4/\text{SiO}_2/\text{TiO}_2$ -650-II nanoparticles were separated from reaction slurry by an external magnetic field and then treated etodolac solution was discharged. Afterward, the separated photocatalyst was reused without any treatment. High efficiency of photocatalytic degradation was maintained after six subsequent cycles, without any loss in etodolac degradation and photomineralization. Mean TOC reduction  $\text{TOC}_0/\text{TOC}_t/\text{TOC}_0$  for each cycle amounted to  $0.62 \pm 0.05$ .

### 3.3. Degradation mechanism and pathway

To verify the mechanism of photocatalytic activity the fluorescence spectra analysis of 3 mM terephthalic acid (TA) solution under UV-Vis was performed. A fluorescent product of TA photocatalytic reaction with  $\cdot\text{OH}$  is 2-hydroxyterephthalic acid (2-HTA), which emits fluorescence at 426 nm, as shown in Fig. S6 in the Supporting materials. There was no peak observed for the TA before irradiation indicating that fluorescence was linked only to the 2-HTA presence. The characteristic fluorescence of 2-HTA increased with the irradiation time, suggesting that the  $\text{ZnFe}_2\text{O}_4/\text{SiO}_2/\text{TiO}_2$ -650-II photocatalyst can produce  $\cdot\text{OH}$  under UV-Vis irradiation.

Furthermore, to provide insight into the mechanism of etodolac removal, oxidative species participating in the photocatalytic reaction have been investigated by reference experiments in the presence of scavengers. Photocatalytic activity of  $\text{ZnFe}_2\text{O}_4/\text{SiO}_2/\text{TiO}_2$ -650-II in reaction of etodolac degradation in the presence of tert-butanol (hydroxyl radicals ( $\cdot\text{OH}$ ) scavenger), benzoquinone (superoxide radical anion ( $\cdot\text{O}_2^-$ ) scavenger), ammonium oxalate (hole ( $\text{h}^+$ ) scavenger) and silver nitrate (electron ( $e^-$ ) scavenger) are presented in Fig. 11. The etodolac photocatalytic degradation determined without scavengers served as a reference sample.

The introduction of t-BuOH trapping the photogenerated hydroxyl radicals had little effect on the efficiency of etodolac degradation and its mineralization. The photocatalytic performance was significantly

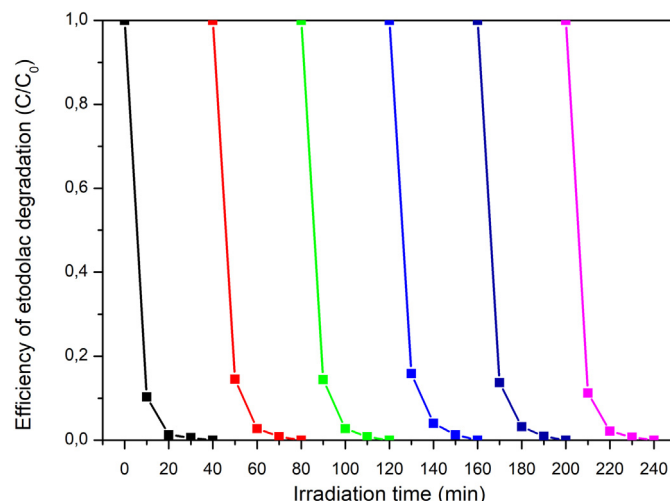


Fig. 10. The efficiency of etodolac degradation in the presence of  $\text{ZnFe}_2\text{O}_4/\text{SiO}_2/\text{TiO}_2$ -650-II photocatalyst measured in the six subsequent cycles of degradation.

suppressed in the presence of benzoquinone, indicating that  $\cdot\text{O}_2^-$  plays an important role in photodegradation or competes with the potential active species involved in the degradation process. In the presence of ammonium oxalate, which was introduced as the scavenger of photogenerated holes ( $\text{h}^+$ ), the photodegradation reaction was suppressed by 10%, suggesting that  $\text{h}^+$  also played a role in the degradation of etodolac. The 2-times lower mineralization measured as TOC inhibition efficiency was observed for the photoreaction proceeded with the addition of  $\cdot\text{O}_2^-$  scavenger and  $\text{h}^+$  scavenger.

To further study the photocatalytic degradation mechanism, the HPLC/MS analyses of photooxidation and photodegradation products were performed.

The initial steps of etodolac photolysis in the presence of UV-A, UV-B or sunlight irradiation reported by Passananti et al. suggest the generation of two main photoproducts in the form of spiro (product **3**) and lactam (product **4**) compounds, respectively (Guzela et al., 2019). As presented in Fig. 12, the transformation of etodolac is initiated by reactive oxygen species attack on the C2-C3 bond of pyrrole ring in the excited molecule, which is also characteristic for the oxidation of indoles in other processes (Xu et al., 2019; McClay et al., 2005; Iesce et al., 2005). Obtained radical intermediate should further undergo series of spontaneous rearrangements to possibly give products **2**, **3** and **4**,

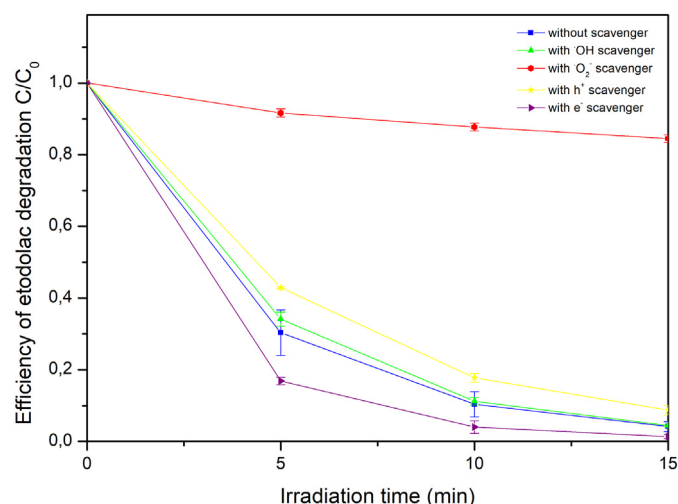
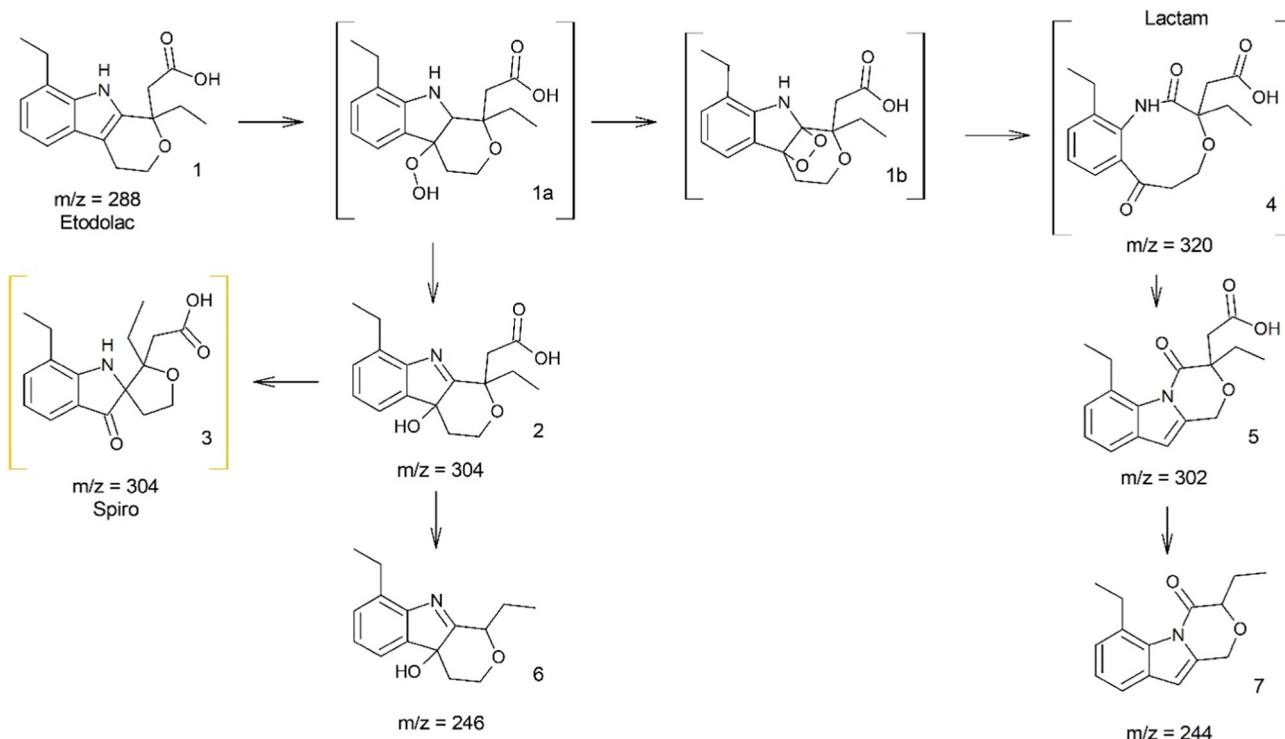


Fig. 11. Photocatalytic degradation of etodolac for  $\text{ZnFe}_2\text{O}_4/\text{SiO}_2/\text{TiO}_2$ -650-II photocatalyst in the presence of  $e^-$ ,  $\text{h}^+$ ,  $\cdot\text{O}_2^-$ , and  $\cdot\text{OH}$  scavengers.



**Fig. 12.** The proposed mechanism of initial etodolac photodegradation under UV-Vis.

from which **3** and **4** were identified as main stable derivatives, with  $m/z = 304$  and  $320$ , respectively.

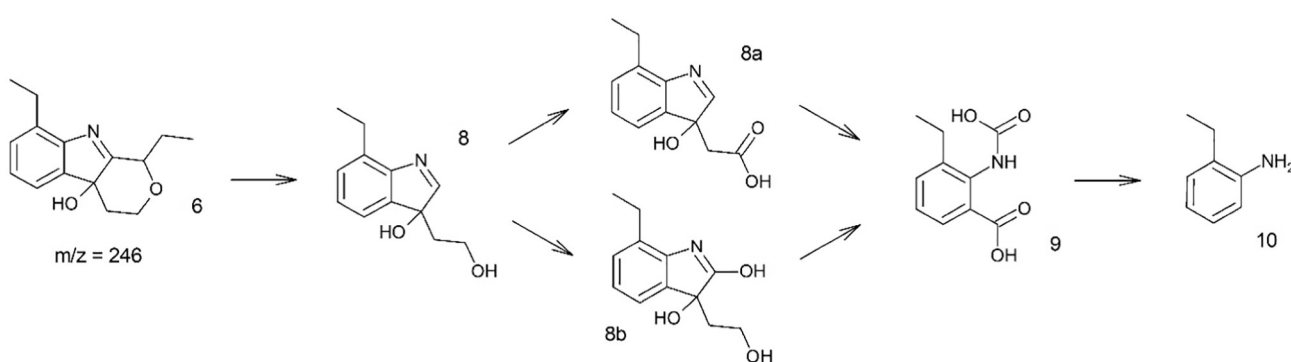
The compound with  $m/z = 304$  was observed for both photolytic and photocatalytic processes. Moreover, in the presence of  $\text{ZnFe}_2\text{O}_4/\text{SiO}_2/\text{TiO}_2\text{-650-II}$  photocatalyst, an additional signal with  $m/z = 302$  was found, which can be the product of compound **4** dehydration, marked as **5**. The analogical process was already observed by Afsah et al. in their study on the reactivity of dibenzo-azonines (Afsah et al., 2015), where compounds similar to lactam **4** underwent cyclodehydration under the Schmidt reaction conditions ( $\text{NH}_3/\text{H}^+$ ). The formation of both possible byproducts during the photocatalytic process corresponds well with the observed role of  $\cdot\text{O}_2^-$  species in the degradation of etodolac and suggested formation of hydroperoxide **1a** after initial oxygen addition to the double bond of the pyrrole ring of etodolac (compound **1**). According to literature, a spiro derivative **3** with  $m/z = 304$  should absorb UV light with a maxima at  $225\text{ nm}$  and  $255\text{ nm}$  (Passananti et al., 2015). In this study, no similar compound was observed. Instead, the formation of a derivative **2** with three maxima at  $215\text{ nm}$ ,  $256\text{ nm}$ , and  $292\text{ nm}$  was detected. Since compound **2** is presented as a parent for a spiro, it is suggested that it was mainly observed as  $m/z = 304$  compounds. Stabilization of a structure **2** occurred

due to a lack of mineral acid catalyst, which was required to perform the described transformation in a quantitative yield, as described by Mateo and co-workers (Mateo et al., 1996). Therefore, the formation of compound **2** as the main oxidation product of photocatalytic degradation was observed.

Both compounds **2** and **5** can later undergo  $-\text{CH}_2\text{-COOH}$  detachment to form compounds with  $m/z = 246$  and  $m/z = 244$ , derivatives **6** and **7**, respectively. Product **6** was observed on the MS spectrum mainly during the photocatalytic process, while the formation of compound **7** was found mostly during the photolysis of ETD in acidic conditions. The transformation was based on a hydroxyl attack on  $\alpha$ -carbon, relative to carboxyl moiety, which was also found to be promoted in the presence of  $\cdot\text{OH}$  radicals in citric acid (CA) oxidation (Zeldes and Livingston, 1971; Meichtry et al., 2011).

Further, compounds **6** and **7** can undergo breaking of hydropyran ring. This results in the formation of 7-ethyl-tryptophol derivative (structure **8** in Fig. 13) or other indolic compounds, together with corresponding ketones as byproducts.

Indeed mainly at acidic conditions, spontaneous formation of a compound with broad single absorption maximum at  $274\text{ nm}$  was observed, which corresponds to 2-butanone (Lee et al., 1988; Schütze and



**Fig. 13.** The suggested further steps of etodolac degradation under UV-Vis.

Herrmann, 2004). Its formation was additionally promoted under visible light irradiation, what's shown in Fig. S7 in the Supporting materials, suggesting that similar transformation could be crucial for increased TOC removal under the UV–Vis spectrum, rather than UV only.

The presence of 2-butanone was mainly found in photolytic degradation at pH = 4, while during the photocatalytic process the compound quickly disappeared, suggesting its further efficient mineralization. It can be reasoned that photocatalyst presence can promote similar process to photolysis but with more efficiency, either through formation of reactive oxygen species ( $\bullet\text{O}_2^-$ ,  $\bullet\text{OH}$ ) as well as positively charged states of  $\text{TiO}_2$  by  $\text{h}^+$  trapping on the surface or because of Lewis-acidic active sites, that are characteristic for anatase structure (Pérez-López et al., 2018; Martra, 2000). The involvement of ROS and photogenerated holes in the mechanism of etodolac degradation was confirmed, since the significant effect of  $\text{h}^+$  and  $\bullet\text{O}_2^-$  scavenging on TOC removal was observed.

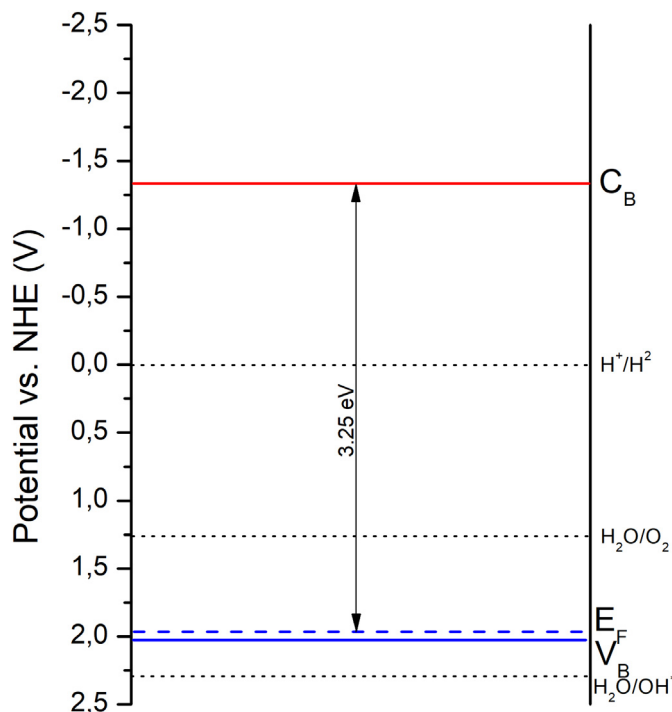
Furthermore, the Mott–Schottky analysis was performed to determine the location of flat band energy ( $E_{fb}$ ) by measuring the space charge region capacitance ( $C_{sc}$ ) at electrode/electrolyte interface, according to Eq. (1).

$$C_{sc} = -\frac{1}{Z''\omega} \quad (1)$$

$C_{sc}$  – capacitance of the space charge region,  $Z''$  – imaginary impedance,  $\omega$  – angular frequency.

Model Mott–Schottky plots of the  $\text{ZnFe}_2\text{O}_4/\text{SiO}_2/\text{TiO}_2\text{-650\_II}$  sample are presented in Fig. S8 in the Supporting materials. The capacitance of the space charge region was calculated for three different frequencies, resulting in three different values of  $E_{fb}$ . The differences in Mott–Schottky plots for various data series are observed due to the electrode porosity and increasing faradaic current influence on the current distribution at low-frequencies (Scribner, 1990).

The Mott–Schottky plots indicated that the analyzed photocatalyst acts as the p-type semiconductor. The flat band potential of photocatalyst was estimated at 1.7 V vs. Ag/AgCl (0.1 M KCl), therefore



**Fig. 14.** Schematic representation of the energy positions of the conduction band ( $C_B$ ) and flat band energy ( $E_F$ ) with corresponding valence band ( $V_B$ ) of  $\text{ZnFe}_2\text{O}_4/\text{SiO}_2/\text{TiO}_2\text{-650\_II}$  photocatalyst.

for the p-type material, the valence band edge is expected to be placed slightly lower to its flat band potential (Babu et al., 2014). The position of conductive band edge was estimated as the difference between the flat band edge position (1.7 V vs. Ag/AgCl (0.1 M KCl), equal to 1.988 V vs. NHE) and the band gap value  $E_g$  (3.25 eV) and amounted  $-1.212$  V vs. NHE. Fig. 14 shows the proposed value of the conductive band edge ( $C_B$ ) and the respective position of the flat band ( $E_F$ ) with corresponding energy of valence band edge ( $V_B$ ). According to the estimated results of  $C_B$  and  $V_B$  position, the examined photocatalyst can efficiently oxidize  $\text{H}_2\text{O}$  into oxygen and reduce oxygen particles into superoxide radicals. The presented results correspond with the photocatalytic analysis conducted in the presence of reactive oxygen species scavengers, where the photocatalytic activity of  $\text{ZnFe}_2\text{O}_4/\text{SiO}_2/\text{TiO}_2\text{-650\_II}$  photocatalyst was significantly suppressed in the presence of  $\bullet\text{O}_2^-$  scavenger.

Although  $\text{TiO}_2$  is widely considered to be an n-type semiconductor, p-type semiconductivity of  $\text{TiO}_2$  was already reported (Nowotny et al., 2010; Conrado et al., 2013). Acceptor dopants, such as cations with a lower valence than  $\text{Ti}^{4+}$ , can act as acceptors of electrons and shift the n-type to p-type transition. P-type behavior of  $\text{TiO}_2$ -based photocatalysts may result from the formation of titanium vacancies (acceptor-type defects). Kaariainen et al. obtained p-n junction in  $\text{TiO}_2$  between p-type anatase and n-type rutile. The polycrystalline materials revealed enhanced photocatalytic performance compared to the n-type  $\text{TiO}_2$ , which indicates that superior photoactivity results from the formation of p-n heterojunction (Conrado et al., 2013).

#### 4. Conclusions

In summary, the  $\text{TiO}_2/\text{SiO}_2/\text{ZnFe}_2\text{O}_4$  magnetic photocatalysts were synthesized successfully and used for the first time in the photodegradation of etodolac. This study provides new insight into the application of heterogeneous photocatalysis, where pollutants are chemically oxidized by nonselective free radical species, for degradation of xenobiotics under simulated solar light.

The significantly enhancement of photocatalytic activity can be attributed to the p-n junction in  $\text{TiO}_2$  of the  $\text{TiO}_2/\text{SiO}_2/\text{ZnFe}_2\text{O}_4\text{-650\_II}$  composite material. The trapping experiments revealed that  $\text{h}^+$ ,  $\bullet\text{O}_2^-$ , and  $\bullet\text{OH}$  were ROS involved in ETD photocatalytic degradation. The PL spectra analysis showed the lower intensity for  $\text{ZnFe}_2\text{O}_4/\text{SiO}_2/\text{TiO}_2$  magnetic photocatalysts than for pure  $\text{TiO}_2\text{-400}$ , which indicates lower electron-hole recombination rate and higher photocatalytic activity. The photocatalytic tests in the present of ROS scavengers as well as the Mott–Schottky analysis confirmed that the studied magnetic photocatalyst can efficiently oxidize  $\text{H}_2\text{O}$  into oxygen and reduce oxygen particles into superoxide radicals.

The effect of irradiation range on the ability to reduce etodolac concentration in photolysis and photocatalytic degradation was confirmed. There was no progress observed in etodolac photolytic degradation under Vis light irradiation.

The highest efficiency of etodolac removal was observed at pH above the pKa value of etodolac and below pH = 7 under UV and UV–Vis light. Compared with photolysis, the degradation of etodolac in the presence of  $\text{ZnFe}_2\text{O}_4/\text{SiO}_2/\text{TiO}_2$  photocatalysts was markedly improved under UV and visible light. After 20 min of irradiation, about 100% of etodolac was decomposed. Based on HPLC/DAD and HPLC/MS analysis six intermediates were determined both in photolysis and photocatalytic reaction and the degradation pathway of photodegradation was proposed.

#### Funding

The research was financially supported by Polish National Science Centre (Grant No. NCN 2018/30/E/ST5/00845).

## CRediT authorship contribution statement

**Eryka Mrotek:** Formal analysis, Resources, Investigation, Writing - review & editing. **Szymon Dudziak:** Formal analysis, Investigation, Writing - review & editing. **Izabela Malinowska:** Resources, Investigation, Writing - review & editing. **Daniel Pelczarski:** Investigation. **Zuzanna Ryżyńska:** Investigation. **Anna Zielińska-Jurek:** Conceptualization, Methodology, Resources, Writing - original draft, Writing - review & editing, Supervision, Project administration, Funding acquisition.

## Declaration of competing interest

The authors declare that they have no known competing financial interests or personal relationships that could have appeared to influence the work reported in this paper.

## Acknowledgments

This research was financially supported by the Polish National Science Centre, grant no. NCN 2016/23/D/ST5/01021 and Polish Ministry of Science and Higher Education grant no. 0525/E-359/STYP/13/2018 Scholarships for outstanding young scientists. We also acknowledge Piotr Jan Jurek for graphical abstract design and drawing.

## Appendix A. Supplementary data

Supplementary data to this article can be found online at <https://doi.org/10.1016/j.scitotenv.2020.138167>.

## References

- Abdel-Wahab, A.M., Al-Shirbini, A.S., Mohamed, O., Nasr, O., 2017. *Journal of Photochemistry and Photobiology A: Chemistry* 347, 186–198.
- Afsah, E.M., Fadda, A.A., Bondock, S., Hammouda, M.M., 2015. *Zeitschrift Fur Naturforsch. Sect. B Journal of Chemical Sciences* 70, 385–391.
- Amtout, A., Leonelli, R., 1995. *Phys. Rev. B* 51, 6842.
- Babu, R., Kelkar, S., Kashid, V., Achary, S., Salunke, H., Gupta, N., 2014. *RSC Adv.* 4, 33435–33445.
- Brooks, D.R., Jamali, F., 1994. *Etodolac clinical pharmacokinetics. Clin. Pharmacokinet.* 26, 259–274.
- Conrado, J., Fresno, F., Hernandez-Alonso, M., Portela, R., 2013. *Green Energy and Technology*. Springer.
- Farnar Budarz, J., Turolla, A., Piasecki, A.F., Bottero, J.Y., Antonelli, M., Wiesner, M.R., 2017. *Langmuir* 33, 2770.
- Folli, A., Pochard, I., Nonat, A., Jakobsen, U.H., Shepherd, A.M., Macphee, D.E., 2010. *J. Am. Ceram. Soc.* 93, 3360–3369.
- Gadade, D., Pekamwar, S., Lahoti, S.R., Patni, S.D., Sarode, M.C., 2017. *Marmara Pharmaceutical Journal* 21, 78–88.
- Gambarotti, C., Melone, L., Punta, C., 2012. *Semiconductors in Organic Photosynthesis, Artificial Photosynthesis February 24th*.
- Guillard, C., Puzenat, E., Lachheb, H., Houas, A., Herrmann, J.-M., 2005. *International Journal of Photoenergy* 7, 1.
- Guzela, E.Y., Cevika, F., Daglioglu, N., 2019. *Human and Ecological Risk Assessment: An International Journal* 25, 1980–1995.
- Hoshina, K., Horiyama, S., Matsunaga, H., Haginaka, J., 2011. *J. Pharm. Biomed. Anal.* 55, 916–922.
- Howard, P.H., Muir, D.C.G., 2011. *Environmental Science & Technology* 45, 6938–6946.
- Iesce, M., Cermola, F., Temussi, F., 2005. *Curr. Org. Chem.* 9, 109–139.
- Kanakaraju, D., Glass, B.D., Oelgemöller, M., 2018. *J. Environ. Manag.* 219, 189–207.
- Kurian, J., Mathew, M.J., 2018. *J. Magn. Magn. Mater.* 451, 121.
- Lee, Y.J., Padula, J., Lee, H., 1988. *J. Pharm. Sci.* 60, 1193–1196.
- Lee, S.A., Choo, K.H., Lee, C.H., Lee, H.I., Hyeon, T., Choi, W., Kwon, H.H., 2001. *Ind. Eng. Chem. Res.* 40, 1712–1719.
- Lee, J.S., Cha, J.M., Yoon, H.Y., Lee, J.K., Kim, Y.K., 2015. *Sci. Rep.* 5.
- Liu, Y., Tourbin, M., Lachaize, S., Guiraud, P., 2013. *Chemosphere* 92, 681–687.
- Mansour, S.A., 2019. *Ceram. Int.* 45, 2893–2898.
- Martra, G., 2000. *Applied Catalysis A: General* 200, 275–285.
- Mascolo, M.C., Pei, Y., Ring, T.A., 2013. *Materials* 6, 5549.
- Mateo, C.A., Urrutia, A., Rodríguez, J.G., Fonseca, I., Cano, F.H., 1996. *J. Org. Chem.* 61, 810–812.
- Mathew, S., Kumar Prasad, A., Benoy, T., 2012. *J. Fluoresc.* 22, 1563–1569.
- McClay, K., Boss, C., Keresztes, I., Steffan, R.J., 2005. *Appl. Environ. Microbiol.* 71, 5476–5483.
- Meichtry, J.M., Quici, N., Mailhot, G., Litter, M.I., 2011. *Applied Catalysis B Environmental* 102, 555–562.
- Meng, X., Zhuang, Y., Tang, H., Lu, C., 2018. *J. Alloys Compd.* 761, 15–23.
- Mishra, Priti, Patnail, Sulagna, Parida, Kulamani, 2019. *Catalysis Science & Technology* <https://doi.org/10.1039/C8CY02462F>.
- Mozaffari, M., Eghbali Arani, M., Amighian, J., 2010. *J. Magn. Magn. Mater.* 322, 3240.
- Nowotny, M., Bogdanoff, P., Dittrich, T., Fiechter, S., Fujishima, A., Tributsch, H., 2010. *Mater. Lett.* 64, 928–930.
- Ohno, T., Sarukawa, K., Tokieda, K., Matsumura, M.J., 2001. *J. Catal.* 203, 82–86.
- Ohtani, B., 2010. *J. Photochem Photobiol C: Photochem Rev* 11, 157–178.
- Ohtani, B., Ogawa, Y., Nishimoto, S., 1997. *J. Phys. Chem. B* 5647, 3746–3752.
- Passananti, M., Lavorgna, M., Iesce, M.R., DellaGreca, M., Brigante, M., Criscuolo, E., Cermola, F., Isidori, M., 2015. *Sci. Total Environ.* 518–519, 258–265.
- Pérez-López, G., Ramírez-López, R., Viveros, T., 2018. *Catal. Today* 305, 182–191.
- Porter, J.F., Li, Y.G., Chan, C.K., 1995. *J. Mater. Sci.* 34, 1523.
- Saxena, D., Damale, S., Datar, A., 2016. *Int J Pharm Pharm Sci* 8, 127–135.
- Schütze, M., Herrmann, H., 2004. *Phys. Chem. Chem. Phys.* 965–971.
- Scribner, L.L., 1990. *The Measurement and Correction of Electrolyte Resistance in Electrochemical Tests*. ASTM International.
- Shanmugavani, A., Kalai Selvan, R., Layek, S., Sanjeeviraja, C., 2014. *J. Magn. Magn. Mater.* 354, 363.
- Tang, H., Levy, F., Berger, H., Schmid, P.E., 1995. *Phys. Rev. B* 52, 7771.
- Tehrani, F.S., Daadmehr, V., Rezakhani, A.T., Akbarnejad, R.H., Gholipour, S., 2012. *J. Supercond. Nov. Magn.* 25, 2443–2455.
- Teimouri, M., Husain, S.W., Saber-Tehrani, M., Aberoomand-Azar, P., 2019. *Sep. Sci. Technol.* 54.
- Temussi, F., Cermola, F., DellaGreca, M., Iesce, M.R., Passananti, P., Previtera, L., Zarrelli, A., 2011. *J. Pharm. Biomed. Anal.* 56, 678–683.
- Tomita, K., Kawano, M., 1993. *Rep. Fac. Sci. Kagoshima Univ* 26, 1–16.
- Valenti, T.W., Perez-Hurtado, P., Chambliss, C.K., Brooks, B.W., 2009. *Environ. Toxicol. Chem.* 28, 2685–2694.
- Watanabe, H., Tamura, I., Abe, R., Takanobu, H., Nakamura, A., Suzuki, T., Hirose, A., Nishimura, T., Tatarazako, N., 2016. *Environ. Toxicol. Chem.* 35, 996–1006.
- Xu, J., Liang, L., Zheng, H., Chi, Y.R., Tong, R., 2019. *Nat. Commun.* 10, 1–11. <https://doi.org/10.1038/s41467-019-12768-4>.
- Yao, C., Zeng, Q., Goya, G.F., Torres, T., Liu, J., Wu, H., Ge, M., Zeng, Y., Wang, Y., Jiang, J.Z., 2007. *J. Phys. Chem. C* 111, 12274.
- Zeldes, H., Livingston, R., 1971. *J. Am. Chem. Soc.* 93, 1082–1085.
- Zhang, Q., Gao, L., Guo, J., 2000. *Appl. Catal. B Environ.* 26, 207.
- Zhang, G., He, X., Nadagouda, M.N., O'Shea, K.E., Dionysiou, D.D., 2015. *Water Res.* 73, 353.
- Zhu, Y., Ding, C., Ma, G., Du, Z., 1998. *J. Solid State Chem.* 139, 124–127.
- Zielińska-Jurek, A., Bielan, Z., Dudziak, S., Wolak, I., Sobczak, Z., Klimczuk, T., Nowaczyk, G., Hupka, J., 2017a. *Catalysts* 7, 360.
- Zielińska-Jurek, A., Bielan, Z., Wysocka, I., Strychalska, J., Janczarek, M., Klimczuk, T., 2017b. *J. Environ. Manag.* 195, 157–165.

# **Problematyka z zakresu nauk o środowisku – przegląd i badania**

# **Problematyka z zakresu nauk o środowisku – przegląd i badania**

Redakcja:  
Mariola Janiszewska

Lublin 2019

**Wydawnictwo Naukowe TYGIEL składa serdecznie podziękowania  
dla zespołu Recenzentów za zaangażowanie w dokonane recenzje  
oraz merytoryczne wskazówki dla Autorów.**

**Recenzentami niniejszej monografii byli:**

- dr hab. inż. Jacek Czerwiński, prof. PL
- dr hab. inż. Jacek Kapica, prof. UP
- dr hab. Mariola Andrejko
- dr hab. Marzena Brodowska
- dr hab. inż. Zbigniew Grudziński
- dr Artur Banach
- dr n. farm. Anna Biernasiuk
- dr Izabela Kot
- dr Justyna Kujawska
- dr Agnieszka Kuźniar
- dr inż. Michał Marzec
- dr Anna Mazurek-Kusiak
- dr n. med. Łukasz Pilarz
- dr Anna Pytlak
- dr inż. Rafał Sochaczewski
- dr inż. Zbigniew Suchorab
- dr Iwona Wertel
- dr inż. Marcin K. Widomski
- dr inż. Wioletta Wróblewska

Wszystkie opublikowane rozdziały otrzymały pozytywne recenzje.

Skład i łamanie:

Monika Maciąg  
Ewelina Chodźko

Projekt okładki:

Marcin Szklarczyk

© Copyright by Wydawnictwo Naukowe TYGIEL sp. z o.o.

ISBN 978-83-65932-93-8

Wydawca:

Wydawnictwo Naukowe TYGIEL sp. z o.o.  
ul. Głowackiego 35/341, 20-060 Lublin  
[www.wydawnictwo-tygiel.pl](http://www.wydawnictwo-tygiel.pl)

# Synteza i charakterystyka nanokompozytów TiO<sub>2</sub> o właściwościach magnetycznych do degradacji zanieczyszczeń organicznych w fazie wodnej

## 1. Wprowadzenie

Tlenek tytanu(IV) należy do tlenków metali przejściowych, jest najbardziej rozpowszechnionym i najtrwalszym związkiem tytanu. Występuje w przyrodzie w postaci minerałów: tetragonalnego rutylu i anatazu oraz rombowego brukitu. TiO<sub>2</sub> jest szeroko stosowany w przemyśle farb i lakierów, tworzyw sztucznych, włókien syntetycznych jako biały pigment pod nazwą biel tytanowa. Jest związkiem nietoksycznym, stabilnym w szerokim zakresie pH oraz relatywnie tanim. Pomimo że większość parametrów fizyko-chemicznych dotyczy TiO<sub>2</sub> niezależnie od wielkości cząstek, istnieją specyficzne właściwości, które wykazują jedynie cząstki w skali nano, szczególnie o wielkości od kilku do kilkunastu nanometrów. Obniżenie kąta zwilżania poniżej 5° dla powierzchni impregnowanej nanocząsttkami TiO<sub>2</sub> tzw. superhydrofilowość powierzchni czy zdolność generowania reaktywnych form tlenu indukowana promieniowaniem elektromagnetycznym decydują o zastosowaniu nano-TiO<sub>2</sub> w inżynierii materiałowej, a w szczególności fotokatalizie heterogenicznej [1].

Fotokataliza (zgodnie z definicją podaną przez IUPAC) jest reakcją, która polega na absorpcji światła przez fotokatalizator lub substrat, natomiast fotokatalizator to substancja, która umożliwia reakcję w obecności światła i nie zużywa się w jej trakcie. Termin „heterogeniczna” oznacza, że reakcja katalizowana zachodzi na granicy faz pomiędzy ciałem stałym i gazową lub ciekłą mieszaniną reagentów. W procesie fotokatalitycznym najczęściej wykorzystywane są tlenki metali przejściowych typu „n”, takie jak: ZnO, ZrO<sub>2</sub>, WO<sub>3</sub> czy TiO<sub>2</sub>. Spośród nich to TiO<sub>2</sub> wykazuje najwyższą aktywność w reakcjach degradacji związków organicznych i jest obecnie najczęściej stosowanym fotokatalizatorem.

## 2. Podstawy procesu fotokatalizy

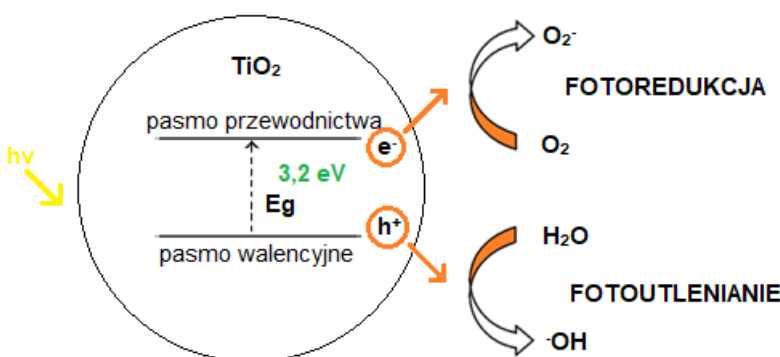
Zgodnie z pasmową teorią ciała stałego, półprzewodniki wykazują pasmową strukturę – występuje w nich niskoenergetyczne pasmo walencyjne, wysokoenergetyczne pasmo przewodnictwa i rozdzielająca je przerwa energetyczna nazywana pasmem wzbronionym. Podczas naświetlania fotokatalizatora, w wyniku absorpcji kwantu promieniowania o energii przekraczającej energię pasma wzbronionego, cząsteczka fotokatalizatora ulega wzbudzeniu. W przypadku tlenku tytanu(IV) szerokość pasma

<sup>1</sup> im.izabela.malinowska@gmail.com, Katedra Inżynierii Procesowej i Technologii Chemicznej, Wydział Chemiczny, Politechnika Gdańsk, www.pg.gda.pl

<sup>2</sup> s160122@student.pg.edu.pl, Katedra Inżynierii Procesowej i Technologii Chemicznej, Wydział Chemiczny, Politechnika Gdańsk, www.pg.gda.pl

<sup>3</sup> annjurek@pg.edu.pl, Katedra Inżynierii Procesowej i Technologii Chemicznej, Wydział Chemiczny, Politechnika Gdańsk, www.pg.gda.pl

wzbronionego wynosi około 3,2 eV, co oznacza, że do wzbudzenia cząsteczki  $TiO_2$  potrzebna jest fala elektromagnetyczna niosąca co najmniej taką energię [2]. Wybita z pasma walencyjnego elektron zostaje przeniesiona do pasma przewodnictwa. W miejscu wybitego elektronu w paśmie walencyjnym powstaje luka elektronowa (tzw. dziura elektronowa), czyli nieobsadzony poziom energetyczny, zachowujący się jak dodatni nośnik ładunku elektrycznego. Powstałe nośniki ładunków mogą migrować na powierzchnię fotokatalizatora i brać udział w reakcjach utleniania i redukcji związków chemicznych zaadsorbowanych na powierzchni półprzewodnika. W przypadku reakcji wzbudzonych elektronów z zaadsorbowanym tlenem oraz luk elektronowych z cząsteczkami wody powstają reaktywne formy tlenu (ROS z ang. *Reactive Oxygen Species*), takie jak: rodniki hydroksylowe, nadtlenkowe, anionorodniki tlenowe i tlen singletowy [3]. Reaktywne formy tlenu charakteryzują się wysokimi potencjałami utleniającymi, przez co są w stanie efektywnie utleniać związki organiczne niepodatne na rozkład biologiczny do prostych związków – tlenku węgla(IV) i wody. Schematycznie proces fotokatalityczny zachodzący w obecności  $TiO_2$  został przedstawiony na rysunku 1.



Rysunek 1. Schemat procesu fotokatalitycznego zachodzącego na powierzchni  $TiO_2$  [opracowanie własne]

### 3. Wyzwania technologiczne związane z zastosowaniem $TiO_2$ w procesie fotokatalitycznym

W porównaniu z innymi fotokatalizatorami półprzewodnikowymi  $TiO_2$  jest najbardziej obiecującym materiałem, jednak jego zastosowanie w procesie fotokatalitycznym jest utrudnione ze względu na kilka specyficznych właściwości. Odmiany polimorficzne  $TiO_2$  charakteryzują się szerokością przerwy wzbronionej wynoszącej około 3,2 eV [4]. Wymusza to wzbudzanie cząsteczek fotokatalizatora falą elektromagnetyczną o długości co najmniej 388 nm. Światło z zakresu UV stanowi jedynie od 3 do 5% zakresu widma promieniowania słonecznego, co w procesie technologicznym generuje konieczność stosowania lamp UV do aktywacji fotokatalizatora. Ponadto w cząsteczkach  $TiO_2$  zachodzi szybka rekombinacja wzbudzonych nośników ładunków, co znacznie zmniejsza wydajność reakcji fotokatalitycznej [5]. W celu zwiększenia efektywnego wykorzystania światła słonecznego w procesach fotokatalitycznych i zmniejszenia stopnia rekombinacji nośników ładunku stosuje się domieszkowanie

TiO<sub>2</sub> niemetalami oraz modyfikację powierzchni fotokatalizatora za pomocą metali przejściowych.

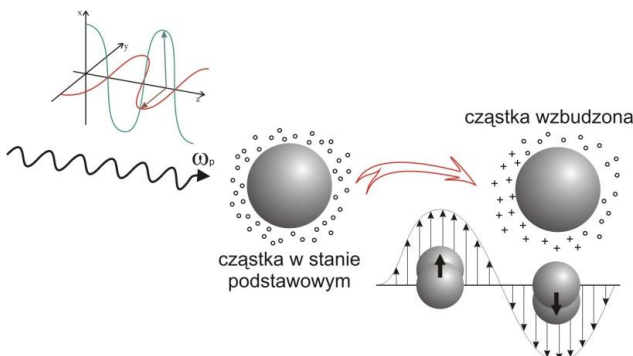
Kolejnym istotnym aspektem związanym z zastosowaniem TiO<sub>2</sub> do oczyszczania wód i ścieków jest separacja fotokatalizatora z zawiesiny reakcyjnej w celu ponownego wykorzystania. Do stosowanych obecnie metod można zaklasyfikować metody sedymentacji, koagulacji czy ultrafiltracji [6], które często okazują się być mało skuteczne ze względu na obecność ultradrobnych cząstek w cieczy nad osadem, bądź generując zbyt wysokie koszty separacji. Spośród proponowanych rozwiązań można wymienić także immobilizację TiO<sub>2</sub> na nośniku stałym, np. ceramice, węglu aktywowanym, zeolicie, co prowadzi jednak do redukcji powierzchni właściwej fotokatalizatora. Ponadto warstwa fotokatalizatora jest nietrwała i ulega zniszczeniu w trakcie kolejnych reakcji fotokatalitycznych, a osadzające się na niej produkty pośrednie degradacji znaczająco zmniejszają aktywność fotokatalityczną. W tym odniesieniu, obiecującym rozwiązaniem jest osadzenie fotokatalitycznej warstwy TiO<sub>2</sub> na powierzchni rdzenia magnetycznego, co umożliwia proste i efektywne odseparowanie cząstek fotokatalizatora z zawiesiny reakcyjnej po przyłożeniu zewnętrznego pola magnetycznego [7].

#### **4. Modyfikacja powierzchni fotokatalizatora cząstками metali przejściowych**

Jedną z metod aktywacji TiO<sub>2</sub> w szerszym zakresie spektrum promieniowania elektromagnetycznego oraz zwiększenia stopnia separacji nośników ładunku jest modyfikacja powierzchni fotokatalizatora za pomocą cząstek metali przejściowych, w szczególności nanocząstek metali szlachetnych [8], takich jak: platyna (Pt) czy pallad (Pd). Nanocząstki metali szlachetnych (ang. *plasmonic metal nanoparticles*, NPs) mogą zostać osadzone na powierzchni fotokatalizatora metodą sonochemiczną [9], metodami fotochemicznymi [10] lub metodą chemicznej redukcji [11]. Wielkość i zawartość cząstek metali szlachetnych na powierzchni TiO<sub>2</sub> są istotnymi czynnikami, które mogą wpływać na aktywność fotokatalizatora. W przypadku dużej zawartości cząstek metali na powierzchni fotokatalizatora może dojść do zablokowania centrów aktywnych oraz zmniejszenia drogi przenoszenia ładunków, co może prowadzić do wzrostu stopnia rekombinacji elektronów z lukami elektronowymi [12]. Negatywny efekt modyfikacji powierzchni fotokatalizatora cząstками metali szlachetnych jest widoczny w przypadku przekroczenia optymalnej ilości 1% wagowego metalu w stosunku do masy fotokatalizatora [13]. Również zbyt mała zawartość cząstek metalu szlachetnego nie gwarantuje aktywizacji TiO<sub>2</sub>, ze względu na zbyt małą powierzchnię kontaktu elektrycznego potrzebnego do efektywnej wymiany ładunków.

Wpływ NPs na aktywność fotokatalityczną TiO<sub>2</sub> może przejawiać się na kilka sposobów. Czysty TiO<sub>2</sub> wykazuje silną absorpcję promieniowania elektromagnetycznego w zakresie poniżej 400 nm, skutkującą przeniesieniem ładunku z pasma walencyjnego (tworzonego zazwyczaj przez orbitale 2p anionów tlenowych) do pasma przewodnictwa (tworzonego przez orbitale 3d kationów Ti<sup>4+</sup>) [14]. Widma reflektancji TiO<sub>2</sub> z dodatkiem NPs (Pt, Au oraz Pd) wskazują na występowanie przesunięcia batochromowego, czyli zwiększenia absorpcji w kierunku wyższych długości fal [12]. Nanocząstki metali wykazują zdolność do absorbowania promieniowania z zakresu widzialnego, który odpowiada długościom fal powyżej 400 nm. Jest to spowodowane występowaniem zlokalizowanego rezonansu plazmonu powierzchniowego (ang. *Localized Surface Plasmon Resonance*, LSPR), czyli drgań oscylacyjnych gęstości

swobodnych elektronów. LSPR występuje, jeżeli na elektryny z pasma przewodnictwa metalu oddziałuje pole elektromagnetyczne, które wprawia elektryny w drgania, patrz rysunek 2. Po jednej stronie nanocząstki tworzy się ładunek ujemny (chmura elektrownowa), natomiast po drugiej stronie – ładunek dodatni [15]. Oscylujące naprzemiennie ładunki emitują fale elektromagnetyczne, które sprzyjają wzbudzeniu większej ilości elektronów i dziur, a także podnoszą temperaturę ośrodka, zwiększając szybkość zachodzących reakcji. Występowanie LSPR powoduje również transfer elektronu ze wzbudzonej cząstki metalu szlachetnego do pasma przewodnictwa tlenku tytanu(IV). W przypadku platyny stwierdzono także intensywną adsorpcję grup hydroksylowych na jej powierzchni, które działając jako donory elektronów są w stanie efektywnie zmiatać fotogenerowane luki elektronowe w paśmie walencyjnym półprzewodnika [16].



Rysunek 2. Zlokalizowany rezonans plazmonu powierzchniowego dla nanocząstek metalu [opracowanie własne]

Kontakt elektryczny nanocząstek metali z powierzchnią półprzewodników skutkuje również wytworzeniem bariery Schottky’ego, która zapobiega migracji elektronów do struktury objętościowej fotokatalizatora, działając jako centrum pułapkowania elektronów, przez co efektywnie zmniejsza się stopień rekombinacji nośników ładunku [15, 16]. Wielkość bariery Schottky’ego odpowiada różnicy pomiędzy pasmem przewodnictwa półprzewodnika i poziomem Fermiego metalu; wzbudzone elektryny po pokonaniu bariery, pozostawiają dodatkowe luki elektronowe, które po migracji na powierzchnię fotokatalizatora biorą udział w reakcjach utleniania związków organicznych.

## 5. Domieszkowanie tlenku tytanu(IV) niemetalam

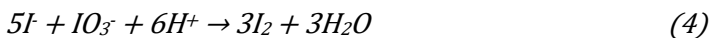
Najnowsze trendy w nauce i inżynierii prowadzą do wykorzystania odnawialnych źródeł energii. Efektywne wykorzystanie energii słonecznej jest bardzo ważnym aspektem w fotokatalizie. Spośród znanych i przebadanych fotokatalizatorów tlenek tytanu(IV) –  $TiO_2$  jest najczęściej wykorzystywany ze względu na jego wysoką wydajność, niski koszt, stabilność chemiczną i fotochemiczną [18]. Obecnie prowadzone są badania dotyczące modyfikacji  $TiO_2$ , tak aby fotokatalityczna aktywacja zachodziła pod wpływem światła widzialnego. Jednym z możliwych rozwiązań jest domieszkowanie  $TiO_2$  za pomocą niemetali, takich jak: azot (N), siarka (S), węgiel (C), fluor (F) czy jod (I). Wyróżnia się dwa sposoby domieszkowania niemetalami. W pierwszym z nich domieszka zastępuje atomy tlenu (domieszkowanie zastępcze),

natomiaszt w drugim wbudowuje się w strukturę międzywęzłową (domieszkowanie międzywęzłowe). W pierwszym przypadku domieszkowania atom tlenu jest zastępowany przez inne pierwiastki chemiczne m.in. azot, węgiel czy bor, a pasmo walencyjne półprzewodnika może zostać pozbawione odpowiednio jednego, dwóch lub trzech elektronów. Im mniejszy jest atom pełniący funkcję domieszki, tym wyższa jest energia pasma 2p z powodu mniejszego efektywnego ładunku jądra. Domieszkowanie w strukturze międzywęzłowej ma miejsce wtedy, gdy rozmiary atomów domieszki są na tyle małe, że mogą migrować do wnętrza struktury półprzewodnika i wbudowywać się w płaszczyznę międzywęzłową. Domieszka pełni funkcję donora elektronów. W przypadku domieszkowania zastępczego tlenku tytanu(IV) azotem, powstaje pasmo 2p 0,14 eV nad pasmem walencyjnym. Niesparowany elektron zlokalizowany jest na paśmie p azotu, prostopadle do płaszczyzny wyznaczającej przez trzy atomy tytanu. W domieszkowaniu międzywęzłowym niesparowany elektron jest dzielony między atom azotu i tlenu, natomiast gęstość spinowa zlokalizowana jest na wiązaniu  $\pi$  [19]. Oba sposoby domieszkowania są tak samo faworyzowane termodynamicznie, wprowadzając nowe stany energetyczne pomiędzy pasmem walencyjnym a pasmem przewodnictwa i zależą od potencjału utleniającego w trakcie procesu domieszkowania. Bor jest zdolny do oddania trzech elektronów do struktury  $TiO_2$ , co skutkuje powstawaniem trzech indywidualiów  $Ti^{3+}$ . Atom boru może wbudowywać się w sieć z trzema lub czteroma atomami tlenu tworząc wiązania B-O. Jony  $Ti^{3+}$  mogą zostać zasocjowane z trzema stanami B-O, co prowadzi do utworzenia boranu tytanu. Powstają dwa nowe pasma. Pierwsze leży 1,2 eV poniżej pasma przewodnictwa, natomiast drugie 1,59 eV poniżej pasma walencyjnego [20].

Węgiel charakteryzuje się większą elektrojemnością od boru, jest zdolny do oddania dwóch elektronów, w konsekwencji, czego powstają dwa pasma  $Ti^{3+}$  położone 1,09 eV poniżej pasma przewodnictwa. Dochodzi również do utworzenia pasm 1,73 eV poniżej pasma podstawowego (wiązanie C-O) oraz 1,87 eV powyżej pasma walencyjnego (wolna para elektronowa) fotokatalizatora [20].

Zaletą jodu w stosunku do innych niemetali jest możliwość uzyskania struktury charakteryzującej się wysoką zawartością wakancji tlenowych. Rezultatem domieszkowania jodem jest również wytworzenie nowych wiązań I-O-Ti oraz jednoczesna redukcja jonów tytanowych  $Ti^{4+}$  do  $Ti^{3+}$ . Dodatkowo, podczas reakcji fotokatalitycznej, wbudowane jony jodu pełnią funkcję pułapki elektronowej, hamując szybkość rekombinacji par elektron-dziura [21-25]. Jod wbudowuje się w strukturę  $TiO_2$  w formie multiwalencyjnej ( $I^{7+}/I$ ), jonowej:  $IO_3^-$ ,  $IO_4^-$ ,  $I^{5+}$  oraz cząsteczkowej  $I_2$ , dzięki czemu wzrasta efektywność fotokatalityczna półprzewodnika. Domieszkowanie jodem zmniejsza również energię pasma wzbronionego fotokatalizatora, stwarzając możliwość aktywacji tlenku tytanu (IV) promieniowaniem z zakresu światła widzialnego.

W wyniku domieszkowania struktury  $TiO_2$  za pomocą jodu zachodzą następujące reakcje:



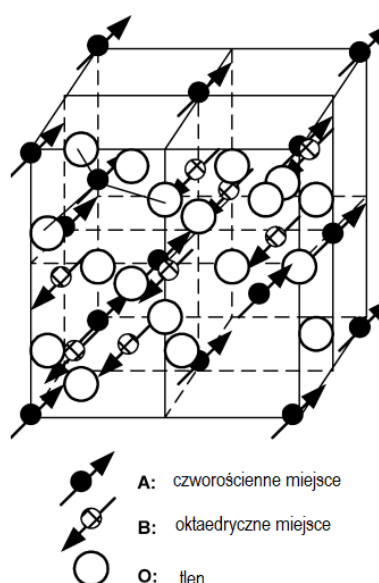
Podsumowując, w wyniku domieszkowania powstają nowe stany energetyczne położone poniżej pasma przewodnictwa  $TiO_2$ . Ponadto, powstające wakancje tlenowe, zarówno na powierzchni, jak i w strukturze półprzewodnika, pełnią podwójną funkcję: zwiększą absorpcję promieniowania z zakresu widzialnego i bliskiej podczerwieni oraz odgrywają rolę miejsc aktywnych fotokatalizatora.

## 6. Ferryty spinelowe

W ostatnich latach prowadzone są badania związane z zastosowaniem ferrytów spinelowych jako materiałów magnetycznych, optycznych, półprzewodnikowych do degradacji barwników. Znalazły zastosowanie również w elektronice, biomedycynie, obrazowaniu medycznym i katalizie [26-31].

Struktura ferrytu spinelowego  $MeFe_2O_4$ , gdzie  $Me$  oznacza odpowiedni metal, jest opisywana jako sześcienny, ściśle upakowany układ atomów tlenu, z  $Me^{2+}$  i  $Fe^{3+}$  w dwóch różnych miejscach krystalograficznych. Miejsca te mają koordynację tetraedryczną i oktaedroksygenową (określaną odpowiednio jako miejsca A i B), w wyniku czego lokalne symetrie obu miejsc są różne [26]. Struktura została przedstawiona na rysunku 3. Struktura spinelu zawiera dwa miejsca kationowe dla kationów metali: 8 miejsc A, w których znajdują się kationy metali koordynowane tetraedrycznie z tlenem oraz 16 miejsc B, które posiadają koordynację oktaedryczną. Kiedy miejsca A są zajęte przez kationy  $Me^{2+}$ , a miejsca B zajęte przez  $Fe^{3+}$ , to uzyskuje się normalną strukturę spinelową o wzorze  $(Me^{2+})[Fe_2^{3+}]O_4^{2-}$ , przykładem takiej struktury są cynkowe ferryty spinelowe,  $(Zn^{2+})[Fe^{2+}Fe^{3+}]O_4^{2-}$ .

Odwrotna struktura spinelowa o wzorze  $(Fe^{3+})[Me^{2+}Fe^{3+}]O_4^{2-}$  powstaje, gdy miejsca A są całkowicie zajęte przez kationy  $Fe^{3+}$ , a miejsca B są zajmowane przez kationy  $Me^{2+}$  i  $Fe^{3+}$ . Opisaną strukturę posiadają magnetyt ( $Fe_3O_4$ ), niklowy ferryt spinelowy ( $NiFe_2O_4$ ) oraz kobaltowy ferryt spinelowy ( $CoFe_2O_4$ ) [26-28].



Rysunek 3. Struktura ferrytów spinelowych [26]

Mieszana struktura spinelu powstaje, gdy kationy  $\text{Me}^{2+}$  i  $\text{Fe}^{3+}$  zajmują pozycje A i B, wzór strukturalny tego ferrytu to  $(\text{Me}_{1-\delta}^{2+}\text{Fe}_{\delta}^{3+})[\text{Me}_{\delta}^{2+}\text{Fe}_{2-\delta}^{3+}]O_4^{2-}$ , gdzie  $\delta$  to stopień inwersji. Manganowy ferryt spinelowy  $\text{MnFe}_2\text{O}_4$  reprezentuje ten typ struktury i ma stopień inwersji  $\delta = 0,2$ , a zatem jego struktura wygląda następująco:  $(\text{Me}_{0,8}^{2+}\text{Fe}_{\delta}^{3+})[\text{Me}_{0,2}^{2+}\text{Fe}_{1,8}^{3+}]O_4^{2-}$ .

Właściwości magnetyczne ferrytów zostały wyjaśnione przez Neel'a, który stwierdził, że momenty magnetyczne ferrytów są sumą momentów magnetycznych w poszczególnych podsieciach [29]. W zależności od wymiany elektronów pomiędzy jonami w określonych podsieciach A i B, powstają różne wzajemne interakcje:

- interakcja A-B, interakcje jonów podsieci A i B, które są najsilniejsze,
- interakcja A-A, około dziesięciokrotnie słabsza od interakcji A-B,
- interakcja B-B, która jest najsłabsza.

W ferrytach spinelowych dominują interakcje typu A-B. W ferrytach spinelowych o odwróconej strukturze krystalograficznej połowa jonów  $\text{Fe}^{3+}$  jest umieszczona na tetraedrycznych miejscach A, a pozostała część w oktaedrycznych miejscach B. Ich momenty magnetyczne są wzajemnie skompensowane, a moment magnetyczny ferrytu wynika z sumy spinów momentów magnetycznych dwuwartościowych kationów  $\text{Me}^{2+}$  w miejscach B.

Ferryt cynkowy  $\text{ZnFe}_2\text{O}_4$  jest jednym z szeregu spineli sześciennych na bazie żelaza, z podstawową strukturą spinelu z jonami Zn w miejscach tetraedrycznych (A) i jonami Fe w oktaedrycznych miejscach [B]. Ze względu na superaktywne oddziaływanie antyferomagnetyczne pomiędzy jonami B-B, spinelowy ferryt cynku jest antyferomagnetyczny. Charakteryzuje się magnetyczną strukturą materiału, polegającą na antyrównoległym uporządkowaniu elementarnych momentów magnetycznych w podsieciach sieci krystalicznej. Otrzymane spinelowe ferryty cynkowe charakteryzują się normalną strukturą  $\text{ZnFe}_2\text{O}_4$ , gdzie jony cynku  $\text{Zn}^{2+}$  zajmują głównie tetraedryczne miejsca A, a jony żelaza  $\text{Fe}^{3+}$  znajdują się w oktaedrycznych miejscach B sieci spinelowej  $\text{AB}_2\text{O}_4$  [6]. Spinelowy ferryt cynkowy jest paramagnetykiem w temperaturze pokojowej, wynika to z zajęcia przez niemagnetyczne atomy cynku tetraedrycznych miejsc w strukturze krystalograficznej [30]. Jednakże rozdrobnienie tego materiału do wielkości cząstek rzędu nanometrów sprzyja otrzymywaniu mieszanej struktury spinelu o wzorze  $(\text{Zn}_{1-x}^{2+}\text{Fe}_{x}^{3+})[\text{Fe}_{2-x}^{3+}]O_4^{2-}$ , w której jony  $\text{Zn}^{2+}$  i  $\text{Fe}^{3+}$  są rozmieszczone wzdłuż miejsc A i B, a nawiasy okrągłe i kwadratowe oznaaczają odpowiednio miejsca A i B, zaś x oznacza stopień inwersji [25].

Magnetyczne nanocząstki ferrytów spinelowych wykazują zjawisko superparamagnetyzmu. Posiadają mniejszą magnetyzację niż klasyczne materiały ze względu na obecność amorficznej, niemagnetycznej warstwy o grubości 1-2 nm na powierzchni materiału. Jednocześnie wykazują wyższą niż materiał makroskopowy wartość poczatkowej podatności magnetycznej.

## 7. Wyniki badań i ich dyskusja

Nanokompozyty  $\text{TiO}_2$  o właściwościach magnetycznych otrzymano w wyniku impregnacji powierzchniowej cząstek ferrytu cynkowego warstwą  $\text{SiO}_2$ , a następnie  $\text{TiO}_2$ . W pierwszym etapie magnetyczne rdzenie oparte na ferrytach spinelowych domieszkowanych cynkiem syntezowano metodą hydrotermalną. w tym celu sole

metali odpowiednio  $FeSO_4 \cdot 7H_2O$  i  $ZnCl_2$  rozpuszczono w wodzie destylowanej. Połączono dwa jednorodne roztwory i dodawano 5M NaOH w temperaturze pokojowej do pH = 12. Otrzymaną zawiesinę umieszczono w autoklawie ze stali nierdzewnej wyłożonym teflonem i prowadzono reakcję hydrotermalną w temperaturze 200°C przez 5 godzin. Otrzymany produkt separowano magnetycznie, przemywano wodą dejonizowaną i suszono w temperaturze 100°C do stałej masy.

W celu otrzymania warstwy inertnej wykorzystano metodę Stöbera. Cząstki  $ZnFe_2O_4$  zdyspergowano w mieszaninie etanolu i wody dejonizowanej w stosunku 4:1. w trakcie mieszania dodano roztwór wody amoniakalnej do pH = 12. Po dodaniu prekursora krzemionki tetraetoksylanu (TEOS) w stosunku molowym 8:1 do części Ferry'ego cynkowego, kontynuowano mieszanie w temperaturze pokojowej przez 6 godzin, następnie części odseparowano magnetycznie, przemyto trzykrotnie mieszającą etanolu z wodą w stosunku 1:1 i suszono w 60°C do stałej masy.

W kolejnym etapie otrzymane części  $ZnFe_2O_4@SiO_2$  zdyspergowano w alkoholu izopropylowym z dodatkiem trietylenoaminy. Do układu dodano prekursor  $TiO_2$  – tertbutanolian tytanu (TBT). W przypadku próbek domieszkowanych jodem na etapie hydrolizy prekursora  $TiO_2$ , do układu reakcyjnego wprowadzono odpowiednią objętość wodnego roztworu kwasu jodowego(V). Mieszanię umieszczono w autoklawie ze stali nierdzewnej wyłożonym teflonem i prowadzono reakcję przez 24 godziny w temperaturze 200°C. Otrzymaną zawiesinę częstek separowano magnetycznie i przemywano kilkukrotnie wodą dejonizowaną i alkoholem etylowym (70:30), a następnie suszono w 60°C do stałej masy. Otrzymane części kalcynowano w temperaturze 300-400°C przez 2 godziny.

W celu zmniejszenia stopnia rekombinacji nośników ładunku w reakcji fotokatalitycznej, powierzchnię fotokatalizatora na bazie  $TiO_2$  dodatkowo modyfikowano nanocząstkami metali szlachetnych Pt lub Pd. Otrzymane nanokompozyty  $ZnFe_2O_4/SiO_2/TiO_2$  zdyspergowano w wodzie dejonizowanej i dodano do nich prekursory metali –  $H_2PtCl_6$  i  $PdCl_2$  w ilości 0,1% mol. W stosunku do liczby moli  $TiO_2$ . Następnie do mieszaniny dodano reduktor – roztwór wodny borowodorku sodu w nadmiarze molowym w stosunku do jonów metali wynoszącym 3:1. Otrzymane nanokompozyty separowano magnetycznie i suszono w temperaturze 70°C do stałej masy.

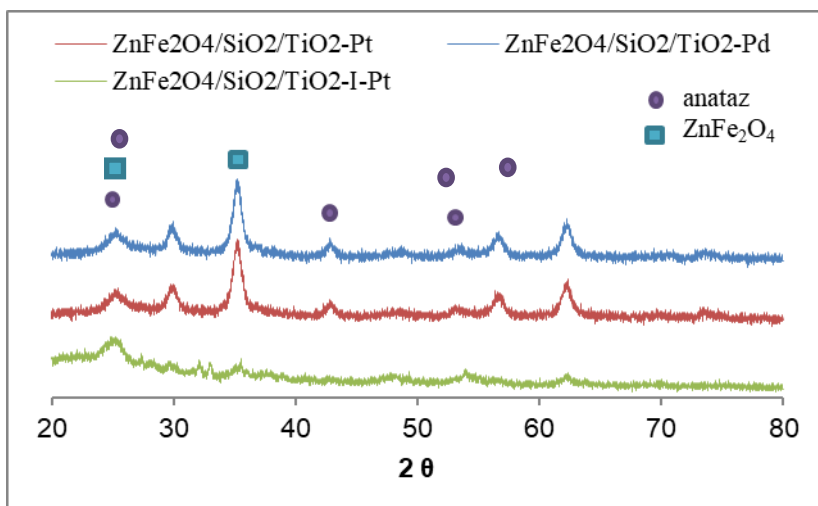
Morfologię otrzymanych nanokompozytów o właściwościach magnetycznych określono poprzez analizę powierzchnię właściwej metodą izotermę BET (Brunauer'a, Emmett'a i Teller'a), wykorzystując aparat Micromeritics Gemini V. Analizy dyfrakcji rentgenowskiej otrzymanych nanokompozytów zostały wykonane za pomocą aparatu MiniFlex 600 firmy Rigaku, parametry analizy: zakres kątów odbłysku 5-80°, prędkość skanowania: 1,00°/min, krok skanowania: 0,008°. Właściwości absorpcyjne zbadano na podstawie analizy spektroskopowej DR/UV-Vis oraz na ich podstawie z przekształcenia Tauca wyznaczono szerokość przerwy energetycznej (Eg). Do ramienia powstałego po przeliczeniu reflektancji na funkcję Kubelka-Munk (KM) zależności wyznaczono styczną przechodzącą przez oś X. Punkt przecięcia stycznej z osią X definiuje szerokość przerwy wzbronionej. Pomiary wykonano za pomocą spektrometru UV/Vis DR Thermo Scientific Evolution 220 wyposażonego w przystawkę z kulą fotometryczną. Charakterystykę otrzymanych fotokatalizatorów magnetycznych na bazie  $TiO_2$  modyfikowanych częstek Pt, Pd i domieszkowanych jodem przedstawiono w tabeli 1.

Tabela 1. Charakterystyka fizykochemiczna otrzymanych fotokatalizatorów magnetycznych

Nazwa próbki	BET [m <sup>2</sup> /g]	Wielkość krystalitów [nm]	E <sub>g</sub> [eV]	Efektywność degradacji fenolu, [%] $\lambda > 400$ nm	Efektywność degradacji fenolu, [%] UV-Vis
ZnFe <sub>2</sub> O <sub>4</sub> /SiO <sub>2</sub> /TiO <sub>2</sub> -Pd	180	9	2,9	28	30
ZnFe <sub>2</sub> O <sub>4</sub> /SiO <sub>2</sub> /TiO <sub>2</sub> -Pt	183	10	2,9	29	53
ZnFe <sub>2</sub> O <sub>4</sub> /SiO <sub>2</sub> /TiO <sub>2</sub> -I-Pt	185	10	2,2	32	77
ZnFe <sub>2</sub> O <sub>4</sub> /SiO <sub>2</sub> /TiO <sub>2</sub> -I	190	9	2,1	30	40

Nanokompozyty na bazie TiO<sub>2</sub> modyfikowane nanocząsteczkami Pt oraz Pd otrzymane w wyniku reakcji hydrotermalnej charakteryzują się znacznym rozwinięciem powierzchni właściwej. Powierzchnia właściwa BET zawierała się w przedziale od 180 m<sup>2</sup>/g do 190 m<sup>2</sup>/g. Otrzymane fotokatalizatory charakteryzowały się zbliżonym składem. Dominującą frakcję stanowił anataz o średniej wielkości krystalitów tlenku tytanu(IV) wynoszącej około 7 nm. Wielkość krystalitów ferrytu cynkowego wynosiła około 9-10 nm.

Na rysunku 4 przedstawiono widma dyfrakcyjne otrzymanych fotokatalizatorów. Na dyfraktogramach nie są widoczne refleksy odnoszące się do fazy krystalicznej krzemionki. Spowodowane jest to temperaturą kalcynacji wynoszącą 300°C dla ZnFe<sub>2</sub>O<sub>4</sub>/SiO<sub>2</sub>/TiO<sub>2</sub>-I-Pt i ZnFe<sub>2</sub>O<sub>4</sub>/SiO<sub>2</sub>/TiO<sub>2</sub>-I oraz 400°C dla ZnFe<sub>2</sub>O<sub>4</sub>/SiO<sub>2</sub>/TiO<sub>2</sub>-Pt i ZnFe<sub>2</sub>O<sub>4</sub>/SiO<sub>2</sub>/TiO<sub>2</sub>-Pd. Obecność krystalicznej krzemionki obserwuje się podczas wygrzewania w temperaturze powyżej 500°C. Na widmie dyfrakcyjnym widoczne są refleksy charakterystyczne dla anatazu przy wartościach kąta odbłysku 25,2°, 36,9°, 37,8°, 48,0°, 53,9°, 55,4°, 56,6°, 62,1°, odpowiadające strukturom krystalicznym [101], [103], [004], [112], [200], [105], [211], [220], [213] (karta JCPDS nr 89-4203).

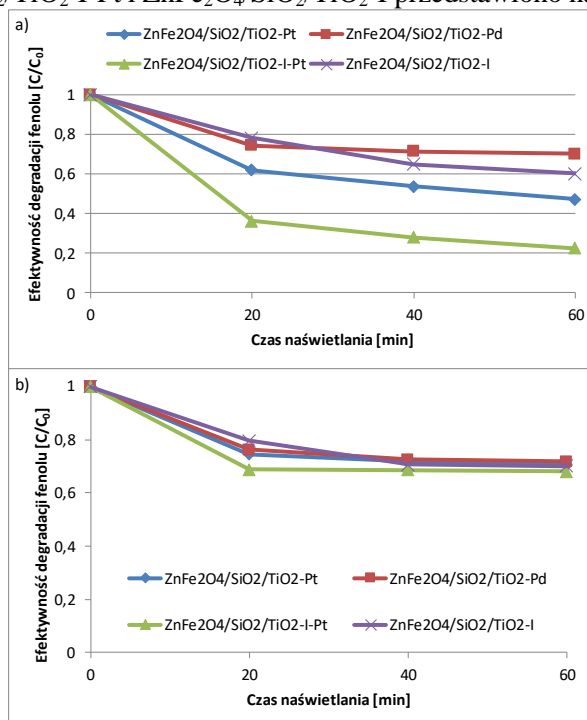


Rysunek 4. Widmo XRD nanokompozytów ZnFe<sub>2</sub>O<sub>4</sub>/SiO<sub>2</sub>/TiO<sub>2</sub>-Pt, ZnFe<sub>2</sub>O<sub>4</sub>/SiO<sub>2</sub>/TiO<sub>2</sub>-Pd i ZnFe<sub>2</sub>O<sub>4</sub>/SiO<sub>2</sub>/TiO<sub>2</sub>-I-Pt

Nanocząstki  $ZnFe_2O_4$  wykazują intensywny pik przy  $2\theta = 35,2^\circ$ , który potwierdza wysoko krystaliczną sześcienną strukturę spinelu, zgodnie z normą widma  $ZnFe_2O_4$  XRD (karta JCPDS nr 22-1012).

Tlenek tytanu(IV) charakteryzuje się szerokością przerwy energetycznej wynoszącą około 3,2 eV, przez co efektywnie absorbuje promieniowanie w zakresie UV ( $\lambda \geq 388$  nm), modyfikacja tlenku tytanu (IV) cząstkkami Pt, Pd oraz i spowodowało zmniejszenie szerokości przerwy energetycznej, co pozwoliło na absorpcję promieniowania z zakresu światła widzialnego. Wartości Eg dla otrzymanych nanokompozytów mieściły się w zakresie od 2,1eV dla fotokatalizatorów domieszkowanych jodem ( $ZnFe_2O_4/SiO_2/TiO_2-I$  i  $ZnFe_2O_4/SiO_2/TiO_2-I/Pt$ ) do 2,9 eV dla fotokatalizatorów modyfikowanych platyną lub palladem ( $ZnFe_2O_4/SiO_2/TiO_2-Pt$  i  $ZnFe_2O_4/SiO_2/TiO_2-Pd$ ).

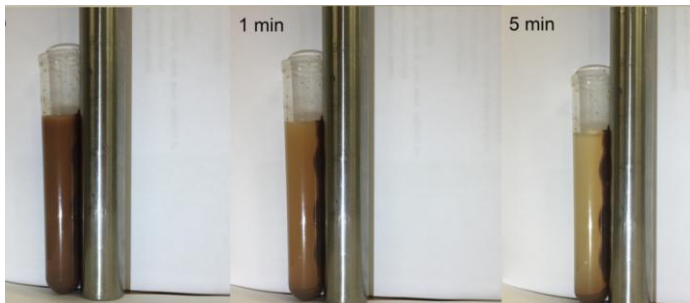
Właściwości fotokatalityczne otrzymanych nanokompozytów zbadano w reakcji degradacji fenolu. Fenol stanowi modelowe zanieczyszczenie organiczne. W czasie reakcji degradacji fenolu w fazie wodnej zastosowano następujące parametry procesu: stężenie fenolu wynosiło  $20 \text{ mg}/\text{dm}^3$ , całkowita objętość reaktora  $0,025 \text{ dm}^3$ , do reakcji użyto  $2 \text{ g}/\text{dm}^3$  nanokompozytu, całkowity czas naświetlania wynosił 60 min. Efektywność degradacji fenolu pod wpływem promieniowania widzialnego ( $\lambda > 420 \text{ nm}$ ) oraz w zakresie UV-Vis dla nanokompozytów  $ZnFe_2O_4/SiO_2/TiO_2-Pt$ ,  $ZnFe_2O_4/SiO_2/TiO_2-Pd$ ,  $ZnFe_2O_4/SiO_2/TiO_2-I$ -Pt i  $ZnFe_2O_4/SiO_2/TiO_2-I$  przedstawiono na rysunku 5.



Rysunek 5. Efektywność degradacji fenolu a) w świetle Vis b) w świetle UV-Vis dla nanokompozytów  $ZnFe_2O_4/SiO_2/TiO_2-Pt$ ,  $ZnFe_2O_4/SiO_2/TiO_2-Pd$ ,  $ZnFe_2O_4/SiO_2/TiO_2-I-Pt$  i  $ZnFe_2O_4/SiO_2/TiO_2-I$

Najwyższą efektywność w reakcji degradacji fenolu wykazywał fotokatalizator  $ZnFe_2O_4@SiO_2/TiO_2$  domieszkowany 10% jodem i modyfikowany 0,1% Pt. Po 60 min naświetlania degradacji uległo 77% fenolu (UV-Vis) oraz 32% fenolu pod promieniowaniem z zakresu światła widzialnego.

Otrzymane nanokompozyty w wyniku osadzania kolejno warstw  $\text{SiO}_2$  i  $\text{TiO}_2$  modyfikowanego nanocząstek Pt, Pd oraz domieszkowane jodem charakteryzują się wysoką magnetycznością. Na rysunku 6 przedstawiono separację magnetyczną otrzymanych nanokompozytów o strukturze wielowarstwowej. Wszystkie funkcjonalizowane fotokatalizatory charakteryzowały się wysokim stopniem odzysku w polu magnetycznym przekraczającym 90%, co świadczy o możliwości efektywnej separacji w krótkim czasie po procesie oczyszczania ścieków.



Rysunek 6. Zdjęcie przedstawiające separację magnetyczną nanocząstek  $\text{ZnFe}_2\text{O}_4/\text{SiO}_2/\text{TiO}_2\text{-Pd}$  po 1 minucie i 5 minutach po przyłożeniu zewnętrznego pola magnetycznego

## 8. Podziękowania

Badania zostały sfinansowane ze środków Narodowego Centrum Nauki w ramach projektu Sonata-12 pt.: „Badania nad syntezą, charakterystyką właściwości fizyko-chemicznych oraz fotokatalitycznych nanokompozytów  $\text{TiO}_2$  opartych na ferrytach spinelowych i heksagonalnych do utleniania zanieczyszczeń organicznych w fazie wodnej” (grant nr NCN 2016/23/D/ST5/01021).

## Literatura

1. Haider A., Jameel Z., Al.-Hussaini I., *Review on: Titanium Dioxide Applications*, Energy Procedia, 157, 2019, 17-29.
2. Bedghiou D., Reguig F., Boumaza A., *Novel high/ultrahigh pressure structures of  $\text{TiO}_2$  with low band gaps*, Computational Materials Science, 166, 2019, 303-310.
3. Rosales M., Zoltan T., Yadarola C., Mosquera E., Gracia F., Garcia A., *The influence of the morphology of 1D  $\text{TiO}_2$  nanostructures on photogeneration of reactive oxygen species and enhanced photocatalytic activity*, Journal of Molecular Liquids, 281, 2019, 59-69.
4. Alpuche-Aviles M., Gutierrez-Portocarrero S., Barakot K., *Challenges in semiconductor single-entity photoelectrochemistry*, Current Opinion in Electrochemistry, 13, 2019, 174-180.
5. Kusiak-Nejman E., Morawski A.,  *$\text{TiO}_2$ /graphene-based nanocomposites for water treatment: a brief overview of charge carrier transfer, antimicrobial and photocatalytic performance*, Applied Catalysis B: Environmental, 253, 2019, 179-186.
6. Al-Hetlani E., Amin M., Madkour M., *Detectable photocatalysts of anatase  $\text{TiO}_2$  nanoparticles: Annulling surface charge for intermediate photocatalyst separation*, Applied Surface Science, 411, 2017, 355-362.
7. Wilson M., Cheng C., Oswald G., Srivastava R., Beaumont S., Baydal J., *Magnetic recyclable microcomposite silica-steel core with  $\text{TiO}_2$  nanocomposite shell photocatalysts for sustainable water purification*, Colloids and Surfaces A: Physicochemical and Engineering Aspects, 523, 2017, 27-37.
8. Li X., Wen J., Fang Y., Yu J., *Design and fabrication of semiconductor photocatalyst for photocatalytic reduction of  $\text{CO}_2$  to solar fuel*, Science China Materials, 57, 2014, 70-100.

9. Mizukoshi Y., Makise Y., Shuto T., Hu J., Tominaga A., Shironita S., Tanabe S., *Immobilization of noble metal nanoparticles on the surface of  $TiO_2$  by the sonochemical method: Photocatalytic production of hydrogen from an aqueous solution of ethanol*, Ultrasonics Sonochemistry ,14, 2007, 387-392.
10. Yang J., Kim Y., Shul Y., Shin C., Lee T., *Characterization of photoreduced Pt- $TiO_2$  and decomposition of dichloroacetic acid over photoreduced Pt- $TiO_2$  catalysts*, Applied Surface Science, 121-122, 1997, 525-529.
11. Singh S., Iizuka Y., Xu Q., *Nickel-palladium nanoparticle catalyzed hydrogen generation from hydrous hydrazine for chemical hydrogen storage*, International Journal of Hydrogen Energy, 36, 2011, 11794-11801.
12. Sakthivel S., Shankar M., Palanichamy M., Arabindoo B., Bahnemann D., Murugesan V., *Enhancement of photocatalytic activity by metal deposition: characterisation and photonic efficiency of Pt, Au and Pd deposited on  $TiO_2$  catalyst*, Water Research, 38, 2004, 3001-3008.
13. Iliev V., Tomova D., Bilyarska L., Tuliev G., *Influence of the size of gold nanoparticles deposited on  $TiO_2$  upon the photocatalytic destruction of oxalic acid*, Journal of Molecular Catalysis A, 263, 2007, 32-38.
14. Gerischer H., Heller A., *The role of oxygen in photooxidation of organic molecules in semi-conductor particles*, Journal of Physical Chemistry, 95, 1991, 5261-5266.
15. Zielińska-Jurek A., *Progress, Challenge, and Perspective of Bimetallic  $TiO_2$ -Based Photocatalysts*, Journal of Nanomaterials, 2014, 2014, ID 20892.
16. Zhang X., Chen Y., Liu R., Tsai D., *Plasmonic photocatalysis*, Reports on Progress in Physics, 76, 2013, 046401.
17. Ma X., Sun H., Wang Y., Wu X., Zhang J., *Electronic and optical properties of strained noble metals: Implications for applications based on LSPR*, Nano Energy, 53, 2018, 932-939.
18. Tojo S., Tachikawa T., Fujitsuka M., Majima T., *Iodine-Doped  $TiO_2$  Photocatalysts: Correlation between Band Structure and Mechanism*, The Journal of Physical Chemistry C, 112, 2008, 14948-14954.
19. Dozzi M.V., Selli E., *Doping  $TiO_2$  with p-block elements: Effects on photocatalytic activity*, Journal of Photochemistry and Photobiology C: Photochemistry Reviews, 14, 2012, 13-28.
20. Di Valentin C., Pacchioni G., *Trends in non-metal doping of anatase  $TiO_2$ : B,C,N and F*, Catalysis Today, 206, 2011, 12-18.
21. Li Q., Yuan N., Geng W., Chi Y., Li X., *Preparation of magnetically recoverable  $Fe_3O_4@SiO_2@meso-TiO_2$  nanocomposites with enhanced photocatalytic ability*, Materials Research Bulletin, 47, 2012, 2396-2402.
22. Wang W., Shi Q., Wang Y., Cao J., Liu G., Peng P., *Preparation and characterization of iodine-doped mesoporous  $TiO_2$  by hydrothermal method*, Applied Surface Science, 257, 2011, 3688-3696.
23. Shi L., Weng D., *Formation of impurity bands in iodine cation substitutionally doped  $TiO_2$  and its effects on photoresponse and photogenerated carriers*, Physics Letters A, 372, 2005, 5901-5904.
24. Hong X., Wang Z., Cai W., Lu Z., Fan J., Liu Q., Chen J., *Visible light activated nanoparticles photocatalysts of iodine-doped titanium dioxide*, Chemistry of Materials, 17, 2005, 1548-1552.
25. Maalam K. El., Fkhar L., Mahhouti Z., Mounkachi O., AitAli M., Hamedoun M., Benyoussef A., *The effects of synthesis conditions on the magnetic properties of zinc ferrite spinel nanoparticles*, Journal of Physics Conference Series, 758, 2016, 1-8.
26. Beydoun D., Amal R., Low G.K., McEvoy S., *Novel Photocatalyst: Titania-Coated Magnetite. Activity and Photodissolution*, The Journal of Physical Chemistry B, 104, 2000, 4387-4396.
27. Valenzuela R., *Novel Applications of Ferrites*, Physics Research International, 2012, 1-9.
28. Mathew D.S., Juang R.S., *An overview of the structure and magnetism of spinel ferrite nanoparticles and their synthesis in microemulsions*, Chemical Engineering Journal, 129, 2007, 51-65.

29. Néel L., *Antiferromagnetism and ferrimagnetism*, Proceedings of the Physical Society Section A, 65, 1952, 869-885.
30. Makovec D., Kodre A., Arcon I., Drofenik M., *The structure of compositionally constrained zinc-ferrite spinel nanoparticles*, Journal of Nanoparticle Research, 13, 2011, 1781-1790.
31. Sugimoto M., *The Past, Present, and Future of Ferrites*, Journal of the American Ceramic Society, 82, 1999, 269-280.

## Synteza i charakterystyka nanokompozytów TiO<sub>2</sub> o właściwościach magnetycznych do degradacji zanieczyszczeń organicznych w fazie wodnej

### Streszczenie

Jednym z najczęściej stosowanych fotokatalizatorów jest tlenek tytanu(IV), który charakteryzuje się wysokim potencjałem utleniającym, dobrą stabilnością chemiczną w szerokim zakresie pH i względnie niską ceną. TiO<sub>2</sub> wykazuje zdolność do absorpcji światła w zakresie UV, przez co w procesie fotokatalizy efektywnie wykorzystywane jest jedynie od 3 do 5% promieniowania słonecznego. W celu uzyskania fotokatalizatora aktywowanego światłem widzialnym modyfikuje się TiO<sub>2</sub>, np. przez dodatek jonów metali przejściowych, czy domieszkowanie niemetalami. Tak otrzymane fotokatalizatory mogą być stosowane m.in. do oczyszczania wód i ścieków z zanieczyszczeń organicznych. Wyzwaniem technologicznym jest separacja cząstek z zawiesiny reakcyjnej, w celu ich ponownego wykorzystania. Odzysk fotokatalizatora może być efektywnie prowadzony dzięki zastosowaniu struktur magnetycznych typu rdzeń-otoczka, gdzie na magnetycznym rdzeniu pokrytym inertną powłoką, osadzona jest warstwa fotokatalityczna. Celem przeprowadzonych badań było otrzymywanie i charakterystyka fotokatalizatorów TiO<sub>2</sub> modyfikowanych nanocząstkami platyny lub palladu, o właściwościach magnetycznych. Modyfikacja nanocząstkami platyny lub palladu wpływa na zmniejszenie rekombinacji nośników ładunku i aktywację TiO<sub>2</sub> w zakresie Vis. Fotokatalizatory o właściwościach fotokatalitycznych oraz magnetycznych scharakteryzowano za pomocą analizy powierzchniowej BET, analizy dyfrakcji rentgenowskiej (XRD) oraz analizy spektroskopowej DR/UV-VIS. Aktywność fotokatalityczną zbadało w reakcji degradacji fenolu, jako modelowego zanieczyszczenia organicznego. Najwyższą aktywność fotokatalityczną zaobserwowano dla fotokatalizatora magnetycznego domieszkowanego jodem i/lub modyfikowanego 0,1% Pt. Fotokatalizator wykazywał absorpcję światła widzialnego oraz wysoką efektywność separacji w zewnętrznym polu magnetycznym.

Słowa kluczowe: fotokataliza, tlenek tytanu(IV), ferryty spinelowe, separacja magnetyczna

## Synthesis and characterization of TiO<sub>2</sub> nanocomposites with magnetic properties for degradation of organic pollutants in the aqueous phase

### Abstract

One of the most commonly used photocatalysts is titanium(IV) oxide, which is characterized by high oxidation potential, good chemical stability in a wide pH range and a relatively low price. TiO<sub>2</sub> has the ability to absorb light in the UV range, which effectively uses only 3 to 5% of solar radiation in the photocatalysis process. In order to obtain a highly active photocatalyst under visible light, TiO<sub>2</sub> is often modified by transition metals or doped with non-metal elements. As-prepared photocatalysts can be used for the treatment of waters and from recalcitrant organic pollutants. The technological challenge is separation of nanometer size particles of photocatalyst from the reaction slurry for re-use. The recovery of the photocatalyst can be effectively proceed by design and preparation of photocatalyst with a core-shell magnetic structures, where a photocatalytic layer is embedded on a magnetic core covered with an inert coating of silica or carbon. In this regard, the aim of the present study was preparation and characterization of TiO<sub>2</sub>-based photocatalysts modified with platinum or palladium nanoparticles with magnetic properties. Modification of TiO<sub>2</sub> with platinum or palladium nanoparticles reduces the recombination of charge carriers and activates TiO<sub>2</sub> under visible light irradiation. Obtained ZnFe<sub>2</sub>O<sub>4</sub>/SiO<sub>2</sub>/TiO<sub>2</sub>-Pd, ZnFe<sub>2</sub>O<sub>4</sub>/SiO<sub>2</sub>/TiO<sub>2</sub>-Pt, ZnFe<sub>2</sub>O<sub>4</sub>/SiO<sub>2</sub>/TiO<sub>2</sub>-I and ZnFe<sub>2</sub>O<sub>4</sub>/SiO<sub>2</sub>/TiO<sub>2</sub>-IPt composites with photocatalytic and magnetic properties were characterized by BET surface area analysis, X-ray diffraction analysis and DR/UV-VIS spectroscopy analysis. Photocatalytic activity was examined in reaction of phenol degradation. The highest photocatalytic activity was observed for a magnetic photocatalyst doped with iodine and/or modified with 0.1% of Pt. The photocatalyst showed visible light absorption and high separation efficiency in the external magnetic field.

Keywords: photocatalysis, titanium(IV) oxide, spinel ferrites, magnetic separation



# Synthesis, characterization, and application of 2D/2D TiO<sub>2</sub>-GO-ZnFe<sub>2</sub>O<sub>4</sub> obtained by the fluorine-free lyophilization method for solar light-driven photocatalytic degradation of ibuprofen

Izabela Malinowska<sup>1</sup> · Paweł Kubica<sup>2</sup> · Piotr Madajski<sup>3</sup> · Adam Ostrowski<sup>4</sup> · Cristina Gómez Polo<sup>5</sup> · Laura Carvera<sup>5</sup> · Waldemar Bednarski<sup>4</sup> · Anna Zielińska-Jurek<sup>1</sup>

Received: 26 August 2022 / Accepted: 30 November 2022 / Published online: 20 December 2022  
© The Author(s) 2022

## Abstract

In this study, we report the potential of 2D/2D TiO<sub>2</sub>-GO-ZnFe<sub>2</sub>O<sub>4</sub> photocatalyst obtained using the fluorine-free lyophilization technique for the degradation of ibuprofen belonging to the group of active pharmaceutical ingredients (API). The improved ibuprofen degradation under simulated solar light was achieved in the presence of a composite of 2D TiO<sub>2</sub> combined with GO and embedded ZnFe<sub>2</sub>O<sub>4</sub>, which additionally provides superparamagnetic properties and enables photocatalyst separation after the photodegradation process. After only 20 min of the photodegradation process in the presence of 2D/2D TiO<sub>2</sub>-GO-ZnFe<sub>2</sub>O<sub>4</sub> composite, more than 90% of ibuprofen was degraded under simulated solar light, leading to non-toxic and more susceptible to biodegradation intermediates. At the same time, photolysis of ibuprofen led to the formation of more toxic intermediates. Furthermore, based on the photocatalytic degradation analysis, the degradation by-products and possible photodegradation pathways of ibuprofen were investigated. The photodegradation tests and electronic spin resonance analyses indicated the significant involvement of superoxide radicals and singlet oxygen in the ibuprofen photodegradation process.

**Keywords** Magnetic photocatalyst · Magnetic separation · Ibuprofen degradation · TiO<sub>2</sub> nanosheets · Pharmaceuticals degradation · Photocatalysis

## Introduction

Ibuprofen (IBU), i.e., isobutylphenylpropionic acid, is the third most commonly used worldwide over-the-counter, non-steroidal anti-inflammatory drug to treat pain of

various origins. IBU world production is several kilotons per year, and due to the increased consumption rate, it has been detected at the level from hundreds of ng·dm<sup>-3</sup> to a few µg·dm<sup>-3</sup> in surface waters and wastewater treatment effluents (Buser et al. 1999; Lee et al. 2003).

In 2003, Andreozzi et al. (2013) noticed the presence of ibuprofen and other emerging contaminants in European cities river waters, including France, Italy, Sweden, and Greece. Ibuprofen was detected in a wide concentration range of 0.05 µg·dm<sup>-3</sup> to 7.11 µg·dm<sup>-3</sup>. In 2007, ibuprofen was found in wastewater from northern Scotland at a concentration of 0.405 µg·dm<sup>-3</sup> (Nebot et al. 2007). The reported results indicate that the scale of the problem is local and global.

However, the presence of trace amounts of pharmaceuticals is not so dangerous as their ability to bioaccumulate and biomagnify in living organisms. The detrimental effect depends on the cellular level (Wang et al. 2016). In the case of fish, IBU impairs the reproductive system (Flippin et al. 2007). For example, Gagne et al. studied the effect of IBU on rainbow trout and observed an enzymatic and

---

Responsible Editor: George Z. Kyzas

✉ Anna Zielińska-Jurek  
annjurek@pg.edu.pl

<sup>1</sup> Department of Process Engineering and Chemical Technology, Gdańsk University of Technology, Narutowicza 11/12, 80-233 Gdańsk, Poland

<sup>2</sup> Department of Analytical Chemistry, Gdańsk University of Technology, Gdańsk, Poland

<sup>3</sup> Faculty of Chemistry, Nicolaus Copernicus University, Gagarina 7, 87-100, Toruń, Poland

<sup>4</sup> Institute of Molecular Physics, Polish Academy of Sciences, Smoluchowskiego 17, 60-179 Poznań, Poland

<sup>5</sup> Departamento de Ciencias-INAMAT2, Universidad Pública de Navarra, Campus de Arrosadia, 31006 Pamplona, Spain

metabolite disorder in this group of organisms (Gagne et al. 2006). Hayashi et al. (2008) studied the effect of the drug on crustaceans *Daphnia magna*. Therefore, it is essential to prevent ibuprofen and other emerging contaminants from being released into the environment by applying advanced water treatment technologies complementary to commonly used biological degradation processes.

In the group of advanced oxidation processes, photocatalysis has been proposed as one of the green technologies for degradation of emerging contaminants. Photocatalysis is an artificial photosynthesis technique, which can be conveniently employed as a tertiary treatment process in existing wastewater treatment plants. Chemically stable semi-conductors can produce reactive oxygen species upon irradiation and degrade xenobiotics into non-toxic compounds (Li et al. 2020). However, their photocatalytic activity is usually limited as sunlight-driven photocatalysts due to large bandgap and relatively low quantum yield efficiency resulting from charge carrier recombination.

In 2D nanostructures, the single-crystalline characteristic allows fast in-plane electron transport (Sheng et al. 2017; Nguyen-Phan et al. 2011). Graphene oxide possesses great adsorption capacity for organic compounds through strong  $\pi$ - $\pi$  interactions. Therefore, to further enhance the performance of  $\text{TiO}_2$ , combining titanium (IV) oxide with 2D graphene oxide as a co-catalyst is an effective approach to improve the surface adsorption of organic pollutants and inhibit electron–hole recombination (Nguyen-Phan et al. 2011). Recently, Erim and co-workers applied 3D  $\text{TiO}_2$ /2D GO/chitosan photocatalyst for the photodegradation of cefixime, an antibiotic used against gram-negative and gram-positive aerobic bacteria infections. The efficiency of  $\text{TiO}_2$  supported by graphene oxide cross-linked with chitosan reached 95% in 60 min of photodegradation in the presence of UVA light (Erim et al. 2021).

Recently, in various efforts to extend  $\text{TiO}_2$  photocatalytic activity, special attention has been focused on  $\text{TiO}_2$  morphology and microstructure design to enhance emerging contaminant photodegradation. Although visible-light active titanium (IV) oxide photocatalysts require chemical modification, their total efficiency has significantly improved by controlling the photocatalyst morphology (Dudziak et al. 2021; Sajan et al. 2016). In recent years, two-dimensional  $\text{TiO}_2$  nanomaterials have attracted considerable attention due to developed specific surface area and structural coherence in the width dimension.

Furthermore, hybridization of semi-conductor material with magnetic particles enables to overcome of another challenge in photocatalysis related to the separation of photocatalyst nanoparticles from post-process suspension. Graphene oxide and reduced graphene oxide can form stable bonds with  $\text{TiO}_2$  and ferrite particles incorporating magnetic properties that facilitate the separation of photocatalyst after

wastewater treatment. Aflatoxin B<sub>1</sub>, one of the most toxic among the mycotoxins, was successfully degraded to less harmful by-products in the presence of  $\text{Fe}_3\text{O}_4/\text{GO}/3\text{D TiO}_2$  photocatalyst under UV–vis light (Suna et al. 2021).

In this regard, in the present work, a new 2D/2D  $\text{TiO}_2$ -GO-ZnFe<sub>2</sub>O<sub>4</sub> composite was obtained and for the first time used for ibuprofen photocatalytic degradation under simulated solar light. Regarding sustainable development and green chemistry, 2D  $\text{TiO}_2$  photocatalyst structures with exposed {0 0 1} facets were synthesized using the fluorine-free lyophilization technique as a green concept for the synthesis. The as-obtained 2D anatase nanosheets were used as building blocks for hybridization with graphene oxide to enhance the photocatalyst performance by (1) maximization of UV–vis light absorption, (2) increasing the lifetime of photoexcited electrons and holes, (3) improvement of transport kinetics to surface reaction sites, and (4) increasing of the reaction kinetics on the surface sites. Furthermore, incorporating zinc ferrite particles with superparamagnetic properties allowed for the separation of 2D/2D  $\text{TiO}_2$ -GO-ZnFe<sub>2</sub>O<sub>4</sub> ternary composite material in an external magnetic field. The reactive oxygen species participating in the photocatalytic degradation were investigated by reference experiments in the presence of scavengers. Based on LC–MS analysis, intermediates were determined in the photocatalytic reaction, and a possible mechanism of ibuprofen photodegradation was proposed. Moreover, the toxicity of ibuprofen and its photodegradation intermediates was studied to specify whether the degradation process in the presence of 2D/2D  $\text{TiO}_2$ -GO-ZnFe<sub>2</sub>O<sub>4</sub> can reduce the acute toxicity of active pharmaceutical ingredients.

## Experimental

### Materials

Aqueous ammonia (25%), hydrogen peroxide (30%), and titanium(IV) oxysulphate were provided by Sigma Aldrich and used for titanium(IV) oxide synthesis. Graphene oxide, zinc chloride, iron sulfate heptahydrate, and sodium hydroxide were purchased from Aldrich (Germany). POCH Gliwice (Poland) supplied cationic surfactant hexadecyltrimethylammonium bromide (CTAB). Benzoquinone (reagent grade,  $\geq 98\%$ ) and *tert*-butanol (anhydrous,  $\geq 99.5\%$ ) were purchased from Sigma Aldrich, POCH Gliwice provided AgNO<sub>3</sub> (pure p.a.) and EDTA (pure p.a.).

### Preparation of 2D anatase nanosheets

First, 7.6 g of  $\text{TiOSO}_4$  was dissolved in 100 cm<sup>3</sup> of deionized water (DI-H<sub>2</sub>O), heated up to 35 °C until clarification of the solution, and then cooled to 0 °C using an ice bath.

Then, ammonia solution (25%) was added until the pH of 8. The obtained precipitate was washed several times with deionized water, centrifuged and suspended in DI-H<sub>2</sub>O. Furthermore, hydrogen peroxide solution (45%) was added, which caused a decrease in pH from 8 to 2 and changed the suspension color from white to yellow. The suspension was stirred for 30 min at room temperature until a clear solution formed. The solution was aged for 48 h at 3 °C to form a yellow gel that was further lyophilized at -84 °C and a pressure of 0.3 Pa. The lyophilized material was calcined at 700 °C for 1 h with the formation of TiO<sub>2</sub> nanosheets.

### Preparation of 2D/2D TiO<sub>2</sub>-GO

Graphene oxide (0.03 g) was dispersed in 50 cm<sup>3</sup> of ethanol (EtOH) and deionized water (70:30) solution and ultrasonicated for 30 min to isolate graphite layers. Subsequently, 3 g of 2D TiO<sub>2</sub> (prepared according to the procedure given above) was added and stirred for 6 h, placed in a stainless steel autoclave lined with Teflon, and subjected to hydrothermal reaction at 130 °C for 6 h. The amount of graphene oxide relative to TiO<sub>2</sub> was 1%. The final product 2D/2D TiO<sub>2</sub>-GO was separated, purified with a mixture of EtOH/DI-H<sub>2</sub>O (1:1) several times, and dried to dry mass at 70 °C.

### Preparation of 2D/2D TiO<sub>2</sub>-GO-ZnFe<sub>2</sub>O<sub>4</sub> photocatalysts

First, to obtain zinc ferrite particles, FeSO<sub>4</sub>•7H<sub>2</sub>O and ZnCl<sub>2</sub> were dissolved in a stoichiometric 2:1 (Fe: Zn) molar ratio in deionized water under stirring (500 rpm) for 30 min. Afterwards, the metals were precipitated from the homogeneous solution by adding 5 M NaOH at room temperature until the pH was 12. The suspension was transferred into an autoclave and treated at 200 °C for 5 h. Subsequently, the obtained magnetic particles were separated in the magnetic field, washed several times with deionized water, and dried at 100 °C to dry mass.

Furthermore, ZnFe<sub>2</sub>O<sub>4</sub> nanoparticles (0.1 g) were dispersed in 60 cm<sup>3</sup> of 0.2 M CTAB in deionized water and ultrasonicated for 2 min. Then 20 cm<sup>3</sup> of ammonia solution was added. The mixture was stirred for an hour, and 2 g of 2D TiO<sub>2</sub>-GO was added, mixed using a mechanical stirrer for 2 h and solvothermal treated in an autoclave at 30 °C for 24 h. The content of zinc spinel ferrite to TiO<sub>2</sub>-GO was 5% by weight. The obtained composite material was separated and washed with deionized water several times and dried at 70 °C. Finally, the obtained composite was calcined at 550 °C for 3 h.

### Characterization of 2D/2D TiO<sub>2</sub>-GO-ZnFe<sub>2</sub>O<sub>4</sub> photocatalysts

X-ray powder diffraction (XRD) analysis was performed using Rigaku MiniFlex 600.

X-ray diffractometer (Rigaku Corporation, Tokyo, Japan). The patterns were obtained in the range from 10° to 80° 2θ with a Δ2θ=0.01°. The diffuse reflectance (DRS) spectra were analyzed using a Thermo Scientific Evolution 220 spectrophotometer (Waltham, MA, USA) with an integrating sphere. Brunauer–Emmett–Teller (BET) surface area analysis was performed using the Micromeritics Gemini V instrument. The morphology of the prepared photocatalysts was determined using Cs-corrected STEM (High Angle Annular Dark Field, HAADF) and HR-TEM (FEI Europe, Tencai F20 X-Twin) microscopy. For TEM analysis, 2D/2D TiO<sub>2</sub>-GO-ZnFe<sub>2</sub>O<sub>4</sub> particles were dispersed in ethanol and placed in an ultrasound bath for 1 min. Subsequently, a few drops of suspension were deposited on the copper microgrid. Electrochemical analysis was performed using the potentiostat–galvanostat (AutoLab PGStat 302 N system, Utrecht, Netherlands) under GPS/FRA software control. Ag/AgCl (3 M KCl) was applied as a reference electrode, while platinum mesh was used as a counter electrode. The spectra were run at the frequency range from 20 kHz to 1 Hz with a 50 mV amplitude of the alternating current. In order to prepare the Mott–Schottky analysis, the fabricated titania powders were used to form the paste deposited using the doctor-blade technique onto the fluorine tin-doped oxide (FTO) support. The paste consists of deionized water, PEG (polyethylene glycol), Triton X-100, and the photocatalyst. Finally, the calcination was performed at 400 °C for 5 h with a heating rate of 1 °C·min<sup>-1</sup>, ensuring the removal of the organic binder. The fabricated electrode material stayed as a working electrode tested in a three-electrode arrangement, where Ag/AgCl/0.1 M KCl and Pt mesh were used as reference and counter electrodes, respectively. The deaerated 0.5 M Na<sub>2</sub>SO<sub>4</sub> was used as an electrolyte. The electrochemical impedance spectroscopy (EIS) data was recorded from the anodic toward the cathodic direction using AutoLab PGStat302N. EIS data were recorded in the potential range from +1.0 to -1.0 V vs. Ag/AgCl/0.1 M KCl for the frequency of 1000 Hz using a 10 mV amplitude of the AC signal. The capacitance of the space charge layer was further calculated from the imaginary part of the measured impedance following the equation: C SC = -1/2πfZ'', where f stands for the frequency of the AC signal and Zim for the imaginary part of the impedance.

Electron spin resonance (ESR/EPR) spectra were recorded at room temperature using a BRUKER ELEX-SYS spectrometer (X-band) equipped with a highly sensitive ER4122 SHQE-W1 resonator. The samples were prepared as an aqueous suspension of 2DTiO<sub>2</sub>/GO/

$\text{ZnFe}_2\text{O}_4$  (concentration  $1.5 \text{ mg}\cdot\text{cm}^{-3}$ ) in the presence of  $\alpha$ -phenyl-N-tert-butylnitrone (PBN) spin trap (concentration  $40 \text{ mmol}\cdot\text{dm}^{-3}$ ). Approximately  $0.015 \text{ cm}^3$  mixture of PBN and  $2\text{DTiO}_2/\text{GO}/\text{ZnFe}_2\text{O}_4$  aqueous suspension was placed into a thin-walled quartz tube with  $0.8 \text{ mm ID}$  and put in an ESR cavity. During the EPR photochemical experiments performed under aerobic and hypoxic conditions, the samples were irradiated directly in the EPR resonator with a light flux of  $70 \text{ mW/cm}^2$ . The aerobic or hypoxic conditions were obtained by passing air or gaseous  $\text{N}_2$  through the samples prepared as suspensions. Magnetic measurements were performed with a SQUID magnetometer (Quantum Design MPMS XL7), enabling the characterization of the temperature dependence ( $5 - 300 \text{ K}$ ) of the magnetisation and the hysteresis loops of the samples.

### Photocatalytic degradation of ibuprofen

The photocatalytic activity was studied in the reaction of ibuprofen degradation. In this regard,  $0.05 \text{ g}$  of the photocatalyst particles was added to a quartz reactor containing  $25 \text{ cm}^3$  of ibuprofen (IBP) solution with an initial concentration of  $21 \text{ mg}\cdot\text{dm}^{-3}$ . The suspension was stirred and aerated. The reactor was irradiated using a  $300 \text{ W}$  Xenon lamp (LSH302, LOT-Quantum Design, Darmstadt, Germany) as ultraviolet-visible (UV-vis) light source. During the photocatalytic process, samples of  $1 \text{ cm}^3$  of the suspension were collected at regular time intervals. The ibuprofen degradation rate was measured as a pharmaceutical concentration decrease using liquid chromatography-quadrupole time of flight mass spectrometry (LC-TOFMS). Measurements were performed using LC system 1200 Infinity (Agilent, USA) with DAD (diode array detector) and QTOF 6540 (Agilent, USA). All modules were controlled by MassHunter v B9.0 and B7.0, and this software was used for data collection and processing. The final optimized method for the separation of possible by-products utilized the Zorbax XDB-C8 column ( $150 \times 4.6 \text{ mm}$ ,  $3 \mu\text{m}$ ). The chromatographic conditions were as follows: flow rate  $0.8 \text{ cm}^3\cdot\text{min}^{-1}$  in isocratic mode consisting of  $60\% \text{ H}_2\text{O}$  and  $40\%$  of acetonitrile v/v, the separation temperature was kept at  $35^\circ\text{C}$ , while injection volume was  $0.005 \text{ cm}^3$  in each analysis. The parameters of detection and ionization were as follows: data gathering in SCAN mode of MS in the range  $50 - 300 \text{ m/z}$  gas temperature

$300^\circ\text{C}$ , drying gas flow  $8 \text{ dm}^3\cdot\text{min}^{-1}$ , nebulizer gas flow  $35 \text{ psig}$ , the voltage of capillary, fragmentor, and skimmer were kept at  $3500$ ,  $60$ , and  $60 \text{ V}$ , respectively.

### Toxicity assessment

The toxicity of the initial IBU solution and its by-products during degradation were based on the inhibition of the bioluminescence of marine bacteria *Vibrio fischeri* (Microtox Acute Reagent, Modern Water, UK). The toxicity tests were conducted with the standard Microtox Acute Toxicity Test Screening 81.9% protocol, and the luminescence was determined using Microtox Model 500 (Modern Water, UK). According to the formula below, the luminescence inhibition (LI%) of reconstituted bacteria in ibuprofen and its degradation products solution was calculated compared to a blank control.

$$\text{LI\%} = \frac{\text{LI}_{\text{blank}} - \text{LI}_x}{\text{LI}_{\text{blank}}} \cdot 100\% \quad (1)$$

The  $\text{EC}_{50}$  and  $\text{TU}_{50}$  values for the initial ibuprofen solution and its degradation products after  $120 \text{ min}$  of photolytic and photocatalytic processes were determined by running the standard Microtox Acute Toxicity Test Basic 81.9% protocol.  $\text{EC}_{50}$  value indicates the pollutant concentration causing a  $50\%$  reduction of the initial bacteria luminescence, thus meaning a lethal effect on  $50\%$  bacteria population. The toxic unit for the pharmaceutical solution was calculated as the reversal of the  $\text{EC}_{50}$  value multiplied by  $100$ . The obtained toxicity data were recorded after  $15 \text{ min}$  of reconstituted bacteria solution exposure to each sample (before, during, and after photocatalytic degradation).

## Results

### Characterization of 2D/2D $\text{TiO}_2\text{-GO-ZnFe}_2\text{O}_4$ photocatalysts

The physicochemical characteristics of the magnetic photocatalysts, e.g., crystallite sizes, indirect band gap values, and BET surface areas, are given in Table 1.

**Table 1** The physicochemical characteristics of 2D  $\text{TiO}_2$ , 2D  $\text{TiO}_2\text{-GO}$ ,  $\text{ZnFe}_2\text{O}_4$ , and 2D/2D  $\text{TiO}_2\text{-GO-ZnFe}_2\text{O}_4$

Sample	BET ( $\text{m}^2\cdot\text{g}^{-1}$ )	Pore volume ( $\text{cm}^3/\text{g}$ )	$E_g$	Crystallite size (nm)		
				Anatase	Rutile	Zinc ferrite
2D $\text{TiO}_2$	11.5	0.005	3.2	22	-	-
2D $\text{TiO}_2\text{-GO}$	24.5	0.012	2.9	23	-	-
$\text{ZnFe}_2\text{O}_4$	21.5	0.002	1.5	-	-	9
2D $\text{TiO}_2\text{-GO-ZnFe}_2\text{O}_4$	13.9	0.007	2.85	23	-	31

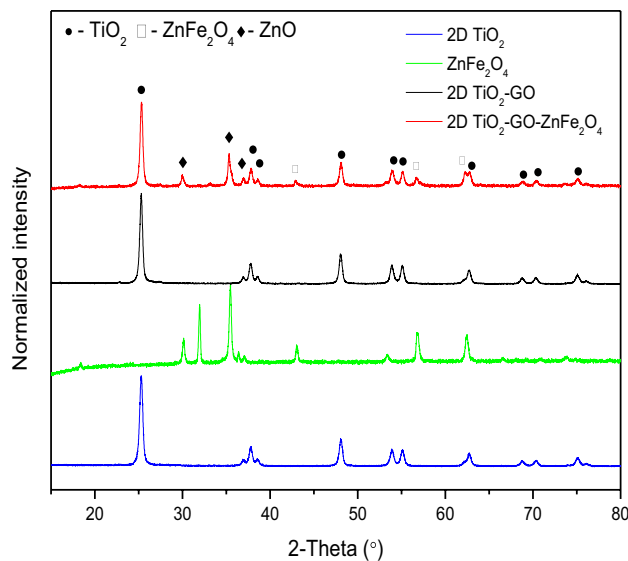
The crystalline phase composition was examined by XRD analysis for both as-obtained zinc ferrite particles and magnetic ternary composites, and the results are presented in Fig. 1. The formation of  $\text{ZnFe}_2\text{O}_4$  particles was confirmed by the presence of the signals at  $2\theta$  of  $29.92^\circ$ ,  $35.28^\circ$ ,  $36.92^\circ$ ,  $42.88^\circ$ ,  $53.16^\circ$ ,  $56.72^\circ$ , and  $62.24^\circ$  corresponding to (220), (311), (222), (400), (422), (511), and (440) planes assigned to the cubic phase of the spinel  $\text{ZnFe}_2\text{O}_4$  (JCPDS card 00–002–1043). Bragg reflections associated to  $\text{ZnO}$  secondary phase can also be detected in the initial  $\text{ZnFe}_2\text{O}_4$  sample. The zinc ferrite crystallite size calculated according to the Scherrer equation was about 9 nm (see Table 1). The XRD pattern of the 2D/2D  $\text{TiO}_2$ -GO composite revealed similar diffraction peaks of anatase nanoparticles, with the most intense at  $2\theta = 25.25^\circ$  (JCPDS card no. 21–1272). The amount of graphene oxide relative

to  $\text{TiO}_2$  was 1%. Therefore, the typical diffraction signals for graphene oxide were undetected in the XRD pattern of  $\text{TiO}_2$ -GO and  $\text{TiO}_2$ -GO- $\text{ZnFe}_2\text{O}_4$ . In the previous studies, the characteristic diffraction peaks of GO at  $2\theta$   $10$ – $12^\circ$  for  $\text{TiO}_2$ /GO composites were also not observed since its amount was negligible compared to  $\text{TiO}_2$ , and its diffraction intensity was relatively low (Saravani et al. 2019; Yadav and Kim 2016; Štengl et al. 2013). The crystallite size of anatase in  $\text{TiO}_2$ -GO and  $\text{TiO}_2$ -GO- $\text{ZnFe}_2\text{O}_4$  was about 22–23 nm, indicating that the incorporation of GO in the  $\text{TiO}_2$  structure has little influence on the crystallite size of the  $\text{TiO}_2$  phase structure.

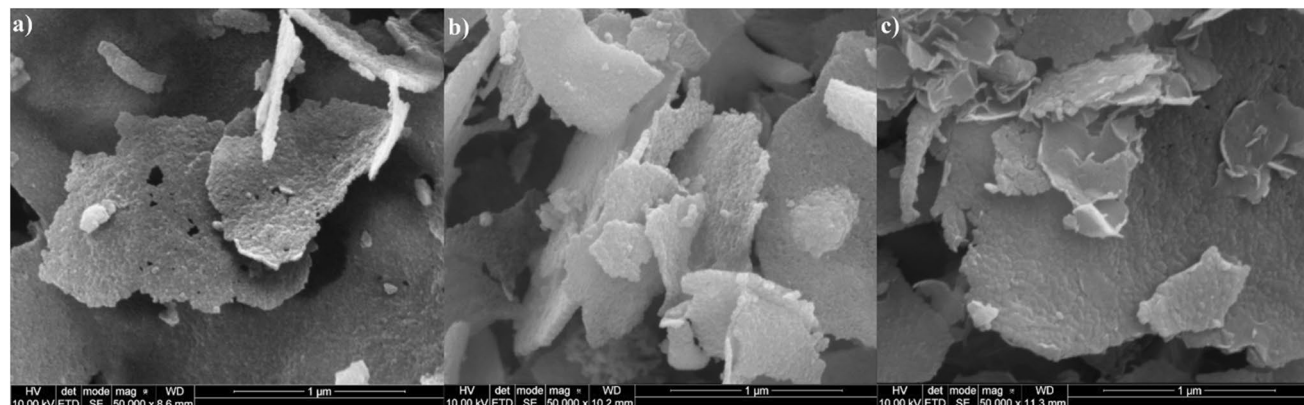
For 2D/2D  $\text{TiO}_2$ -GO- $\text{ZnFe}_2\text{O}_4$  composite, all the characteristic diffraction peaks can be assigned to  $\text{ZnFe}_2\text{O}_4$  or anatase  $\text{TiO}_2$ , confirming the combination of  $\text{ZnFe}_2\text{O}_4$  with GO- $\text{TiO}_2$ . The most intense diffraction peak of zinc ferrite particles in the XRD pattern of 2D/2D  $\text{TiO}_2$ -GO- $\text{ZnFe}_2\text{O}_4$  composite became weaker than that of  $\text{ZnFe}_2\text{O}_4$  due to even distribution and relatively lower content in the final composite structure. The BET surface area varied from  $11.5 \text{ m}^2 \cdot \text{g}^{-1}$  to  $24.5 \text{ m}^2 \cdot \text{g}^{-1}$ .

The morphology of the obtained 2D  $\text{TiO}_2$  was examined by SEM microscopy analysis. Based on that, it can be concluded that  $\text{TiO}_2$  obtained by lyophilization is characterized by a two-dimensional structure, as presented in Fig. 2.

The TEM microscopic analyses confirmed the formation of a 2D/2D  $\text{TiO}_2$ -GO- $\text{ZnFe}_2\text{O}_4$  nanocomposite structure with a total particle size of the composite of about 30–40 nm (Fig. 3a and b). The particles are flaky (2D structure) and contain GO embedded with zinc ferrite. The layer spacing equal to 0.35 nm (Fig. 3c) referred to (101) planes of  $\text{TiO}_2$ . For 2D/2D  $\text{TiO}_2$ -GO- $\text{ZnFe}_2\text{O}_4$  composite, the lattice spacings of 0.235 nm and 0.423 nm were also distinguished, indicating the presence of (311) and (111) planes of  $\text{ZnFe}_2\text{O}_4$ . Moreover, lattice fringes from the HRTEM results also give additional information about inter-planar distance  $d_{002}$  for GO equaled 0.71 nm (Mukhopadhyay et al. 2016;

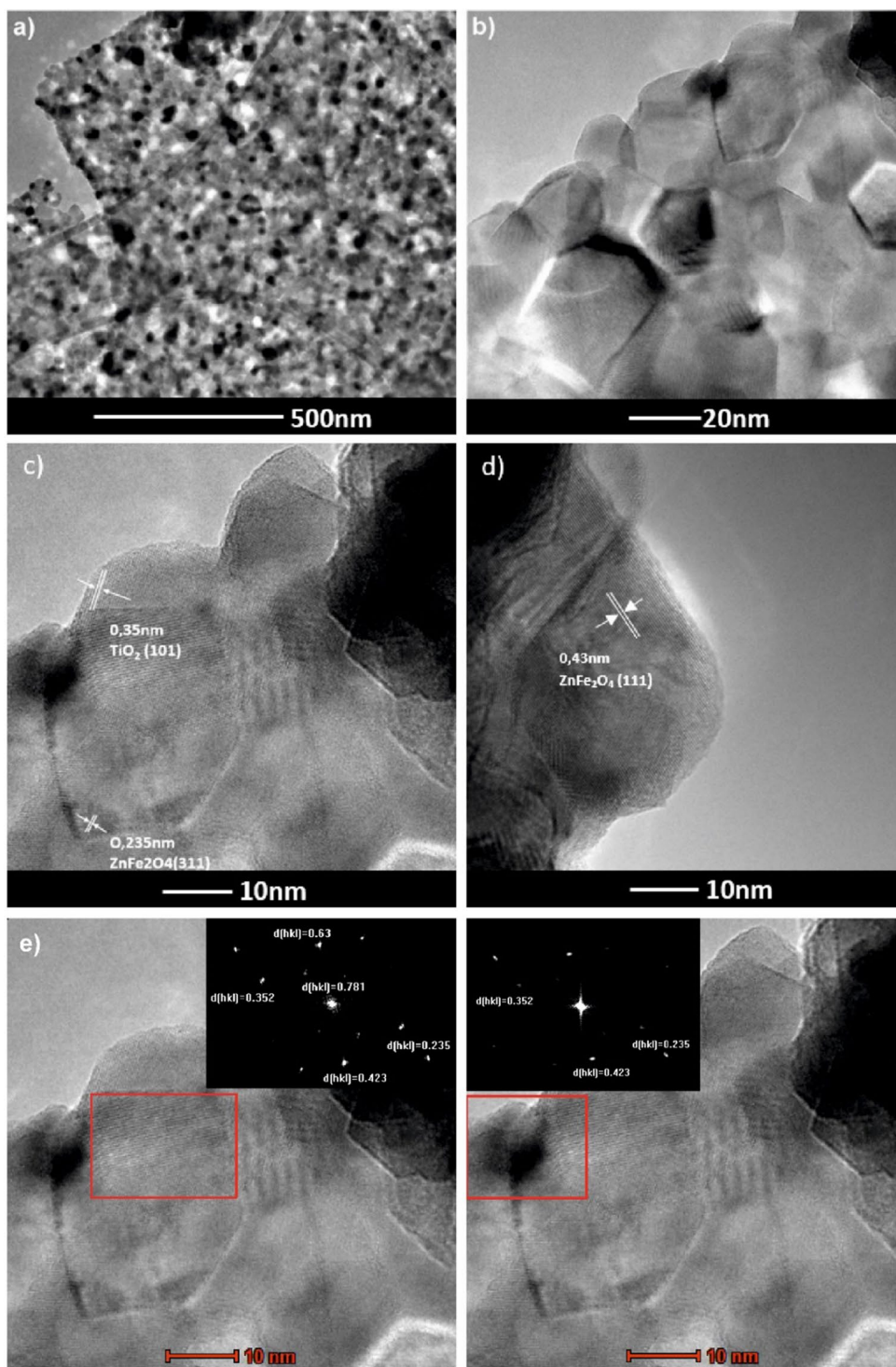


**Fig. 1** XRD diffraction patterns of the  $\text{ZnFe}_2\text{O}_4$ , 2D  $\text{TiO}_2$ , 2D  $\text{TiO}_2$ -GO, and 2D/2D  $\text{TiO}_2$ -GO- $\text{ZnFe}_2\text{O}_4$  magnetic photocatalysts



**Fig. 2** SEM analysis of  $\text{TiO}_2$  nanosheets after lyophilization (a and b) and after calcination at  $700^\circ\text{C}$  (c)

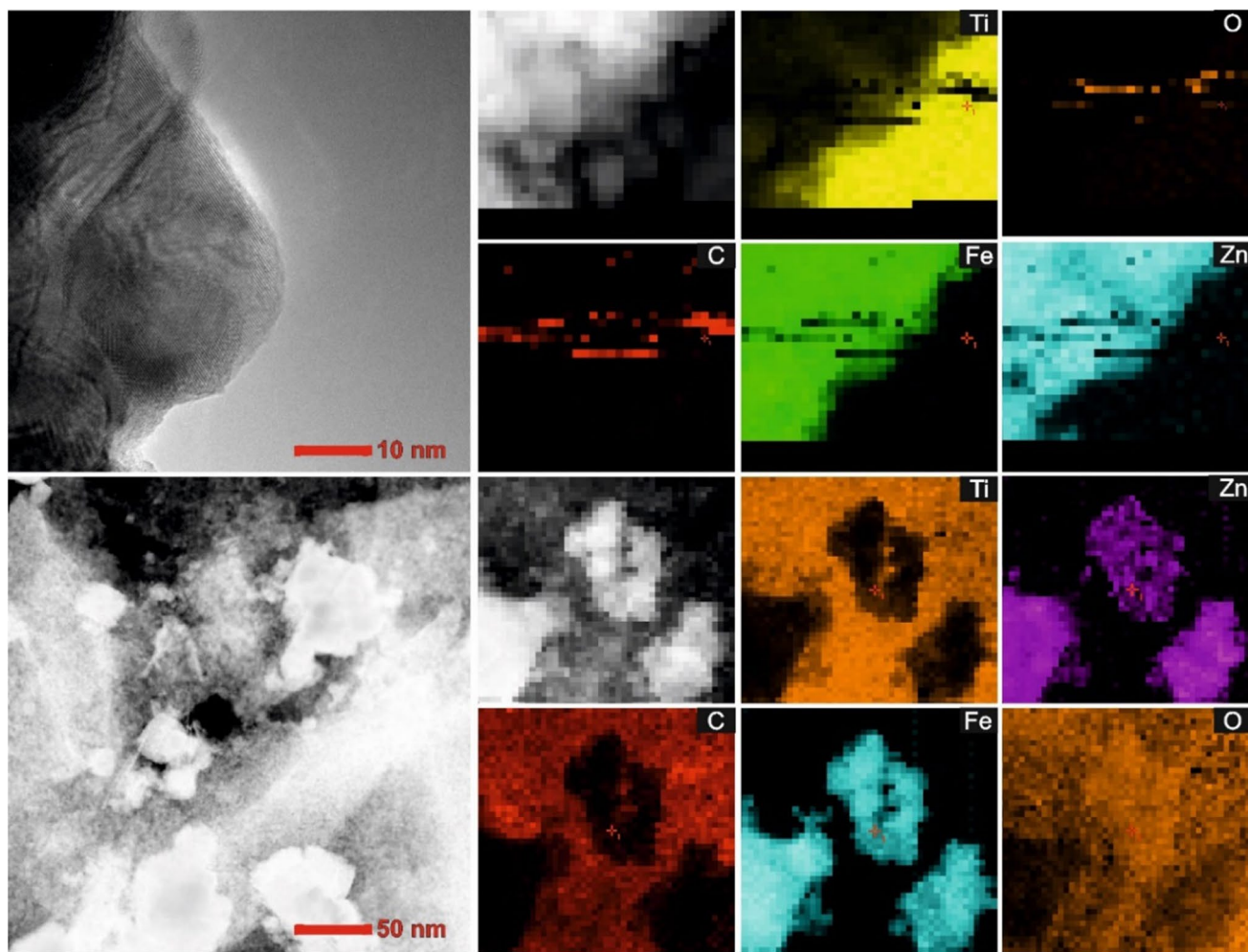
**Fig. 3** 2D/2D  $\text{TiO}_2\text{-GO-ZnFe}_2\text{O}_4$  composite (a and b) TEM images, (c and d) HRTEM with marked lattice spacing for  $\text{TiO}_2$  and  $\text{ZnFe}_2\text{O}_4$ , and (e) TEM images of composite with fast Fourier transform results (inset)



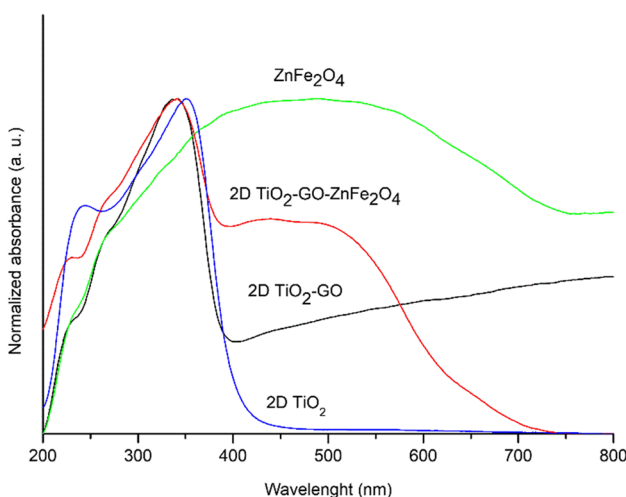
Lemine et al. 2011). Based on STEM images and mapping of the selected area, graphene oxide layers are intercalated in 2D  $\text{TiO}_2$  and embedded with  $\text{ZnFe}_2\text{O}_4$  (see Fig. 4). Energy dispersion spectroscopy (EDS) confirmed the presence of Zn, Fe, C, O, and Ti in the structure of the photocatalytic material. Signals for Zn and Fe occurred in the same area inside the structure, and signals for C, O, and Ti outside

the magnetic particle structure. In the composite, graphene oxide consists of several layers.

The optical absorption properties of the magnetic photocatalysts are presented in Fig. 5. The analyzed samples absorb UV light due to the sp-d interaction between valence band electrons of O and d electrons of Ti or Zn/Fe atoms in  $\text{TiO}_2$  and  $\text{ZnFe}_2\text{O}_4$  structures, respectively.



**Fig. 4** Morphology (TEM images) and mapping of the 2D/2D  $\text{TiO}_2$ -GO- $\text{ZnFe}_2\text{O}_4$  photocatalyst



**Fig. 5** Diffuse reflectance spectra of  $\text{ZnFe}_2\text{O}_4$ , pure 2D  $\text{TiO}_2$ , 2D  $\text{TiO}_2$ -GO, and 2D/2D  $\text{TiO}_2$ -GO- $\text{ZnFe}_2\text{O}_4$  composite

The light absorption edge in the ultraviolet region for 2D titania particles was about 400 nm. For 2D  $\text{TiO}_2$ -GO and  $\text{TiO}_2$ -GO- $\text{ZnFe}_2\text{O}_4$  composites, the absorption was markedly redshifted after incorporating  $\text{ZnFe}_2\text{O}_4$  with GO and  $\text{TiO}_2$  layer. The ternary composite absorbs light in UV-vis light; therefore, solar light can be used for photocatalytic degradation of emerging contaminants in the presence of 2D/2D  $\text{TiO}_2$ -GO- $\text{ZnFe}_2\text{O}_4$  particles. Obtained spectra were transformed into the Kubelka–Munk function, and the Tauc transformation was used to determine the optical bandgap energy. As expected, the  $\text{ZnFe}_2\text{O}_4$  ferrite sample exhibited low bandgap energy of 1.5 eV, which widened after hydrothermal treatment with GO. The bandgap energy for 2D  $\text{TiO}_2$  was 3.2 eV.

According to the literature, the energy bandgap of pure  $\text{TiO}_2$  particles depends on the polymorphs and is reported at ~3.0 eV for rutile and 3.2–3.3 eV for anatase. The energy bandgap for 2D  $\text{TiO}_2$ -GO was 2.9 eV. The extended light absorption in the visible light of  $\text{TiO}_2$ -GO can be ascribed

to the formation of Ti–O–C covalent bonds between oxygen groups from GO and Ti atoms promoted during the hydrothermal treatment (Ti–O–C). The energy bandgap of  $\text{TiO}_2$ -GO composite with magnetic particles of  $\text{ZnFe}_2\text{O}_4$  was about 2.85 eV.

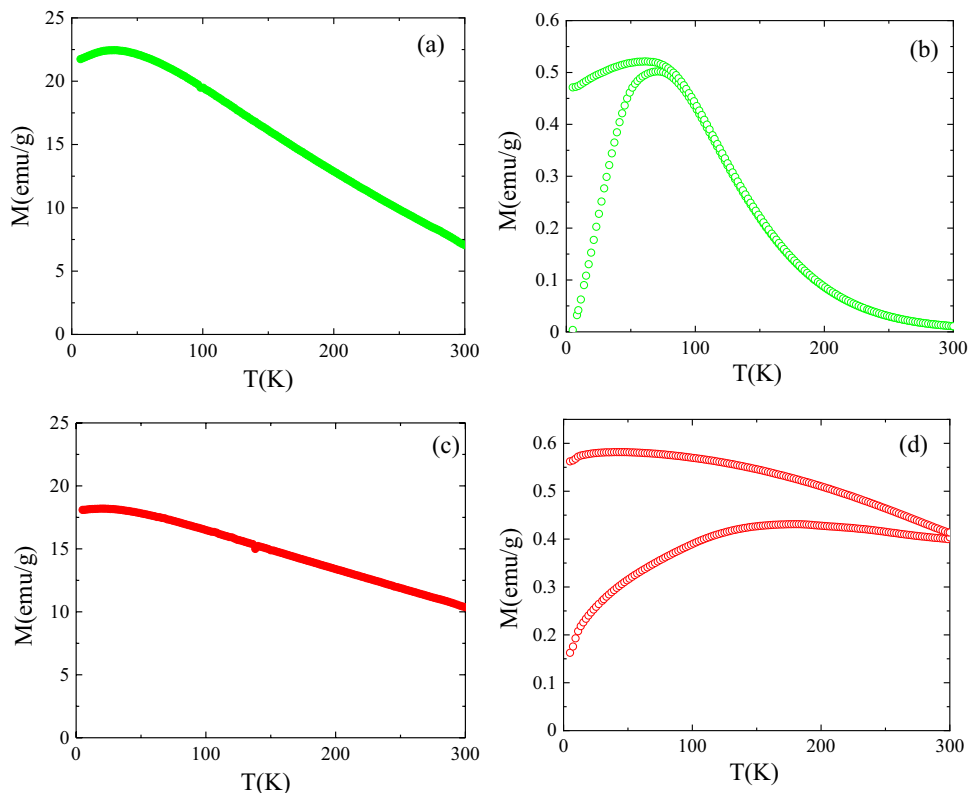
Figure 6 shows the high field magnetization,  $M$ , (applied magnetic field  $\mu_0H=6$  T) versus temperature,  $T$ , and zero-field-cooled and field-cooled (ZFC–FC) magnetization curves obtained at 50 Oe for the  $\text{ZnFe}_2\text{O}_4$  nanoparticles and the 2D  $\text{TiO}_2$ -GO- $\text{ZnFe}_2\text{O}_4$  composite. Bulk  $\text{ZnFe}_2\text{O}_4$  is anti-ferromagnetic with Néel temperature,  $T_N=10$  K, displaying reduced magnetic susceptibility at 300 K. Bulk Zn ferrite is a normal spinel, where  $\text{Fe}^{3+}$  cations anti-ferromagnetically coupled occupy octahedral ( $B$ ) sites, and  $\text{Zn}^{2+}$  cations (non-magnetic) are preferentially located at the tetrahedral  $A$  positions (Antic et al. 2013). However, ferrimagnetic behavior is usually found at the nanoscale as a consequence of the cation redistribution between octahedral and tetrahedral sites and the occurrence of mixed states (i.e.,  $\text{Fe}^{3+}$  cations in both  $B$  and  $A$  sites). This behavior can be confirmed in Fig. 6a, where the high field magnetization evolves with temperature similarly to reported  $\text{ZnFe}_2\text{O}_4$  ferrimagnetic nanoparticles (Gómez-Polo et al. 2018).

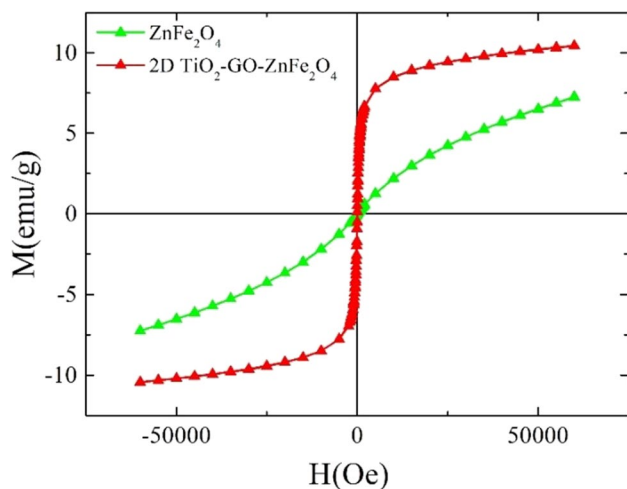
Furthermore, the occurrence of a maximum value in the ZFC magnetization curve around 75 K (see Fig. 6a) confirmed the superparamagnetic behavior of the Zn ferrite nanoparticles with characteristic blocking temperature,  $T_B$

- 75 K. However, slight changes in the magnetic response are found in the 2D  $\text{TiO}_2$ -GO- $\text{ZnFe}_2\text{O}_4$  composite, mainly in the ZFC–FC magnetisation curves (see Fig. 6d).

The shift of the wide maximum in the ZFC magnetization toward higher temperatures would be compatible with wide size distribution and an increase in the mean nanoparticle size. Nevertheless, no significant changes can be detected in the high-field magnetization (see Fig. 6c) compared with the initial  $\text{ZnFe}_2\text{O}_4$  nanoparticles. It should be noted that the superparamagnetic behavior (anhysteretic magnetic behavior at temperatures above  $T_B$ ) is of relevance considering the photocatalytic applications since it enables a better dispersion of the nanoparticles due to the absence of inter-particle magnetic interactions. Additionally, a high magnetic susceptibility facilitates nanoparticle extraction from the medium in which they are immersed through the application of an external magnetic field. In the present samples, anhysteretic  $M$ - $H$  at 300 K hysteresis loops can be deduced from Fig. 7 in the initial  $\text{ZnFe}_2\text{O}_4$ . However, for the 2D  $\text{TiO}_2$ -GO- $\text{ZnFe}_2\text{O}_4$  composite, non-zero coercivity ( $H_c \approx 30$  Oe) and magnetization at the remanence ( $M_r \bullet 0.4$  emu/g), close to the SQUID detection limit, are detected and ascribed to the larger magnetic ferrite nanoparticles. However, these low values, close to the anhysteretic response, confirm the utility of the composite for photocatalytic applications (i.e., reduced magnetic inter-particle interactions).

**Fig. 6** High field magnetization,  $M$ , (applied magnetic field  $\mu_0H=6$  T) versus temperature,  $T$ , for (a)  $\text{ZnFe}_2\text{O}_4$  nanoparticles and (c) 2D  $\text{TiO}_2$ -GO- $\text{ZnFe}_2\text{O}_4$  composite. Zero-field-cooled and field-cooled (ZFC–FC) magnetization curves obtained at 50 Oe for (a)  $\text{ZnFe}_2\text{O}_4$  nanoparticles and (d) 2D  $\text{TiO}_2$ -GO- $\text{ZnFe}_2\text{O}_4$  composite





**Fig. 7** Room temperature  $M$ - $H$  hysteresis loops  $\text{ZnFe}_2\text{O}_4$  nanoparticles and (c) 2D  $\text{TiO}_2$ -GO-ZnFe<sub>2</sub>O<sub>4</sub> composite

Furthermore, the remarkable increase in the magnetic susceptibility (i.e., magnetization at low applied magnetic fields) in this composite sample would enhance the recycling and magnetic separation capability of the photocatalyst.

### Photocatalytic degradation of ibuprofen in the presence of 2D/2D $\text{TiO}_2$ -GO-ZnFe<sub>2</sub>O<sub>4</sub> nanocomposites

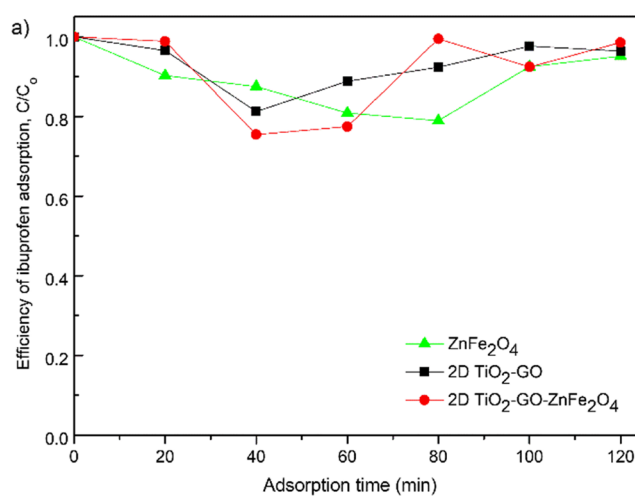
Chemical adsorption takes place in graphene-based materials. This adsorption mechanism is based on the interaction with  $\pi$ -electron of the graphitic rings,  $\pi$ - $\pi$  interaction, and hydrogen bond (Liu et al. 2020; Guedidi et al. 2013; Low et al. 2017). Therefore, before the photocatalytic analysis, the adsorption properties of the composite materials were

studied and presented in Fig. 8a. The obtained photocatalysts revealed relatively low adsorption of ibuprofen during 120 min of the process. Besides, no relationship was noticed between the ability of photocatalysts to adsorb organic pollutants and the specific surface area.

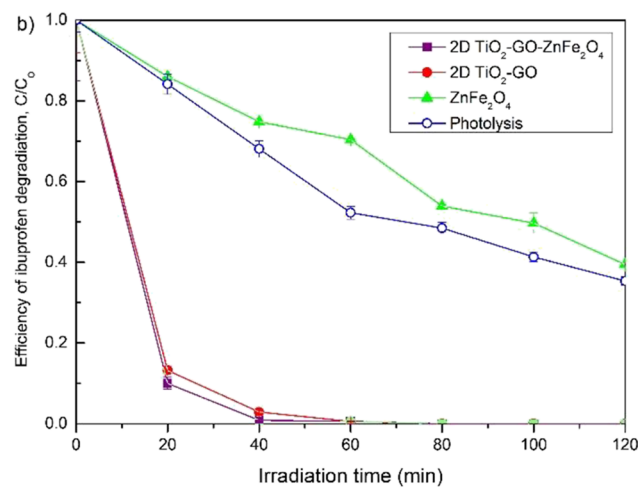
The photodegradation properties of  $\text{ZnFe}_2\text{O}_4$  were similar to ibuprofen depletion during photolysis. The highest photocatalytic degradation was observed for  $\text{TiO}_2$ -GO nanosheets and 2D  $\text{TiO}_2$ -GO-ZnFe<sub>2</sub>O<sub>4</sub> composite. The photocatalytic decomposition of ibuprofen reached 90% in only 20 min of photodegradation under simulated solar light (see Fig. 8b). During the next 20 min (after 40 min of irradiation), about 99% and 97% were degraded for 2D  $\text{TiO}_2$ -GO-ZnFe<sub>2</sub>O<sub>4</sub> and 2D  $\text{TiO}_2$ -GO, respectively. The combination of 2D  $\text{TiO}_2$ -GO with zinc spinel ferrite does not deteriorate the photocatalytic properties and allows to take advantage of high photocatalytic activity under solar light and magnetic separation properties. In this regard, the hybrid nanocomposite of 2D/2D  $\text{TiO}_2$ -GO-ZnFe<sub>2</sub>O<sub>4</sub> determines photocatalyst new and improved properties.

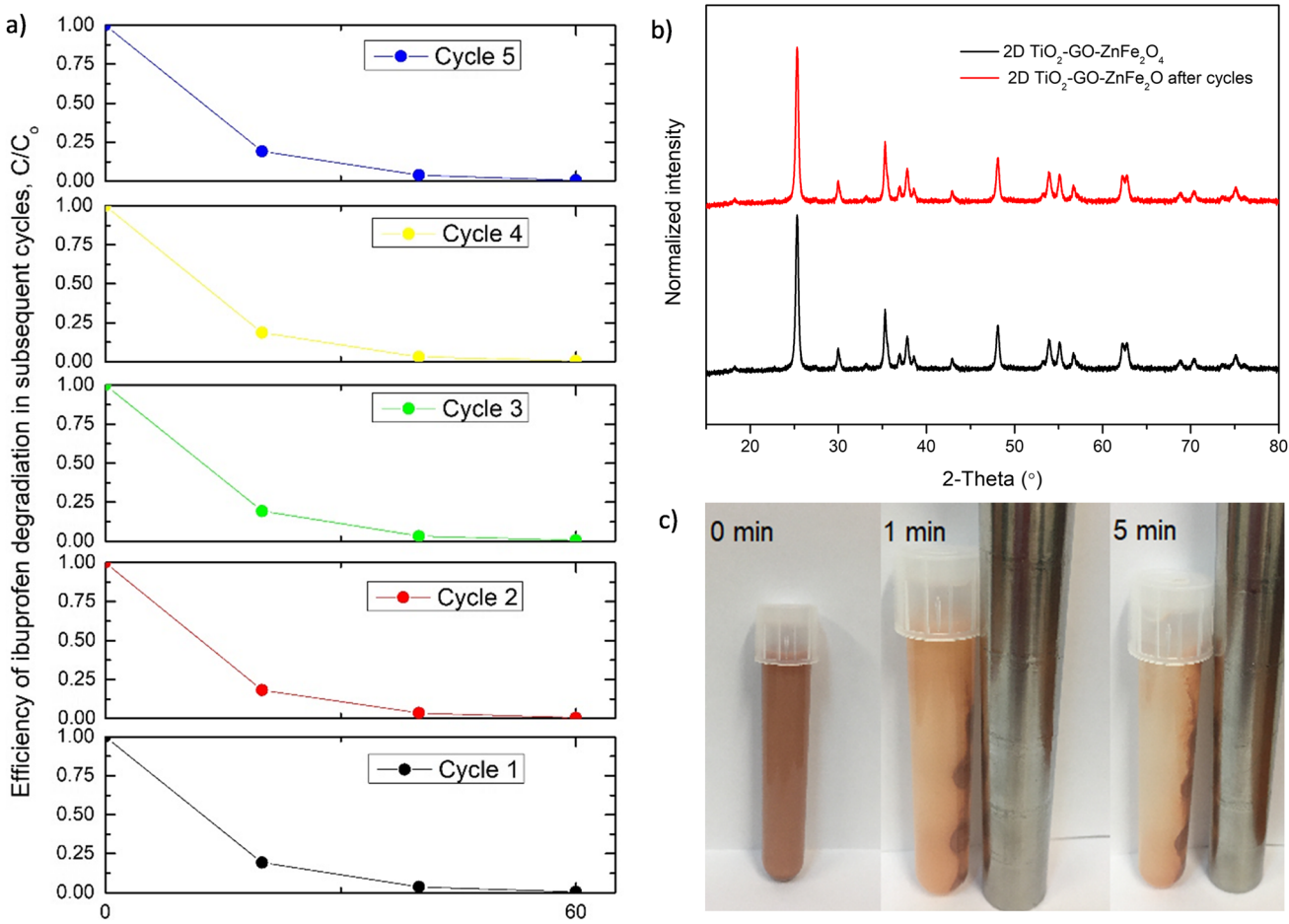
Furthermore, the 2D/2D  $\text{TiO}_2$ -GO-ZnFe<sub>2</sub>O<sub>4</sub> composite material was selected for the reusability studies. The five subsequent cycles were performed to examine the photocatalytic stability of the magnetic photocatalyst after its recovery, as presented in Fig. 9a.

After each run of ibuprofen degradation, a defined amount of IBU was added to the reactor to attain the initial concentration of 21 mg/dm<sup>3</sup>; then, next photodegradation cycle was started. This procedure mitigates the risk of the impact of photocatalyst amount change or kinetics change due to fresh/new photocatalyst add-ons or any potential photocatalyst surface changes during the drying process. Therefore, it can be understood as “perfect separation and reuse” of photocatalyst. The 2D/2D  $\text{TiO}_2$ -GO-ZnFe<sub>2</sub>O<sub>4</sub> composite



**Fig. 8** The efficiency of ibuprofen degradation in the photocatalytic reaction under UV-vis light irradiation





**Fig. 9** The efficiency of ibuprofen degradation in the presence of 2D TiO<sub>2</sub>-GO-ZnFe<sub>2</sub>O<sub>4</sub> photocatalyst measured in the five subsequent cycles of degradation (a), XRD diffractograms of 2D/2D

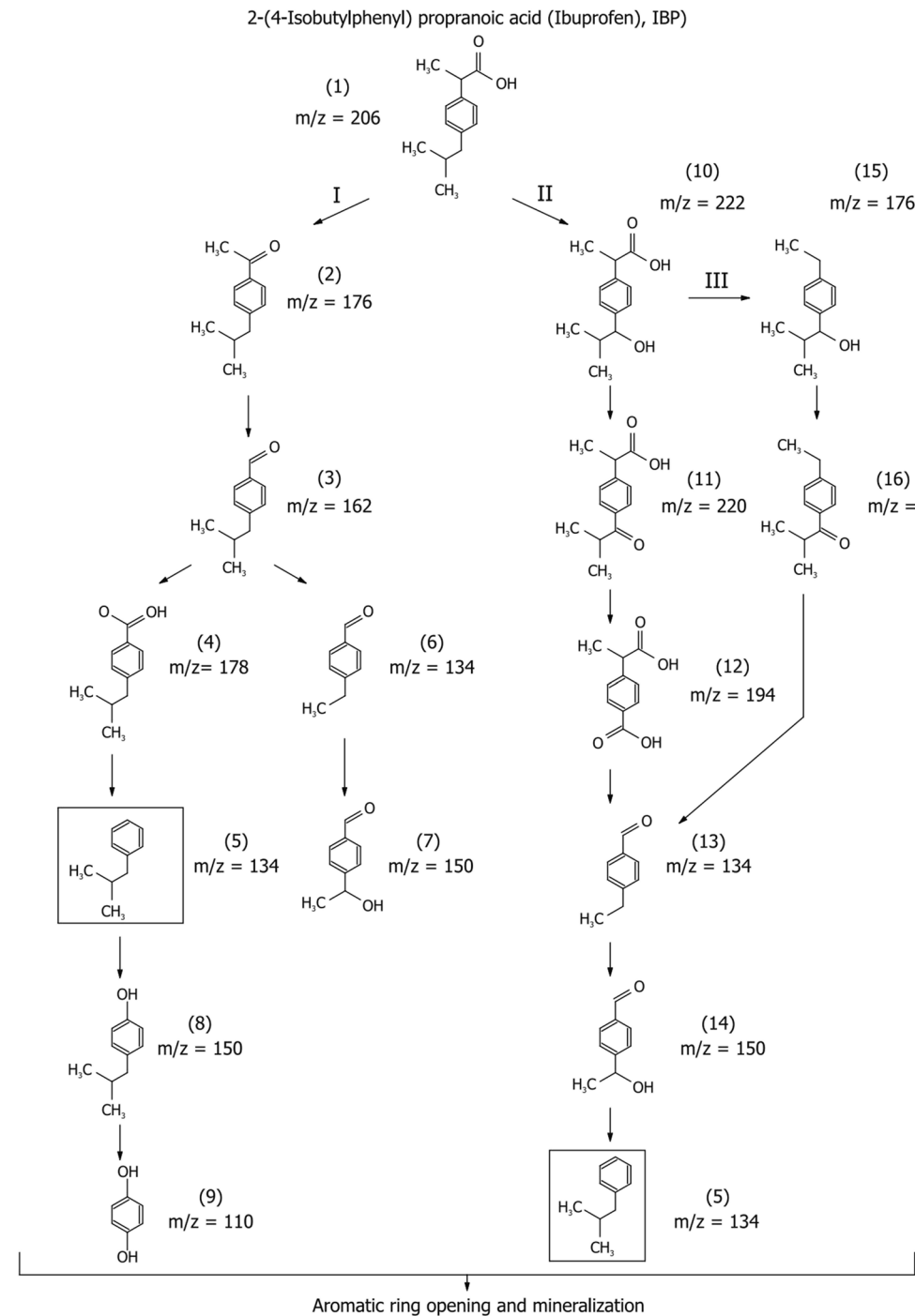
TiO<sub>2</sub>-GO-ZnFe<sub>2</sub>O<sub>4</sub> photocatalyst before and after the subsequent cycles of degradation (b), and magnetic photocatalyst separation after 1 min and 5 min (c)

showed excellent stability without any changes in the structure of the composite material in the subsequent cycles of photocatalytic degradation (Fig. 9a and b). High photocatalytic degradation efficiency was maintained after the fifth subsequent cycle without any significant changes in ibuprofen degradation and mineralization. The TOC reduction  $\text{TOC}_0\text{-TOC}_t/\text{TOC}_0$  for each cycle amounted to  $0.62 \pm 0.04$ . After the fifth irradiation cycle, the photocatalyst was magnetically separated (Fig. 9c). The use of zinc ferrite as a magnetic material allowed the separation of more than 96% of the entire photocatalyst nanoparticles from the suspension in less than 5 min, including loss of photocatalyst during drying before use in the next cycle.

Further LC-MS analyses were performed to identify reaction intermediates and understand the mechanism of IBU degradation during the photocatalytic process. The results showed that 2D TiO<sub>2</sub>-GO and 2D TiO<sub>2</sub>-GO-ZnFe<sub>2</sub>O<sub>4</sub> photocatalysts effectively degraded IBU. The phenolic compounds or aromatic carboxylic

acids were detected as intermediates of ibuprofen photodegradation. Molecular structures for the intermediate were proposed based on ion molecular weights and MS fragmentation patterns. The proposed pathways of IBU degradation are presented in Fig. 10. First, 2-(4-isobutylphenyl) propanoic acid (ibuprofen, IBU) hydroxylation results in the formation of 2-4-isobutylacetophenone (**2**). Further demethylation leads to the loss of the terminal -CH<sub>3</sub> group producing 4-isobutylbenzaldehyde (**3**), which can be hydroxylated to carboxylic acid derivative (**4**), or its isobutyl group can be demethylated to 4-ethylbenzaldehyde (**6**) and 4-(1-hydroxyethyl)benzaldehyde (**7**). Finally, through the decarboxylation yielding to isobutylbenzene (**5**), which is hydroxylated to the phenolic derivative (**8**) and (**9**). Then, oxidation leads to aromatic rings opening by the radical attack and producing short-chain organic acids, further mineralizing to CO<sub>2</sub> and H<sub>2</sub>O. In pathway II, 2-(4-isobutylphenyl) propanoic acid (**1**) is hydroxylated to 2-(4-(1-hydroxy-2-methyl propyl)phenyl)propanoic

**Fig. 10** The possible ibuprofen degradation pathways in the presence of 2D/2D  $\text{TiO}_2\text{-GO-ZnFe}_2\text{O}_4$  photocatalyst under simulated solar light



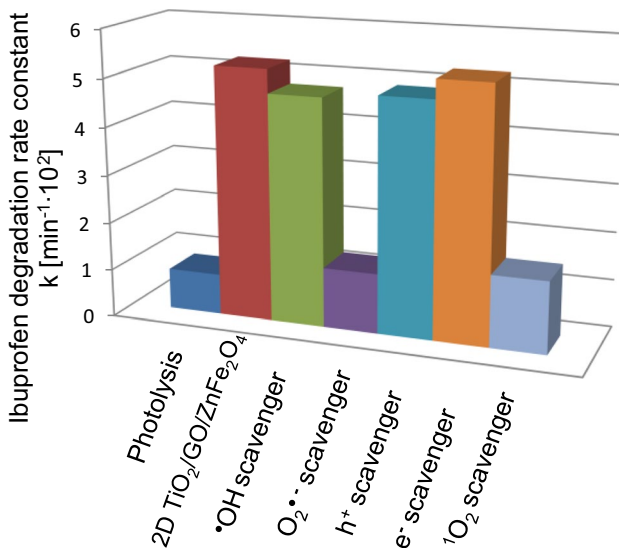
acid (3) and further transformed into the carboxylic acid derivative (12). The decarboxylation and isobutyl group demethylation give (13) further hydroxylated to form (14). Finally, the decarboxylation leads to the formation of isobutylbenzene, which is hydroxylated to the phenolic derivatives. The third pathway of IBU degradation is direct demethylation. In the first stage, the IBU is hydroxylated, and 2-(4-(1-hydroxy-2-methyl propyl)phenyl)propanoic acid is formed. Subsequently, decarboxylation of this

intermediate leads to the formation of 1-(4-ethyl phenyl)-2-methyl propan-1-ol (15), which is further demethylated and hydroxylated to form isobutylbenzene (5). Finally, the reactive oxygen species are involved in degradation, which attacks the phenyl ring yielding simple aromatic organic compounds generation, e.g., hydroquinone. Then, the phenyl ring in these compounds disintegrates, and short-chain organic acids are produced, which are further mineralized to  $\text{CO}_2$  and  $\text{H}_2\text{O}$ .

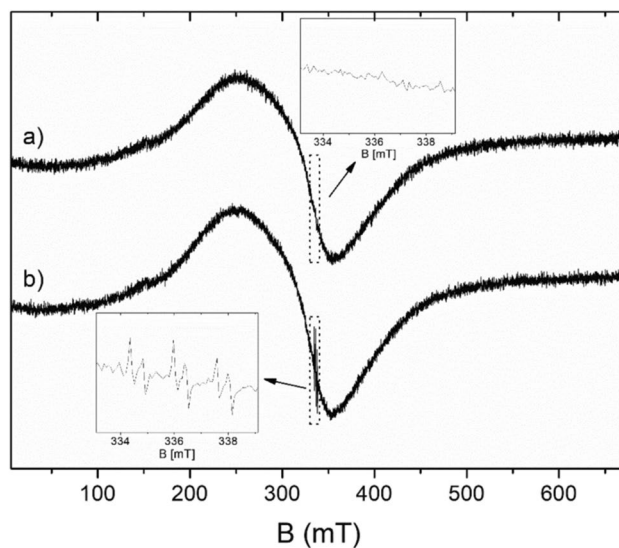
## Identification of reactive species and mechanism of ibuprofen photodegradation

In order to confirm the mechanism of ibuprofen photocatalytic degradation, reactive oxygen species participating in the photocatalytic process were analyzed in reference experiments in the presence of scavengers. In this regard, the photocatalytic activity of the most active 2D/2D  $\text{TiO}_2\text{-GO-ZnFe}_2\text{O}_4$  photocatalyst in the presence of tert-butanol (hydroxyl radical scavenger,  $\cdot\text{OH}$ ), benzoquinone (superoxide radical scavenger,  $\cdot\text{O}_2^-$ ), sodium azide (singlet oxygen,  $^1\text{O}_2^-$  scavenger), ammonium oxalate ( $\text{h}^+$  scavenger), and silver nitrate ( $\text{e}^-$  scavenger) was investigated. Photocatalytic degradation of ibuprofen determined without scavengers served as the reference sample. The introduction of t-BuOH, which captures photogenerated hydroxyl radicals, slightly affected the efficiency of IBU degradation (see Fig. 11). However, the photocatalytic efficiency was significantly reduced in the presence of benzoquinone and sodium azide, indicating that  $\cdot\text{O}_2^-$  and  $^1\text{O}_2$  play an important role in the photodegradation of ibuprofen.

Electron spin resonance is one of the most sensitive methods for free radicals detection. However, superoxide or hydroxyl radicals have too short lifetime to detect such radicals directly by ESR. In order to obtain a more stable adduct that could be detected and identified by ESR, PBN as a spin trap for short-lived radicals was used. The broad range of ESR spectra of the sample before irradiation and several dozen minutes after the end of irradiation are presented in Fig. 12. For irradiated and non-irradiated samples, the spectra consist of broad, non-symmetrical line characteristic of ferrite nanoparticles (Li et al. 1996;



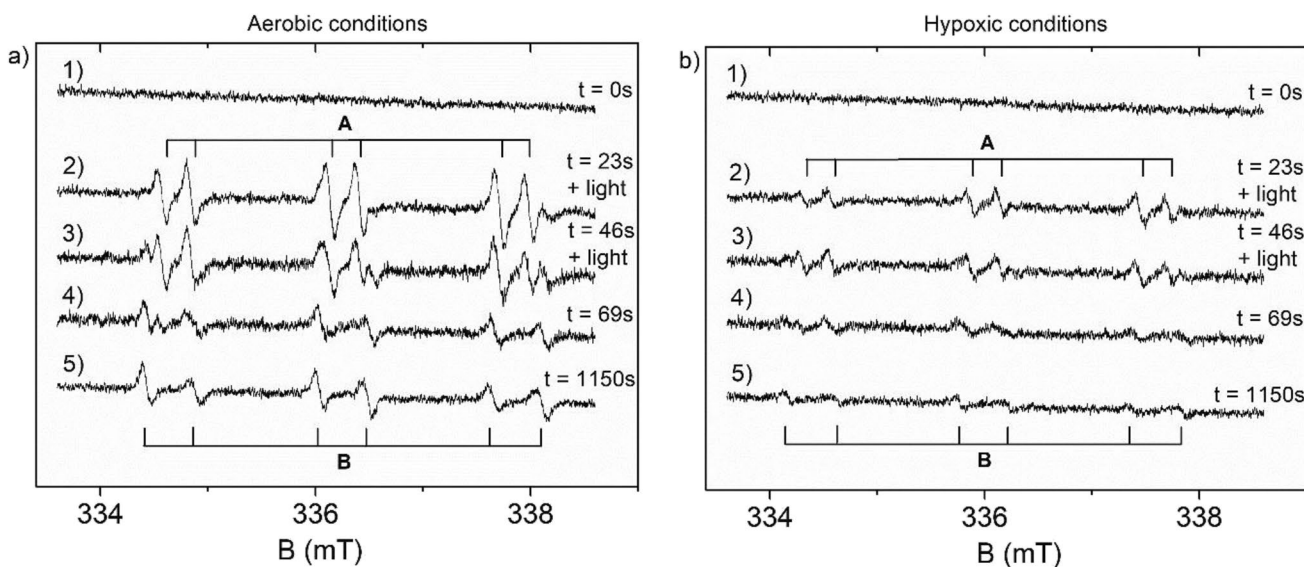
**Fig. 11** Photocatalytic degradation of IBU for 2D  $\text{TiO}_2\text{-GO-ZnFe}_2\text{O}_4$  photocatalyst in the presence of  $\cdot\text{OH}$ ,  $\cdot\text{O}_2^-$ ,  $\text{h}^+$ ,  $\text{e}^-$ , and  ${}^1\text{O}_2$  scavengers



**Fig. 12** ESR spectra of the aqueous suspension of 2DTiO<sub>2</sub>/GO/ZnFe<sub>2</sub>O<sub>4</sub> performed under aerobic conditions in the presence of PBN spin trap. (a) Non-irradiated sample and (b) irradiated sample. The inserts show the parts of the spectra near the g-factor 2.0056

Naseri et al. 2011; Coskun and Korkmaz 2014; Naseri et al. 2014). As presented in the inserts of Fig. 12, the lines which can be assigned to radicals appear only in the spectrum of the irradiated sample.

Furthermore, the ESR spectra were analyzed under aerobic conditions (Fig. 13a) and hypoxic conditions (Fig. 13b). Without light exposure, the presence of any radicals in the sample was not observed (spectrum 1 in Fig. 13a and b). Within tens of seconds of irradiation, a gradual increase of ESR lines was observed (spectra 2 and 3 in Fig. 13a and b), and a distinct triplet of doublets was formed (radical A), which indicated the interaction of an unpaired electron with a nitrogen nucleus and a proton. The radical A was described by the spin Hamiltonian parameters presented in Table 2 and can be attributed to PBN-OH radical adduct (Dodd and Jha 2011; Tero-Kubota et al. 1982; Harbourg et al. 1974). This radical adduct is created if a short-lived hydroxyl radical is trapped by PBN. Even during irradiation, the second paramagnetic complex B appears in the spectrum (see the last small line in spectra 3, Fig. 13a and b). Upon termination of irradiation (spectra 4 and 5 in Fig. 13a and b), the spectrum continues to change, and the intensity of paramagnetic complex B increases and complex A decreases. This is evidence of the conversion of complex A into complex B. About one thousand seconds after the end of irradiation, only the B radical was released into the spectrum. This is believed that the stable complex B is the benzoyl spin adduct, resulting from the decomposition of PBN (Dodd and Jha 2011; Tero-Kubota et al. 1982).



**Fig. 13** ESR spectra recorded under aerobic (a) and hypoxic conditions for (1) non-irradiated sample, (2–3) spectra recorded during light irradiation, (4–5) spectra recorded after irradiation was finished.

The recording time of each spectrum was approximately 23 s. The numbers on the right side of the figure represent the starting time of each record

**Table 2** Hyperfine constants of nitrogen ( $A^N$ ) and hydrogen ( $A^H$ ), and g-factor for radicals created after UV irradiation

Radical adduct	$A^N$ (mT)	$A^H$ (mT)	g-factor
A	$1.56 \pm 0.01$	$0.27 \pm 0.01$	$2.0057 \pm 0.0001$
B	$1.60 \pm 0.01$	$0.46 \pm 0.01$	$2.0056 \pm 0.0001$

It should be noted that for both cases, i.e., hypoxic and aerobic conditions, ESR detected the same kinds of paramagnetic centers: hydroxyl radical and benzoyl spin adduct. However, the ESR spectra of the sample recorded under aerobic conditions (Fig. 13a) are at least twice as intense as those corresponding to hypoxic conditions (Fig. 13b).

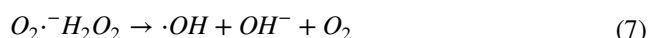
Photoexcitation of  $TiO_2$  can create a valence band hole  $h_{vb}^+$  and  $e_{eb}^-$  pair (A):



In the presence of water molecules or hydroxide ions, the positive holes can generate hydroxyl radicals, while the conduction band electrons change the oxidation state of titanium ions (Dodd and Jha 2011; Cho et al. 2005):



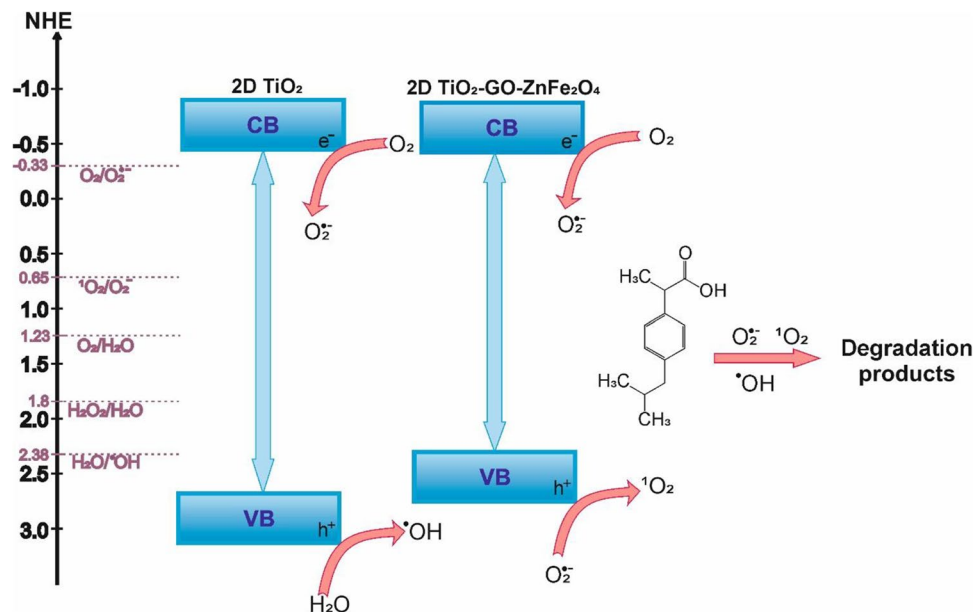
Under aerobic conditions, superoxide radicals are created (Eq. 5), which can be transformed into hydrogen peroxide (Eq. 6) or hydroxyl radicals (Eq. 7). Moreover, Eq. 8 indicates that the hydroxyl radical may be formed by the interaction of hydrogen peroxide with a conduction band electron.



The above difference in the ESR spectra intensity strongly suggests that superoxide radicals are generated by irradiation, but their lifetime is too short to be trapped by PBN and detected by ESR. The higher intensity of the ESR spectrum for the sample under aerobic conditions is due to the transformation of superoxide radicals to hydroxyl radicals, as described directly by Eq. 7 and indirectly by Eq. 6 and 8.

Figure 14 shows a graphical presentation of the photocatalyst band edges position and charge transfer during excitation with a light greater than its bandgap energy. For n-type semiconductors, the flat band potential is almost equal to the conduction band potential. The flat

**Fig. 14** Schematic representation of 2D  $\text{TiO}_2$  and 2D/2D  $\text{TiO}_2\text{-GO-ZnFe}_2\text{O}_4$  band structure and excitation under UV-vis light



band potential of 2D  $\text{TiO}_2\text{-GO-ZnFe}_2\text{O}_4$  was  $-0.56$  V vs. NHE. The valence band edge location estimated according to a value of the flat band edge position and bandgap energy was  $2.34$  V vs. NHE.

According to the obtained results, 2D/2D  $\text{TiO}_2\text{-GO-ZnFe}_2\text{O}_4$  can effectively oxidize  $\text{H}_2\text{O}$  to oxygen and reduce oxygen into superoxide radicals (Eq. 5). Furthermore, singlet oxygen can be produced by the oxidation of the superoxide radical anion (Eq. 10). The band structure of the 2D  $\text{TiO}_2\text{-GO-ZnFe}_2\text{O}_4$  composite correlates with significant inhibition of ibuprofen degradation in the presence of benzoquinone as a  $\cdot\text{O}_2^-$  scavenger and sodium azide as a  $^1\text{O}_2$  scavenger, suggesting that the degradation mechanism involving superoxide radicals and singlet oxygen plays a crucial role. Furthermore, the presented results correspond with the electronic spin resonance ESR analysis, indicating the significant involvement of superoxide radicals in the IBU photodegradation. The graphene oxide CB band position is below the 2D  $\text{TiO}_2$  CB position (Low et al. 2017; Xiang et al. 2011). Therefore, the intercalation of graphene oxide in the structure of 2D  $\text{TiO}_2$ -based composite enhances the photocatalytic activity of  $\text{TiO}_2$  due to the fast migration of conduction band electrons from the photocatalyst to graphene oxide. The transfer of  $e^-$  elongates the lifetime of holes in the VB of  $\text{TiO}_2$ . Accumulated electrons participate in superoxide anion radical generation from oxygen, whereas photogenerated holes participate in singlet oxygen production as a main reactive oxygen species taking part in the photocatalytic oxidation reaction.

## Toxicity assessment

According to the Globally Harmonized System of Classification and Labeling of Chemicals, ibuprofen is classified as a compound that is harmful to aquatic organisms (Ortiz de García et al. 2014). The toxicity of IBU degradation products may differ from the initial compound. Therefore, it is necessary to examine the toxicity of the IBU solution during the photocatalytic process. The solutions of IBU photodegradation were tested for their toxicity toward *Vibrio fischeri*. The  $EC_{50}$  obtained for the initial IBU solution was equal to  $59.05\%$ , which leads to  $EC_{50} = 11.81 \text{ mg}\cdot\text{dm}^{-3}$ . The determined  $EC_{50}$  value of IBU toxicity toward *Vibrio fischeri* bacteria complies with literature data  $EC_{50} = 12.1 \text{ mg}\cdot\text{dm}^{-3}$  (Ortiz de García et al. 2014). The following  $TU_{50}$  value was equal to  $8.467$ , qualifying the IBU solution as a toxic compound following the toxic unit classification (Dökmeci et al. 2014).

The photolytic treatment caused an increase in the toxicity of IBU solution. After 120 min of IBU photolysis under UV-vis irradiation, the  $EC_{50}$  value of the remaining solution reached  $32.47\%$ . Based on the IBU degradation efficiency for photolysis (IBU degradation efficiency equaled  $64\%$ ), the removal of pharmaceutical during the photolytic process is incomplete. IBU residue, combined with toxic by-products, increased the reaction mixture toxicity.

The photocatalytic process in the presence of 2D  $\text{TiO}_2\text{-GO-ZnFe}_2\text{O}_4$  resulted in a significant decrease in the toxicity of the solution, reaching an  $EC_{50}$  value equal to  $98.29\%$ . The residual toxicity of the examined sample

can be caused by trace amounts of by-products such as 1-(4-ethyl phenyl)-2-methyl propan-1-ol, whose presence was confirmed by LC–MS analysis.

## Conclusions

In summary, the 2D/2D  $\text{TiO}_2$ -GO-ZnFe<sub>2</sub>O<sub>4</sub> magnetic photocatalyst was successfully synthesized using the fluorine-free lyophilization method and applied for the first time in the photodegradation of ibuprofen. The STEM images and mapping of the selected area showed that graphene oxide layers are intercalated in 2D  $\text{TiO}_2$  and embedded with ZnFe<sub>2</sub>O<sub>4</sub>. The obtained nanocomposite 2D/2D  $\text{TiO}_2$ -GO-ZnFe<sub>2</sub>O<sub>4</sub> showed a nearly anhysteretic magnetic response, together with a high initial magnetic susceptibility value, enabling effective magnetic separation. The valence band edge location estimated according to a value of the flat band edge position and bandgap energy correlates with significant inhibition of IBU degradation in the presence of superoxide radicals. Furthermore, the photodegradation tests in the presence of scavengers and the electronic spin resonance ESR analysis indicated the significant involvement of superoxide radicals and singlet oxygen in the IBU photodegradation. Based on LC–MS analysis, intermediates were determined in the photocatalytic reaction, and a pathway of photodegradation was proposed. For 2D/2D  $\text{TiO}_2$ -GO-ZnFe<sub>2</sub>O<sub>4</sub> composite, ibuprofen photocatalytic degradation reached 90% in only 20 min, which proved that the 2D magnetic composite is a promising photocatalyst for the degradation of active pharmaceutical ingredients under solar light. The photolysis of ibuprofen led to the formation of more toxic intermediates than the parent compound, whereas photodegradation in the presence of 2D/2D  $\text{TiO}_2$ -GO-ZnFe<sub>2</sub>O<sub>4</sub> composite led to non-toxic and more susceptible to biodegradation intermediates.

**Acknowledgements** This research was financially supported by the Polish National Science Centre, grant no. 2018/30/E/ST5/00845. Student Eryka Mrotek for the help in toxicity tests is highly acknowledged. Grant PID2020-116321RB-C21 funded by MCIN/AEI/10.13039/501100011033 is also acknowledged.

**Author contribution** Conceptualization, methodology, supervision, draft preparation, writing—review and editing, project administration, and funding acquisition were done by Anna Zielińska-Jurek; synthesis of the photocatalysts, characterization of the photocatalysts, and draft preparation were done by Izabela Malinowska; HPLC-TOFMS analysis was done by Paweł Kubica; ESR/EPR analysis was done by Adam Ostrowski and Waldemar Bednarski; magnetic property analyses and writing—review and editing were done by Cristina Gómez Polo and Laura Carvera.

**Data availability** We declared that the data and materials presented in this paper are reliable.

## Declarations

**Ethics approval** Not applicable.

**Consent to participate** We consent to participate in this manuscript.

**Consent for publication** We consent to publish this manuscript.

**Competing interests** The authors declare no competing interests.

**Open Access** This article is licensed under a Creative Commons Attribution 4.0 International License, which permits use, sharing, adaptation, distribution and reproduction in any medium or format, as long as you give appropriate credit to the original author(s) and the source, provide a link to the Creative Commons licence, and indicate if changes were made. The images or other third party material in this article are included in the article's Creative Commons licence, unless indicated otherwise in a credit line to the material. If material is not included in the article's Creative Commons licence and your intended use is not permitted by statutory regulation or exceeds the permitted use, you will need to obtain permission directly from the copyright holder. To view a copy of this licence, visit <http://creativecommons.org/licenses/by/4.0/>.

## References

- Andreozzi R, Raffaele M, Nicklas P (2003) Pharmaceuticals in STP effluents and their solar photodegradation in aquatic environment. Chemosphere 50:1319–1330
- Antic B, Perovic M, Kremenovic A, Blanusa J, Spasojevic V, Vulic P, Bessais L, Bozin ES (2013) An integrated study of thermal treatment effects on the microstructure and magnetic properties of Zn-ferrite nanoparticles. J Phys: Condens Matter 25:086001
- Buser HR, Poiger T, Muller MD (1999) Occurrence and environmental behavior of the chiral pharmaceutical drug ibuprofen in surface waters and in wastewater. Environ Sci Technol 33:2529–2535
- Cho M, Chung H, Choi W, Yoon J (2005) Different inactivation behaviors of MS-2 phage and Escherichia coli in  $\text{TiO}_2$  photocatalytic disinfection. Appl Environ Microbiol 71:270–275
- Coskun M, Korkmaz M (2014) The effect of SiO<sub>2</sub> shell thickness on the magnetic properties of ZnFe<sub>2</sub>O<sub>4</sub> nanoparticles. J Nanopart Res 16:2316
- Dodd NJF, Jha AN (2011) Photoexcitation of aqueous suspensions of titanium dioxide nanoparticles: an electron spin resonance spin trapping study of potentially oxidative reactions. Photochem Photobiol 87:632–640
- Dökmeçι A, Dökmeçι I, Ibar H (2014) The determination of single and mixture toxicity at high concentrations of some acidic pharmaceuticals via Aliivibrio fischeri. Environmental Processes 1:95–103
- Dudziak S, Kowalkińska M, Karczewski J, Pisarek M, Siuzdak K, Kubiać A, Siwińska-Ciesielczyk K, Zielińska-Jurek A (2021) Solvothermal growth of 0 0 1 exposed anatase nanosheets and their ability to mineralise organic pollutants. The effect of alcohol type and content on the nucleation and growth of TiO<sub>2</sub> nanostructures. Appl Surf Sci 563:150360
- Erim B, Cigeroglu Z, Bayramoglu M (2021) Green synthesis of  $\text{TiO}_2$ /GO/chitosan by using leaf extract of *Olea europaea* as a highly efficient photocatalyst for the degradation of cefixime trihydrate under UV-A radiation exposure: an optimisation study with d-optimal design. J Mol Struct 1234:130194
- Flippin JL, Huggett D, Foran CM (2007) Changes in the timing of reproduction following chronic exposure to ibuprofen in Japanese medaka, *Oryzias latipes*. Aquat Toxicol 81:73–78

- Gagne F, Blaise C, Andre C (2006) Occurrence of pharmaceutical products in a municipal effluent and toxicity to rainbow trout (*Oncorhynchus mykiss*) hepatocytes. *Ecotoxicol Environ Saf* 64:329–336
- Gómez-Polo C, Recarte V, Cervera L, Beato-López JJ, López-García J, Rodríguez-Velamazán JA, Ugarte MD, Mendonça EC, Duquetal JGS (2018) Tailoring the structural and magnetic properties of Co-Zn nanosized ferrites for hyperthermia applications. *J Magn Magn Mater* 465(1):211–219
- Guedidi H, Reinert L, Lévéque JM, Soneda Y, Bellakhal N, Duclaux L (2013) The effects of the surface oxidation of activated carbon, the solution pH and the temperature on adsorption of ibuprofen. *Carbon* 54:432–443
- Harbour JR, Chow V, Bolton JR (1974) An electron spin resonance study of the spin adducts of OH and HO<sub>2</sub> radicals with nitrones in the ultraviolet photolysis of aqueous hydrogen peroxide solutions. *Can J Chem* 52:3549–3553
- Hayashi Y, Heckmann LH, Callaghan A, Sibly RM (2008) Reproduction recovery of the crustacean *Daphnia magna* after chronic exposure to ibuprofen. *Ecotoxicology* 17:246–251
- Lee HB, Sarafin K, Peart TE, Svoboda ML (2003) Acidic pharmaceuticals in sewage-methodology, stability test, occurrence, and removal from Ontario samples. *Water Qual Res J Can* 38(4):667–682
- Lemine OM, Bououdina M, Sajieddine M, Al-Saie AM, Shafi M, Khatab A, Al-hilali M, Henini M (2011) Synthesis, structural, magnetic and optical properties of nanocrystalline ZnFe<sub>2</sub>O<sub>4</sub>. *Physica B* 406:1989–1994
- Li R, Li T, Zhou Q (2020) Impact of titanium dioxide (TiO<sub>2</sub>) modification on its application to pollution treatment—a review. *Catalysts* 10:804
- Li X, Lu G, Li S (1996) Synthesis and characterisation of fine particle ZnFe<sub>2</sub>O<sub>4</sub> powders by a low temperature method. *J Alloy Compd* 235:150–155
- Liu SH, Tang WT, Chou PH (2020) Microwave-assisted synthesis of triple 2D g-C<sub>3</sub>N<sub>4</sub>/Bi<sub>2</sub>WO<sub>6</sub>/rGO composites for ibuprofen photodegradation: kinetics, mechanism and toxicity evaluation of degradation products. *Chem Eng J* 387:124098
- Low J, Yu J, Jaroniec M, Wageh S, Al-Ghamdi AA (2017) Heterojunction photocatalysts. *Adv Mater* 160–169
- Mukhopadhyay S, Maiti D, Saha A, Devi PS (2016) Shape transition of TiO<sub>2</sub> nanocube to nanospindle embedded on reduced graphene oxide with enhanced photocatalytic activity. *Cryst Growth Des* 16(12):6922–6932
- Naseri MG, Halimah MK, Dehzangi A, Kamalianfar A, Saion EB, Majlis BY (2014) A comprehensive overview on the structure and comparison of magnetic properties of nanocrystalline synthesised by a thermal treatment method. *J Phys Chem Solids* 75:315–327
- Naseri MG, Saion EB, Hashim M, Shaari AH, Ahangard HA (2011) Synthesis and characterisation of zinc ferrite nanoparticles by a thermal treatment method. *Solid State Commun* 151:1031–1035
- Nebot C, Gibb SW, Boyed KG (2007) Quantification of human pharmaceuticals in water samples by high performance liquid chromatography–tandem mass spectrometry. *Anal Chim Acta* 598(1):87–94
- Nguyen-Phan TD, Pham VH, Shin EW, Pham HD, Kim S, Chung JS, Kim EJ, Hur SH (2011) The role of graphene oxide content on the adsorption-enhanced photocatalysis of titanium dioxide/graphene oxide composites. *Chem Eng J* 170:226–232
- Ortiz de García SA, Pinto Pinto G, García-Encina PA, Irusta-Mata R (2014) Ecotoxicity and environmental risk assessment of pharmaceuticals and personal care products in aquatic environments and wastewater treatment plants. *Ecotoxicology* 23:1517–1533
- Sajan CP, Wageh S, Al-Ghamdi AA, Yu J, Cao S (2016) TiO<sub>2</sub> nanosheets with exposed 001 facets for photocatalytic applications. *Nano Res* 9(1):3–27
- Saravani AZ, Nadimi M, Aroon MA, Pirbazari AE (2019) Magnetic TiO<sub>2</sub>/NiFe<sub>2</sub>O<sub>4</sub>/reduced graphene oxide nanocomposite as a recyclable photocatalyst for photocatalytic removal of methylene blue under visible light. *J Alloys Compounds* 803:291–306. <https://doi.org/10.1016/j.jallcom.2019.06.245>
- Sheng L, Liao T, Kou L, Sun Z (2017) Single-crystalline ultrathin 2D TiO<sub>2</sub> nanosheets: a bridge towards superior photovoltaic devices. *Mater Today Energy* 3:32–39
- Suna S, Zhaoa R, Xie Y, Liu Y (2021) Reduction of aflatoxin B1 by magnetic graphene oxide/TiO<sub>2</sub> nanocomposite and its effect on quality of corn oil. *Food Chem* 343:128521
- Štengl V, Bakardjieva S, Grygar TM, Bludská J, Kormunda M (2013) TiO<sub>2</sub>-graphene oxide nanocomposite as advanced photocatalytic materials. *Chem Central J* 7
- Tero-Kubota S, Ikegamia Y, Kurokawa T, Sasaki R, Sugioka K, Nakano M (1982) Generation of free radicals and initiation of radical reactions in nitrones — Fe<sup>2+</sup> - phosphate buffer systems. *Biochem Biophys Res Commun* 108:1025–1031
- Wang L, Peng Y, Nie X, Pan B, Ku P, Bao S (2016) Gene response of CYP360A, CYP314, and GST and whole-organism changes in *Daphnia magna* exposed to ibuprofen. *Comp Biochem Physiol c: Toxicol Pharmacol* 179:49–56
- Xiang QJ, Yu JG, Jaroniec M (2011) Enhanced photocatalytic H<sub>2</sub>-production activity of graphene-modified titaniananosheets. *Nanoscale* 3:3670
- Yadav HM, Kim JS (2016) Solvothermal synthesis of anatase TiO<sub>2</sub>-graphene oxide nanocomposites and their photocatalytic performance. *J Alloys Compounds* 668(Part B):123–129

**Publisher's note** Springer Nature remains neutral with regard to jurisdictional claims in published maps and institutional affiliations.



Gdańsk, 30.10.2023

dr hab. inż. Anna Zielińska-Jurek, prof. PG  
Katedra Inżynierii Procesowej i Technologii Chemicznej  
Wydział Chemiczny  
Politechnika Gdańskia  
ul. Narutowicza 11/12  
80-233 Gdańsk  
annjurek@pg.edu.pl

#### Oświadczenie współautora

Oświadczam, że mój indywidualny wkład w publikacje stanowiące część rozprawy doktorskiej mgr inż. Izabeli Malinowskiej:

1. I. Malinowska, Z. Ryżyńska, E. Mrotek, T. Klimczuk, A. Zielińska-Jurek, Synthesis of CoFe<sub>2</sub>O<sub>4</sub> nanoparticles: The effect of ionic strength, concentration, and precursor type on morphology and magnetic properties, Journal of Nanomaterials (2020), doi.org/10.1155/2020/9046219
2. I. Malinowska, E. Mrotek, A. Zielińska-Jurek, Synteza charakterystyka nanokompozytów TiO<sub>2</sub> o właściwościach magnetycznych do degradacji zanieczyszczeń organicznych w fazie wodnej, rozdział w monografii: Problematyka z zakresu nauk o środowisku – przegląd i badania, Lublin: Wydawnictwo Naukowe TYGIEL sp. z o.o. ISBN 978-83-65932-93-8 (2019) 124-136
3. E. Mrotek, S. Dudziak, I. Malinowska, D. Pelczarski, Z. Ryżyńska, A. Zielińska-Jurek, Improved degradation of etodolac in the presence of core-shell ZnFe<sub>2</sub>O<sub>4</sub>/SiO<sub>2</sub>/TiO<sub>2</sub> magnetic photocatalyst, Science of the Total Environment 724 (2020) 138167
4. I. Malinowska, P. Kubica, P. Madajski, A. Ostrowski, C. Gómez-Polo, L. Cervera, W. Bednarski, A. Zielińska-Jurek, Synthesis, characterization, and application of 2D/2D TiO<sub>2</sub>-GO-ZnFe<sub>2</sub>O<sub>4</sub> obtained by the fluorine-free lyophilization method for solar light-driven photocatalytic degradation of ibuprofen, Environmental Science and Pollution Research (2022), doi:10.1007/s11356-022-24587-0
5. I. Malinowska, O. Paszkiewicz, A. Markowska-Szczupak, A. Zielińska-Jurek, New trifunctional acrylic water-based paint with self-cleaning, biocidal and magnetic properties, Ceramics International (2023), doi:10.1016/j.ceramint.2023.10.166

obejmował zainicjowanie tematyki badawczej, opracowanie koncepcji i metodyki badań, koordynację prac badawczych, dyskusję wyników, redagowanie publikacji oraz pozyskanie funduszy na badania.

*Anna Zielińska-Jurek*

.....  
dr hab. inż. Anna Zielińska-Jurek, prof. PG



**POLITECHNIKA  
GDAŃSKA**

WYDZIAŁ FIZYKI TECHNICZNEJ  
I MATEMATYKI STOSOWANEJ



WYDZIAŁ FIZYKI TECHNICZNEJ  
I MATEMATYKI STOSOWANEJ

Prof. dr hab. inż. Tomasz Klimczuk  
Wydział Fizyki Technicznej i Matematyki Stosowanej  
Politechnika Gdańsk  
ul. G. Narutowicza 11/12  
80–233 Gdańsk  
e-mail: tomasz.klimczuk@pg.edu.pl

Gdańsk, 17.09.2023

**Oświadczenie współautora:**

Oświadczam, że jestem współautorem następującej publikacji:

, „*Synthesis of CoFe<sub>2</sub>O<sub>4</sub> Nanoparticles: The Effect of Ionic Strength, Concentration, and Precursor Type on Morphology and Magnetic Properties*”, Izabela Malinowska, Zuzanna Ryżyńska, Eryka Mrotek, Tomasz Klimczuk, and Anna Zielińska-Jurek, Journal of Nanomaterials **9046219** (2020).

Wspólnie z ówczesną doktorantką (Zuzanna Ryżyńska) przeprowadziliśmy badania i analizy proszkowej dyfrakcji rentgenowskiej i pomiary namagnesowania

Z poważaniem

prof. Tomasz Klimczuk

== Podpisano elektronicznie ==

**A2 SYNTEZA NANOCZĄSTEK COFE<sub>2</sub>O<sub>4</sub>. WPŁY SIŁY JONOWEJ, STEŻENIA I RODZAJU PREKURSORA NA MORFOLOGIĘ I WŁAŚCIWOŚCI MAGNETYCZNE**

**Tytuł:** Synthesis of CoFe<sub>2</sub>O<sub>4</sub> nanoparticles. The effect of ionic strength, concentration and precursor type on morphology and magnetic properties

**Autorzy:** Izabela Malinowska, Zuzanna Sobczak, Eryka Mrotek, Tomasz Klimczuk, Anna Zielińska-Jurek

**Czasopismo:** Journal of Nanomaterials

**Rok:** 2020

**A3 DEGRADACJA ETODOLAKU W OBECNOŚCI FOTOKATALIZATORA MAGNETYCZNEGO O STRUKTURZE TYPU TDZEŃ-OTOCZKA ZNFE<sub>2</sub>O<sub>4</sub>/SiO<sub>2</sub>/TiO<sub>2</sub>**

**Tytuł:** Improved degradation of etodolac in the presence of core-shell ZnFe<sub>2</sub>O<sub>4</sub>/SiO<sub>2</sub>/TiO<sub>2</sub> magnetic photocatalyst

**Autorzy:** Eryka Mrotek, Szymon Dudziak, Izabela Malinowska, Daniel Pelczarski, Zuzanna Ryżyńska, Anna Zielińska-Jurek

**Czasopismo:** SCIENCE OF THE TOTAL ENVIRONMENT

**Rok:** 2020

Ja niżej podpisana Zuzanna Ryżyńska wykonywałam analizy dotyczące właściwości magnetycznych oraz analizy SEM/TEM badanych związków.

Zuzanna Ryżyńska

## A2 NEW TRIFUNCTIONAL ACRYLIC WATER-BASED PAINT WITH SELF-CLEANING, BIOCIDAL AND MAGNETIC PROPERTIES

**Autorzy:** Izabela Malinowska, Oliwia Paszkiewicz, Agata Markowska-Szczupak, Anna Zielińska-Jurek

**Czasopismo:** CERAMICS INTERNATIONAL

**Rok:** 2023

Ja niżej podpisana Agata Markowska-Szczupak oświadczam, że w powyższej pracy naukowej opracowałam metodykę badań mikrobiologicznych i uczestniczyłam w analizie wyników tych analiz.

Agata Markowska - Szczupak

Szczecin 31.11.2023 r.



## A2 NEW TRIFUNCTIONAL ACRYLIC WATER-BASED PAINT WITH SELF-CLEANING, BIOCIDAL AND MAGNETIC PROPERTIES

**Autorzy:** Izabela Malinowska, Oliwia Paszkiewicz, Agata Markowska-Szczupak, Anna Zielińska-Jurek

**Czasopismo:** CERAMICS INTERNATIONAL

**Rok:** 2023

Ja niżej podpisana Oliwia Paszkiewicz oświadczam, że w powyższej pracy naukowej wykonałam następujące analizy mikrobiologiczne, dotyczące właściwości antybakterijnych badanych materiałów.

Oliwia Paszkiewicz

**A3 DEGRADACJA ETODOLAKU W OBECNOŚCI FOTOKATALIZATORA MAGNETYCZNEGO O  
STRUKTURZE TYPU TDZEŃ-OTOCZKA ZNFE<sub>2</sub>O<sub>4</sub>/SiO<sub>2</sub>/TiO<sub>2</sub>**

**Tytuł:** Improved degradation of etodolac in the presence of core-shell ZnFe<sub>2</sub>O<sub>4</sub>/SiO<sub>2</sub>/TiO<sub>2</sub> magnetic photocatalyst

**Autorzy:** Eryka Mrotek, Szymon Dudziak, Izabela Malinowska, Daniel Pelczarski, Zuzanna Ryżyńska, Anna Zielińska-Jurek

**Czasopismo:** SCIENCE OF THE TOTAL ENVIRONMENT

**Rok:** 2020

Ja niżej podpisany Szymon Dudziak wykonałem prace dotyczące ścieżki degradacji etodolaku pod wpływem światła oraz w obecności fotokatalizatora, na podstawie których zaproponowałem ogólny mechanizm degradacji w kontekście generowanych reaktywnych form tlenu i środowiska reakcji.

*Szymon Dudziak*

**A3 DEGRADACJA ETODOLAKU W OBECNOŚCI FOTOKATALIZATORA MAGNETYCZNEGO O  
STRUKTURZE TYPU RDZEŃ-OTOCZKA ZNFE<sub>2</sub>O<sub>4</sub>/SiO<sub>2</sub>/TiO<sub>2</sub>**

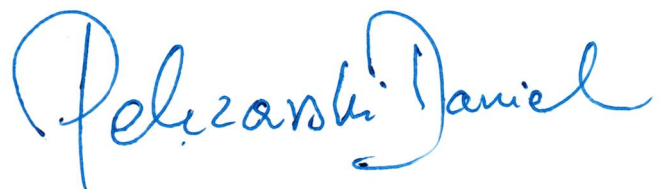
**Tytuł:** Improved degradation of etodolac in the presence of core-shell ZnFe<sub>2</sub>O<sub>4</sub>/SiO<sub>2</sub>/TiO<sub>2</sub> magnetic photocatalyst

**Autorzy:** Eryka Mrotek, Szymon Dudziak, Izabela Malinowska, Daniel Pelczarski, Zuzanna Ryżyńska, Anna Zielińska-Jurek

**Czasopismo:** SCIENCE OF THE TOTAL ENVIRONMENT

**Rok:** 2020

Ja niżej podpisany Daniel Pelczarski wykonałem widma fluorescencji fotokatalizatora opisanego w powyższej pracy naukowej.

A handwritten signature in blue ink, appearing to read "Pelczarski Daniel". The signature is fluid and cursive, with the last name being more prominent and the first name slightly smaller next to it.

**A4 SYNTEZA, CHARAKTERYSTYKA I ZASTOSOWANIE 2D/2D TiO<sub>2</sub>-GO-ZnFe<sub>2</sub>O<sub>4</sub>  
OTRZYMANEGO METODĄ LIOFILIZACJI BEZFLUOROWEJ DO FOTOKATALITYCZNEJ  
DEGRADACJI IBUPROFENU POD WPŁYWEM ŚWIATŁA SŁONECZNEGO**

**Tytuł:** Synthesis, characterisation and application of 2D/2D TiO<sub>2</sub>-GO-ZnFe<sub>2</sub>O<sub>4</sub> obtained by the fluorine-free lyophilisation method for solar light-driven photocatalytic degradation of ibuprofen

**Autorzy:** Izabela Malinowska, Paweł Kubica, Piotr Madajski, Adam Ostrowski, Cristina Gómez Polo, Laura Carvera, Waldemar Bednarski, Anna Zielińska-Jurek

**Czasopismo:** ENVIRONMENTAL SCIENCE AND POLLUTION RESEARCH

**Rok:** 2022

Ja niżej podpisany Waldemar Bednarski oświadczam, że w powyższej pracy naukowej wykonałem następujące analizy:

- Wykonanie pomiarów metodą elektronowego rezonansu paramagnetycznego i analiza otrzymanych wyników.

Dr. hab. Waldemar Bednarski



**A4 SYNTEZA, CHARAKTERYSTYKA I ZASTOSOWANIE 2D/2D  $TiO_2$ -GO-Zn $Fe_2O_4$   
OTRZYMANEGO METODĄ LIOFILIZACJI BEZFLUOROWEJ DO FOTOKATALITYCZNEJ  
DEGRADACJI IBUPROFENU POD WPŁYWEM ŚWIATŁA SŁONECZNEGO**

**Tytuł:** Synthesis, characterisation and application of 2D/2D  $TiO_2$ -GO-Zn $Fe_2O_4$  obtained by the fluorine-free lyophilisation method for solar light-driven photocatalytic degradation of ibuprofen

**Autorzy:**, Izabela Malinowska, Paweł Kubica, Piotr Madajski, Adam Ostrowski, Cristina Gómez Polo, Laura Carvera, Waldemar Bednarski, Anna Zielińska-Jurek

**Czasopismo:** ENVIRONMENTAL SCIENCE AND POLLUTION RESEARCH

**Rok:** 2022

I, the undersigned Laura Cervera, declare that I have performed analyzes regarding the magnetic properties of the tested compounds.



Laura Cervera

**A4 SYNTEZA, CHARAKTERYSTYKA I ZASTOSOWANIE 2D/2D  $\text{TiO}_2\text{-GO-ZnFe}_2\text{O}_4$   
OTRZYMANEGO METODĄ LIOFILIZACJI BEZFLUOROWEJ DO FOTOKATALITYCZNEJ  
DEGRADACJI IBUPROFENU POD WPŁYWEM ŚWIATŁA SŁONECZNEGO**

**Tytuł:** Synthesis, characterisation and application of 2D/2D  $\text{TiO}_2\text{-GO-ZnFe}_2\text{O}_4$  obtained by the fluorine-free lyophilisation method for solar light-driven photocatalytic degradation of ibuprofen **Autorzy:**, Izabela Malinowska, Paweł Kubica, Piotr Madajski, Adam Ostrowski, Cristina Gómez Polo, Laura Carvera, Waldemar Bednarski, Anna Zielińska-Jurek

**Czasopismo:** ENVIRONMENTAL SCIENCE AND POLLUTION RESEARCH

**Rok:** 2022

I, the undersigned Cristina Gómez Polo, declare that I have performed analyzes regarding the magnetic properties of the tested compounds and the interpretation and description of the results obtained.

Pamplona, 18 September 2023



**A4 SYNTEZA, CHARAKTERYSTYKA I ZASTOSOWANIE 2D/2D TiO<sub>2</sub>-GO-ZnFe<sub>2</sub>O<sub>4</sub>  
OTRZYMANEGO METODĄ LIOFILIZACJI BEZFLUOROWEJ DO FOTOKATALITYCZNEJ  
DEGRADACJI IBUPROFENU POD WPŁYWEM ŚWIATŁA SŁONECZNEGO**

**Tytuł:** Synthesis, characterisation and application of 2D/2D TiO<sub>2</sub>-GO-ZnFe<sub>2</sub>O<sub>4</sub> obtained by the fluorine-free lyophilisation method for solar light-driven photocatalytic degradation of ibuprofen

**Autorzy:** Izabela Malinowska, Paweł Kubica, Piotr Madajski, Adam Ostrowski, Cristina Gómez Polo, Laura Carvera, Waldemar Bednarski, Anna Zielińska-Jurek

**Czasopismo:** ENVIRONMENTAL SCIENCE AND POLLUTION RESEARCH

**Rok:** 2022

Ja niżej podpisany Paweł Kubica oświadczam, że w powyższej pracy naukowej wykonałem analizy dotyczące ibuprofenu z wykorzystaniem chromatografii cieczowej i wysokorozdzielczej spektrometrii mas

dr inż. Paweł Kubica



**A4 SYNTEZA, CHARAKTERYSTYKA I ZASTOSOWANIE 2D/2D  $TiO_2$ -GO-ZnFe<sub>2</sub>O<sub>4</sub>  
OTRZYMANEGO METODĄ LIOFILIZACJI BEZFLUOROWEJ DO FOTOKATALITYCZNEJ  
DEGRADACJI IBUPROFENU POD WPŁYWEM ŚWIATŁA SŁONECZNEGO**

**Tytuł:** Synthesis, characterisation and application of 2D/2D  $TiO_2$ -GO-ZnFe<sub>2</sub>O<sub>4</sub> obtained by the fluorine-free lyophilisation method for solar light-driven photocatalytic degradation of ibuprofen

**Autorzy:**, Izabela Malinowska, Paweł Kubica, Piotr Madajski, Adam Ostrowski, Cristina Gómez Polo, Laura Carvera, Waldemar Bednarski, Anna Zielińska-Jurek

**Czasopismo:** ENVIRONMENTAL SCIENCE AND POLLUTION RESEARCH

**Rok:** 2022

Ja niżej podpisany Piotr Madajski wykonałem obrazowanie badanego materiału za pomocą wysokorozdzielczego transmisyjnego mikroskopu elektronowego wraz z mapowaniem poszczególnych pierwiastków.

24.09.2021)

Piotr Madajski

**A4 SYNTEZA, CHARAKTERYSTYKA I ZASTOSOWANIE 2D/2D  $\text{TiO}_2\text{-GO-ZnFe}_2\text{O}_4$   
OTRZYMANEGO METODĄ LIOFILIZACJI BEZFLUOROWEJ DO FOTOKATALITYCZNEJ  
DEGRADACJI IBUPROFENU POD WPŁYWEM ŚWIATŁA SŁONECZNEGO**

**Tytuł:** Synthesis, characterisation and application of 2D/2D  $\text{TiO}_2\text{-GO-ZnFe}_2\text{O}_4$  obtained by the fluorine-free lyophilisation method for solar light-driven photocatalytic degradation of ibuprofen

**Autorzy:** Izabela Malinowska, Paweł Kubica, Piotr Madajski, Adam Ostrowski, Cristina Gómez Polo, Laura Carvera, Waldemar Bednarski, Anna Zielińska-Jurek

**Czasopismo:** ENVIRONMENTAL SCIENCE AND POLLUTION RESEARCH

**Rok:** 2022

Ja niżej podpisany Adam Ostrowski oświadczam, że w powyższej pracy naukowej wykonałem następujące analizy:

- Wykonanie pomiarów metodą elektronowego rezonansu paramagnetycznego i analiza otrzymanych wyników.

Adam Ostrowski